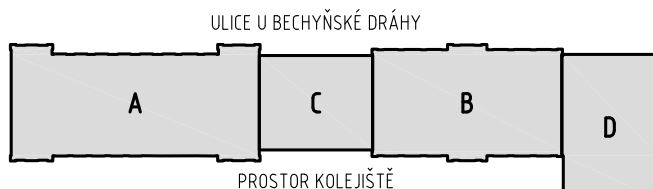




Jiná ověření:

Paré:

Orientační schéma:






Razítko oprávněné osoby:

Podpis:

Datum:

Revize:	Datum:	Popis:	Kontroloval:
-	-	-	-

Stavebník/Investor:	Správa železnic, státní organizace		SPRÁVA ŽELEZNIC
Adresa:	Dlážděná 1003/7, 110 00 Praha 1		
Zástupce investora:	Stavební správa západ		
Adresa:	Diamond Point, Ke Štvanici 656/3, 186 00 Praha 8 - Karlín		

Zhotovitel díla:	APRIS s.r.o.	
Adresa:	U Plynárny 1002/97, 101 00 Praha 10	
Kontakt:	T: +420 261 260 358 E: apris@apris.cz	
Zhotovitel objektu:	APRIS s.r.o.	
Adresa:	U Plynárny 1002/97, 101 00 Praha 10	
Kontakt:	T: +420 261 260 358 E: apris@apris.cz	
Hlavní projektant (HIP):	Ing. Vojtěch Hejl	Architekti: Ing. arch. M. Tylšová, Ing. arch. V. Taraba

Název stavby/akce:	REKONSTRUKCE VÝPRAVNÍ BUDOVY V ŽST. TÁBOR	Označení investora: S611700230
		Označení zhotovitele: 2023058
Název části:	Pozemní objekty výpravních budov a budov zastávek	Označení části: D.2.2.1
Název objektu/dílní části:	žst. Tábor, výpravní budova	Označení objektu/komplexu: SO 62-71-01.02
Název přílohy:	Stavebně konstrukční řešení	Číslo přílohy: 1. 101
Název dílní části přílohy:	Technická zpráva a statický výpočet	
Odpovědný projektant:	Zpracovatel přílohy: Ing. Jan Fischer	Měřítko: - Formáty: -
Ing. Ivan Jeník		Stupeň dokumentace: PDPS
Kraj:	Katastrální území: Tábor	TUDU: 1701K1
Jihočeský		Smluvní datum zpracování: 11.10.2024

Označení investora:	Stupeň dokumentace:	Část:	Objekt:	Podoblast:	Příloha:	Revize:
S 6 1 1 7 0 0 2 3 0	-	P D P S	-	D 2 2 0 1	-	S O 6 2 7 1 0 1
						- 0 2
						- 1 - 1 0 1 - P 0 1

REKONSTRUKCE VÝPRAVNÍ BUDOVY V ŽST. TÁBOR

DOKUMENTACE PRO PROVÁDĚNÍ STAVBY

STAVEBNĚ KONSTRUKČNÍ ŘEŠENÍ

TECHNICKÁ ZPRÁVA A STATICKÝ VÝPOČET

Obsah

A.	Identifikační údaje stavby a investora	2
B.	Přehled výchozích podkladů a norem	3
C.	Konstrukční systém	4
D.	Navrhované úpravy	4
D.1	Základové podmínky	4
D.2	Úpravy objektu „A“	5
D.3	Úpravy objektu „B“	6
D.4	Nový objekt „C“	8
D.5	Nový objekt „D“	8
D.6	Zastřešení nástupiště	9
D.7	Technologie postupu výstavby, ovlivňující stabilitu vč. bouracích prací	9
D.8	Požadavky na zakrývané konstrukce	10
D.9	Zhodnocení mykologie a sanace napadeného dřeva	10
D.10	Požární odolnost navrhovaných konstrukcí	12
E.	Použité materiály	12
F.	Posudek navržených úprav	15
F.1	Zatížení stálá	15
F.2	Zatížení proměnná	18
F.3	Objekt „A“	19
F.4	Objekt „B“	67
F.5	Objekt „C“	96
F.6	Objekt „D“	179
G.	Závěr	205

REKONSTRUKCE VÝPRAVNÍ BUDOVY V ŽST. TÁBOR

DOKUMENTACE PRO PROVÁDĚNÍ STAVBY

A. Identifikační údaje stavby a investora

Název stavby:	REKONSTRUKCE VÝPRAVNÍ BUDOVY V ŽST. TÁBOR
Místo stavby:	Valdenská 525/8, 390 02 Tábor
Stupeň dokumentace:	Dokumentace pro provádění stavby
Datum:	10/2024
Investor:	Správa železnic, státní organizace Dlážděná 1003/7 110 00 Praha 1
Hlavní projektant:	APRIS s.r.o. U Plynárny 1002/97 101 00, Praha 10

REKONSTRUKCE VÝPRAVNÍ BUDOVY V ŽST. TÁBOR

DOKUMENTACE PRO PROVÁDĚNÍ STAVBY

B. Přehled výchozích podkladů a norem

Podklady:

- Požadavky investora
- Doměření objektu
- Platné vyhlášky, předpisy a normy
- Původní dokumentace objektu z roku 1888 – půdorys 1.PP a 1.NP
- Archivní geologické sondy v řešené lokalitě
- Stavebně technický průzkum

Normy:

- ČSN EN 1990 ed.2: Eurokód: Zásady navrhování konstrukcí
- ČSN EN 1991-1-1: Eurokód 1: Zatížení konstrukcí – Část 1-1: Obecná zatížení – Objemové tíhy, vlastní tíha a užitná zatížení pozemních staveb
- ČSN EN 1991-1-3 ed.2: Eurokód 1: Zatížení konstrukcí – Část 1-3: Obecná zatížení – Zatížení sněhem
- ČSN EN 1991-1-4 ed.2: Eurokód 1: Zatížení konstrukcí – Část 1-4: Obecná zatížení – Zatížení větrem
- ČSN EN 1992-1-1: Eurokód 2: Navrhování betonových konstrukcí – Část 1-1: Obecná pravidla a pravidla pro pozemní stavby
- ČSN EN 206+A1: Beton – Specifikace, vlastnosti, výroba a shoda
- ČSN EN 13670: Provádění betonových konstrukcí
- ČSN EN 1993-1-1 ed.2: Eurokód 3: Navrhování ocelových konstrukcí – Část 1-1: Obecná pravidla a pravidla pro pozemní stavby
- ČSN EN 1993-1-2: Eurokód 3: Navrhování ocelových konstrukcí – Část 1-2: Obecná pravidla – Navrhování konstrukcí na účinky požáru
- ČSN EN 1090-2+A1 – Provádění ocelových konstrukcí a hliníkových konstrukcí – Část 2: Technické požadavky na ocelové konstrukce
- ČSN 73 2604: Ocelové konstrukce – Kontrola a údržba ocelových konstrukcí pozemních a inženýrských staveb
- ČSN EN 1995-1-1: Eurokód 5: Navrhování dřevěných konstrukcí – Část 1-1: Obecná pravidla – Společná pravidla a pravidla pro pozemní stavby
- ČSN EN 1995-1-2 Eurokód 5: Navrhování dřevěných konstrukcí – Část 1-2: Obecná pravidla – Navrhování konstrukcí na účinky požáru
- ČSN 73 1702: Navrhování, výpočet a posuzování dřevěných stavebních konstrukcí – Obecná pravidla a pravidla pro pozemní stavby
- ČSN EN 1996-1-1+A1: Eurokód 6: Navrhování zděných konstrukcí – Část 1-1: Obecná pravidla pro vyztužené a nevyztužené zděné konstrukce
- ČSN EN 1996-2 Eurokód 6: Navrhování zděných konstrukcí – Část 2: Volba materiálů, konstruování a provádění zdiva
- SŽ TKP17 Beton pro konstrukce
- SŽ TKP18 Beton mosty a konstrukce
- SŽ TKP22 Izolace proti vodě
- SŽ S13 Ochranná opatření pro omezení vlivu bludných proudů pro stavby na železnici

REKONSTRUKCE VÝPRAVNÍ BUDOVY V ŽST. TÁBOR

DOKUMENTACE PRO PROVÁDĚNÍ STAVBY

C. Konstrukční systém

Předmětem této dokumentace je rekonstrukce a dispoziční úpravy objektu výpravní budovy v železniční stanici Tábor. Řešený je soubor čtyř objektů, které jsou označeny jako objekty „A“, „B“, „C“ a „D“.

Objekty „A“ a „B“ představují primární zachovávané budovy, jež byly postaveny okolo roku 1888. Jedná se tři podlažní objekty s jedním podzemním podlažím. Svislé nosné konstrukce jsou řešeny jako zděné a dosahují rozdílných tloušťek od 300mm až po 800mm. Stropní konstrukce jsou řešeny v 1.PP jako cihelné klenuté, v příčném směru doplněné o klenebné pásy. Stropní konstrukce nad 1.NP až 2.NP jsou řešeny jako dřevěné trámové, lokálně v 1.NP v blízkosti schodišť jsou stropy cihelné klenuté. Krokevní soustava je použita stojatá stolice a zastřešení sedlové.

Objekt „C“ tvoří původní vstupní foyer. Jedná se o jednopodlažní objekt vložený mezi objekty „A“ a „C“. Obvodové zděné stěny tvoří svislé nosné konstrukce, zastřešení je řešeno jako sedlové, konstrukce krokevní.

Objekt „D“ představuje pozdější dostavek kolem roku 1983–85. Jedná se o dvoupodlažní objekt sousedící s objektem „B“, přičemž svislé nosné konstrukce jsou provedeny z plynosilikátových tvárnic a stropní konstrukce je tvořena keramickými stropními panely. Zastřešení je pultové, tvořené lehkou krokevní soustavou. Pod objektem „D“ je vytvořen podchod k nástupištím ve formě železobetonového tubusu.

D. Navrhované úpravy

V rámci plánovaných úprav dojde k zachování objektů „A“ a „B“, u kterých dojde ke kompletní revitalizaci s cílem obnovit historickou fasádu a provést dispoziční úpravy pro maximalizaci využití v kontextu dnešní doby a technologií. Objekt „C“ bude zbourán a nově zde bude vytvořena ocelová halová konstrukce s cílem dodat honosnější vzhled se zachováním původního účelu vestibulu. Objekt „D“ bude také zbourán a nahrazen v redukované podobě jednopodlažní železobetonovou konstrukcí včetně obnovy podchodu přibližně v původním objemu. Podchod je samostatným objektem SO 62-20-01 a není součástí této části dokumentace. Vzhledem k provázanosti obou objektů bude popis objektu SO 62-20-01 částečně shrnut i v této části dokumentace.

Popis polohy úprav objektů „A“ a „B“ jsou vztaženy k popisu stávajících místností.

D.1 Základové podmínky

Dle archivních sond dostupných v blízkosti objektu „A“ a „D“ lze očekávat v kvartéru zastoupení navážek o mocnosti 0–1,20 m, pod kterými se nachází vrstvy hlín jílovitých až hlín písčitých o rozličných mocnostech – zastiženo v blízkosti objektu „A“ až do hloubky 6,0m. V blízkosti objektu „D“ lze pod navážkami zastihnout proterozoikum již od hloubky 1,20m pod povrchem, které je tvořenou rozloženou rulou, v nižších polohách pak pouze zvětralou.

U objektu „C“ bude nová konstrukce založena minimálně do hloubky 1,20m, aby byla dostatečně založena z hlediska navážek i zároveň dostatečně hluboko z hlediska jílovitého zastoupení a nezámrazné hloubky. Předpokládaná únosnost v základové spáře odpovídá hodnotě $R_{dt}=200$ kPa. Objekt „D“ bude 1.NP založen do úrovně stávajících základu v hloubce 1,55m a na tubus podchodu. Tubus bude posazen v nižších polohách na skalním podloží. Výpočtově je

REKONSTRUKCE VÝPRAVNÍ BUDOVY V ŽST. TÁBOR

DOKUMENTACE PRO PROVÁDĚNÍ STAVBY

uvažována únosnost v základové spáře $R_{dt}=200$ kPa v místě základových pasů, u základové desky tubusu pak $R_{dt}=350$ kPa.

Před započítáním výstavby je nutné převzetí základové spáry geologem/geotechnikem, který zhodnotí zastižené základové podmínky a odpovídající únosnost.

D.2 Úpravy objektu „A“

V rámci výstavby výtahové šachty je lokálně vybourán klenutý strop nad 1.PP a trámový strop nad 1.NP – 2.NP. Šachta je zakončena dojezdem v 1.PP. V místě dojezdu bude nutno provést podezdění podkopaných základových konstrukcí. Podezdívání bude probíhat v záběrech o délce 0,5m, resp. 1,0m u příčných stěn. Podezdění bude založeno na podkladní beton tl. 50mm z betonu C12/15 a vyzdění bude provedeno z plných betonových nenasákavých cihel min. P20 na cementovou maltu M5. Zbylou kavernu mezi hlavou vyzdívky a patou stávajících základů vyplnit expanzním betonem. Postup výstavby a možnost současného provádění záběrů je patrný z výkresové dokumentace – jednotlivé fáze jsou očíslovány. V rámci 1.PP je dvojice stěn vyzděna z tvárnic ztraceného bednění, v 1.NP a 2.NP jsou pak vyzděny z keramických tvárnic. Provázání stěn je provedeno pomocí železobetonových věnců, které jsou zataženy do stávajících středových stěn.

Vzhledem ke změnám využití podlaží a vybourání části stěn dochází ke koncentracím napětí v základové spáře. Z tohoto důvodu je nutno stávající základové pasy lokálně rozšířit pomocí ŽB pasů tl. 300mm. Pasy dosahují šířky 1,2 – 1,5m a budou založeny do prostředí rul/pararul s únosností $R_{dt}=350$ kPa. Pasy budou prováděny v pružích o šířce 500–650mm a je nutno je provést při maximálním odlehčení objektu (ve stavu vybouraných stropů/skladeb stropů, při odbouraných příčkách, při příznivé vyhlídce povětrnostních stavů, atd.) Pas bude proveden z betonu C16/20 XC2 a vyztužen profily R12 á 100mm s nominálním krytím 50mm. Pro snadnější betonáž a vkládání výztuže bude v patě zdiva vysekána kapsa o velikosti 300x300x150mm. Po betonáži je nutno tuto kapsu zazdít zpátky do vazby.

Veškeré dozdivky, doplňující nosné stěny, resp. zazdivky okenních a dveřních otvorů je nutno provádět z plných pálených cihel P20 na vhodnou maltu M5 a provázat do vazby.

Veškeré ocelové překlady nad novými otvory či nové ocelové průvlaky provádět v souladu s požadavky a postupy, specifikovaných dále v části „Technologie postupu výstavby“.

Během výstavby dojde k odbourání zazdivky špalet a obnově původních oken. Vzorové bourání zazdívek vybraných tří oken v rozdílných budovách a podlažích doporučujeme za přítomnosti projektanta. Před započítáním bouracích prací s cílem obnovy původních okenních otvorů, nutno provést lokální odstranění omítky pro ověření existence klenutých nadpraží.

U veškerých ponechaných prvků je nutno zhodnotit jejich poškození z hlediska dřevokazných škůdců (např. za přítomnosti mykologa) a provést sanaci před zaklopením/zakrytím konstrukce. Podrobnější postup je patrný v části „Zhodnocení mykologie a sanace napadeného dřeva“.

Pro zvýšení únosnosti vybraných částí zdiva, kde dochází k vysokým koncentracím lokálních sil, budou zabetonovány vybrané komínové sopouchy v celé jejich (ponechané) délce. Před betonáží je nutné sopouch vyčistit a následně je možno jej zabetonovat od shora dolů samozhutnitelným betonem C16/20. Vybrané sopouchy jsou patrné z výkresové dokumentace.

V rámci 1.PP je proveden nový otvor šířky 980mm do kabelového kanálu, který bude zajištěn pomocí čtveřice ocelových profilů IPE 180. Navržený otvor doporučujeme provést před zásahy v podlažích nad – nad otvorem v 1.NP je průběžná nosná zděná stěna, která navržený

REKONSTRUKCE VÝPRAVNÍ BUDOVY V ŽST. TÁBOR

DOKUMENTACE PRO PROVÁDĚNÍ STAVBY

otvor dočasně zajistí. Mezi místnostmi A.0.06 a A.0.05 bude nový otvor zajištěn pomocí ocelových překladů 4xIPE140.

Stropní konstrukce nad 1.NP bude kompletně provedená nová pro zajištění dostatečné únosnosti požadované investorem (smluvní zatížení užitné 750 kg/m²) a bude řešena jako spřažený ocelobetonový strop. Ocelové nosníky jsou použity z profilů IPE180 a IPE200 v rozdílných roztečích a spřaženy přes trny Ø16mm s železobetonovou deskou. Železobetonová deska bude nadbetonována 50mm nad trapézový plech 50/250/1,00m. Před zahájením bouracích prací nutno důkladně zajistit okolní konstrukce, resp. dočasně dodržet zajištění obvodových stěn – přesnější postup je patrný v části „*Technologie postupu výstavby*“. Před provedením nové stropní konstrukce je nutno osadit ocelové překlady nad vznikajícími chodbovými a dveřními otvory – specifikace použitých profilů je patrná z výkresové dokumentace.

Stropní konstrukce nad 2.NP v podélném traktu blíže k nástupišti bude řešená jako nový ocelobetonový strop, identicky jako v podlaží níže. Nová konstrukce je zvolena pro zajištění dostatečné stability od působících vodorovných sil vzhledem k redukci příček ve 2.NP. Železobetonová deska ocelového stopu bude po stranách zapuštěna do příčných stěn pro roznos vodorovného zatížení – poloha je podrobněji specifikována ve výkresové části dokumentace. Vzhledem k nižšímu požadavku na únosnost jsou použity subtilnější ocelové profily, stropní deska vč trapézového plechu je použita identická. Stávající vazné trámy budou nahrazeny za ocelové z dvojic profilů IPE, aby byl umožněn volný pohyb v jedné podlahové rovině bez překonávání výškových stupňů. Ocelové vazné trámy je nutno zavázat do obvodového zdiva přes ocelové kleště a vzájemně svázat pomocí ocelových táhel Ø30mm. Ponechané stropní trámy budou zatíženy obdobně z hlediska stálého i užitného zatížení, není tedy nutno jejich další zesílení.

Vzhledem ke snížení výškové polohy vazného trámu bude nutné vybrané sloupy krovu nastavit protézováním a nahradit vzpěru novým kusem o stejném průřezu. Způsoby nastavení a připojení dílců jsou patrné z detailů této výkresové dokumentace.

D.3 Úpravy objektu „B“

Úpravy v objektu „B“ jsou spojeny primárně s dispozičními změnami, které z hlediska statiky vynucují bourání části nosných stěn, potažmo nových dveřních otvorů.

V rámci výstavby výtahové šachty je lokálně vybourán klenutý strop nad 1.PP a trámový strop nad 1.NP – 2.NP. Šachta je zakončena na podlaze 1.PP a dvojice stěn je vyzděna v 1.PP z tvárnice ztraceného bednění a v 1.NP a 2.NP z keramických akustických tvárnic. Provázání stěn je provedeno pomocí železobetonových věnců, které jsou zataženy do stávajících středové a schodišťové stěny.

Vzhledem ke vybourání části stěn dochází ke koncentracím napětí v základové spáře. Z tohoto důvodu je nutno stávající základové pasy lokálně rozšířit pomocí ŽB pasů tl. 300mm a 500mm. Pasy dosahují šířky 1,4 a 2,0m a budou založeny do prostředí rul/pararul s únosností R_{dt}=350 kPa. Pasy budou prováděny v pružích o šířce 500–700mm a je nutno je provést při maximálním odlehčení objektu (ve stavu vybouraných stropů/skladeb stropů, při odbouraných příčkách, při příznivé vyhlídce povětrnostních stavů, atd.) Pasy provést z betonu C16/20 XC2. Pas tl. 300mm bude vyztužen profily R12 á 100mm a pas tl. 500mm bude vyztužen profily R16 á 100mm – vše s nominálním krytím 50mm. Pro snadnější betonáž a vkládání výztuže bude v patě zdiva vysekána kapsa o velikosti 300x300x150mm. Po betonáži je nutno tuto kapsu zazdíť zpátky do vazby.

REKONSTRUKCE VÝPRAVNÍ BUDOVY V ŽST. TÁBOR

DOKUMENTACE PRO PROVÁDĚNÍ STAVBY

Veškeré dozdivky, doplňující nosné stěny, resp. zadržky okenních a dveřních otvorů je nutno provádět z plných pálených cihel P20 na vhodnou maltu M5 a provázat do vazby.

Veškeré ocelové překlady nad novými otvory či nové ocelové průvlaky provádět v souladu s požadavky a postupy, specifikovaných dále v části „Technologie postupu výstavby“.

Během výstavby dojde k odbourání zadržky špalet a obnově původních oken. Vzorové bourání zadržek vybraných tří oken v rozdílných budovách a podlažích doporučujeme za přítomnosti projektanta. Před započítím bouracích prací s cílem obnovy původních okenních otvorů, nutno provést lokální odstranění omítky pro ověření existence klenutých nadpraží.

U veškerých ponechaných prvků je nutno zhodnotit jejich poškození z hlediska dřevokazných škůdců (např. za přítomnosti mykologa) a provést sanaci před zaklopením/zakrytím konstrukce. Podrobnější postup je patrný v části „Zhodnocení mykologie a sanace napadeného dřeva“.

Pro zvýšení únosnosti vybraných částí zdiva, kde dochází k vysokým koncentracím lokálních sil, budou zabetonovány vybrané komínové sopouchy v celé jejich (ponechané) délce. Před betonáží je nutné sopouch vyčistit a následně je možno jej zabetonovat od shora dolů samozhutnitelným betonem C16/20. Vybrané sopouchy jsou patrné z výkresové dokumentace.

Před zahájením bouracích prací nutno provést odkrytí stávajících průvlaků ve stropě nad 1.NP v místnosti B.1.06 a mezi místnostmi B.1.06 a B.1.07 pro zhodnocení jejich dostatečné únosnosti. Poloha řešených průvlaků je vyznačena ve výkresové dokumentaci.

V rámci 1.PP je proveden nový otvor šířky 980mm do kabelového kanálu, který bude zajištěn pomocí čtveřice ocelových profilů IPE 180. Navržený otvor doporučujeme provést před zásahy v podlažích nad – nad otvorem v 1.NP je průběžná nosná zděná stěna, která navržený otvor dočasně zajistí. Nový otvor šířky 1,00m mezi místnostmi B.0.08 a B.0.12 bude také zajištěn pomocí čtveřice ocelových profilů IPE180. Mezi místnostmi B.0.12 a B.0.13 je navrženo probourání otvoru do úrovně klenebního pásu a také dozdivka stěny pod klenbu. Před provedením dozdivky je nutno ověřit existenci základového pásu po doplněném zdivem. Před bouráním zmíněného otvoru ověřit průběžnost klenby v celé šířce zdiva.

Hlavním zásahem v 1.NP bude vytvoření nových otvorů do objekt „C“. Vzniklé otvory budou zajištěny pomocí ocelových profilů 4xIPE200, resp. 4xI240. Před zahájením bouracích prací nutno provést řádné zajištění okolních konstrukcí. Dále budou v 1.NP vytvořeny nové otvory chodbového traktu mezi místnostmi B.1.07, B.1.08, B.1.15 a objektem „D“. Tato trojice otvorů bude zajištěna pomocí čtveřice ocelových překladů IPE140. Z hlediska nedostatečné únosnosti bude nutno zesílit pilíř 450x1800mm mezi objekty „B“ a „C“ (poloha patrna z výkresové dokumentace). Pro zesílení bylo voleno opásávání zdiva pomocí ocelových úhelníků L120x10 v rozích pilířů/stěn, sepnutých přivařenými vodorovnými ocelovými pásky P10x100mm á 500mm. Při provádění je nutno ze zesilovaných pilířů odstranit omítku a provést vysrávku maltových loží či výměnu zvláště poškozených zdících prvků. Dále je nutno před započítím svařování pásy P8x100mm i rohové L–profily nahřát, aby došlo po vychladnutí k jejich aktivaci. Ocelové prvky svařit na plnou únosnost. Uprostřed délky budou protilehlé pásky sepnuty závitovými tyčemi M16 8.8.

Ve 2.NP dojde k bourání části nosných stěn – nové otvory budou zajištěny pomocí 4xIPE140 a 4xI240. Nové chodbové otvory budou zajištěny pomocí čtveřice ocelových překladů IPE120. Ve stropě nad 2.NP dojde vzhledem ke změně využití a nedostatečné únosnosti k zesílení stávajících stropních trámů nad místnostmi B.2.06, B.2.07 a B.2.09. Stávající stropní

REKONSTRUKCE VÝPRAVNÍ BUDOVY V ŽST. TÁBOR

DOKUMENTACE PRO PROVÁDĚNÍ STAVBY

trámy budou zesíleny pomocí přílozek 2x40/280, ke kterým budou příložky prostřídane přihřebíkovány. Nad místnostmi B.2.01, B.2.12–B.2.15 bude vytvořen nový strop z ocelových profilů IPE180, IPE220 a IPE270. V rámci konstrukce krovu bude nahrazen jeden vazný trám vzhledem k jeho poškození od vnějších vlivů. Vazný trám bude nahrazen dvojicí ocelových UPE profilů. Profily budou nejprve usazeny na výsledné místo a následně stávající sloup v patě uchycen k UPE profilům dle detailu 8. Poté lze odbourat rušený vazný trám.

Ve 3.NP budou nové dveřní/chodbové otvory zajištěny pomocí čtveřice profilů IPE120. V místnosti B.3.07 budou zkráceny stávající kleštiny ke vzpěře, ke které budou uchyceny pomocí ocelového svorníku Ø16mm.

D.4 Nový objekt „C“

Objekt „C“ tvoří zachovává původní funkci vstupního foyer. Tato jednopodlažní hala je řešena jako ocelová rámová konstrukce s kloubovými styčníky a vetknutými sloupy do základů. Objekt bude oddilátován od navazujících objektů „A“ a „B“. Stabilitu objektu zajišťují vetknuté sloupy, ve vodorovné rovině stropních nosníků jsou ve středním traktu doplněna táhla pro roznos vodorovných sil do sloupů.

Svislé konstrukce tvoří sloupy z trubkových profilů 194x16mm. Stropní nosníky jsou tvořeny příčnými profily IPE600 v roztečích 4,7m a 5,0m na rozpětí 11,4m. Střešní plášť vytváří trapézový plech 160/250/1,00, který bude kotven k stropním nosníkům v každé vlně – pro zajištění nosníků proti klopení a zároveň pro zajištění požární odolnosti trapézového plechu. Stropní nosník IPE160 bude osazen na sloup pomocí čepového spoje.

V podélném směru budou mezi stropními nosníky pnuty plechy P5x450mm, který mají primárně estetický účel z hlediska architektury. Ve středovém traktu jsou použita táhla Ø10m z oceli S460 pro zajištění rovnoměrnějšího roznosu vodorovných sil. Pod jednotky HVAC a chillerů jsou navrženy ocelové výměny HEA200, IPE200, IPE220 a IPE100. Zároveň jsou zmíněnými profily olemovány také prostupy potrubí od jednotek skrz trapézový plech.

Atika je řešena jako ocelová vykonzolována z nosníků IPE600 přes přivařený nosník HEB220 s podélnou výztuhou na hlavním trubkovém sloupu. Z nosníků pak vystupuje sloup JÄ120x10. Sloupy JÄ120x10 provazují vodorovné nosníky 2xJÄ120x8. Nad vstupem je navržena ocelová markýza, kterou budou tvořit konzole HEA160 a stropničky IPE140. Roznášecí rovinu bude zajišťovat voděodolná překližka tl. 21mm.

Založení objektu je navrženo na základových patkách z prostého betonu 850x1300x840mm, které jsou založeny minimálně do hloubky 1,20m. Patky jsou pod fasádou provázány pasem šířky 400mm. Roznášecí vrstvu podlahy tvoří ŽB deska tl. 150mm, která bude vybetonována na podkladní beton C12/15 tl. 50mm. Desku lze vyztužit sítěmi R6, hustěji pak bude deska vyztužena nad kabelovým kanálem, který propojuje objekty „A“ a „B“. Konstrukce kanálu bude založena na základové desce tl. 250mm a stěny budou tvořeny tvárnicemi ztraceného bednění tl. 250mm. Výztuž železobetonových prvků bude podrobněji specifikována v dalším stupni dokumentace.

D.5 Nový objekt „D“

Objekt „D“ je tvořen jedním nadzemním podlažím, doplňuje soubor o zázemí toalet a zajišťuje přístup na nástupiště skrze navázání na stávající podchod.

REKONSTRUKCE VÝPRAVNÍ BUDOVY V ŽST. TÁBOR

DOKUMENTACE PRO PROVÁDĚNÍ STAVBY

Budova je řešena jako železobetonová desko-stěnová konstrukce a je od navazujícího objektu „B“ oddílována. Pod objekt vede dvojice schodišť a zajišťuje přístup k podchodu k nástupišťům. Tubus podchodu je tvořen ze základové desky a stěn tl. 400mm. Stropní konstrukci tubusu tvoří podlaha objektu „D“. Oba objekty jsou pak propojeny pomocí železobetonové výtahové šachty, řešené v samostatném provozním souboru.

Podlahu 1.NP tvoří železobetonová deska tl. 150mm na terénu, která bude vybetonována na podkladní beton C12/15 tl. 50mm. Desku lze vyztužit sítěmi R6. Nad podchodem bude podlahová deska zmasivněna na tl. 200mm a osazena na stěny podchodu.

Stěny 1.NP budou řešeny jako železobetonové tl. 200mm, v místě výtahové šachty jsou vzhledem k návaznostem použity stěny tl. 400mm. Mimo polohy, kde stěny vystupují ze stěn podchodu, budou převážně založeny na základových pasech šířky 500mm. Pasy budou rovnoběžně s objektem „B“ založeny do hloubky minimálně 1,55m, což odpovídá hloubce založení stávajícího objektu. Pasy navazující na podchod budou provázány se stěnami tubusu. Stěny 1.NP jsou doplněny o jeden ocelový sloup CHS194x16 v místě vstupu do objektu. Sloup bude založen na základové patce o půdorysném rozměru 1,3x1,3m. Základové konstrukce pasu a patky jsou patrné z SO 62-20-01.

Stropní konstrukce je řešena jako železobetonová, převážně obousměrně pnutá, deska tloušťky 200mm. Po obvodě bude provedena atika tl. 200mm a výšky 0,78m. Směrem z ulice bude na atiku zavěšena ocelová markýza, kterou budou tvořit konzole IPE160 a stropníčky IPE100. Výjimku tvoří rohová návaznost, kde je použit profil HEA160 pro redukci deformace. Roznášecí rovinu bude zajišťovat voděodolná překližka tl. 21mm. V návaznosti na interiér budou lokálně použity prvky pro přerušení tepelného mostu.

D.6 Zastřešení nástupiště

Stávající nosná konstrukce zastřešení nástupiště bude převážně ponechána stávající, přičemž bude vyměněna skladba střešního pláště. U nové skladby je nutno prkenný záklop pnout alespoň přes dvě pole, dostatečně přihřebíkovat ke krokvim a šachovnicově prostřídat tak, aby byla zajištěna dostatečná tuhost konstrukce ve střešní rovině.

Ke změně dochází v místě objektu „C“, kde vzhledem k bourání objektu budou krokve nahrazeny za nové z profilu 140/180 a 1,0m. U objektu „D“ bude stávající sloup přesunut do nové polohy a založen na základové patce 600x1000x900mm.

D.7 Technologie postupu výstavby, ovlivňující stabilitu vč. bouracích prací

Před započítáním bourání otvorů, které budou zajištěny ocelovými překlady, je nutno podstojkovat okolní stropní konstrukce od posledního podlaží až na úroveň podlahy 1.PP. Pro podstojkování lze použít standartní betonářské stojky v pravidelných roztečích, které budou v patě osazeny na roznášecí trámy 140x140. Poté lze provést odbourání rýhy do půlky stěny pro osazení poloviny ocelových překladů nejprve z jedné strany a poté z druhé. Ocelové překlady vyklínovat do požadované pozice a uložit na zdivo přes podbetonování vhodné tloušťky (100mm podbetonování při uložení do 250mm, 300mm podbetonování při uložení 300mm a více – platné dle kótovaného uložení v půdorysech). Vzniklé spáry nad ocelovými profily zapravit expanzním betonem či vtlačovaným „suchým“ betonem. Po vytvrdnutí lze odbourat zdivo daného otvoru. Otvory doporučujeme provádět při odlehčení objektu (odstraněné skladby, bez skládky stavebního materiálu v blízkosti otvoru v patrech nad).

REKONSTRUKCE VÝPRAVNÍ BUDOVY V ŽST. TÁBOR

DOKUMENTACE PRO PROVÁDĚNÍ STAVBY

Před bouráním otvorů středových stěn v objektu „A“ je nutno podstojkovat veškeré stropní konstrukce, uložené v blízkosti bouraných otvorů. Bourání a osazování ocelových překladů doporučujeme provádět od vrchních podlaží směrem do 1.NP. Během této fáze je nutno ponechat bourané zděné příčky v 1.NP a 2.NP a odstraňované stropní trámy vč. záklopu, které budou zajišťovat stabilitu podélných stěn, hlavně pak obvodových před účinky vodorovných sil. V další fázi je možno provést zajištění stěn dle výkresu 206 – doplnění ocelových ráků, které zajistí stabilitu stěn z hlediska vodorovných sil. Poté je možno odbourat stropní konstrukce nad 1.NP a 2.NP objektu „A“.

Před bouráním vyznačené stěn ve výkresech objektu „A“ je nutno ověřit, zda daná stěna není nosná z hlediska stropních trámů ve stropě 2.NP. V případě, že stěna podpírá klenbu nad 1.NP, je nutno tuto klenbu odstranit před bouráním stěny v 1.NP. Při bourání opět postupovat od shora dolů.

Veškeré neznačené prostupy v ponechaných klenbách je nutno zajistit ocelovým límcem, který zabráni rozevírání klenby. Malé otvory doporučujeme provádět jádrovým vrtem, který bude neprodleně zajištěn ocelovou trubkou o stejném průřezu. Přesné řešení lze konzultovat se statikem v průběhu výstavby.

Bourané komínové konstrukce je nutno bourat od shora dolů, aby bylo zabráněno možné havárii od pádu části komínového tělesa.

D.8 Požadavky na zakrývané konstrukce

- Před betonáží je nutno provést přejímku výztuže technickým dozorem investora, případně statikem v jeho zastoupení.
- U voděodolných konstrukcí je nutno ověřit dostatečnou těsnost konstrukce a případné trhliny sanovat vhodnou injektáží či způsobem, jež bude schválený technickým dozorem investora.
- Ověřit dostatečnou únosnost základové spáry dle požadavků za přítomnosti geologa/geotechnika.
- Veškeré odhalené uhnílé části dřevěných prvků při poškození více jak 5% průřezu sanovat – důkladně zhodnotit veškerá zhlaví trámů
- Veškeré odhalené napadané části dřeva s aktivními dřevokaznými škůdci odstranit – doporučujeme podrobné zhodnocení za přítomnosti mykologa
- Veškeré dřevěné prvky před zabudováním do konstrukce opatřit ochranným nátěrem proti dřevokazným škůdcům

D.9 Zhodnocení mykologie a sanace napadeného dřeva

Mykologické požadavky jsou hodnoceny na základě provedeného průzkumu – podrobný popis je součástí stavebně technického průzkumu. Zastiženy byly následující dřevokazné druhy:

„Ve všech dodaných vzorcích VZ1-VZ5 zjištěno narušení celulozovorním druhem dřevokazné houby, přičemž ve vzorcích VZ3, VZ4, VZ5 určena nákaza outkovkou zprohýbanou [...]. Aktivní stav dřevokazné houby v žádném z dodaných vzorků neprokázán.

Ve vzorcích VZ1, VZ2, VZ3 zjištěn současně rozklad dřevokazným hmyzem čeledi červotočovití – Anobiidae.

REKONSTRUKCE VÝPRAVNÍ BUDOVY V ŽST. TÁBOR

DOKUMENTACE PRO PROVÁDĚNÍ STAVBY

Celulozovorní druhy [...] způsobují hnědou hnilobu a destrukční rozpad dřevěných konstrukcí a prvků. Mají vysoké nároky na vlhkost, po vyschnutí dřeva přestávají růst. Jejich životnost je však mnoho let, za příznivých podmínek (při vlhkosti dřeva přes 20 %) mohou pokračovat v růstu a rozkladné činnosti. Mycelium často prorůstá přilehlým zdivem i pod omítkou, šíří se v násypech, spárami stavebních konstrukcí.

Dřevokazný hmyz rozkládá pozvolna dřevěné konstrukce a prvky. Larvy i dospělý hmyz vyhlodávají ve dřevě spleti chodeb, které se postupně spojují a vytvářejí kaverny s množstvím jemných pilin. Také dřevokazný hmyz napadá dřevěné prvky při zvýšené vlhkosti dřevní hmoty (již při vlhkosti přes 10–13 %).

Dřevokaznými druhy hub i dřevokazným hmyzem napadené, degradované dřevěné prvky ztrácejí pevnost, znehodnocené nosné trámy i celé konstrukce se v konečném stadiu nebo při větším zatížení bortí a rozpadají se."

Dle doporučení mykologa je nutno dodržet následující postup:

„Rozsah nezbytné sanace je třeba upřesnit dle zjištěného rozsahu nákazy a stupně narušení jednotlivých dřevěných prvků. Odstraní se biotickými škůdci dřeva napadené, hloubkově narušené části dřevěných prvků – dle posouzení a dispozic statika, vyveze se násyp min. v okolí napadených zhlaví trámů. Vedle zjevně napadeného, narušeného doporučuji odstranit ještě i zdánlivě zdravé dřevo do vzdál. min. 30–40 cm od posledních příznaků narušení, provede se doplnění odstraněných a zeslabených částí prvků.

Při narušení menšího rozsahu průřezu trámů lze odstranit narušenou dřevní hmotu na zdravé dřevo (osekáním, seříznutím), následně doporučuji provést hloubkovou chemickou injektáž ponechaného, zdravého dřeva napadených částí trámů za účelem dokonalého prosycení dřevní hmoty chemickými konzervanty, likvidace případných zárodků biotických škůdců dřeva a vytvoření chemické bariéry k zamezení event. šíření nákazy. Odstraněné nebo zeslabené části trámů se doplní dle dispozic statika.

Ponechané, zdravé dřevěné prvky konstrukcí se ošetří po mechanickém očištění vhodným kombinovaným fungicidním a insekticidním přípravkem. Preventivně se ošetří před zabudováním rovněž nové, doplněné dřevěné prvky, pokud nebudou dodány již chemicky ošetřené.

Otluč se omítka, vyškrábou a vyčistí se spáry zdiva do vzdál. min. 40 cm od napadených dřevěných prvků, resp. od poslední případně zjištěného výskytu nákazy ve zdivu. Očištěné zdivo včetně spár se ošetří 2x některým z výše uvedených přípravků.

Při aplikaci fungicidních a insekticidních přípravků je třeba dbát pokynů výrobce, uvedených na obalu nebo v přiloženém návodu. K ošetření lze případně po konzultaci použít i jiný vhodný přípravek se srovnatelnými vlastnostmi. V případě aplikace při teplotě pod +6 °C je nutné použít lihovou modifikaci přípravků.

Při chemické ochraně dřeva je nutné dodržovat platné české, resp. evropské normy, zejména: ČSN 49 0600, ČSN 49 0600-1, ČSN EN 335-1,2,3, ČSN EN 350-2, ČSN EN 460. Předpokladem dlouhodobé účinnosti fungicidních a insekticidních přípravků je zajištění trvale suchého prostředí, které je rovněž nejlepší prevencí proti nákaze biotickými škůdci dřeva. Chemickou sanaci dřevěných konstrukcí i přilehlého zdiva doporučuji zadat specializované firmě, která splňuje odbornou způsobilost pro výkon této činnosti a poskytne na tyto odborné provedené práce příslušný atest (garanční certifikát).

REKONSTRUKCE VÝPRAVNÍ BUDOVY V ŽST. TÁBOR

DOKUMENTACE PRO PROVÁDĚNÍ STAVBY

[...] Vybouraný materiál, napadený dřevokaznými druhy hub i dřevokazným hmyzem, se likviduje v uzavřeném kontejneru na skládku, určenou k zahrnutí, nebo dřevo se spálí mimo objekt, aby nedocházelo k šíření nákazy.

[...] Rozsah nezbytné sanace je třeba upřesnit dle zjištěného rozsahu nákazy a stupně narušení jednotlivých dřevěných prvků."

Dle provedeného průzkumu vykazují zhlaví stropních trámů lokálně vysokou míru poškození. Uhnílá zhlaví zachovávaných trámů budou během výstavby odstraněna až na zdravé nepoškozené dřevo, resp. do vzdálenosti doporučené mykologickým průzkumem. Odstraněná část bude nahrazena novým kusem o stejném průřezu a přeplátována na zbylou část stávajícího trámu za pomoci ocelových svorníků. V případě malého poškození lze doplnit po stranách příložky a uložit trámy do zvětšené kapsy. Kapsu pro uložení trámu upravit tak, aby byla okolo dřeva mezera min. 30mm, Čelo kapsy opatřit minerální tepelnou izolací tl. 30mm. Zhlaví důkladně ošetřit fungicidním nástřikem a trám uložit na zdivo přes impregnovanou dubovou podložku. Okolní zdivo v blízkosti napadané části zapravit, vyčistit a impregnovat dle požadavku mykologa. Dřevěné prvky krovu, které vykazují poškození, budou lokálně vyspraveny obdobně. Přesné řešení bude specifikováno v dalším stupni dokumentace, resp. na místě v průběhu výstavby po odhalení konkrétních míst.

D.10 Požární odolnost navrhovaných konstrukcí

V rámci požadované protipožární ochrany je proveden statický posudek viditelných ocelových konstrukcí objektu „C“ a „D“ – veškeré prvky, zajišťující nosnou funkci a stabilitu splňují požární odolnost R 30minut. Železobetonové konstrukce objektu „D“ bezpečně splňují požadavek požárně bezpečnostního řešení R 45 minut – reálně dosahují mnohem vyšší protipožární odolnosti.

Veškeré stropní trámy a ocelové nosníky (stávající i nové) objektu „A“ a „B“ nejsou z hlediska požární odolnosti hodnoceny a je nutno je chránit protipožárním opatřením (SDK obklady či podhledy). Tyto protipožární opatření jsou specifikovány v architektonicko-stavebním řešení.

E. Použité materiály

1) OCELOVÉ KONSTRUKCE

OCEL S235JR

POVRCH. ÚPRAVA: DVOUVRSTVÝ NÁTĚR SPLŇUJÍCÍ KATEGORII KOROZNÍ AGRESIVITY C2 DLE NORMY ČSN EN ISO 12944-2, BARVA DLE POŽADAVKU ASŘ

2) BETONOVÉ KONSTRUKCE

ZÁKLADOVÁ DESKA/STĚNY PODCHODU

BETON C30/37-XC3, XD2, XF4, XA1-CL 0,4- DMAX=22MM-S4-90 DENNÍ NÁRŮST PEVNOSTI

ZVOLIT VHODNOU VODĚODOLNOU SMĚS

VÝZTUŽ B500B (10 505-R)

MINIMÁLNÍ KRYTÍ VÝZTUŽE: 40MM

NOMINÁLNÍ KRYTÍ VÝZTUŽE: 50MM

MAX. PRŮSAK 20MM DLE ČSN EN 12390-8 a TKP17

REKONSTRUKCE VÝPRAVNÍ BUDOVY V ŽST. TÁBOR

DOKUMENTACE PRO PROVÁDĚNÍ STAVBY

PASY/PATKY Z PROSTÉHO BETONU (PB)

BETON C16/20 – XC0

ŽB PATKA

BETON C25/30 – XC2, XA1

VÝZTUŽ B500B (10 505-R)

MINIMÁLNÍ KRYTÍ VÝZTUŽE 40MM

NOMINÁLNÍ KRYTÍ VÝZTUŽE 50MM

DESKA KANÁLU tl. 250mm NA TERÉNU; DESKA tl. 150mm NA TERÉNU; DESKA NÁSTUPIŠTĚ tl. 200mm

BETON C25/30 – XC2, XA1

VÝZTUŽ B500B (10 505-R)

MINIMÁLNÍ KRYTÍ VÝZTUŽE: 40MM

NOMINÁLNÍ KRYTÍ VÝZTUŽE: 50MM

ŽB STĚNY 1.NP

BETON C25/30 – XC3, XF2

VÝZTUŽ B500B (10 505-R)

MINIMÁLNÍ KRYTÍ VÝZTUŽE: 25MM

NOMINÁLNÍ KRYTÍ VÝZTUŽE: 35MM

ŽB STROP NAD 1.NP

BETON C25/30 – XC1

VÝZTUŽ B500B (10 505-R)

MINIMÁLNÍ KRYTÍ VÝZTUŽE: 15MM

NOMINÁLNÍ KRYTÍ VÝZTUŽE: 25MM

ŽB VĚNEC – VÝTAH

BETON C25/30 – XC1

VÝZTUŽ B500B (10 505-R)

MINIMÁLNÍ KRYTÍ VÝZTUŽE: 15MM

NOMINÁLNÍ KRYTÍ VÝZTUŽE: 25MM

3) ZDĚNÉ KONSTRUKCE

ZDIVO 1.PP NA KONTAKTU S TERÉNEM

TVÁRNICE ZTRACENÉHO BEDNĚNÍ tl. 250mm

SVISLÁ VÝZTUŽ: R12 Á 250mm PŘI OBOU POVRŠÍCH

VODOROVNÁ VÝZTUŽ: 2xR12 DO KAŽDÉ VRSTVY

BETON: C20/25 XC2

DOZDÍVKY STÁVAJÍCÍCH STĚN

CIHLA PÁLENÁ PLNÁ P20 NA VHODNOU MALTU M5

DOZDÍVKY PROVÁZAT DO VAZBY STÁVAJÍCÍHO ZDIVA

REKONSTRUKCE VÝPRAVNÍ BUDOVY V ŽST. TÁBOR

DOKUMENTACE PRO PROVÁDĚNÍ STAVBY

ZDIVO VÝTAHU V 1.NP-3.NP

PÁLENÉ KERAMICKÉ TVÁRNICE AKUSTICKÉ P20 tl. 200mm NA VHODNOU MALTU M5

4) DŘEVĚNÉ KONSTRUKCE

DŘEVO C24

POVRCH. ÚPRAVA: VHODNÝ NÁTĚR ODOLNÝ DŘEVOKAZNÝM ŠKŮDCŮM

REKONSTRUKCE VÝPRAVNÍ BUDOVY V ŽST. TÁBOR

DOKUMENTACE PRO PROVÁDĚNÍ STAVBY

F. Posudek navržených úprav

F.1 Zatížení stálá

Vlastní tíha nosných konstrukcí byla uvažována použitým výpočetním programem.

Betonové kce nevyztužené	- 24,0 kN/m ³
Betonové kce vyztužené	- 25,0 kN/m ³
Zděné kce	- 18,0 kN/m ³
Ocelové konstrukce	- 78,5 kN/m ³
Dřevěné konstrukce	- 5,0 kN/m ³

Objekt "A" - Skladba stropní konstrukce nad 1.NP - ocelobetonový strop

Stálé zatížení	Charakteristické (kN/m ²)	γ_f [-]	Návrhové [kN/m]
Typ zatížení			
Konstrukce dvojité podlahy	1,000	1,35	1,350
Nadbetonávka tl. 84mm	2,100	1,35	2,835
Ocelové profily - IPE 200 á 1,55m	0,150	1,35	0,203
SDK podhled	0,350	1,35	0,473
Celkem stálé	3,600		4,860

Objekt "A"+"B" - Skladba stropní konstrukce nad 1.NP a 2.NP - trámový strop

Stálé zatížení	Charakteristické (kN/m ²)	γ_f [-]	Návrhové [kN/m]
Typ zatížení			
Keramická dlažba tl. 10mm	0,200	1,35	0,270
Podlahová sádrovláknitá deska tl. 2x12,5mm	0,300	1,35	0,405
Kročejová izolace tl. 30mm	0,030	1,35	0,041
Podlahová sádrovláknitá deska tl. 10mm	0,120	1,35	0,162
Vyrovnávací podsyp tl. 50mm	0,200	1,35	0,270
Prkenný záklop tl. 30mm	0,180	1,35	0,243
Stávající stropní trámy á 0,8m	0,400	1,35	0,540
SDK podhled	0,250	1,35	0,338
Celkem stálé	1,680		2,268

Objekt "A"+"B"+"C" - Skladba přístřešku nástupiště

Stálé zatížení	Charakteristické (kN/m ²)	γ_f [-]	Návrhové [kN/m]
Typ zatížení			
Falcovaný plech tl. 0,55mm	0,120	1,35	0,162
Prkenný záklop tl. 30mm	0,180	1,35	0,243
Celkem stálé (bez nosné konstrukce)	0,300		0,405
Krokve 140/180 á 1,0m	0,150	1,35	0,202
Celkem stálé (s nosnou konstrukcí)	0,450		0,607

REKONSTRUKCE VÝPRAVNÍ BUDOVY V ŽST. TÁBOR

DOKUMENTACE PRO PROVÁDĚNÍ STAVBY

Objekt "A"+"B" – Skladba stropní konstrukce nad 1.NP a 2.NP – ocelový strop

Stálé zatížení	Charakteristické (kN/m ²)	γ_f [-]	Návrhové [kN/m]
Typ zatížení			
Keramická dlažba tl. 10mm	0,200	1,35	0,270
Podlahová sádrovláknitá deska tl. 2x12,5mm	0,300	1,35	0,405
Kročejová izolace tl. 30mm	0,030	1,35	0,041
Podlahová sádrovláknitá deska tl. 10mm	0,120	1,35	0,162
Vyrovňovací podsyp tl. \approx 20mm	0,120	1,35	0,162
Prkenný záklop tl. 30mm	0,180	1,35	0,243
SDK podhled	0,250	1,35	0,338
Celkem stálé (bez nosné konstrukce)	1,200		1,620
Stropnice IPE270 á 1,0m	0,360	1,35	0,486
Celkem stálé (s nosnou konstrukcí)	1,560		2,106

Objekt "A"+"B" – Skladba střešního pláště

Stálé zatížení	Charakteristické (kN/m ²)	γ_f [-]	Návrhové (kN/m ²)
Typ zatížení			
Vláknocementové šablony tl. 5,2mm	0,250	1,35	0,338
Laťování	0,140	1,35	0,189
Stávající krokve 140/160 á 1,0m	0,150	1,35	0,203
Tepelná izolace tl. 260mm	0,260	1,35	0,351
SDK podhled	0,350	1,35	0,473
Celkem stálé	1,150		1,553
Vaznice, sloupky, pásky – odhad plošné hmotnosti	0,150	1,35	0,203
Celkem stálé vč. plošné hmotnosti krokv. prvků	1,300		1,755

Objekt "C" – Skladba střešního pláště

Stálé zatížení	Charakteristické (kN/m ²)	γ_f [-]	Návrhové [kN/m]
Typ zatížení			
Tepelná izolace tl. 160mm	0,160	1,35	0,216
Spádové klíny 40 – 190mm	0,140	1,35	0,189
Hydroizolace, geotextílie, parozábrana	0,100	1,35	0,135
Lamelový podhled	0,350	1,35	0,473
Celkem stálé (bez nosné konstrukce)	0,750		1,013

REKONSTRUKCE VÝPRAVNÍ BUDOVY V ŽST. TÁBOR

DOKUMENTACE PRO PROVÁDĚNÍ STAVBY

Objekt "D" – Skladba stropní konstrukce nad 1.PP

Stálé zatížení	Charakteristické (kN/m ²)	γ_f [-]	Návrhové [kN/m]
Typ zatížení			
Keramická dlažba tl. 10mm	0,230	1,35	0,311
Samonivelační potěr tl. 70mm	1,750	1,35	2,363
Tepelná izolace tl. 220mm (nad deskou)	0,220	1,35	0,297
Tepelná izolace tl. 200mm (pod deskou)	0,200	1,35	0,270
Celkem stálé (bez nosné konstrukce)	2,400		3,240

Objekt "D" – Skladba stropní konstrukce nad 1.NP

Stálé zatížení	Charakteristické (kN/m ²)	γ_f [-]	Návrhové [kN/m]
Typ zatížení			
Tepelná izolace tl. 200mm	0,200	1,35	0,270
Spádovací polystyrenbeton 50-160mm, $\rho=10\text{kN/m}^3$	1,250	1,35	1,688
Hydroizolace, geotextílie, parozábrana	0,100	1,35	0,135
SDK podhled	0,350	1,35	0,473
Celkem stálé (bez nosné konstrukce)	1,900		2,565

Objekt "A" – Skladba stropní konstrukce nad 2.NP – ocelobetonový strop

Stálé zatížení	Charakteristické (kN/m ²)	γ_f [-]	Návrhové [kN/m]
Typ zatížení			
Keramická dlažba tl. 10mm	0,200	1,35	0,270
Podlahová sádrovláknitá deska tl. 2x12,5mm	0,300	1,35	0,405
Kročejová izolace tl. 30mm	0,030	1,35	0,041
Podlahová sádrovláknitá deska tl. 10mm	0,120	1,35	0,162
Vyrovnávací podsyp tl. 80mm	0,320	1,35	0,432
SDK podhled	0,350	1,35	0,473
Celkem stálé (bez roznášecí vrstvy)	1,320		1,782
TR plech + 50 mm nadbetonávka	2,100	1,35	2,835
Celkem stálé (s roznášecí vrstvou)	3,420		4,617

Zatížení od SDK příček je uvažováno hodnotou 2,50 kN/m². Zatížení od keramických příček je uvažováno hodnotou 5,50 kN/m²

Zatížení od plánované technologie FVE u plochých střech je uvažováno hodnotou 0,50 kN/m².

REKONSTRUKCE VÝPRAVNÍ BUDOVY V ŽST. TÁBOR

DOKUMENTACE PRO PROVÁDĚNÍ STAVBY

F.2 Zatížení proměnná

Zatížení užité bylo uvažováno dle ČSN EN 1991-1-1. Při návrhu byla použita kategorie následující kategorie s charakteristickými hodnotami zatížení:

- kat. A – 1,5 kN/m² = obývané prostory bytů
- kat. A – 3,0 kN/m² = schodiště
- kat. B – 2,5 kN/m² = kanceláře
- kat. C1x – 7,5 kN/m² = smluvní užité zatížení od stolů ve 2.NP objektu „A“
- kat. C3 – 5,0 kN/m² = prostory pro volný pohyb osob
- kat. H – 0,75 kN/m² = nepochozí střechy, zatížení od údržby, úložné prostory

Zatížení sněhem bylo stanoveno dle ČSN EN 1991-1-3 ed.2 jako pro sněhovou oblast II., tedy 1,00 kN/m². Charakteristickou hodnotu zatížení lze uvažovat 0,80 kN/m² (sklon střechy $\alpha = 0^\circ$; $C_e = 1,0$; $C_t = 1,0$; $s_k = 1,0$, $\mu_{i(\alpha)} = 0,8$ pro $\alpha = (0^\circ - 30^\circ)$). Je předpokládáno, že současně nebude působit na střešní rovinu zatížení sněhem i užité zatížení od údržby – je uvažována vyšší z hodnot.

REKONSTRUKCE VÝPRAVNÍ BUDOVY V ŽST. TÁBOR

DOKUMENTACE PRO PROVÁDĚNÍ STAVBY

F.3 Objekt „A“

F.3.1 Posudek spřažených stropů 1.NP a 2.NP

F.3.1.1 Posudek spřaženého stropu nad 1.NP – IPE180 max. á 2,00m, L=4,30m

OCEL. PROFIL		IPE	IPE180
1) Ověření rybníkového efektu			
f=5,80 kN/m			
δ=9,34 mm			
δlim=5 mm			
K efektu dochází			
VI. Tíha bet. Desky2,22 kN/m2			
2) Ověření montážního stavu			
fk=6,13 kN/m			
fd=8,50 kN/m			
Med=19,65 KNm			
Mrd=39,10 kNm			
MSUvyhovuje			
δ=9,87 mm			
δlim=17,2 mm			
MSPvyhovuje			
3) Posouzení provozního stádia			
fk=21,78 kN/m			
fd=31,66 kN/m			
Med=73,16 KNm			
b,eff=0,86 m			
x38,50 mm			
z169,25 mm			
Mrd95,26 kNm			
Posudekvyhovuje			
Využití76,80 %			
Ved68,06 kN			
Vrd152,64 kN			
Posudekvyhovuje			
Využití44,59 %			
4) Návrh spřažení			

Vlastnosti ocelového profilu	
h=	180 mm
b=	91 mm
tf=	8 mm
A=	2395 mm ²
A,vz=	1125 mm2
Iy=	13170000 mm ⁴
Wpl,y=	166400 mm ³
G=	18,8 kg/m
E=	210 GPa
fy	235 MPa

délka	4,3 m
Zat. šířka	2 m
Použitý beton	
fck	30 MPa
fcd	20 MPa
fyk	500 MPa
fyd	434,78 MPa
tl. Bet. Desky	50 mm
výška TR. plechu	48,5 mm
Ekvivalentní tloušťka	66,2 mm
Char. Zatížení	
skladba	1,075 kN/m2
VI. Tíha bet. Desky	2,06 kN/m2
užitné	7,5 kN/m2
užitné montážní	0,75 kN/m2
Spřahovací trny	
Průměr d	19 mm
Výška hsc	100 mm
fu	360 MPa

REKONSTRUKCE VÝPRAVNÍ BUDOVY V ŽST. TÁBOR

DOKUMENTACE PRO PROVÁDĚNÍ STAVBY

γ, MV	1,25	-
E, cm (beton)	32	GPa
počet trnů ve vlně	1	-
šířka ve středu vlny	84,5	mm

min vzdálenost trnů		
příčně	120	mm
max. podélně	300	mm
max. od kraje		
nosníku	72	mm
min. kraje nosníku	20	mm

hsc/d	5,26	-
α	1,00	-
Prd	65,33	kN
k,t	0,85	-
P'rd	55,53	kN
Nc	562,83	kN
n,req	11	ks
n,aw	8	ks
η	0,727272727	
Mrd	79,94	kNm
MSU	vyhovuje	
Využití	91,52	%

5) Posouzení MSP

E_c	16	GPa
n	13,13	-
b_{eff}/n	0,07	m
$I_{y,eff}$	0,00005202	m ⁴
zh	0,09	m
zd	0,19	m
$f_{k,add}$	8,58	kN/m
δ , montážní	7,45	mm
δ , celkové	10,95	mm
$\delta_{lim=}$	17,20	mm
Posudek	vyhovuje	
$M_{ek,k}$	19,82	kNm
$\sigma_{a,max}$	72,44	MPa
f_y	235	MPa
Posudek	vyhovuje	
$\sigma_{c,max}$	2,57	MPa
$f_{ck} \cdot 0,85$	25,5	MPa
Posudek	vyhovuje	

Ocelový profil IPE180 á 2,0m v kombinaci se spřaženou deskou (TR50/250 + 50mm nadbetonávka nad vlnu) vyhovuje na MSÚ I MSP.

REKONSTRUKCE VÝPRAVNÍ BUDOVY V ŽST. TÁBOR

DOKUMENTACE PRO PROVÁDĚNÍ STAVBY

F.3.1.2 Posudek spřaženého stropu nad 1.NP – IPE200 max. á 1,50m, L=5,30m

OCEL. PROFIL	IPE	IPE200	1) Ověření rybníkového efektu
--------------	-----	--------	-------------------------------

Vlastnosti ocelového profilu	
h=	200 mm
b=	100 mm
tf=	8,5 mm
A=	2848 mm ²
A,vz=	1400 mm ²
Iy=	19430000 mm ⁴
Wpl,y=	220600 mm ³
G=	22,4 kg/m
E=	210 GPa
fy	235 MPa

délka 5,3 m
Zat. Šířka 1,5 m

Použitý beton

fck 30 MPa
fcd 20 MPa
fyk 500 MPa
fyd 434,78 MPa

tl. Bet. Desky 50 mm
výška TR. plechu 48,5 mm
Ekvivalentní tloušťka 66,2 mm

Char. Zatížení

skladba 1,075 kN/m²
VI. Tíha bet. Desky 2,06 kN/m²
užitné 7,5 kN/m²
užitné montážní 0,75 kN/m²

Spřahovací trny

Průměr d 19 mm
Výška hsc 100 mm
fu 360 MPa
γ,MV 1,25 -
E,cm (beton) 32 GPa
počet trnů ve vlně 1 -

f=	4,44 kN/m
δ=	11,17 mm
δlim=	5 mm
K efektu	dochází
VI. Tíha bet. Desky	2,25 kN/m ²

2) Ověření montážního stavu

fk=	4,73 kN/m
fd=	6,55 kN/m
Med=	23,01 KNm
Mrd=	51,84 kNm
MSU	vyhovuje
δ=	11,91 mm
δlim=	21,2 mm
MSP	vyhovuje

3) Posouzení provozního stádia

fk=	16,47 kN/m
fd=	23,92 kN/m
Med=	83,98 KNm
b,eff=	1,06 m
x	37,14 mm
z	179,93 mm
Mrd	120,42 kNm
Posudek	vyhovuje
Využití	69,74 %
Ved	63,38 kN
Vrd	189,95 kN
Posudek	vyhovuje
Využití	33,37 %

4) Návrh spřažení

hsc/d	5,26 -
α	1,00 -

REKONSTRUKCE VÝPRAVNÍ BUDOVY V ŽST. TÁBOR

DOKUMENTACE PRO PROVÁDĚNÍ STAVBY

šířka ve středu vlny	84,5 mm	Prd	65,33 kN
		k,t	0,85 -
min vzdálenost trnů		P'rd	55,53 kN
příčně	127,5 mm	Nc	669,28 kN
max. podélně	300 mm	n,req	13 ks
max. od kraje			
nosníku	76,5 mm	n,aw	10 ks
min. od kraje nosníku	20 mm	η	0,769230769
		Mrd	104,60 kNm
		MSU	vyhovuje
		Využití	80,29 %

5) Posouzení MSP

Ec	16 GPa
n	13,13 -
beff/n	0,08 m
ly,eff	0,00007222 m4
zh	0,09 m
zd	0,21 m
fk,add	8,58 kN/m
δ, montážní	9,08 mm
δ, celkové	14,89 mm
δlim=	21,20 mm
Posudek	vyhovuje
Mek,k	30,11 kNm
σa,max	86,68 MPa
fy	235 MPa
Posudek	vyhovuje
σc,max	2,88 MPa
fck*0,85	25,5 MPa
Posudek	vyhovuje

Ocelový profil IPE200 á 1,55m v kombinaci se spřaženou deskou (TR50/250 + 50mm nadbetonávka nad vlnu) vyhovuje na MSÚ I MSP.

REKONSTRUKCE VÝPRAVNÍ BUDOVY V ŽST. TÁBOR

DOKUMENTACE PRO PROVÁDĚNÍ STAVBY

F.3.1.3 Posudek spřaženého stropu nad 2.NP – IPE180 max. á 1,50m, L=5,45m

OCEL. PROFIL	IPE	IPE180	1) Ověření rybníkového efektu	
Vlastnosti ocelového profilu			f=	4,40 kN/m
h=	180 mm		δ=	18,28 mm
b=	91 mm		δlim=	5 mm
tf=	8 mm		K efektu	dochází
A=	2395 mm²			
A,vz=	1125 mm²		VI. Tíha bet. Desky	2,38 kN/m²
Iy=	13170000 mm⁴		2) Ověření montážního stavu	
Wpl,y=	166400 mm³		fk=	4,88 kN/m
G=	18,8 kg/m		fd=	6,76 kN/m
E=	210 GPa		Med=	25,09 KNm
fy	235 MPa		Mrd=	39,10 kNm
délka 5,45 m			MSU	vyhovuje
Zat. Šířka 1,5 m			δ=	20,27 mm
Použitý beton			δlim=	21,8 mm
fck	30 MPa		MSP	vyhovuje
fcd	20 MPa		3) Posouzení provozního stádia	
fyk	500 MPa		fk=	9,60 kN/m
fyd	434,78 MPa		fd=	13,52 kN/m
tl. Bet. Desky	50 mm		Med=	50,20 KNm
výška TR. plechu	48,5 mm		b,eff=	1,09 m
Ekvivalentní tloušťka	66,2 mm		x	30,37 mm
Char. Zatížení			z	173,31 mm
skladba	1,395 kN/m²		Mrd	97,54 kNm
VI. Tíha bet. Desky	2,06 kN/m²		Posudek	vyhovuje
užitné	2,5 kN/m²		Využití	51,46 %
užitné montážní	0,75 kN/m²		Ved	36,84 kN
Spřahovací trny			Vrd	152,64 kN
Průměr d	16 mm		Posudek	vyhovuje
Výška hsc	100 mm		Využití	24,14 %
fu	360 MPa		4) Návrh spřažení	
γ,MV	1,25 -		hsc/d	6,25 -
E,cm (beton)	32 GPa		α	1,00 -
počet trnů ve vlně	1 -			

REKONSTRUKCE VÝPRAVNÍ BUDOVY V ŽST. TÁBOR

DOKUMENTACE PRO PROVÁDĚNÍ STAVBY

šířka ve středu vlny **84,5** mm

min vzdálenost trnů
příčně 120 mm
max. podélně 300 mm
max. od kraje nosníku 72 mm
min. od kraje nosníku 20 mm

Prd	46,32 kN
k,t	0,85 -
P'rd	39,38 kN
Nc	562,83 kN
n,req	15 ks
n,aw	10 ks
η	0,666666667
Mrd	78,06 kNm
MSU	vyhovuje
Využití	64,30 %

5) Posouzení MSP

Ec	16 GPa
n	13,13 -
beff/n	0,08 m
ly,eff	0,00005546 m4
zh	0,08 m
zd	0,20 m
fk,add	3,90 kN/m
δ , montážní	15,60 mm
δ , celkové	19,44 mm
$\delta_{lim=}$	21,80 mm
Posudek	vyhovuje
Mek,k	14,46 kNm
σ_a,max	51,69 MPa
fy	235 MPa
Posudek	vyhovuje
σ_c,max	1,59 MPa
fck*0,85	25,5 MPa
Posudek	vyhovuje

Ocelový profil IPE180 á 1,50m v kombinaci se spřaženou deskou (TR50/250 + 50mm nadbetonávka nad vlnu) vyhovuje na MSÚ I MSP.

REKONSTRUKCE VÝPRAVNÍ BUDOVY V ŽST. TÁBOR

DOKUMENTACE PRO PROVÁDĚNÍ STAVBY

F.3.2 Posudek nových ocelových vazných trámů nad 2.NP

F.3.2.1 Strop nad 2.NP – Posudek ocelových vazných trámů ve stropě pro rozpětí 5,45m

Předpoklad: Skryté vazné trámy nejsou spřaženy s deskou, jsou však drženy proti klopení.
První (horní prvek) představuje krajní vazný trám, druhý pak běžný vazný trám.

Rozpětí $L = 5,45 \text{ m}$; Zatěžovací šířka $= 1,15 \text{ m}$ (0,75m pro krajní)

Zatížení od střešní roviny – bodová síla od sloupu

$$A = b \times l \times \frac{1}{\cos 30} = 4,58 \times 3,38 \times \frac{1}{\cos 30} = 17,9 \text{ m}^2$$

Skladba střechy $= 1,30 \text{ kN/m}^2 = 23,3 \text{ kN}$

Proměnné zatížení:

Užitné $= 0,75 \text{ kN/m}^2 = 13,4 \text{ kN}$

Zatížení od stropu nad 2.NP

Stálé zatížení:

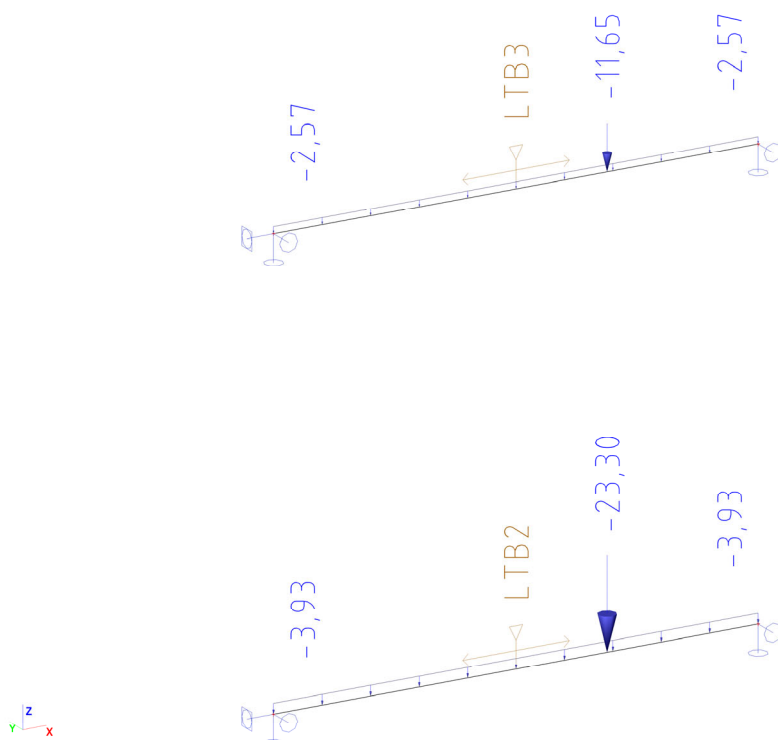
Skladba podlahy $= 3,42 \text{ kN/m}^2$

Příčky $= 0,75 \text{ kN/m}^2$ příčky

Proměnné zatížení:

Užitné $= 2,50 \text{ kN/m}^2$

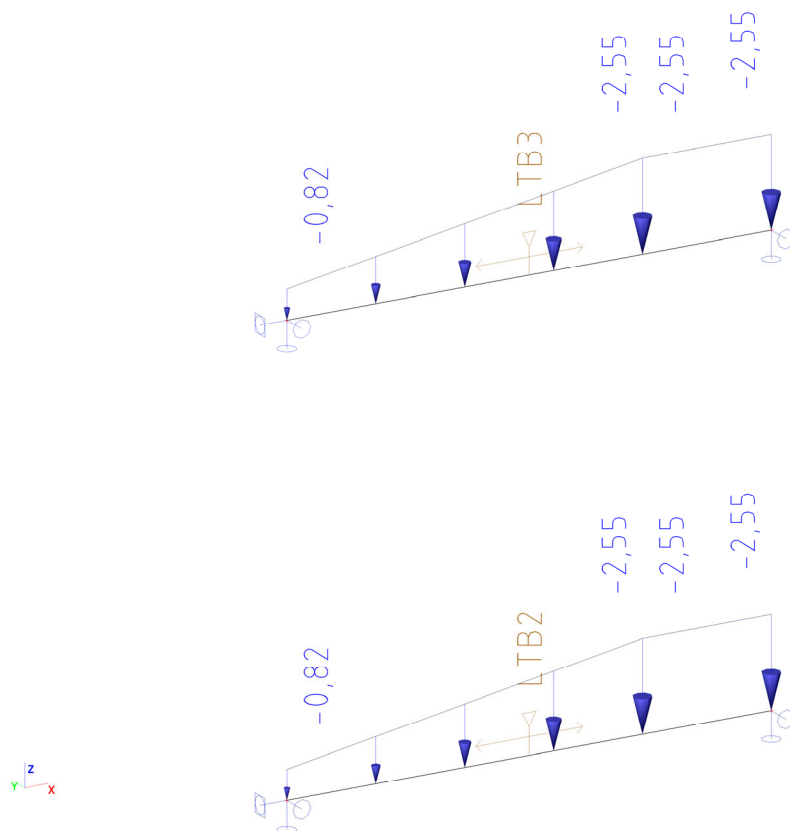
F.3.2.2 Zatížení stálé – Zatížení od skladby podlahy [kN/m²]



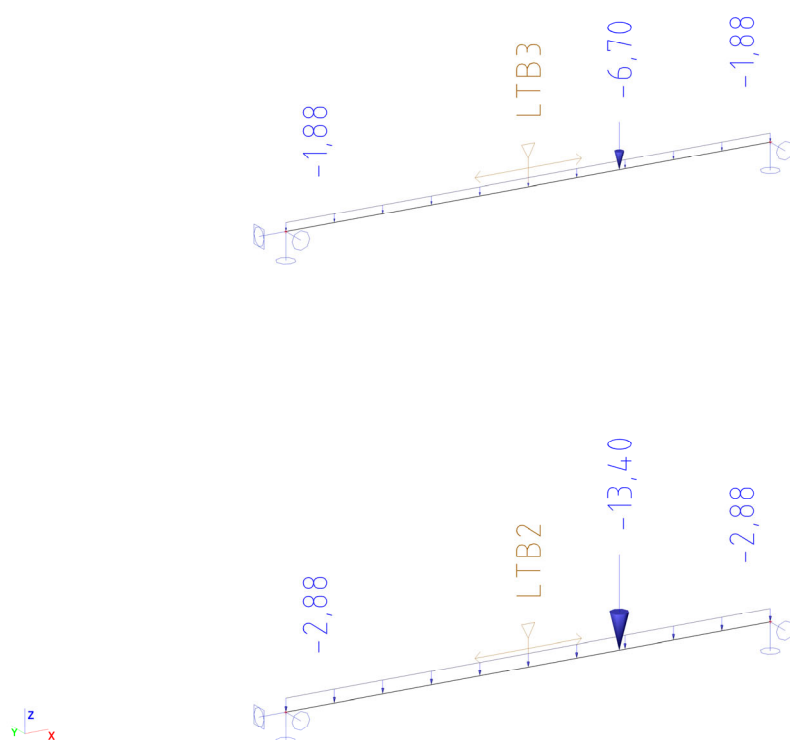
REKONSTRUKCE VÝPRAVNÍ BUDOVY V ŽST. TÁBOR

DOKUMENTACE PRO PROVÁDĚNÍ STAVBY

F.3.2.3 Zatížení stálé – Zatížení od hmotnosti příček [kN/m²]



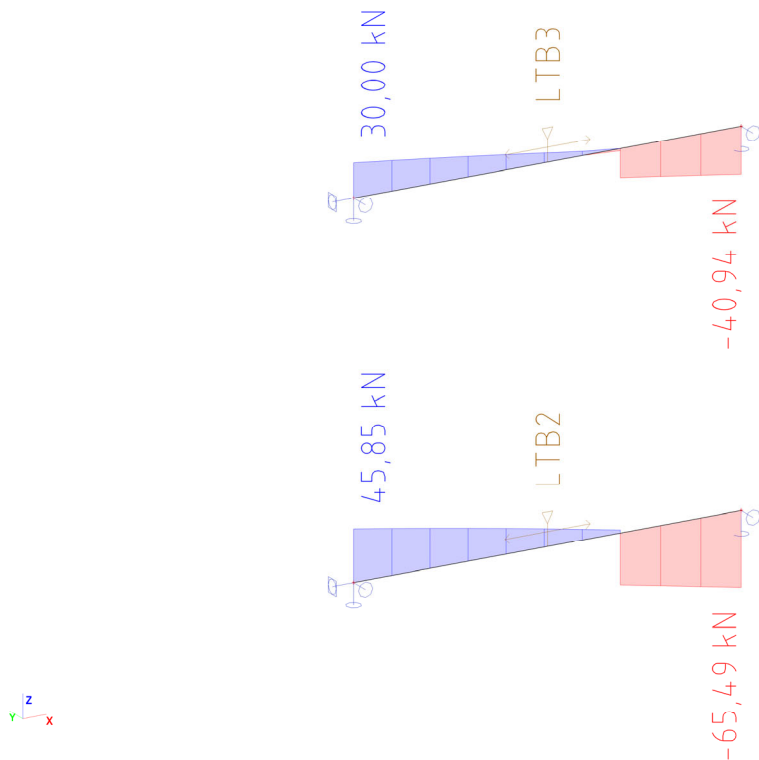
F.3.2.4 Zatížení proměnné – Užitné zatížení [kN/m²]



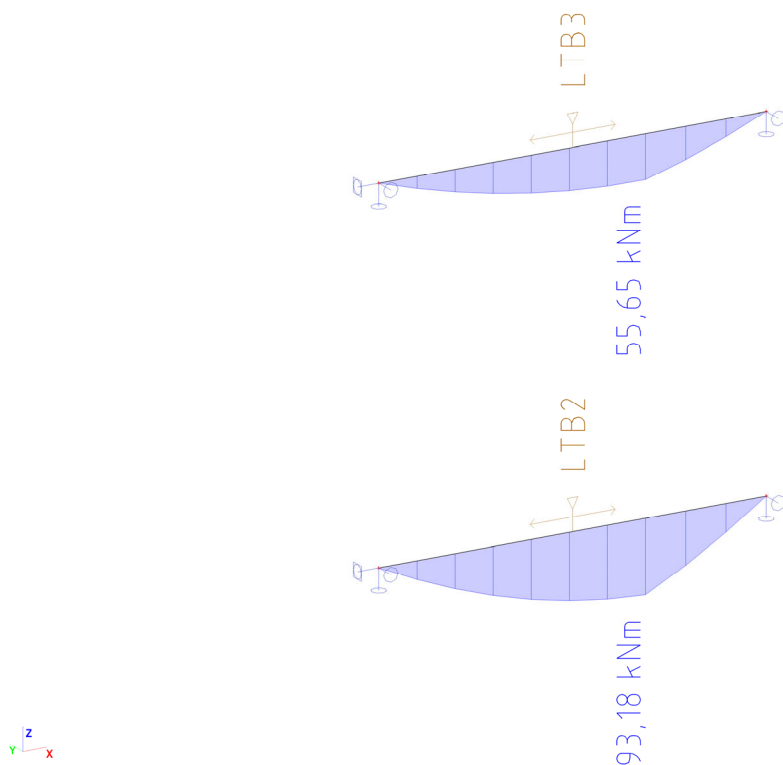
REKONSTRUKCE VÝPRAVNÍ BUDOVY V ŽST. TÁBOR

DOKUMENTACE PRO PROVÁDĚNÍ STAVBY

F.3.2.5 Vnitřní síly – Průběh posouvající síly V [kN]



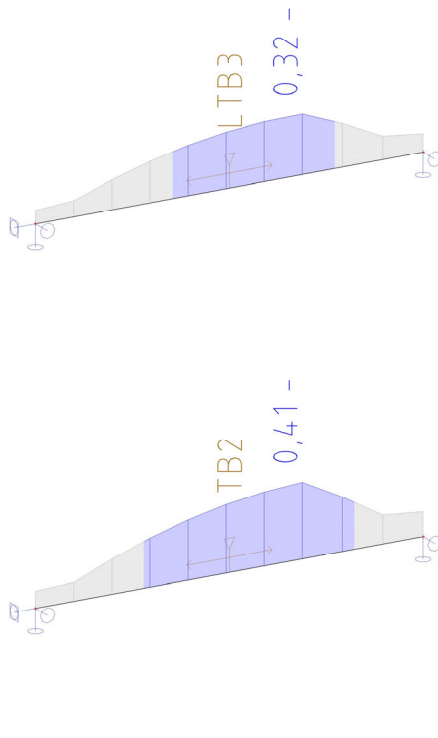
F.3.2.6 Vnitřní síly – Průběh ohybového momentu My [kNm]



REKONSTRUKCE VÝPRAVNÍ BUDOVY V ŽST. TÁBOR

DOKUMENTACE PRO PROVÁDĚNÍ STAVBY

F.3.2.7 Posouzení MSÚ – Využití průřezu od vnitřních sil [*100= %]



Posudek ocelových prvků na MSÚ EC-EN 1993

Hodnoty: $U_{C_{celkový}}$

Lineární výpočet

Kombinace: MSÚ-Sada B (auto)

Souřadný systém: Hlavní

Extrém 1D: Průřez

Výběr: Vše

Posudek EN 1993-1-1

Národní dodatek: Česká CSN-EN NA

Dílec B12	3,750 / 5,450 m	2l komora (IPE270)	Svařované	S 235	MSÚ-Sada B (auto)	0,41 -
-----------	-----------------	--------------------	-----------	-------	-------------------	--------

Klíč kombinace

MSÚ-Sada B (auto) / 1.15*ZS1 + 1.15*ZS2 + 1.15*ZS3 + 1.50*ZS4.A

Díleč souč. spolehlivosti

Únosnost průřezů	γ_{M0}	1,00
Únosnost na stabilitu	γ_{M1}	1,00
Únosnost čistého průřezu	γ_{M2}	1,25

Materiál

Mez kluzu	f_y	235,0	MPa
Pevnost v tahu	f_u	360,0	MPa

....:POSUDEK ÚNOSNOSTI:....

Kritický posudek je na pozici 3,750 m

Vnitřní síly		Vypočtené	Jednotka
Osová síla	N_{Ed}	0,00	kN

REKONSTRUKCE VÝPRAVNÍ BUDOVY V ŽST. TÁBOR

DOKUMENTACE PRO PROVÁDĚNÍ STAVBY

Vnitřní síly		Vypočtené	Jednotka
Smyková síla	$V_{y,Ed}$	0,00	kN
Smyková síla	$V_{z,Ed}$	2,69	kN
Kroucení	T_{Ed}	0,00	kNm
Ohybový moment	$M_{y,Ed}$	93,18	kNm
Ohybový moment	$M_{z,Ed}$	0,00	kNm

Klasifikace pro návrh průřezu

Klasifikace podle EN 1993-1-1 článku 5.5.2

Klasifikace vnitřních a vnějších částí podle EN 1993-1-1 tabulky 5.2 listu 1 a 2

Id	Typ	c [mm]	t [mm]	σ_1 [kN/m²]	σ_2 [kN/m²]	ψ [-]	k_σ [-]	α [-]	c/t [-]	Třída 1 limit [-]	Třída 2 limit [-]	Třída 3 limit [-]	Třída
1	I	68	10	-107802,522	-107802,522								
2	I	68	10	107802,522	107802,522	1,0		1,0	6,6	28,0	34,0	38,0	1
3	UO	68	10	107802,522	107802,522	1,0	0,4	1,0	6,6	9,0	10,0	14,0	1
4	UO	68	10	-107802,522	-107802,522								
5	I	5	7	-107802,522	-103570,091								
6	I	250	7	-103570,091	103570,091	-1,0		0,5	37,8	72,0	83,0	124,0	1
7	I	5	7	103570,091	107802,522	1,0		1,0	0,8	28,0	34,0	38,5	1
8	UO	68	10	-107802,522	-107802,522								
9	UO	68	10	107802,522	107802,522	1,0	0,4	1,0	6,6	9,0	10,0	14,0	1
10	I	68	10	107802,522	107802,522	1,0		1,0	6,6	28,0	34,0	38,0	1
11	I	68	10	-107802,522	-107802,522								
12	I	5	7	-107802,522	-103570,091								
13	I	250	7	-103570,091	103570,091	-1,0		0,5	37,8	72,0	83,0	124,0	1
14	I	5	7	103570,091	107802,522	1,0		1,0	0,8	28,0	34,0	38,5	1

Průřez je klasifikován třídou 1

Poznámka: Limity klasifikace byly nastaveny podle Semi-Comp+.

Posudek ohybového momentu pro M_y

Podle EN 1993-1-1 článku 6.2.5 a rovnice (6.12), (6.13)

$$M_{pl,y,Rd} = \frac{W_{pl,y} \times f_y}{\gamma_{M0}} = \frac{9,6885 \cdot 10^{-4} [m^3] \times 235,0 [MPa]}{1,00} = 227,68 [kNm] \quad (EC3-1-1: 6.13)$$

$$\text{Jedn. posudek} = \frac{|M_{y,Ed}|}{M_{pl,y,Rd}} = \frac{|93,18 [kNm]|}{227,68 [kNm]} = 0,41 \leq 1,00 \quad (EC3-1-1: 6.12)$$

Posudek smyku pro V_z

Podle EN 1993-1-1 článku 6.2.6 a rovnice (6.17)

$$V_{pl,z,Rd} = \frac{A_v \times \frac{f_y}{\sqrt{3}}}{\gamma_{M0}} = \frac{3,6531 \cdot 10^{-3} [m^2] \times \frac{235,0 [MPa]}{\sqrt{3}}}{1,00} = 495,64 [kN] \quad (EC3-1-1: 6.18)$$

$$\text{Jedn. posudek} = \frac{|V_{z,Ed}|}{V_{pl,z,Rd}} = \frac{|2,69 [kN]|}{495,64 [kN]} = 0,01 \leq 1,00 \quad (EC3-1-1: 6.17)$$

Poznámka: Z průřezových charakteristik není získána žádná smyková plocha.

Prvek splňuje podmínky posudku průřezu.

....:POSUDEK STABILITY:....

Klasifikace pro návrh dílce na vzpěr

Rozhodující poloha pro klasifikaci stability: 3,750 m

Rozhodující součinitel využití η : 0,41

Klasifikace podle EN 1993-1-1 článku 5.5.2

Klasifikace vnitřních a vnějších částí podle EN 1993-1-1 tabulky 5.2 listu 1 a 2

Id	Typ	c [mm]	t [mm]	σ_1 [kN/m²]	σ_2 [kN/m²]	ψ [-]	k_σ [-]	α [-]	c/t [-]	Třída 1 limit [-]	Třída 2 limit [-]	Třída 3 limit [-]	Třída
1	I	68	10	-107802,522	-107802,522								
2	I	68	10	107802,522	107802,522	1,0		1,0	6,6	28,0	34,0	38,0	1
3	UO	68	10	107802,522	107802,522	1,0	0,4	1,0	6,6	9,0	10,0	14,0	1
4	UO	68	10	-107802,522	-107802,522								
5	I	5	7	-107802,522	-103570,091								
6	I	250	7	-103570,091	103570,091	-1,0		0,5	37,8	72,0	83,0	124,0	1

REKONSTRUKCE VÝPRAVNÍ BUDOVY V ŽST. TÁBOR

DOKUMENTACE PRO PROVÁDĚNÍ STAVBY

Id	Typ	c [mm]	t [mm]	σ_1 [kN/m²]	σ_2 [kN/m²]	ψ [-]	k_σ [-]	α [-]	c/t [-]	Třída 1 limit [-]	Třída 2 limit [-]	Třída 3 limit [-]	Třída
7	I	5	7	103570,091	107802,522	1,0		1,0	0,8	28,0	34,0	38,5	1
8	UO	68	10	-107802,522	-107802,522								
9	UO	68	10	107802,522	107802,522	1,0	0,4	1,0	6,6	9,0	10,0	14,0	1
10	I	68	10	107802,522	107802,522	1,0		1,0	6,6	28,0	34,0	38,0	1
11	I	68	10	-107802,522	-107802,522								
12	I	5	7	-107802,522	-103570,091								
13	I	250	7	-103570,091	103570,091	-1,0		0,5	37,8	72,0	83,0	124,0	1
14	I	5	7	103570,091	107802,522	1,0		1,0	0,8	28,0	34,0	38,5	1

Průřez je klasifikován třídou 1

Poznámka: Limity klasifikace byly nastaveny podle Semi-Comp+.

Poznámka: Rozhodující poloha pro klasifikaci stability je založena na součiniteli využití η podle Semi-Comp+.

Posudek klopení

Podle EN 1993-1-1 článku 6.3.2.1

Poznámka: Posudek klopení je zanedbatelný, protože dílci je bráněno v příčné deformaci.

Prvek splňuje podmínky stabilitního posudku.

Posudek EN 1993-1-1

Národní dodatek: Česká CSN-EN NA

Dílec B13	3,750 / 5,450 m	2l komora (IPE240)	Svařované	S 235	MSÚ-Sada B (auto)	0,32 -
-----------	-----------------	-----------------------	-----------	-------	----------------------	--------

Klíč kombinace	
MSÚ-Sada B (auto) / 1.15*ZS1 + 1.15*ZS2 + 1.15*ZS3 + 1.50*ZS4.A	

Dílčí souč. spolehlivosti		
Únosnost průřezů	γ_{M0}	1,00
Únosnost na stabilitu	γ_{M1}	1,00
Únosnost čistého průřezu	γ_{M2}	1,25

Materiál			
Mez kluzu	f_y	235,0	MPa
Pevnost v tahu	f_u	360,0	MPa

....:POSUDEK ÚNOSNOSTI:....

Kritický posudek je na pozici 3,750 m

Vnitřní síly		Vypočtené	Jednotka
Osová síla	N_{Ed}	0,00	kN
Smyková síla	$V_{y,Ed}$	0,00	kN
Smyková síla	$V_{z,Ed}$	-1,36	kN
Kroucení	T_{Ed}	0,00	kNm
Ohybový moment	$M_{y,Ed}$	55,65	kNm
Ohybový moment	$M_{z,Ed}$	0,00	kNm

Klasifikace pro návrh průřezu

Klasifikace podle EN 1993-1-1 článku 5.5.2

Klasifikace vnitřních a vnějších částí podle EN 1993-1-1 tabulky 5.2 listu 1 a 2

Id	Typ	c [mm]	t [mm]	σ_1 [kN/m²]	σ_2 [kN/m²]	ψ [-]	k_σ [-]	α [-]	c/t [-]	Třída 1 limit [-]	Třída 2 limit [-]	Třída 3 limit [-]	Třída
1	I	60	10	-85440,918	-85440,918								
2	I	60	10	85440,918	85440,918	1,0		1,0	6,1	28,0	34,0	38,0	1
3	UO	60	10	85440,918	85440,918	1,0	0,4	1,0	6,1	9,0	10,0	14,0	1
4	UO	60	10	-85440,918	-85440,918								
5	I	5	6	-85440,918	-81803,555								
6	I	220	6	-81803,555	81803,555	-1,0		0,5	35,5	72,0	83,0	124,0	1
7	I	5	6	81803,555	85440,918	1,0		1,0	0,8	28,0	34,0	38,6	1
8	UO	60	10	-85440,918	-85440,918								
9	UO	60	10	85440,918	85440,918	1,0	0,4	1,0	6,1	9,0	10,0	14,0	1
10	I	60	10	85440,918	85440,918	1,0		1,0	6,1	28,0	34,0	38,0	1

REKONSTRUKCE VÝPRAVNÍ BUDOVY V ŽST. TÁBOR

DOKUMENTACE PRO PROVÁDĚNÍ STAVBY

Id	Typ	c [mm]	t [mm]	σ_1 [kN/m ²]	σ_2 [kN/m ²]	ψ [-]	k_σ [-]	α [-]	c/t [-]	Třída 1 limit [-]	Třída 2 limit [-]	Třída 3 limit [-]	Třída
11	I	60	10	-85440,918	-85440,918								
12	I	5	6	-85440,918	-81803,555								
13	I	220	6	-81803,555	81803,555	-1,0		0,5	35,5	72,0	83,0	124,0	1
14	I	5	6	81803,555	85440,918	1,0		1,0	0,8	28,0	34,0	38,6	1

Průřez je klasifikován třídou 1

Poznámka: Limity klasifikace byly nastaveny podle Semi-Comp+.

Posudek ohybového momentu pro M_y

Podle EN 1993-1-1 článku 6.2.5 a rovnice (6.12), (6.13)

$$M_{pl,y,Rd} = \frac{W_{pl,y} \times f_y}{\gamma_{M0}} = \frac{7,3404 \cdot 10^{-4} [m^3] \times 235,0 [MPa]}{1,00} = 172,50 [kNm] \quad (EC3-1-1: 6.13)$$

$$\text{Jedn. posudek} = \frac{|M_{y,Ed}|}{M_{pl,y,Rd}} = \frac{|55,65 [kNm]|}{172,50 [kNm]} = 0,32 \leq 1,00 \quad (EC3-1-1: 6.12)$$

Posudek smyku pro V_z

Podle EN 1993-1-1 článku 6.2.6 a rovnice (6.17)

$$V_{pl,z,Rd} = \frac{A_v \times \frac{f_y}{\sqrt{3}}}{\gamma_{M0}} = \frac{3,0589 \cdot 10^{-3} [m^2] \times \frac{235,0 [MPa]}{\sqrt{3}}}{1,00} = 415,03 [kN] \quad (EC3-1-1: 6.18)$$

$$\text{Jedn. posudek} = \frac{|V_{z,Ed}|}{V_{pl,z,Rd}} = \frac{|-1,36 [kN]|}{415,03 [kN]} = 0,00 \leq 1,00 \quad (EC3-1-1: 6.17)$$

Poznámka: Z průřezových charakteristik není získána žádná smyková plocha.

Prvek splňuje podmínky posudku průřezu.

...:POSUDEK STABILITY:...

Klasifikace pro návrh dílce na vzpěr

Rozhodující poloha pro klasifikaci stability: 3,750 m

Rozhodující součinitel využití η : 0,32

Klasifikace podle EN 1993-1-1 článku 5.5.2

Klasifikace vnitřních a vnějších částí podle EN 1993-1-1 tabulky 5.2 listu 1 a 2

Id	Typ	c [mm]	t [mm]	σ_1 [kN/m ²]	σ_2 [kN/m ²]	ψ [-]	k_σ [-]	α [-]	c/t [-]	Třída 1 limit [-]	Třída 2 limit [-]	Třída 3 limit [-]	Třída
1	I	60	10	-85440,918	-85440,918								
2	I	60	10	85440,918	85440,918	1,0		1,0	6,1	28,0	34,0	38,0	1
3	UO	60	10	85440,918	85440,918	1,0	0,4	1,0	6,1	9,0	10,0	14,0	1
4	UO	60	10	-85440,918	-85440,918								
5	I	5	6	-85440,918	-81803,555								
6	I	220	6	-81803,555	81803,555	-1,0		0,5	35,5	72,0	83,0	124,0	1
7	I	5	6	81803,555	85440,918	1,0		1,0	0,8	28,0	34,0	38,6	1
8	UO	60	10	-85440,918	-85440,918								
9	UO	60	10	85440,918	85440,918	1,0	0,4	1,0	6,1	9,0	10,0	14,0	1
10	I	60	10	85440,918	85440,918	1,0		1,0	6,1	28,0	34,0	38,0	1
11	I	60	10	-85440,918	-85440,918								
12	I	5	6	-85440,918	-81803,555								
13	I	220	6	-81803,555	81803,555	-1,0		0,5	35,5	72,0	83,0	124,0	1
14	I	5	6	81803,555	85440,918	1,0		1,0	0,8	28,0	34,0	38,6	1

Průřez je klasifikován třídou 1

Poznámka: Limity klasifikace byly nastaveny podle Semi-Comp+.

Poznámka: Rozhodující poloha pro klasifikaci stability je založena na součiniteli využití η podle Semi-Comp+.

Posudek klopení

Podle EN 1993-1-1 článku 6.3.2.1

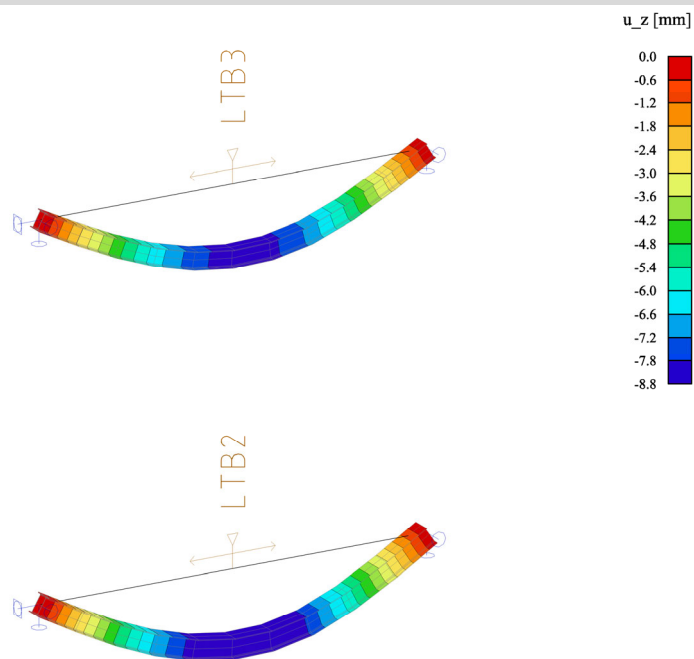
Poznámka: Posudek klopení je zanedbatelný, protože dílci je bráněno v příčné deformaci.

Prvek splňuje podmínky stabilitního posudku.

REKONSTRUKCE VÝPRAVNÍ BUDOVY V ŽST. TÁBOR

DOKUMENTACE PRO PROVÁDĚNÍ STAVBY

F.3.2.8 Posouzení MSP – Svislá deformace nosníku [mm]



$$u_z = 8,8 \text{ mm} \leq u_{max} = \frac{L}{500} = 10,9 \text{ mm}$$

REKONSTRUKCE VÝPRAVNÍ BUDOVY V ŽST. TÁBOR

DOKUMENTACE PRO PROVÁDĚNÍ STAVBY

F.3.2.9 Strop nad 2.NP – Posudek ocelových vazných trámů ve stropě pro rozpětí 4,50m

Předpoklad: Skryté vazné trámy nejsou spřaženy s deskou, jsou však drženy proti klopení.
První (horní prvek) představuje krajní vazný trám, druhý pak běžný vazný trám.

Rozpětí $L = 4,50 \text{ m}$; Zatěžovací šířka $= 1,15 \text{ m}$ (0,75m pro krajní)

Zatížení od střešní roviny – bodová síla od sloupu

$$A = b \times l \times \frac{1}{\cos 30} = 4,58 \times 3,38 \times \frac{1}{\cos 30} = 17,9 \text{ m}^2$$

Skladba střechy $= 1,30 \text{ kN/m}^2 = 23,3 \text{ kN}$

Proměnné zatížení:

Užitné $= 0,75 \text{ kN/m}^2 = 13,4 \text{ kN}$

Zatížení od stropu nad 2.NP

Stálé zatížení:

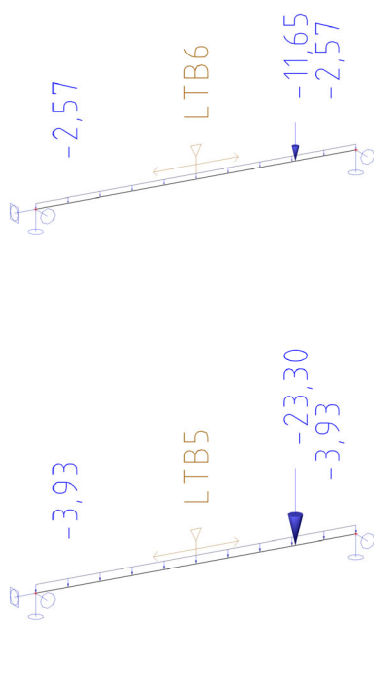
Skladba podlahy $= 3,42 \text{ kN/m}^2$

Příčky $= 0,75 \text{ kN/m}^2$ příčky

Proměnné zatížení:

Užitné $= 2,50 \text{ kN/m}^2$

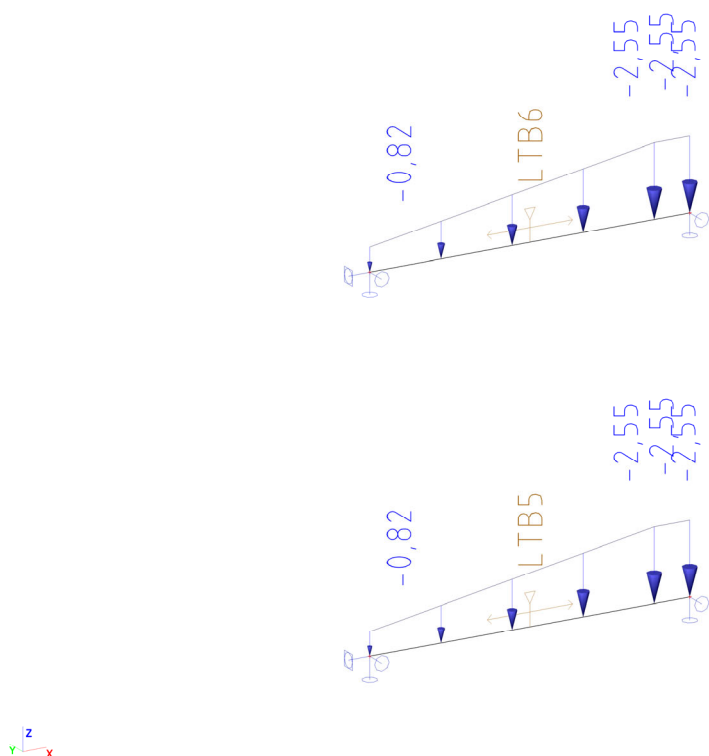
F.3.2.10 Zatížení stálé – Zatížení od skladby podlahy [kN/m2]



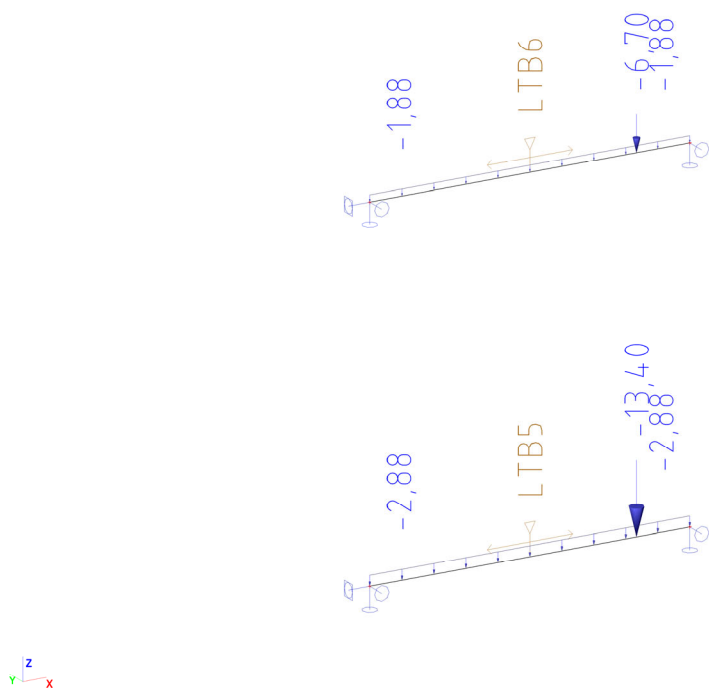
REKONSTRUKCE VÝPRAVNÍ BUDOVY V ŽST. TÁBOR

DOKUMENTACE PRO PROVÁDĚNÍ STAVBY

F.3.2.11 Zatížení stálé – Zatížení od hmotnosti příček [kN/m²]



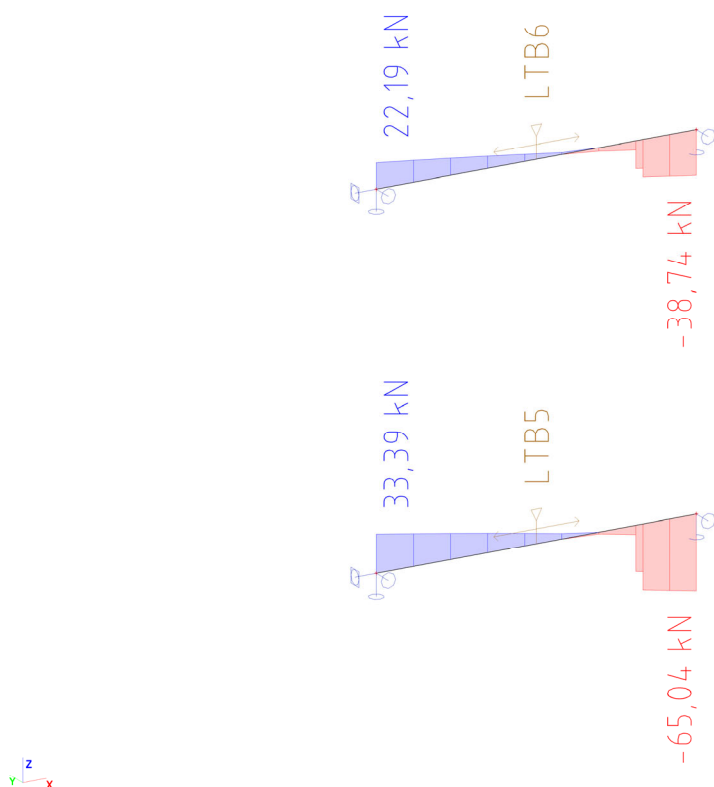
F.3.2.12 Zatížení proměnné – Užitné zatížení [kN/m²]



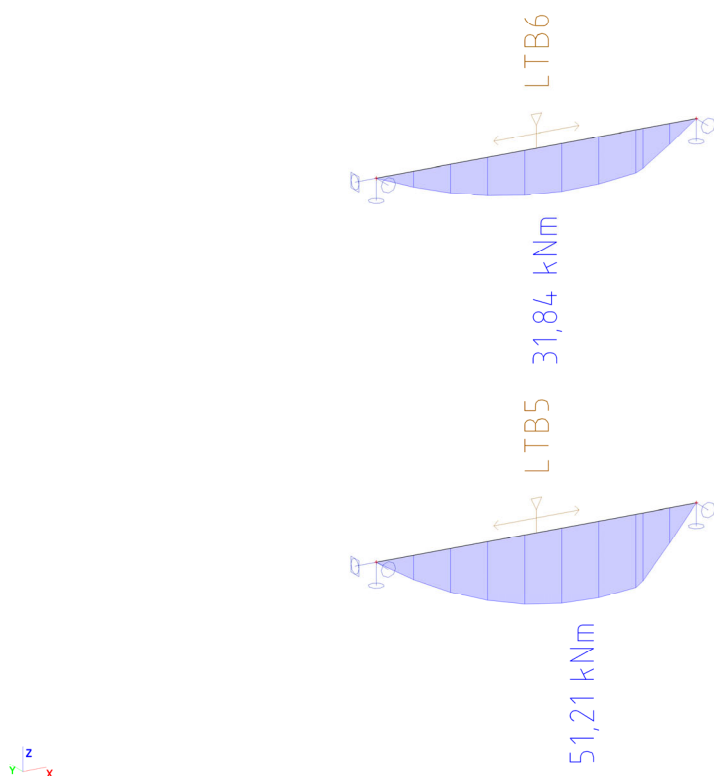
REKONSTRUKCE VÝPRAVNÍ BUDOVY V ŽST. TÁBOR

DOKUMENTACE PRO PROVÁDĚNÍ STAVBY

F.3.2.13 Vnitřní síly – Průběh posouvající síly V [kN]



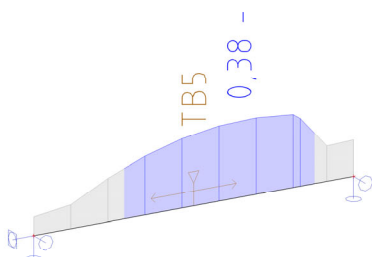
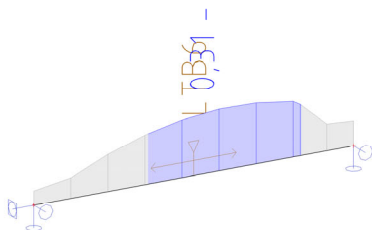
F.3.2.14 Vnitřní síly – Průběh ohybového momentu My [kNm]



REKONSTRUKCE VÝPRAVNÍ BUDOVY V ŽST. TÁBOR

DOKUMENTACE PRO PROVÁDĚNÍ STAVBY

F.3.2.15 Posouzení MSÚ – Využití průřezu od vnitřních sil [*100=%]



Posudek ocelových prvků na MSÚ EC-EN 1993

Hodnoty: $U_{C_{celkový}}$

Lineární výpočet

Kombinace: MSÚ-Sada B (auto)

Souřadný systém: Hlavní

Extrém 1D: Průřez

Výběr: Vše

Posudek EN 1993-1-1

Národní dodatek: Česká CSN-EN NA

Dílec B15	3,129 / 4,500 m	2l komora (IPE220)	Svařované	S 235	MSÚ-Sada B (auto)	B 0,38 -
-----------	-----------------	-----------------------	-----------	-------	----------------------	----------

Klíč kombinace

MSÚ-Sada B (auto) / 1.15*ZS1 + 1.15*ZS2 + 1.15*ZS3 + 1.50*ZS4.A

Dílčí souč. spolehlivosti

Únosnost průřezů	γ_{M0}	1,00
Únosnost na stabilitu	γ_{M1}	1,00
Únosnost čistého průřezu	γ_{M2}	1,25

Materiál

Mez kluzu	f_y	235,0	MPa
Pevnost v tahu	f_u	360,0	MPa

...:POSUDEK ÚNOSNOSTI:...:

Kritický posudek je na pozici 3,129 m

Vnitřní síly		Vypočtené	Jednotka
Osová síla	N_{Ed}	0,00	kN
Smyková síla	$V_{y,Ed}$	0,00	kN
Smyková síla	$V_{z,Ed}$	-1,46	kN
Kroucení	T_{Ed}	0,00	kNm

REKONSTRUKCE VÝPRAVNÍ BUDOVY V ŽST. TÁBOR

DOKUMENTACE PRO PROVÁDĚNÍ STAVBY

Vnitřní síly		Vypočtené	Jednotka
Ohybový moment	$M_{y,Ed}$	51,21	kNm
Ohybový moment	$M_{z,Ed}$	0,00	kNm

Klasifikace pro návrh průřezu

Klasifikace podle EN 1993-1-1 článku 5.5.2

Klasifikace vnitřních a vnějších částí podle EN 1993-1-1 tabulky 5.2 listu 1 a 2

Id	Typ	c [mm]	t [mm]	σ_1 [kN/m²]	σ_2 [kN/m²]	ψ [-]	k_σ [-]	α [-]	c/t [-]	Třída 1 limit [-]	Třída 2 limit [-]	Třída 3 limit [-]	Třída
1	I	55	9	-99573,117	-99573,117								
2	I	55	9	99573,117	99573,117	1,0		1,0	6,0	28,0	34,0	38,0	1
3	UO	55	9	99573,117	99573,117	1,0	0,4	1,0	6,0	9,0	10,0	14,0	1
4	UO	55	9	-99573,117	-99573,117								
5	I	5	6	-99573,117	-95227,421								
6	I	202	6	-95227,421	95227,421	-1,0		0,5	34,2	72,0	83,0	124,0	1
7	I	5	6	95227,421	99573,117	1,0		1,0	0,8	28,0	34,0	38,6	1
8	UO	55	9	-99573,117	-99573,117								
9	UO	55	9	99573,117	99573,117	1,0	0,4	1,0	6,0	9,0	10,0	14,0	1
10	I	55	9	99573,117	99573,117	1,0		1,0	6,0	28,0	34,0	38,0	1
11	I	55	9	-99573,117	-99573,117								
12	I	5	6	-99573,117	-95227,421								
13	I	202	6	-95227,421	95227,421	-1,0		0,5	34,2	72,0	83,0	124,0	1
14	I	5	6	95227,421	99573,117	1,0		1,0	0,8	28,0	34,0	38,6	1

Průřez je klasifikován třídou 1

Poznámka: Limity klasifikace byly nastaveny podle Semi-Comp+.

Posudek ohybového momentu pro M_y

Podle EN 1993-1-1 článku 6.2.5 a rovnice (6.12), (6.13)

$$M_{pl,y,Rd} = \frac{W_{pl,y} \times f_y}{\gamma_{M0}} = \frac{5,7125 \cdot 10^{-4} [m^3] \times 235,0 [MPa]}{1,00} = 134,24 [kNm] \quad (EC3-1-1: 6.13)$$

$$\text{Jedn. posudek} = \frac{|M_{y,Ed}|}{M_{pl,y,Rd}} = \frac{|51,21 [kNm]|}{134,24 [kNm]} = 0,38 \leq 1,00 \quad (EC3-1-1: 6.12)$$

Posudek smyku pro V_z

Podle EN 1993-1-1 článku 6.2.6 a rovnice (6.17)

$$V_{pl,z,Rd} = \frac{A_v \times \frac{f_y}{\sqrt{3}}}{\gamma_{M0}} = \frac{2,6488 \cdot 10^{-3} [m^2] \times \frac{235,0 [MPa]}{\sqrt{3}}}{1,00} = 359,38 [kN] \quad (EC3-1-1: 6.18)$$

$$\text{Jedn. posudek} = \frac{|V_{z,Ed}|}{V_{pl,z,Rd}} = \frac{|-1,46 [kN]|}{359,38 [kN]} = 0,00 \leq 1,00 \quad (EC3-1-1: 6.17)$$

Poznámka: Z průřezových charakteristik není získána žádná smyková plocha.

Prvek splňuje podmínky posudku průřezu.

....:POSUDEK STABILITY:....

Klasifikace pro návrh délce na vzpěr

Rozhodující poloha pro klasifikaci stability: 3,129 m

Rozhodující součinitel využití η : 0,38

Klasifikace podle EN 1993-1-1 článku 5.5.2

Klasifikace vnitřních a vnějších částí podle EN 1993-1-1 tabulky 5.2 listu 1 a 2

Id	Typ	c [mm]	t [mm]	σ_1 [kN/m²]	σ_2 [kN/m²]	ψ [-]	k_σ [-]	α [-]	c/t [-]	Třída 1 limit [-]	Třída 2 limit [-]	Třída 3 limit [-]	Třída
1	I	55	9	-99573,117	-99573,117								
2	I	55	9	99573,117	99573,117	1,0		1,0	6,0	28,0	34,0	38,0	1
3	UO	55	9	99573,117	99573,117	1,0	0,4	1,0	6,0	9,0	10,0	14,0	1
4	UO	55	9	-99573,117	-99573,117								
5	I	5	6	-99573,117	-95227,421								
6	I	202	6	-95227,421	95227,421	-1,0		0,5	34,2	72,0	83,0	124,0	1
7	I	5	6	95227,421	99573,117	1,0		1,0	0,8	28,0	34,0	38,6	1
8	UO	55	9	-99573,117	-99573,117								
9	UO	55	9	99573,117	99573,117	1,0	0,4	1,0	6,0	9,0	10,0	14,0	1

REKONSTRUKCE VÝPRAVNÍ BUDOVY V ŽST. TÁBOR

DOKUMENTACE PRO PROVÁDĚNÍ STAVBY

Id	Typ	c [mm]	t [mm]	σ_1 [kN/m²]	σ_2 [kN/m²]	ψ [-]	k_σ [-]	α [-]	c/t [-]	Třída 1 limit [-]	Třída 2 limit [-]	Třída 3 limit [-]	Třída
10	I	55	9	99573,117	99573,117	1,0		1,0	6,0	28,0	34,0	38,0	1
11	I	55	9	-99573,117	-99573,117								
12	I	5	6	-99573,117	-95227,421								
13	I	202	6	-95227,421	95227,421	-1,0		0,5	34,2	72,0	83,0	124,0	1
14	I	5	6	95227,421	99573,117	1,0		1,0	0,8	28,0	34,0	38,6	1

Průřez je klasifikován třídou 1

Poznámka: Limity klasifikace byly nastaveny podle Semi-Comp+.

Poznámka: Rozhodující poloha pro klasifikaci stability je založena na součiniteli využití η podle Semi-Comp+.

Posudek klopení

Podle EN 1993-1-1 článku 6.3.2.1

Poznámka: Posudek klopení je zanedbatelný, protože dílci je bráněno v příčné deformaci.

Prvek splňuje podmínky stabilitního posudku.

Posudek EN 1993-1-1

Národní dodatek: Česká CSN-EN NA

Dílec B16	2,607 / 4,500 m	2l komora (IPE200)	Svařované	S 235	MSÚ-Sada B (auto)	0,31 -
-----------	-----------------	--------------------	-----------	-------	-------------------	--------

Klíč kombinace
MSÚ-Sada B (auto) / 1.35*ZS1 + 1.35*ZS2 + 1.35*ZS3 + 1.05*ZS4.A

Dílčí souč. spolehlivosti		
Únosnost průřezů	γ_{M0}	1,00
Únosnost na stabilitu	γ_{M1}	1,00
Únosnost čistého průřezu	γ_{M2}	1,25

Materiál			
Mez kluzu	f_y	235,0	MPa
Pevnost v tahu	f_u	360,0	MPa

....:POSUDEK ÚNOSNOSTI:....

Kritický posudek je na pozici 2,607 m

Vnitřní síly		Vypočtené	Jednotka
Osová síla	N_{Ed}	0,00	kN
Smyková síla	$V_{y,Ed}$	0,00	kN
Smyková síla	$V_{z,Ed}$	1,57	kN
Kroucení	T_{Ed}	0,00	kNm
Ohybový moment	$M_{y,Ed}$	31,84	kNm
Ohybový moment	$M_{z,Ed}$	0,00	kNm

Klasifikace pro návrh průřezu

Klasifikace podle EN 1993-1-1 článku 5.5.2

Klasifikace vnitřních a vnějších částí podle EN 1993-1-1 tabulky 5.2 listu 1 a 2

Id	Typ	c [mm]	t [mm]	σ_1 [kN/m²]	σ_2 [kN/m²]	ψ [-]	k_σ [-]	α [-]	c/t [-]	Třída 1 limit [-]	Třída 2 limit [-]	Třída 3 limit [-]	Třída
1	I	50	9	-80768,914	-80768,914								
2	I	50	9	80768,914	80768,914	1,0		1,0	5,9	28,0	34,0	38,0	1
3	UO	50	9	80768,914	80768,914	1,0	0,4	1,0	5,9	9,0	10,0	14,0	1
4	UO	50	9	-80768,914	-80768,914								
5	I	4	6	-80768,914	-77183,871								
6	I	183	6	-77183,871	77183,871	-1,0		0,5	32,7	72,0	83,0	124,0	1
7	I	4	6	77183,871	80768,914	1,0		1,0	0,8	28,0	34,0	38,6	1
8	UO	50	9	-80768,914	-80768,914								
9	UO	50	9	80768,914	80768,914	1,0	0,4	1,0	5,9	9,0	10,0	14,0	1
10	I	50	9	80768,914	80768,914	1,0		1,0	5,9	28,0	34,0	38,0	1
11	I	50	9	-80768,914	-80768,914								
12	I	4	6	-80768,914	-77183,871								
13	I	183	6	-77183,871	77183,871	-1,0		0,5	32,7	72,0	83,0	124,0	1

REKONSTRUKCE VÝPRAVNÍ BUDOVY V ŽST. TÁBOR

DOKUMENTACE PRO PROVÁDĚNÍ STAVBY

Id	Typ	c [mm]	t [mm]	σ_1 [kN/m ²]	σ_2 [kN/m ²]	ψ [-]	k_σ [-]	α [-]	c/t [-]	Třída 1 limit [-]	Třída 2 limit [-]	Třída 3 limit [-]	Třída
14	I	4	6	77183,871	80768,914	1,0		1,0	0,8	28,0	34,0	38,6	1

Průřez je klasifikován třídou 1

Poznámka: Limity klasifikace byly nastaveny podle Semi-Comp+.

Posudek ohybového momentu pro M_y

Podle EN 1993-1-1 článku 6.2.5 a rovnice (6.12), (6.13)

$$M_{pl,y,Rd} = \frac{W_{pl,y} \times f_y}{\gamma_{M0}} = \frac{4,4168 \cdot 10^{-4} [m^3] \times 235,0 [MPa]}{1,00} = 103,79 [kNm] \quad (EC3-1-1: 6.13)$$

$$\text{Jedn. posudek} = \frac{|M_{y,Ed}|}{M_{pl,y,Rd}} = \frac{|31,84 [kNm]|}{103,79 [kNm]} = 0,31 \leq 1,00 \quad (EC3-1-1: 6.12)$$

Posudek smyku pro V_z

Podle EN 1993-1-1 článku 6.2.6 a rovnice (6.17)

$$V_{pl,z,Rd} = \frac{A_v \times \frac{f_y}{\sqrt{3}}}{\gamma_{M0}} = \frac{2,2896 \cdot 10^{-3} [m^2] \times \frac{235,0 [MPa]}{\sqrt{3}}}{1,00} = 310,64 [kN] \quad (EC3-1-1: 6.18)$$

$$\text{Jedn. posudek} = \frac{|V_{z,Ed}|}{V_{pl,z,Rd}} = \frac{|1,57 [kN]|}{310,64 [kN]} = 0,01 \leq 1,00 \quad (EC3-1-1: 6.17)$$

Poznámka: Z průřezových charakteristik není získána žádná smyková plocha.

Prvek splňuje podmínky posudku průřezu.

....:POSUDEK STABILITY:....

Klasifikace pro návrh dílce na vzpěr

Rozhodující poloha pro klasifikaci stability: 2,607 m

Rozhodující součinitel využití η : 0,31

Klasifikace podle EN 1993-1-1 článku 5.5.2

Klasifikace vnitřních a vnějších částí podle EN 1993-1-1 tabulky 5.2 listu 1 a 2

Id	Typ	c [mm]	t [mm]	σ_1 [kN/m ²]	σ_2 [kN/m ²]	ψ [-]	k_σ [-]	α [-]	c/t [-]	Třída 1 limit [-]	Třída 2 limit [-]	Třída 3 limit [-]	Třída
1	I	50	9	-80768,914	-80768,914								
2	I	50	9	80768,914	80768,914	1,0		1,0	5,9	28,0	34,0	38,0	1
3	UO	50	9	80768,914	80768,914	1,0	0,4	1,0	5,9	9,0	10,0	14,0	1
4	UO	50	9	-80768,914	-80768,914								
5	I	4	6	-80768,914	-77183,871								
6	I	183	6	-77183,871	77183,871	-1,0		0,5	32,7	72,0	83,0	124,0	1
7	I	4	6	77183,871	80768,914	1,0		1,0	0,8	28,0	34,0	38,6	1
8	UO	50	9	-80768,914	-80768,914								
9	UO	50	9	80768,914	80768,914	1,0	0,4	1,0	5,9	9,0	10,0	14,0	1
10	I	50	9	80768,914	80768,914	1,0		1,0	5,9	28,0	34,0	38,0	1
11	I	50	9	-80768,914	-80768,914								
12	I	4	6	-80768,914	-77183,871								
13	I	183	6	-77183,871	77183,871	-1,0		0,5	32,7	72,0	83,0	124,0	1
14	I	4	6	77183,871	80768,914	1,0		1,0	0,8	28,0	34,0	38,6	1

Průřez je klasifikován třídou 1

Poznámka: Limity klasifikace byly nastaveny podle Semi-Comp+.

Poznámka: Rozhodující poloha pro klasifikaci stability je založena na součiniteli využití η podle Semi-Comp+.

Posudek klopení

Podle EN 1993-1-1 článku 6.3.2.1

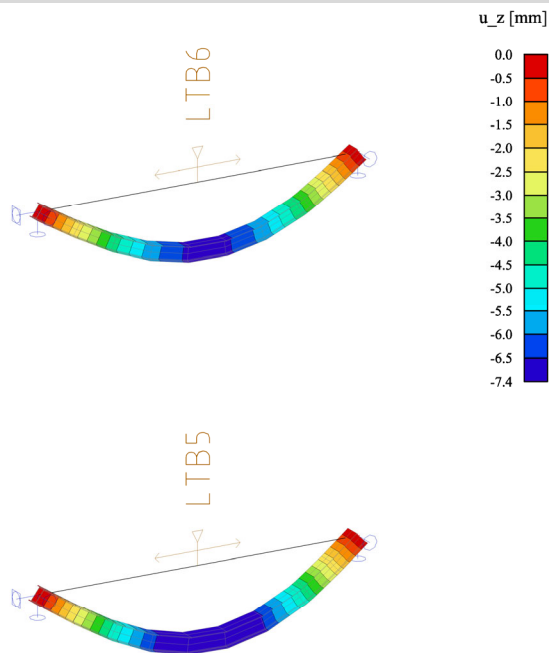
Poznámka: Posudek klopení je zanedbatelný, protože dílci je bráněno v příčné deformaci.

Prvek splňuje podmínky stabilitního posudku.

REKONSTRUKCE VÝPRAVNÍ BUDOVY V ŽST. TÁBOR

DOKUMENTACE PRO PROVÁDĚNÍ STAVBY

F.3.2.16 Posouzení MSP – Svislá deformace nosníku [mm]



$$u_z = 7,4 \text{ mm} \leq u_{max} = \frac{L}{500} = 9,0 \text{ mm}$$

REKONSTRUKCE VÝPRAVNÍ BUDOVY V ŽST. TÁBOR

DOKUMENTACE PRO PROVÁDĚNÍ STAVBY

F.3.3 Posouzení průvlaků nad 1.NP

F.3.3.1 Průvlak v 1.NP – Průvlak 4xI240 mezi A.1.20–A.1.27/A.1.23

$$4 \times I240 - W_y = 1416 \times 10^{-6} \text{m}^3 - I_y = 17000 \times 10^{-8} \text{m}^4$$

$$\text{Rozpětí } L = 4,85 \text{ m}; \text{ Zatěžovací šířka } = 3,40 \text{ m}$$

Stálé zatížení:

$$\text{Skladba podlahy} = 3,60 \text{ kN/m}^2 = 12,3 \text{ kN/m}$$

Proměnné zatížení:

$$\text{Užitné} = 7,50 \text{ kN/m}^2 = 25,50 \text{ kN/m}$$

$$f_{(g+q),k} = \Sigma f_g + f_q = 37,8 \text{ kN/m}$$

$$f_{(g+q),d} = 0,85 \times \Sigma \gamma_g \times f_g + \gamma_q \times f_q = 52,4 \text{ kN/m}$$

1) Posouzení MSÚ - ohyb

$$M_{Ed} = \frac{1}{8} \times f \times L^2 = \frac{1}{8} \times 52,4 \times 4,85^2 = 154,1 \text{ kNm}$$

$$M_{Rd} = W_y \times f_{y,d} = 1416 \times 10^{-6} \times 235000 = 332,8 \text{ kNm}$$

$$M_{Ed} = 154,1 \text{ kNm} \leq M_{Rd} = 332,8 \text{ kNm}$$

Posudek na MSÚ vyhovuje.

2) Posudek MSP - průhyb

$$u_z = \frac{5}{384} \times \frac{f \times L^4}{EI} = \frac{5}{384} \times \frac{37,8 \times 4,85^4}{210 \times 10^3 \times 17000 \times 10^{-8}} = 7,6 \text{ mm}$$

$$u_z = 7,60 \text{ mm} \leq u_{max} = \frac{L}{500} = \frac{4850}{500} = 9,7 \text{ mm}$$

Posudek na MSP vyhovuje.

F.3.3.2 Průvlak v 1.NP – Průvlak 4xIPE140 mezi A.1.01–A.1.15

$$4 \times IPE 140 - W_y = 309,3 \times 10^{-6} \text{m}^3 - I_y = 2164,8 \times 10^{-8} \text{m}^4$$

$$\text{Rozpětí } L = 2,30 \text{ m}; \text{ Zatěžovací šířka } = 3,40 \text{ m}$$

Stálé zatížení:

$$\text{Skladba podlahy} = 3,60 \text{ kN/m}^2 = 12,3 \text{ kN/m}$$

$$\text{Vl. tíha zdiva } h \times t_l \times \rho = 1,12 \times 0,45 \times 18 = 9,2 \text{ kN/m}$$

Proměnné zatížení:

$$\text{Užitné} = 7,50 \text{ kN/m}^2 = 25,50 \text{ kN/m}$$

$$f_{(g+q),k} = \Sigma f_g + f_q = 47,0 \text{ kN/m}$$

$$f_{(g+q),d} = 0,85 \times \Sigma \gamma_g \times f_g + \gamma_q \times f_q = 63,0 \text{ kN/m}$$

1) Posouzení MSÚ - ohyb

REKONSTRUKCE VÝPRAVNÍ BUDOVY V ŽST. TÁBOR

DOKUMENTACE PRO PROVÁDĚNÍ STAVBY

$$M_{Ed} = \frac{1}{8} \times f \times L^2 = \frac{1}{8} \times 63,0 \times 2,30^2 = 41,7 \text{ kNm}$$

$$M_{Rd} = W_y \times f_{y,D} = 309,3 \times 10^{-6} \times 235000 = 72,7 \text{ kNm}$$

$$M_{Ed} = 41,7 \text{ kNm} \leq M_{Rd} = 72,7 \text{ kNm}$$

Posudek na MSÚ vyhovuje.

2) Posudek MSP - průhyb

$$u_z = \frac{5}{384} \times \frac{f \times L^4}{EI} = \frac{5}{384} \times \frac{47,0 \times 2,30^4}{210 \times 10^3 \times 2164,8 \times 10^{-8}} = 3,8 \text{ mm}$$

$$u_z = 3,8 \text{ mm} \leq u_{max} = \frac{L}{500} = \frac{2300}{500} = 4,6 \text{ mm}$$

Posudek na MSP vyhovuje.

F.3.3.3 Průvlaky v 1.NP - Průvlak 4xIPE300 mezi A.1.17-objekt „C“

$$4 \times IPE 300 - W_y = 2228 \times 10^{-6} \text{ m}^3 - I_y = 33424 \times 10^{-8} \text{ m}^4$$

$$\text{Rozpětí } L = 4,10 \text{ m}$$

$$Vl. \text{ tíha překladu} = 1,69 \text{ kN/m}$$

$$Vl. \text{ tíha zdiva } h \times t_l \times \rho = (5,82 \times 0,6 + 3,4 \times 0,45) \times 18 = 90,4 \text{ kN/m}$$

Strop nad 1.NP - b=2,05m

Stálé zatížení:

$$\text{Skladba podlahy} = 3,60 \text{ kN/m}^2 = 7,38 \text{ kN/m}$$

Proměnné zatížení:

$$Užitné = 7,50 \text{ kN/m}^2 = 15,38 \text{ kN/m}$$

Strop nad 2.NP - b=2,05m

Stálé zatížení:

$$\text{Skladba podlahy} = 1,68 \text{ kN/m}^2 = 3,44 \text{ kN/m}$$

$$\text{Příčky} = 2,50 \text{ kN/m}^2 = 5,13 \text{ kN/m}$$

Proměnné zatížení:

$$Užitné = 1,50 \text{ kN/m}^2 = 3,08 \text{ kN/m}$$

Střecha - b=3,5*1/cos(30°)=4,04m

Stálé zatížení:

$$\text{Skladba střechy} = 1,15 \text{ kN/m}^2 = 4,65 \text{ kN/m}$$

Proměnné zatížení:

$$Užitné = 0,75 \text{ kN/m}^2 = 3,03 \text{ kN/m}$$

$$f_{(g+q),k} = \Sigma f_g + f_q = 1,69 + 90,4 + 7,38 + 15,38 + 3,44 + 5,13 + 3,08 + 4,65 + 3,03 \\ = 134,2 \text{ kN/m}$$

$$f_{(g+q),d} = \Sigma \gamma_g \times f_g + \psi_0 \times \gamma_q \times f_q \\ = 1,35 \times (1,69 + 90,4 + 7,38 + 3,44 + 5,13 + 4,65) + 0,7 \times 1,5 \times (15,38 + 3,08 + 3,03) = 174,7 \text{ kN/m}$$

REKONSTRUKCE VÝPRAVNÍ BUDOVY V ŽST. TÁBOR

DOKUMENTACE PRO PROVÁDĚNÍ STAVBY

1) Posouzení MSÚ - ohyb

$$M_{Ed} = \frac{1}{8} \times f \times L^2 = \frac{1}{8} \times 174,7 \times 4,10^2 = 367,1 \text{ kNm}$$

$$M_{Rd} = W_y \times f_{y,D} = 2228 \times 10^{-6} \times 235000 = 523,6 \text{ kNm}$$

$$M_{Ed} = 367,1 \text{ kNm} \leq M_{Rd} = 523,6 \text{ kNm}$$

Posudek na MSÚ vyhovuje.

2) Posudek MSP - průhyb

$$u_z = \frac{5}{384} \times \frac{f \times L^4}{EI} = \frac{5}{384} \times \frac{134,2 \times 4,10^4}{210 \times 10^3 \times 33424 \times 10^{-8}} = 7,0 \text{ mm}$$

$$u_z = 7,0 \text{ mm} \leq u_{max} = \frac{L}{500} = \frac{4100}{500} = 8,2 \text{ mm}$$

Posudek na MSP vyhovuje.

F.3.3.4 Průvlaky v 1.NP - Průvlak 4xIPE200 mezi A.1.16-objekt „C“

$$4 \times \text{IPE 200} - W_y = 777 \times 10^{-6} \text{ m}^3 - I_y = 7777 \times 10^{-8} \text{ m}^4$$

$$\text{Rozpětí } L = 2,45 \text{ m}$$

$$\text{Vl. tíha překladu} = 1,69 \text{ kN/m}$$

$$\text{Vl. tíha zdiva } h \times t \times \rho = (5,82 \times 0,6 + 3,4 \times 0,45) \times 18 = 90,4 \text{ kN/m}$$

Strop nad 1.NP - b=2,05m

Stálé zatížení:

$$\text{Skladba podlahy} = 3,60 \text{ kN/m}^2 = 7,38 \text{ kN/m}$$

Proměnné zatížení:

$$\text{Užitné} = 7,50 \text{ kN/m}^2 = 15,38 \text{ kN/m}$$

Strop nad 2.NP - b=2,05m

Stálé zatížení:

$$\text{Skladba podlahy} = 1,68 \text{ kN/m}^2 = 3,44 \text{ kN/m}$$

$$\text{Příčky} = 2,50 \text{ kN/m}^2 = 5,13 \text{ kN/m}$$

Proměnné zatížení:

$$\text{Užitné} = 1,50 \text{ kN/m}^2 = 3,08 \text{ kN/m}$$

Střecha - b=3,5*1/cos(30°)=4,04m

Stálé zatížení:

$$\text{Skladba střechy} = 1,15 \text{ kN/m}^2 = 4,65 \text{ kN/m}$$

Proměnné zatížení:

$$\text{Užitné} = 0,75 \text{ kN/m}^2 = 3,03 \text{ kN/m}$$

$$f_{(g+q),k} = \Sigma f_g + f_q = 1,69 + 90,4 + 7,38 + 15,38 + 3,44 + 5,13 + 3,08 + 4,65 + 3,03 \\ = 134,2 \text{ kN/m}$$

REKONSTRUKCE VÝPRAVNÍ BUDOVY V ŽST. TÁBOR

DOKUMENTACE PRO PROVÁDĚNÍ STAVBY

$$\begin{aligned}f_{(g+q),d} &= \Sigma \gamma_g \times f_g + \psi_0 \times \gamma_q \times f_q \\&= 1,35 \times (1,69 + 90,4 + 7,38 + 3,44 + 5,13 + 4,65) + 0,7 \times 1,5 \times (15,38 + 3,08 + 3,03) = 174,7 \text{ kN/m}\end{aligned}$$

1) Posouzení MSÚ - ohyb

$$\begin{aligned}M_{Ed} &= \frac{1}{8} \times f \times L^2 = \frac{1}{8} \times 174,7 \times 2,45^2 = 131,1 \text{ kNm} \\M_{Rd} &= W_y \times f_{y,D} = 777 \times 10^{-6} \times 235000 = 182,6 \text{ kNm} \\M_{Ed} &= 131,1 \text{ kNm} \leq M_{Rd} = 182,6 \text{ kNm}\end{aligned}$$

Posudek na MSÚ vyhovuje.

2) Posudek MSP - průhyb

$$\begin{aligned}u_z &= \frac{5}{384} \times \frac{f \times L^4}{EI} = \frac{5}{384} \times \frac{134,2 \times 2,45^4}{210 \times 10^3 \times 33424 \times 10^{-8}} = 3,9 \text{ mm} \\u_z &= 3,9 \text{ mm} \leq u_{max} = \frac{L}{500} = \frac{2450}{500} = 4,9 \text{ mm}\end{aligned}$$

Posudek na MSP vyhovuje.

F.3.3.5 Průvlaky v 1.NP – Průvlak 4xIPE160 (+sloup 2xHEA100) mezi A.1.09–A.1.10

Spojité zatížení

Strop nad 1.NP – b=3,53m

Stálé zatížení:

$$\begin{aligned}\text{Skladba podlahy} &= 3,60 \text{ kN/m}^2 = 12,71 \text{ kN/m} \\ \text{Vl. tíha zdiva } h \times t_l \times \rho &= 0,45 \times 1,50 \times 18 = 12,15 \text{ kN/m} \\ \Sigma f_g &= 12,15 + 12,71 = 24,86 \text{ kN/m}\end{aligned}$$

Proměnné zatížení:

$$U_{\text{žitné}} = 7,50 \text{ kN/m}^2 = 26,48 \text{ kN/m}$$

Strop nad 2.NP – b=3,53m

Stálé zatížení:

$$\begin{aligned}\text{Skladba podlahy chodba} &= 1,68 \text{ kN/m}^2 \times 1 = 1,68 \text{ kN/m} \\ \text{Skladba podlahy kanceláře} &= 3,42 \text{ kN/m}^2 \times 2,53 = 8,65 \text{ kN/m} \\ \text{Vl. tíha zdiva } h \times t_l \times \rho &= 0,45 \times 4,17 \times 18 = 33,8 \text{ kN/m} \\ \Sigma f_g &= 12,15 + 12,71 = 44,13 \text{ kN/m}\end{aligned}$$

Proměnné zatížení:

$$\begin{aligned}U_{\text{žitné kat. B}} &= 2,50 \text{ kN/m}^2 = 6,33 \text{ kN/m} \\ U_{\text{žitné kat. C}} &= 5,00 \text{ kN/m}^2 = 5,00 \text{ kN/m} \\ \Sigma f_q &= 6,33 + 5,00 = 11,33 \text{ kN/m}\end{aligned}$$

Bodová síla

Strop nad 2.NP

Stálé zatížení:

$$\begin{aligned}\text{Skladba podlahy chodba} &= 1,68 \text{ kN/m}^2 \times 1 \times 1,3 = 2,18 \text{ kN} \\ \text{Skladba podlahy kanceláře} &= 3,42 \text{ kN/m}^2 \times 2,53 \times 1,3 = 11,25 \text{ kN} \\ \text{Vl. tíha zdiva dl.} \times h \times t_l \times \rho &= 1,30 \times 1,32 \times 0,45 \times 18 = 13,90 \text{ kN} \\ \Sigma F_g &= 12,15 + 12,71 = 27,33 \text{ kN}\end{aligned}$$

REKONSTRUKCE VÝPRAVNÍ BUDOVY V ŽST. TÁBOR

DOKUMENTACE PRO PROVÁDĚNÍ STAVBY

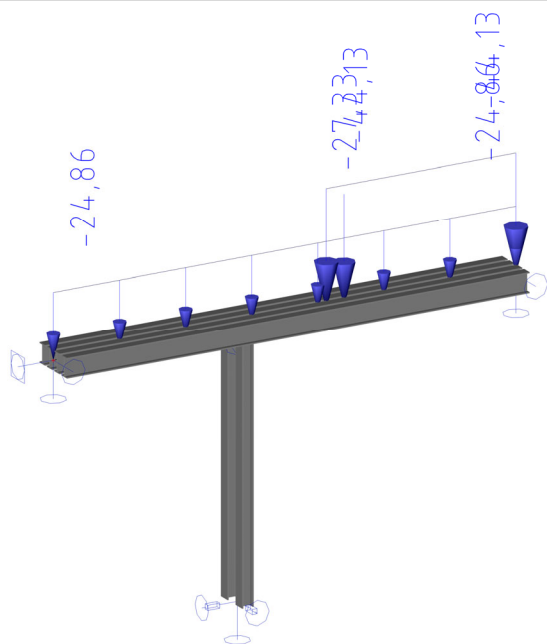
Proměnné zatížení:

Užitné kat. B = $2,50 \text{ kN/m}^2 \cdot 2,53 \cdot 1,3 = 8,22 \text{ kN}$

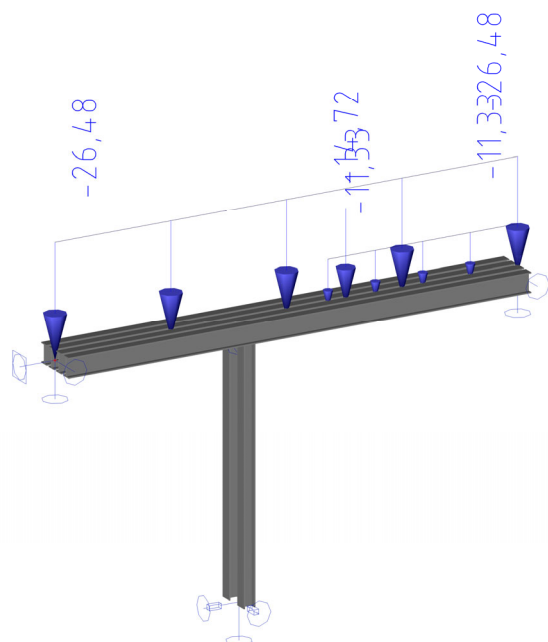
Užitné kat. C = $5,00 \text{ kN/m}^2 \cdot 1,0 \cdot 1,30 = 6,50 \text{ kN}$

$\Sigma F_q = 8,22 + 6,50 = 14,72 \text{ kN}$

Zatížení stálé – Zatížení od skladby podlahy a zdiva [kN/m²]



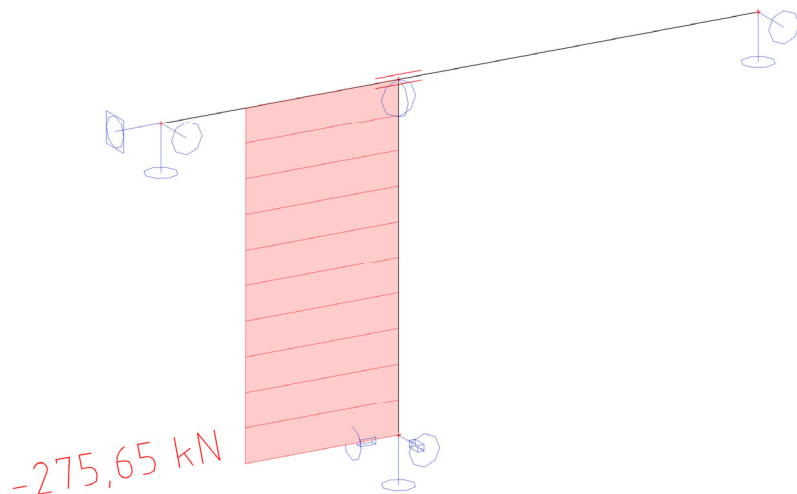
Zatížení proměnné – Užitné zatížení [kN/m²]



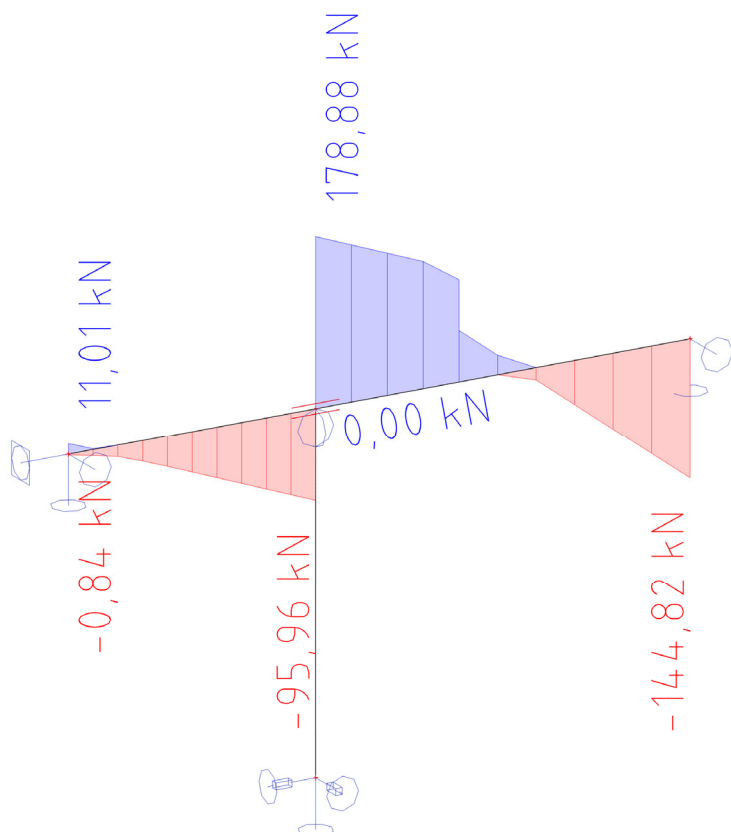
REKONSTRUKCE VÝPRAVNÍ BUDOVY V ŽST. TÁBOR

DOKUMENTACE PRO PROVÁDĚNÍ STAVBY

Vnitřní síly - Průběh normálové síly N [kN]



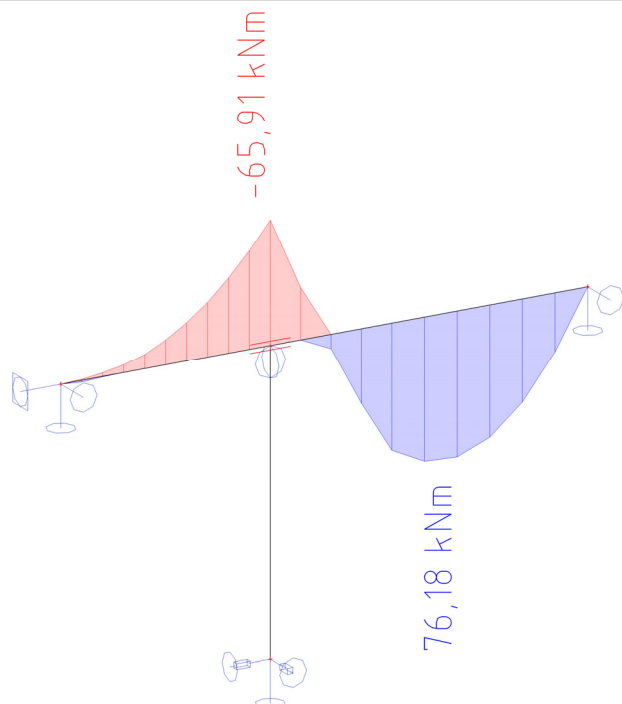
Vnitřní síly - Průběh posouvající síly V [kN]



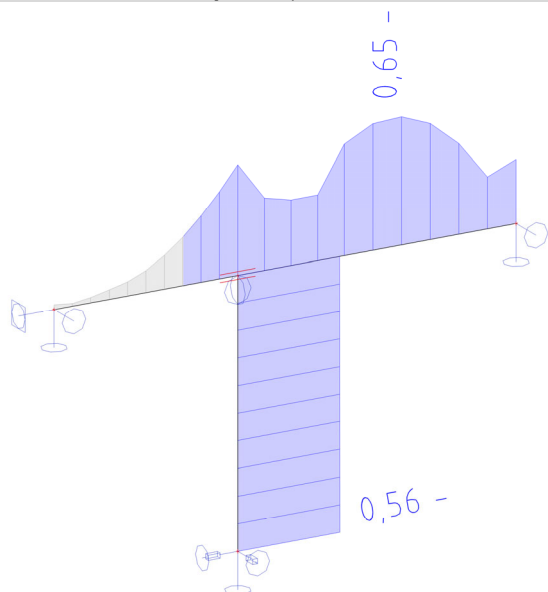
REKONSTRUKCE VÝPRAVNÍ BUDOVY V ŽST. TÁBOR

DOKUMENTACE PRO PROVÁDĚNÍ STAVBY

Vnitřní síly - Průběh ohybového momentu M_y [kNm]



Posouzení MSÚ - Využití průřezu od vnitřních sil [*100= %]



REKONSTRUKCE VÝPRAVNÍ BUDOVY V ŽST. TÁBOR

DOKUMENTACE PRO PROVÁDĚNÍ STAVBY

Posudek ocelových prvků na MSÚ EC-EN 1993

Hodnoty: $U_{C_{celkový}}$

Lineární výpočet

Kombinace: MSÚ-Sada B (auto)

Souřadný systém: Hlavní

Extrém 1D: Průřez

Výběr: B24, B25

Posudek EN 1993-1-1

Národní dodatek: Česká CSN-EN NA

Dílec B24	2,150 / 2,150 m	2I (HEA100; 120; 220)	Válcovaný	S 235	MSÚ-Sada B (auto)	0,56 -
-----------	-----------------	-----------------------	-----------	-------	-------------------	--------

Klíč kombinace

MSÚ-Sada B (auto) / 1.15*ZS1 + 1.15*ZS2 + 1.15*ZS3 + 1.50*ZS4.A

Dílčí souč. spolehlivosti

Únosnost průřezů	γ_{M0}	1,00
Únosnost na stabilitu	γ_{M1}	1,00
Únosnost čistého průřezu	γ_{M2}	1,25

Materiál

Mez kluzu	f_y	235,0	MPa
Pevnost v tahu	f_u	360,0	MPa

....POSUDEK ÚNOSNOSTI:....

Kritický posudek je na pozici 2,150 m

Definice osy:

- hlavní osa y v tomto posudku se vztahuje k hlavní ose z programu SCIA Engineer.
- hlavní osa z v tomto posudku se vztahuje k hlavní ose y programu SCIA Engineer.

Vnitřní síly		Vypočtené	Jednotka
Osová síla	N_{Ed}	-275,65	kN
Smyková síla	$V_{y,Ed}$	0,00	kN
Smyková síla	$V_{z,Ed}$	0,00	kN
Kroucení	T_{Ed}	0,00	kNm
Ohybový moment	$M_{y,Ed}$	0,00	kNm
Ohybový moment	$M_{z,Ed}$	0,00	kNm

Klasifikace pro návrh průřezu

Klasifikace podle EN 1993-1-1 článku 5.5.2

Klasifikace vnitřních a vnějších částí podle EN 1993-1-1 tabulky 5.2 listu 1 a 2

Id	Typ	c [mm]	t [mm]	σ_1 [kN/m²]	σ_2 [kN/m²]	ψ [-]	k_σ [-]	α [-]	c/t [-]	Třída 1 limit [-]	Třída 2 limit [-]	Třída 3 limit [-]	Třída
1	UO	50	8	67562,439	67562,439	1,0	0,4	1,0	6,3	9,0	10,0	14,0	1
2	UO	50	8	67562,439	67562,439	1,0	0,4	1,0	6,3	9,0	10,0	14,0	1
3	UO	50	8	67562,439	67562,439	1,0	0,4	1,0	6,3	9,0	10,0	14,0	1
4	UO	50	8	67562,439	67562,439	1,0	0,4	1,0	6,3	9,0	10,0	14,0	1
5	I	4	5	67562,439	67562,439	1,0		1,0	0,8	28,0	34,0	38,0	1
6	I	80	5	67562,439	67562,439	1,0		1,0	16,0	28,0	34,0	38,0	1
7	I	4	5	67562,439	67562,439	1,0		1,0	0,8	28,0	34,0	38,0	1
8	UO	50	8	67562,439	67562,439	1,0	0,4	1,0	6,2	9,0	10,0	14,0	1
9	UO	50	8	67562,439	67562,439	1,0	0,4	1,0	6,2	9,0	10,0	14,0	1
10	UO	50	8	67562,439	67562,439	1,0	0,4	1,0	6,2	9,0	10,0	14,0	1
11	UO	50	8	67562,439	67562,439	1,0	0,4	1,0	6,2	9,0	10,0	14,0	1
12	I	4	5	67562,439	67562,439	1,0		1,0	0,8	28,0	34,0	38,0	1
13	I	80	5	67562,439	67562,439	1,0		1,0	16,0	28,0	34,0	38,0	1
14	I	4	5	67562,439	67562,439	1,0		1,0	0,8	28,0	34,0	38,0	1

Průřez je klasifikován třídou 1

Poznámka: Limity klasifikace byly nastaveny podle Semi-Comp+.

Posudek na tlak

Podle EN 1993-1-1 článku 6.2.4 a rovnice (6.9)

REKONSTRUKCE VÝPRAVNÍ BUDOVY V ŽST. TÁBOR

DOKUMENTACE PRO PROVÁDĚNÍ STAVBY

$$N_{c,Rd} = \frac{A \times f_y}{\gamma_{M0}} = \frac{4,2518 \cdot 10^{-3} [m^2] \times 235,0 [MPa]}{1,00} = 999,17 [kN] \quad (EC3-1-1: 6.10)$$

$$\text{Jedn. posudek} = \frac{|N_{Ed}|}{N_{c,Rd}} = \frac{|-275,65 [kN]|}{999,17 [kN]} = 0,28 \leq 1,00 \quad (EC3-1-1: 6.9)$$

Prvek splňuje podmínky posudku průřezu.

....:POSUDEK STABILITY:....

Klasifikace pro návrh dílce na vzpěr

Rozhodující poloha pro klasifikaci stability: 2,150 m

Rozhodující součinitel využití η : 0,28

Klasifikace podle EN 1993-1-1 článku 5.5.2

Klasifikace vnitřních a vnějších částí podle EN 1993-1-1 tabulky 5.2 listu 1 a 2

Id	Typ	c [mm]	t [mm]	σ_1 [kN/m ²]	σ_2 [kN/m ²]	ψ [-]	k_σ [-]	α [-]	c/t [-]	Třída 1 limit [-]	Třída 2 limit [-]	Třída 3 limit [-]	Třída
1	UO	50	8	67562,439	67562,439	1,0	0,4	1,0	6,3	9,0	10,0	14,0	1
2	UO	50	8	67562,439	67562,439	1,0	0,4	1,0	6,3	9,0	10,0	14,0	1
3	UO	50	8	67562,439	67562,439	1,0	0,4	1,0	6,3	9,0	10,0	14,0	1
4	UO	50	8	67562,439	67562,439	1,0	0,4	1,0	6,3	9,0	10,0	14,0	1
5	I	4	5	67562,439	67562,439	1,0		1,0	0,8	28,0	34,0	38,0	1
6	I	80	5	67562,439	67562,439	1,0		1,0	16,0	28,0	34,0	38,0	1
7	I	4	5	67562,439	67562,439	1,0		1,0	0,8	28,0	34,0	38,0	1
8	UO	50	8	67562,439	67562,439	1,0	0,4	1,0	6,2	9,0	10,0	14,0	1
9	UO	50	8	67562,439	67562,439	1,0	0,4	1,0	6,2	9,0	10,0	14,0	1
10	UO	50	8	67562,439	67562,439	1,0	0,4	1,0	6,2	9,0	10,0	14,0	1
11	UO	50	8	67562,439	67562,439	1,0	0,4	1,0	6,2	9,0	10,0	14,0	1
12	I	4	5	67562,439	67562,439	1,0		1,0	0,8	28,0	34,0	38,0	1
13	I	80	5	67562,439	67562,439	1,0		1,0	16,0	28,0	34,0	38,0	1
14	I	4	5	67562,439	67562,439	1,0		1,0	0,8	28,0	34,0	38,0	1

Průřez je klasifikován třídou 1

Poznámka: Limity klasifikace byly nastaveny podle Semi-Comp+.

Poznámka: Rozhodující poloha pro klasifikaci stability je založena na součiniteli využití η podle Semi-Comp+.

Posudek rovinného vzpěru

Podle EN 1993-1-1 článku 6.3.1.1 a rovnice (6.46)

$$N_{cr,y} = \frac{\pi^2 \times E \times I_y}{l_{cr,y}^2} = \frac{\pi^2 \times 210000,0 [MPa] \times 5,4123 \cdot 10^{-5} [m^4]}{2,150 [m]^2} = 24268,82 [kN]$$

$$N_{cr,z} = \frac{\pi^2 \times E \times I_z}{l_{cr,z}^2} = \frac{\pi^2 \times 210000,0 [MPa] \times 6,9904 \cdot 10^{-6} [m^4]}{2,150 [m]^2} = 3134,32 [kN]$$

$$\lambda_y = \frac{l_{cr,y}}{i_y} = \frac{2,150 [m]}{113 [mm]} = 19,06$$

$$\lambda_z = \frac{l_{cr,z}}{i_z} = \frac{2,150 [m]}{41 [mm]} = 53,02$$

$$\lambda_{rel,y} = \frac{\lambda_y}{\pi \times \sqrt{\frac{E}{f_y}}} = \frac{19,06}{\pi \times \sqrt{\frac{210000,0 [MPa]}{235,0 [MPa]}}} = 0,20 \quad (EC3-1-1: 6.50)$$

$$\lambda_{rel,z} = \frac{\lambda_z}{\pi \times \sqrt{\frac{E}{f_y}}} = \frac{53,02}{\pi \times \sqrt{\frac{210000,0 [MPa]}{235,0 [MPa]}}} = 0,56 \quad (EC3-1-1: 6.50)$$

$$\varphi_y = 0,5 \times [1 + \alpha_y \times (\lambda_{rel,y} - \lambda_{rel,y,0}) + \lambda_{rel,y}^2] = 0,5 \times [1 + 0,49 \times (0,20 - 0,20) + 0,20^2] = 0,52$$

$$\varphi_z = 0,5 \times [1 + \alpha_z \times (\lambda_{rel,z} - \lambda_{rel,z,0}) + \lambda_{rel,z}^2] = 0,5 \times [1 + 0,49 \times (0,56 - 0,20) + 0,56^2] = 0,75$$

$$\chi_y = \min \left(\frac{1}{\varphi_y + \sqrt{\varphi_y^2 - \lambda_{rel,y}^2}}; 1 \right) = \min \left(\frac{1}{0,52 + \sqrt{0,52^2 - 0,20^2}}; 1 \right) = \min (1,00; 1) = 1,00 \quad (EC3-1-1: 6.49)$$

$$\chi_z = \min \left(\frac{1}{\varphi_z + \sqrt{\varphi_z^2 - \lambda_{rel,z}^2}}; 1 \right) = \min \left(\frac{1}{0,75 + \sqrt{0,75^2 - 0,56^2}}; 1 \right) = \min (0,81; 1) = 0,81 \quad (EC3-1-1: 6.49)$$

REKONSTRUKCE VÝPRAVNÍ BUDOVY V ŽST. TÁBOR

DOKUMENTACE PRO PROVÁDĚNÍ STAVBY

$$N_{b,y,Rd} = \frac{\chi_y \times A \times f_y}{\gamma_{M1}} = \frac{1,00 \times 4,2518 \cdot 10^{-3} [m^2] \times 235,0 [MPa]}{1,00} = 997,69 [kN] \quad (EC3-1-1: 6.47)$$

$$N_{b,z,Rd} = \frac{\chi_z \times A \times f_y}{\gamma_{M1}} = \frac{0,81 \times 4,2518 \cdot 10^{-3} [m^2] \times 235,0 [MPa]}{1,00} = 805,49 [kN] \quad (EC3-1-1: 6.47)$$

$$N_{b,Rd} = \min(N_{b,y,Rd}; N_{b,z,Rd}) = \min(997,69 [kN]; 805,49 [kN]) = 805,49 [kN]$$

$$\text{Jedn. posudek} = \frac{|N_{Ed}|}{N_{b,Rd}} = \frac{|-275,65 [kN]|}{805,49 [kN]} = 0,34 \leq 1,00 \quad (EC3-1-1: 6.46)$$

Posudek prostorového vzpěru

Podle EN 1993-1-1 článku 6.3.1.1 a rovnice (6.46)

$$N_{cr,T} = \frac{1}{i_0^2} \times \left(G \times I_t + \frac{\pi^2 \times E \times I_w}{l_{cr}^2} \right)$$

$$= \frac{1}{120 [mm]^2} \times \left(80769,2 [MPa] \times 1,4971 \cdot 10^{-7} [m^4] + \frac{\pi^2 \times 210000,0 [MPa] \times 0,0000 [m^6]}{2,150 [m]^2} \right) = 841,27 [kN]$$

$$\lambda_{rel,T} = \sqrt{\frac{A \times f_y}{N_{cr}}} = \sqrt{\frac{4,2518 \cdot 10^{-3} [m^2] \times 235,0 [MPa]}{841,27 [kN]}} = 1,09$$

$$\chi = \min \left(\frac{1}{\varphi + \sqrt{\varphi^2 - \lambda_{rel,T}^2}}; 1 \right) = \min \left(\frac{1}{1,31 + \sqrt{1,31^2 - 1,09^2}}; 1 \right) = \min(0,49; 1) = 0,49$$

$$N_{b,Rd} = \frac{\chi \times A \times f_y}{\gamma_{M1}} = \frac{0,49 \times 4,2518 \cdot 10^{-3} [m^2] \times 235,0 [MPa]}{1,00} = 489,29 [kN] \quad (EC3-1-1: 6.47)$$

$$\text{Jedn. posudek} = \frac{|N_{Ed}|}{N_{b,Rd}} = \frac{|-275,65 [kN]|}{489,29 [kN]} = 0,56 \leq 1,00 \quad (EC3-1-1: 6.46)$$

Prvek splňuje podmínky stabilitního posudku.

Posudek EN 1993-1-1

Národní dodatek: Česká CSN-EN NA

Dílec B25	2,933 / 3,900 m	Obecný průřez	Obecné	S 235	MSÚ-Sada B (auto)	0,65 -
-----------	-----------------	---------------	--------	-------	-------------------	--------

Klíč kombinace
MSÚ-Sada B (auto) / 1.15*ZS1 + 1.15*ZS2 + 1.15*ZS3 + 1.50*ZS4.A

Díleč souč. spolehlivosti		
Únosnost průřezů	γ_{M0}	1,00
Únosnost na stabilitu	γ_{M1}	1,00
Únosnost čistého průřezu	γ_{M2}	1,25

Materiál			
Mez kluzu	f_y	235,0	MPa
Pevnost v tahu	f_u	360,0	MPa

...:POSUDEK ÚNOSNOSTI:...

Kritický posudek je na pozici 2,933 m

Definice osy:

- hlavní osa y v tomto posudku se vztahuje k hlavní ose z programu SCIA Engineer.
- hlavní osa z v tomto posudku se vztahuje k hlavní ose y programu SCIA Engineer.

Vnitřní síly		Vypočtené	Jednotka
Osová síla	N_{Ed}	0,00	kN
Smyková síla	$V_{y,Ed}$	-12,78	kN
Smyková síla	$V_{z,Ed}$	0,00	kN
Kroucení	T_{Ed}	0,00	kNm
Ohybový moment	$M_{y,Ed}$	0,00	kNm
Ohybový moment	$M_{z,Ed}$	76,18	kNm

Klasifikace pro návrh průřezu

Klasifikace podle EN 1993-1-1 článku 5.5.2

Klasifikace vnitřních a vnějších částí podle EN 1993-1-1 tabulky 5.2 listu 1 a 2

Id	Typ	c [mm]	t [mm]	σ_1 [kN/m²]	σ_2 [kN/m²]	ψ [-]	k_σ [-]	α [-]	c/t [-]	Třída 1 limit [-]	Třída 2 limit [-]	Třída 3 limit [-]	Třída
1	I	41	7	-169920,171	-169920,171								

REKONSTRUKCE VÝPRAVNÍ BUDOVY V ŽST. TÁBOR

DOKUMENTACE PRO PROVÁDĚNÍ STAVBY

Id	Typ	c [mm]	t [mm]	σ_1 [kN/m²]	σ_2 [kN/m²]	Ψ [-]	k_σ [-]	α [-]	c/t [-]	Třída 1 limit [-]	Třída 2 limit [-]	Třída 3 limit [-]	Třída
2	I	41	7	169920,171	169920,171	1,0		1,0	5,5	28,0	34,0	38,0	1
3	UO	41	7	169920,171	169920,171	1,0	0,4	1,0	5,5	9,0	10,0	14,0	1
4	UO	41	7	-169920,171	-169920,171								
5	I	4	5	-169920,171	-161680,267								
6	I	14,5	5	-161680,267	161680,267	-1,0		0,5	29,0	72,0	83,0	124,0	1
7	I	4	5	161680,267	169920,171	1,0		1,0	0,7	28,0	34,0	38,7	1
8	I	41	7	-169920,171	-169920,171								
9	I	41	7	169920,171	169920,171	1,0		1,0	5,5	28,0	34,0	38,0	1
10	I	41	7	169920,171	169920,171	1,0		1,0	5,5	28,0	34,0	38,0	1
11	I	41	7	-169920,171	-169920,171								
12	I	4	5	-169920,171	-161680,267								
13	I	14,5	5	-161680,267	161680,267	-1,0		0,5	29,0	72,0	83,0	124,0	1
14	I	4	5	161680,267	169920,171	1,0		1,0	0,7	28,0	34,0	38,7	1
15	I	41	7	-169920,171	-169920,171								
16	I	41	7	169920,171	169920,171	1,0		1,0	5,5	28,0	34,0	38,0	1
17	I	41	7	169920,171	169920,171	1,0		1,0	5,5	28,0	34,0	38,0	1
18	I	41	7	-169920,171	-169920,171								
19	I	4	5	-169920,171	-161680,267								
20	I	14,5	5	-161680,267	161680,267	-1,0		0,5	29,0	72,0	83,0	124,0	1
21	I	4	5	161680,267	169920,171	1,0		1,0	0,7	28,0	34,0	38,7	1
22	UO	41	7	-169920,171	-169920,171								
23	UO	41	7	169920,171	169920,171	1,0	0,4	1,0	5,5	9,0	10,0	14,0	1
24	I	41	7	169920,171	169920,171	1,0		1,0	5,5	28,0	34,0	38,0	1
25	I	41	7	-169920,171	-169920,171								
26	I	4	5	-169920,171	-161680,267								
27	I	14,5	5	-161680,267	161680,267	-1,0		0,5	29,0	72,0	83,0	124,0	1
28	I	4	5	161680,267	169920,171	1,0		1,0	0,7	28,0	34,0	38,7	1

Průřez je klasifikován třídou 1

Poznámka: Limity klasifikace byly nastaveny podle Semi-Comp+.

Posudek ohybového momentu pro M_z

Podle EN 1993-1-1 článku 6.2.5 a rovnice (6.12), (6.13)

$$M_{pl,z,Rd} = \frac{W_{pl,z} \times f_y}{\gamma_{M0}} = \frac{4,9580 \cdot 10^{-4} [m^3] \times 235,0 [MPa]}{1,00} = 116,51 [kNm] \quad (EC3-1-1: 6.13)$$

$$\text{Jedn. posudek} = \frac{|M_{z,Ed}|}{M_{pl,z,Rd}} = \frac{|76,18 [kNm]|}{116,51 [kNm]} = 0,65 \leq 1,00 \quad (EC3-1-1: 6.12)$$

Posudek smyku pro V_y

Podle EN 1993-1-1 článku 6.2.6 a rovnice (6.17)

$$V_{pl,y,Rd} = \frac{A_v \times \frac{f_y}{\sqrt{3}}}{\gamma_{M0}} = \frac{3,2469 \cdot 10^{-3} [m^2] \times \frac{235,0 [MPa]}{\sqrt{3}}}{1,00} = 440,53 [kN] \quad (EC3-1-1: 6.18)$$

$$\text{Jedn. posudek} = \frac{|V_{y,Ed}|}{V_{pl,y,Rd}} = \frac{|-12,78 [kN]|}{440,53 [kN]} = 0,03 \leq 1,00 \quad (EC3-1-1: 6.17)$$

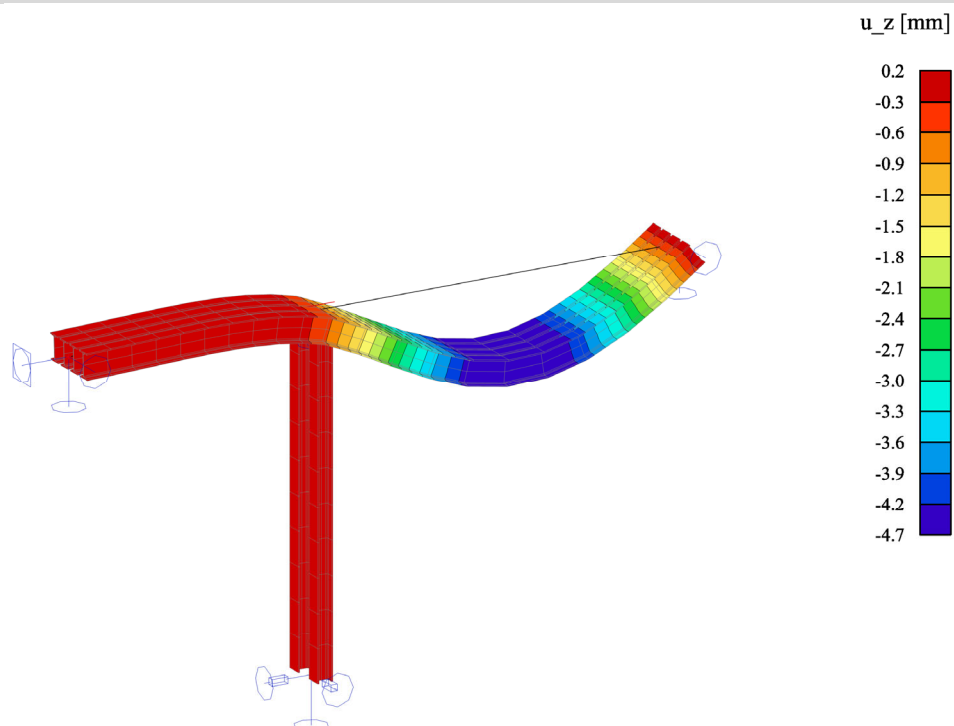
Poznámka: Z průřezových charakteristik není získána žádná smyková plocha.

Prvek splňuje podmínky posudku průřezu.

REKONSTRUKCE VÝPRAVNÍ BUDOVY V ŽST. TÁBOR

DOKUMENTACE PRO PROVÁDĚNÍ STAVBY

Posouzení MSP – Svislá deformace nosníku [mm]



$$u_z = 4,7 \text{ mm} \leq u_{max} = \frac{L}{500} = 4,7 \text{ mm}$$

REKONSTRUKCE VÝPRAVNÍ BUDOVY V ŽST. TÁBOR

DOKUMENTACE PRO PROVÁDĚNÍ STAVBY

F.3.4 Posouzení průvleků nad 2.NP

F.3.4.1 Strop nad 2.NP – Posudek průvleku 4xIPE 220 mezi A.2.04 a A.2.10

$$4 \times IPE\ 200 - W_y = 777 \times 10^{-6} m^3 - I_y = 7772 \times 10^{-8} m^4$$

$$Rozpětí\ L = 3,98\ m$$

Strop nad 2.NP – b=1,22m chodba, 2,82m kancelář

Stálé zatížení:

$$Skladba\ podlahy\ chodba = 1,68\ kN/m^2 \cdot 1,22 = 2,05\ kN/m$$

$$Skladba\ podlahy\ kanceláře = 3,42\ kN/m^2 \cdot 2,82 = 9,64\ kN/m$$

$$Vl.\ tíha\ zdiva\ h \cdot t_l \cdot \rho = 1,00 \cdot 0,45 \cdot 18 = 8,10\ kN/m$$

$$\Sigma f_g = 2,05 + 9,64 + 8,10 = 19,80\ kN/m$$

Proměnné zatížení:

$$Užitné\ kat.\ B = 2,50\ kN/m^2 \cdot 2,82 = 7,05\ kN/m$$

$$Užitné\ kat.\ C = 5,00\ kN/m^2 \cdot 1,22 = 6,10\ kN/m$$

$$\Sigma f_q = 7,05 + 6,10 = 13,15\ kN/m$$

$$f_{(g+q),k} = \Sigma f_g + f_q = 19,80 + 13,5 = 33,0\ kN/m$$

$$f_{(g+q),d} = 0,85 \times \Sigma \gamma_g \times f_g + \gamma_q \times f_q = 0,85 \times 1,35 \times 19,8 + 1,5 \times 13,15 = 42,50\ kN/m$$

1) Posouzení MSÚ – ohyb

$$M_{Ed} = \frac{1}{8} \times f \times L^2 = \frac{1}{8} \times 42,5 \times 3,98^2 = 84,15\ kNm$$

$$M_{Rd} = W_y \times f_{y,D} = 777 \times 10^{-6} \times 235000 = 182,6\ kNm$$

$$M_{Ed} = 84,15\ kNm \leq M_{Rd} = 182,6\ kNm$$

Posudek na MSÚ vyhovuje.

2) Posudek MSP – průhyb

$$u_z = \frac{5}{384} \times \frac{f \times L^4}{EI} = \frac{5}{384} \times \frac{33,0 \times 3,98^4}{210 \times 10^3 \times 7772 \times 10^{-8}} = 6,6\ mm$$

$$u_z = 6,6\ mm \leq u_{max} = \frac{L}{500} = \frac{3980}{500} = 8,0\ mm$$

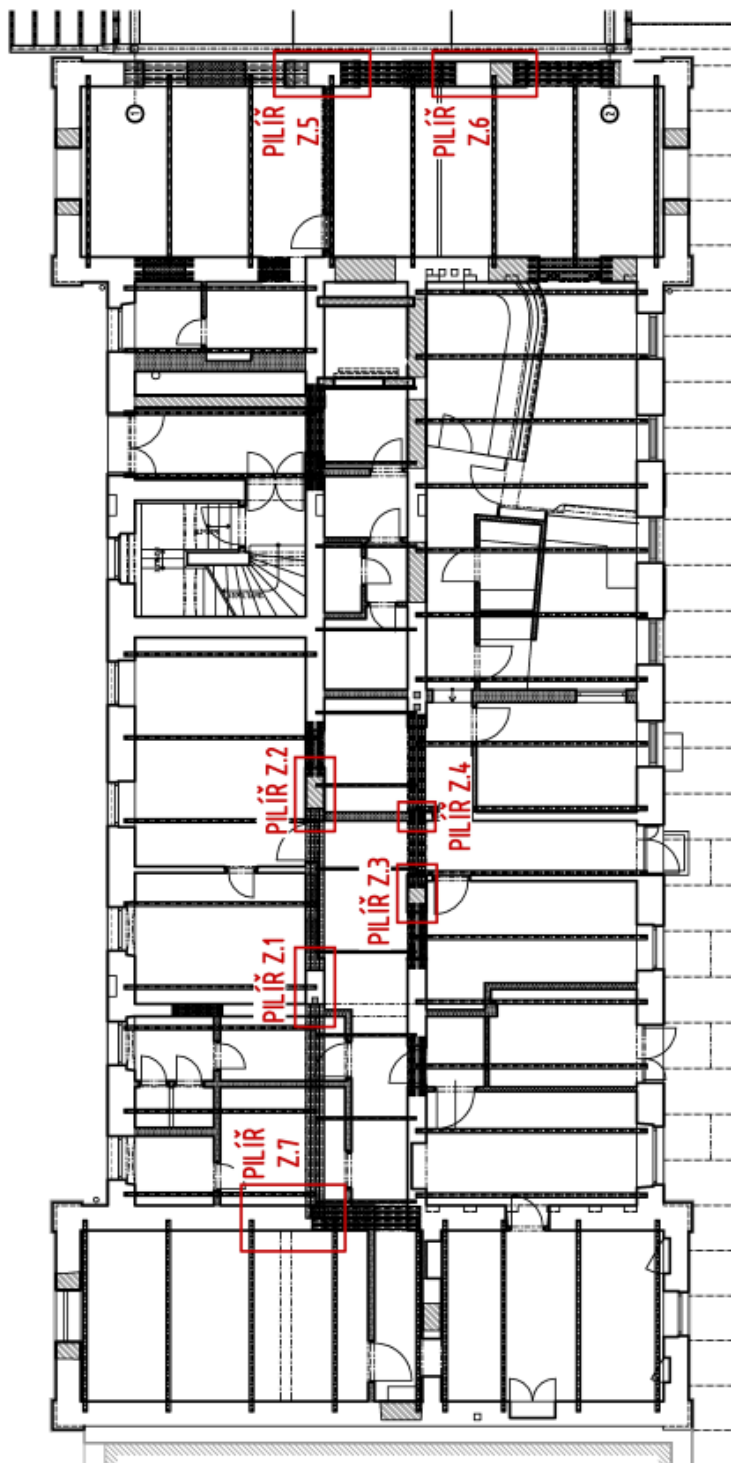
Posudek na MSP vyhovuje.

REKONSTRUKCE VÝPRAVNÍ BUDOVY V ŽST. TÁBOR

DOKUMENTACE PRO PROVÁDĚNÍ STAVBY

F.3.5 Posudek zdiva a základů – Objekt „A“

F.3.5.1 Schéma pilířů



F.3.5.2 Posudek pilíře Z.1 – 1.PP

55

REKONSTRUKCE VÝPRAVNÍ BUDOVY V ŽST. TÁBOR

DOKUMENTACE PRO PROVÁDĚNÍ STAVBY

F.3.5.3 Posudek pilíře Z.1 - 1.NP

Část: OS REK Nadraží: Tábor-- objekt "A"												
Prvek: Středový pilíř Z.1 - 1. NP												
1/ Zatížení od stropů												
Pop.s	Zatížení plocha A		příčky		útlíné/sr.h	Excentricita	Návrhová síla	Moment	Návrhová síla	Moment		
	[m2]	Shlaba [kN/m2]	[kN/m2]	[kN/m2]	e[mm]		Fd,1 [kN]	Med,1[kNm]	Fd,2 [kN]	Med,2[kNm]		
Strop nad 1.NP - Chodba	5,32	3,60	0,00	5,00	-125		53,79	-5,72	61,92	-7,74		
	10,90	3,60	0,00	7,50	125		138,82	17,35	167,75	20,97		
Strop nad 1.NP - Pracoviště	5,32	1,68	0,00	5,00	-125		40,00	-5,00	50,18	-6,27		
Strop nad 2.NP - Chodba	10,90	1,68	1,50	2,50	125		75,41	9,43	80,74	10,09		
Strop nad 2.NP - Kanceláře	23,02	2,00	0,00	0,80	0		81,50	0,00	80,58	0,00		
Krov a střešní rovina							389,50 kN	15,05 kNm	441,17 kN	17,05 kNm		
Celkem výsledné síly od stropů												
2/ Zatížení od stěn												
Pop.s	Délka stěny L	Šířka stěny B	Výška stěny H	Objemová hmot.	Excentricita	Návrhová síla	Moment	Návrhová síla	Moment			
	[m]	[m]	[m]	[kV/m3]	e[mm]	Fd,1 [kN]	Med,1 [kNm]	Fd,2 [kN]	Med,2 [kNm]			
Stěny 1. NP - CHLA PLNÁ	1,45	0,45	3,78	18,00	0	59,93	0,00	51,06	0,00			
Stěny 1. NP - OCELOVÝ PRŮVLAK	3,93	0,45	0,04	78,50	0	7,68	0,00	6,55	0,00			
Stěny 1. NP - ZDIVO NAD PRŮVLAKEM	1,53	0,45	1,65	18,00	0	27,61	0,00	23,52	0,00			
Stěny 2. NP - CHLA PLNÁ	1,15	0,45	4,17	18,00	0	52,44	0,00	44,67	0,00			
Stěny 2. NP - OCELOVÝ PRŮVLAK	3,41	0,45	0,01	78,50	0	2,18	0,00	1,85	0,00			
Stěny 2. NP - ZDIVO NAD PRŮVLAKEM	3,41	0,45	1,12	18,00	0	41,76	0,00	35,58	0,00			
Celkem výsledné síly od stěn						191,60 kN	0,00 kNm	163,22 kN	0,00 kNm			
						581,10 kN		604,39 kN		17,05 kNm		
Celkem výsledný moment od excentricity v patě						Med,e [kNm] =						
						Celková síla v patě Fd [kN] =						
						Celkem výsledný moment od excentricity v polovině výšky						
						Med,e [kNm] =						
						Celková síla v polovině výšky Fd [kN] =						
						Med,e [kNm] =						

Únosnost zděného pilíře dle ČSN EN 1996-1-1			
Zatížení v patě stěny	Rozměry	Vlastnosti zdiva	
N _{red} = 604,39 kN	h = 3,780 m	k = 0,45 [-]	
M _{red} = 17,05 kNm	p = 1,000 [-]	ε = 0,77 [-]	
	he' = 3,780 m	f _u = 20 MPa	
Zatížení v polovině výšky	b = 1,400 m	f _m = 1 MPa	
N _{m,ed} = 578,86 kN	t = 0,450 m	f _t = 15,4 MPa	
M _{m,ed} = 17,05 kNm		f _k = 3,05 MPa	
		γ _m = 2,5 [-]	
		f _d = 1,22 MPa	
Posouzení v patě stěny			
e = 36,61 mm			
φ = 0,837 [-]			
N _{l,Re} = 643,8 kN	> N _{l,ed} = 604,4 kN		
Posouzení v polovině výšky			
he/f _{te} = 8,40 [-]	≤ 15 [-]		
ek = 0,00 mm			
em,k = 37,85 mm			
u = 0,322 [-]			
φ _m = 0,750 [-]			
N _{m,Re} = 607,3 kN	> N _{m,ed} = 578,9 kN		
Želivo vyhovuje na MSJ			

REKONSTRUKCE VÝPRAVNÍ BUDOVY V ŽST. TÁBOR

DOKUMENTACE PRO PROVÁDĚNÍ STAVBY

F.3.5.4 Posudek pilíře Z.2 - 1.PP

Část: OS REK Nadraží Tábor - objekt "A" Prvek: Středový pilíř Z.2 - 1.PP									
1) Zatížení od stropů									
Popis	Zatěž.plocha A [m2]	Skládka [kN/m2]	Příčky [kN/m2]	Užité/Sn/h [kN/m2]	Excentricita e [mm]	Návrhová síla Fc.1 [kN]	Moment Med.1 [kNm]	Návrhová síla Fc.2 [kN]	Moment Med.2 [kNm]
Strop nad 1.PP - Chodba	2,79	7,00	0,00	5,00	-200	40,98	-8,20	43,35	-8,57
Strop nad 1.PP - Kanceláře	6,48	7,00	3,00	2,50	200	104,46	20,89	38,79	19,76
Strop nad 1.NP - Chodba	3,54	3,60	0,00	5,00	-125	35,79	-4,47	41,21	-5,15
Strop nad 1.NP - Pracoviště	7,52	3,60	0,00	7,50	125	95,80	11,97	115,77	14,47
Strop nad 2.NP - Chodba	4,42	1,68	0,00	5,00	-125	33,23	-4,15	41,69	-5,21
Strop nad 2.NP - Kanceláře	9,39	1,68	1,50	2,50	125	64,98	8,12	59,57	8,70
K o v a střeš ní rovina	23,02	2,00	0,00	0,80	0	81,50	0,00	90,58	0,00
Celkem výsledné síly od stropů						456,74 kN	24,16 kNm	490,96 kN	23,89 kNm
2) Zatížení od stěn									
Popis	Délka stěny L [m]	Šířka stěny B [m]	Výška stěny H [m]	Objemová hmot. [kN/m3]	Excentricita e [mm]	Návrhová síla Fc.1 [kN]	Moment Med.1 [kNm]	Návrhová síla Fc.2 [kN]	Moment Med.2 [kNm]
Stěny 1.PP - CHILIA PLIVA	2,75	0,60	3,11	18,00	0	124,70	0,00	106,22	0,00
Stěny 1.NP - CHILIA PLIVA	2,30	0,45	3,78	18,00	0	53,73	0,00	45,77	0,00
Stěny 1.NP - OCELOVÝ PRŮVLAK	2,65	0,45	0,04	78,50	0	3,23	0,00	2,75	0,00
Stěny 1.NP - ZDIVO NAD PRŮVLAKEM	2,24	0,45	1,60	18,00	0	36,19	0,00	33,38	0,00
Stěny 2.NP - CHILIA PLIVA	2,60	0,45	4,17	18,00	0	118,55	0,00	100,99	0,00
Stěny 2.NP - OCELOVÝ PRŮVLAK	2,73	0,45	0,01	78,50	0	0,78	0,00	0,67	0,00
Stěny 2.NP - ZDIVO NAD PRŮVLAKEM - L	2,23	0,45	1,12	18,00	0	15,05	0,00	12,83	0,00
Stěny 2.NP - ZDIVO NAD PRŮVLAKEM - P	0,59	0,45	2,02	18,00	0	13,03	0,00	11,10	0,00
Celkem výsledné síly od stěn						368,29 kN	0,00 kNm	313,72 kN	0,00 kNm
Celková síla v patě Fc [kN] = 825,02 kN Celkem výsledný moment od excentricity v patě Med.e [kNm] = 24,16 kNm									
Celková síla v polovině výšky Fc [kN] = 751,57 kN Celkem výsledný moment od excentricity v polovině výšky pilíře Med.e [kNm] = 24,16 kNm									
3) Zatížení od mmostní základu									
Popis	L [m]	Šířka základu B [m]	Základu H [m]	Objemová hmot. [kN/m3]	Excentricita e [mm]	Návrhová síla Fc.1 [kN]	Moment Med.1 [kNm]	Návrhová síla Fc.2 [kN]	Moment Med.2 [kNm]
Zděný pas	3,05	0,75	0,50	18,00	0	27,79	0,00	23,68	0,00
Celková síla do paty základu Fc [kN] = 852,82 kN Celkem výsledný moment do paty základu [kNm] = 24,16						852,82 kN	0,00	828,36 kN	23,89
4) Podchycení stávajících základů									
Popis	Délka základu L [m]	Šířka základu B [m]	Výška základu H [m]	Objemová hmot. [kN/m3]	Excentricita e [mm]	Návrhová síla Fc.1 [kN]	Moment Med.1 [kNm]	Návrhová síla Fc.2 [kN]	Moment Med.2 [kNm]
Žb pas	2,90	1,50	0,30	25,00	0	28,85	0,00	24,58	0,00
Celková síla do paty základu Fc [kN] = 881,67 kN Celkem výsledný moment do paty základu [kNm] = 24,16						881,67 kN	0,00	852,94 kN	23,89

Únosnost zděného pilíře dle ČSN EN 1996-1-1														
Zatížení v patě stěny					Rozměry					Vlastnosti zděva				
N _{l,ed} = 825,02 kN					h = 3,10 m					K = 0,45 [-]				
M _{l,ed} = 24,16 kNm					p = 1,000 [-]					δ = 0,77 [-]				
Zatížení v polovině výšky					h _{ef} = 3,10 m					f _u = 20 MPa				
N _{m,ed} = 752,68 kN					b = 2,750 m					f _{tm} = 1 MPa				
M _{m,ed} = 24,16 kNm					t = 0,600 m					f _b = 15,4 MPa				
										f _k = 3,05 MPa				
										γ _m = 2,5 [-]				
										γ _d = 1,22 MPa				
<u>Posouzení v patě stěny</u>														
e _l = 36,20 mm														
φ _l = 0,879 [-]														
N _{l,Rd} = 1770,8 kN					>					N _{l,ed} = 825,0 kN				
<u>Posouzení v polovině výšky</u>														
h _{ef} /t _{ef} = 5,18 [-]					≤					15 [-]				
e _k = 0,00 mm														
e _{m,k} = 38,59 mm														
u = 0,154 [-]														
φ _m = 0,861 [-]														
N _{m,Rd} = 1734,0 kN					>					N _{m,ed} = 752,7 kN				
Zděva vyhovuje na MSÚ														
Únosnost základové pasu dle ČSN EN 1997-1														
Posudek stávajícího pasu														
<u>Rozměry a vlastnosti</u>														
L = 3,050 m					A =					- n2				
B = 0,600 m														
R _{dt} = 350,0 kPa														
e = 0,028 m														
R _{dt} = 350,0 kPa					<					o _{ed} = 514,6 kPa				
Základ NEVYHOVUJE na MSÚ														
-> NÁVRH PODCHYCENÍ ZÁKLADOVÝ PASU														
Posudek ŽB podchytávky														
<u>Rozměry a vlastnosti</u>														
L = 2,000 m					A =					- n2				
B = 1,500 m														
R _{dt} = 350,0 kPa														
e = 0,027 m														
R _{dt} = 350,0 kPa					>					o _{ed} = 305,0 kPa				
Záklac VYHOVUJE na MSÚ														

REKONSTRUKCE VÝPRAVNÍ BUDOVY V ŽST. TÁBOR

DOKUMENTACE PRO PROVÁDĚNÍ STAVBY

F.3.5.5 Posudek pilíře Z.2 - 1.NP

Část: OS REK Nadraží:Tábor - objekt "A"									
Prvek: Středový pilíř Z.2 - 1.NP									
1/ Zatížení od stropů									
Popis	Zatížení plocha A [m2]	Překry [kN/m2]	Uř tne/Srnh [kN/m2]	Excentricita e[mm]	Návrhová síla Fd,1 [kN]	Moment Med,1[kNm]	Návrhová síla Fd,2 [kN]	Moment Med,2[kNm]	
Strop nad 1.NP - Chodba	3,54	3,60	0,00	-1,25	35,79	-4,47	41,21	-5,15	
Strop nad 1.NP - Pracoviště	7,52	3,60	0,00	1,25	95,80	11,97	115,77	-2,47	
Strop nad 2.NP - Chodba	4,42	1,68	0,00	-1,25	33,23	-4,15	41,69	-5,21	
Strop nad 2.NP - Kanceláře	9,39	1,68	1,50	1,25	64,98	8,12	69,57	8,70	
Krov a střešní rovina	23,02	2,00	0,00	0	81,50	0,00	80,58	0,00	
Celkem výsledné síly od stropů					311,30 kN	11,47 kNm	348,82 kN	12,81 kNm	
2/ Zatížení od stěn									
Popis	Délka stěny L [m]	Šířka stěny B [m]	Výška stěny H [m]	Excentricita e[mm]	Návrhová síla Fd,1 [kN]	Moment Med,1[kNm]	Návrhová síla Fd,2 [kN]	Moment Med,2[kNm]	
Stěny 1. NP - CHLA PLNÁ	1,30	0,45	3,78	0	53,73	0,00	45,77	0,00	
Stěny 1. NP - OCELOVÝ PRŮVLAK	1,55	0,45	0,04	0	3,23	0,00	2,75	0,00	
Stěny 1. NP - ZDIVO NAD PRŮVLAKEM	2,24	0,45	1,60	0	39,19	0,00	33,38	0,00	
Stěny 2. NP - CHLA PLNÁ	2,50	0,45	4,17	0	118,56	0,00	100,99	0,00	
Stěny 2. NP - OCELOVÝ PRŮVLAK	1,23	0,45	0,01	0	0,78	0,00	0,67	0,00	
Stěny 2. NP - ZDIVO NAD PRŮVLAKEM - L	1,23	0,45	1,12	0	15,06	0,00	12,83	0,00	
Stěny 2. NP - ZDIVO NAD PRŮVLAKEM - P	0,59	0,45	2,02	0	13,03	0,00	11,10	0,00	
Celkem výsledné síly od stěn					243,59 kN	0,00 kNm	207,50 kN	0,00 kNm	
Celková síla v patě Fd [kN] =					554,89 kN		556,32 kN		
Celkem výsledný moment od excentricity v patě Med,e [kNm] =					11,47 kNm		12,81 kNm		
Celková síla v polovině výšky Fd [kN] =					528,02 kN		533,43 kN		
Celkem výsledný moment od excentricity v polovině výšky pilíře Med,e [kNm] =					11,47 kNm		12,81 kNm		

Únosnost zděného pilíře dle ČSN EN 1996-1-1									
Zatížení v patě stěny					Vlastnosti zdiva				
Rozměry					Vlastnosti zdiva				
N _{l,ed} = 556,32 kN					h = 3,780 m				
M _{l,ed} = 12,81 kNm					p = 1,000 [-]				
Zatížení v polovině výšky					hef = 3,780 m				
N _{m,ed} = 533,43 kN					b = 1,300 m				
M _{m,ed} = 12,81 kNm					t = 0,450 m				
					k = 0,45 [-]				
					δ = 0,77 [-]				
					f _u = 20 MPa				
					f _m = 1 MPa				
					f _b = 15,4 MPa				
					f _k = 3,05 MPa				
					γ _m = 2,5 [-]				
					f _d = 1,22 MPa				
Posouzení v patě stěny									
e _l = 31,42 mm									
φ _l = 0,860 [-]									
N _{l,Rd} = 614,3 kN ≥ N _{l,ed} = 556,3 kN									
Posouzení v polovině výšky									
hef/he _l = 8,40 [-]					≤ 15 [-]				
e _k = 0,00 mm									
e _m = 32,41 mm									
e _{m,k} = 32,41 mm									
u = 0,315 [-]									
φ _m = 0,815 [-]									
N _{m,Rd} = 581,6 kN ≥ N _{m,ed} = 533,4 kN									
Zdivo vyhovuje na MSÚ									

REKONSTRUKCE VÝPRAVNÍ BUDOVY V ŽST. TÁBOR
DOKUMENTACE PRO PROVÁDĚNÍ STAVBY

F.3.5.6 Posudek pilíře Z.3 - 1.PP

Únosnost zděného pilíře dle ČSN EN 1996-1-1									
Zatížení v patě stěny					Rozměry		Vlastnosti zdiva		
N _{med} =	375,31 kN	h =	3,110 m	K =	0,45 [-]				
M _{med} =	13,63 kNm	p =	1,200 [-]	δ =	0,77 [-]				
Zatížení v polovině výšky					h _{ef} =	3,110 m	f _u =	20 MPa	
					b =	1,320 m	f _m =	1 MPa	
					t =	0,300 m	f _b =	15,4 MPa	
					M _{med} =	345,39 kN	f _k =	3,05 MPa	
					M _{med} =	13,63 kNm	γ _m =	2,5 [-]	
							f _d =	1,22 MPa	
Posouzení v patě stěny									
el =	43,22 mm								
φ _l =	0,856 [-]								
N _l /R _d =	827,4 kN	≥	N _{l,ed} =	375,3 kN					
Posouzení v polovině výšky									
h _{ef} /t _{ef} =	5,18 [-]	≤	15 [-]						
ek =	0,00 mm								
em =	46,37 mm								
em.k =	46,37 mm								
u =	0,158 [-]								
φ _m =	0,835 [-]								
N _m /R _d =	807,1 kN	≥	N _{m,ed} =	345,4 kN					
Únosnost základové pasu dle ČSN EN 1997-1									
Posudek stávajícího pasu									
Rozměry a vlastnosti									
L =	1,500 m								
B =	0,600 m								
R _{dt} =	350,0 kPa								
e =	0,035 m								
R _{dt} =	350,0 kPa	<	e _{ed} =	489,4 kPa					
-> NAVRHL PODCHYCNÍ ZÁKLADOVÝ PASEM									
Posudek žb podchytyšky									
Rozměry a vlastnosti									
L =	1,500 m					A =	- m2		
B =	1,000 m								
R _{dt} =	350,0 kPa								
e =	0,033 m								
R _{dt} =	350,0 kPa	>	e _{ed} =	251,8 kPa					
Základ VYHOVUJE na MSÚ									

Část: OS REK Nadraží Tábor - objekt "A"									
Prvek: Středový pilíř Z.3 - 1.PP									
1) Zatížení od stropů									
Popis	Zatěž. plocha A [m2]	Skladba [kN/m2]	Překry [kN/m2]	Uř. tlak/švih [kN/m2]	Excentricita e [mm]	Návrhová síla F _{d,1} [kN]	Moment Ved ₁ [kNm]	Návrhová síla F _{d,2} [kN]	Moment Med ₂ [kNm]
Strop nad 1.PP - Chodba	1,50	7,00	0,00	5,00	-200	23,49	-4,70	24,85	-4,97
Strop nad 1.PP - Kanceláře	3,71	7,00	3,00	2,50	200	59,87	11,97	56,62	11,32
Strop nad 1.NP - Chodba	2,18	3,60	0,00	5,00	-125	22,04	-5,05	25,38	-3,17
Strop nad 1.NP - Pracoviště	4,53	3,60	0,00	7,50	125	58,99	7,37	71,29	8,91
Strop nad 2.NP - Chodba	1,93	1,68	0,00	5,00	-125	14,51	-1,81	18,20	-2,28
Strop nad 2.NP - Kanceláře	4,10	1,68	1,50	2,50	125	28,37	3,55	30,38	3,80
Celkem výsledné síly od stropů						207,28 kN	13,63 kNm	226,72 kN	13,62 kNm
2) Zatížení od stěn									
Popis	Délka stěny L [m]	Šířka stěny B [m]	Výška stěny H [m]	Objemová hmot. [kN/m3]	Excentricita e [mm]	Návrhová síla F _{d,1} [kN]	Moment Ved ₁ [kNm]	Návrhová síla F _{d,2} [kN]	Moment Med ₂ [kNm]
Stěny 1.PP - CHLA PLNÁ	1,32	0,60	3,11	18,00	0	59,85	0,00	50,59	0,00
Stěny 1.VP - CHLA PLNÁ	0,90	0,45	3,78	18,00	0	37,20	0,00	31,69	0,00
Stěny 1.VP - OCELOVÝ PRŮVLAK	1,28	0,45	0,01	78,50	0	0,82	0,00	0,70	0,00
Stěny 1.VP - ŽDVO NAD PRŮVLAKEM	1,28	0,45	1,60	18,00	0	22,39	0,00	19,08	0,00
Stěny 2.VP - CHLA PLNÁ	0,70	0,45	4,17	18,00	0	31,92	0,00	27,19	0,00
Stěny 2.VP - OCELOVÝ PRŮVLAK	1,23	0,45	0,01	78,50	0	0,78	0,00	0,67	0,00
Stěny 2.VP - ŽDVO NAD PRŮVLAKEM	1,23	0,45	1,12	18,00	0	15,06	0,00	12,83	0,00
Celkem výsledné síly od stěn						168,08 kN	0,00 kNm	143,14 kN	0,00 kNm
3) Zatížení od hmotnosti základů									
Celková síla v patě F _d [kN] =									
Celkem výsledný moment od excentricity v patě Med _e [kNm] =						375,31 kN	13,63 kNm	369,85 kN	13,62 kNm
Celková síla v polovině výšky F _d [kN] =									
Celkem výsledný moment od excentricity v polovině výšky Med _e [kNm] =						345,39 kN	13,63 kNm	344,37 kN	13,62 kNm
Popis	Délka základu L [m]	Šířka základu B [m]	Výška základu H [m]	Objemová hmot. [kN/m3]	Excentricita e [mm]	Návrhová síla F _{d,1} [kN]	Moment Ved ₁ [kNm]	Návrhová síla F _{d,2} [kN]	Moment Med ₂ [kNm]
Zděný pas	1,50	0,75	0,50	18,00	0	13,67	0,00	11,64	0,00
Celková síla do paty základu F _d [kN] =						388,96 kN		381,51 kN	
Celkem výsledný moment do paty základu [kNm] =							13,63		13,62
4) Podchycení stávajících základů									
Popis	Délka základu L [m]	Šířka základu B [m]	Výška základu H [m]	Objemová hmot. [kN/m3]	Excentricita e [mm]	Návrhová síla F _{d,1} [kN]	Moment Ved ₁ [kNm]	Návrhová síla F _{d,2} [kN]	Moment Med ₂ [kNm]
Žb pas	1,50	1,20	0,30	25,00	0	19,44	0,00	16,56	0,00
Celková síla do paty základu F _d [kN] =						408,42 kN		398,07 kN	
Celkem výsledný moment do paty základu [kNm] =							13,63		13,62

REKONSTRUKCE VÝPRAVNÍ BUDOVY V ŽST. TÁBOR

DOKUMENTACE PRO PROVÁDĚNÍ STAVBY

F.3.5.7 Posudek pilíře Z.3 - 1.NP

Část: OS REK Nadraží Táborek - objekt "A"											
Prvek: Středový pilíř Z.3 - 1.NP											
1) Zatížení od stropů											
Popis	Zatěž.plocha A [m2]	Skladba [kN/m2]	Přídavky [kN/m2]	Uř.tně/Srnh [kN/m2]	Excentricita e[mm]	Návrhová síla Fd,1 [kN]	Moment Ved,1[kNm]	Návrhová síla Fd,2 [kN]	Moment Med,2[kNm]		
Strop nad 1.NP - Chodba	2,18	3,60	0,00	5,00	-125	22,04	-2,75	25,38	-3,17		
Strop nad 1.NP - Pracoviště	4,53	3,60	0,00	7,50	125	59,99	7,37	71,29	8,91		
Strop nad 2.NP - Chodba	1,93	1,68	0,00	5,00	-125	14,51	-1,81	18,20	-2,28		
Strop nad 2.NP - Kanceláře	4,10	1,68	1,50	2,50	125	28,37	3,55	30,38	3,80		
Celkem výsledné síly od stropů						123,92 kN	6,35 kNm	145,25 kN	7,26 kNm		
2) Zatížení od stěn											
Popis	Délka stěny L [m]	Šířka stěny B [m]	Výška stěny H [m]	Objemová hmot. [kN/m3]	Excentricita e[mm]	Návrhová síla Fd,1 [kN]	Moment Ved,1[kNm]	Návrhová síla Fd,2 [kN]	Moment Med,2[kNm]		
Stěny 1. NP - CHLA PLNÁ	0,90	0,45	3,78	18,00	0	37,20	0,00	31,69	0,00		
Stěny 1. NP - OCELOVÝ PRŮVLAK	1,28	0,45	0,01	78,50	0	0,82	0,00	0,70	0,00		
Stěny 1. NP - ZDIVO NAD PRŮVLAKEM	1,28	0,45	1,60	18,00	0	22,39	0,00	19,08	0,00		
Stěny 2. NP - CHLA PLNÁ	0,70	0,45	4,17	18,00	0	31,92	0,00	27,19	0,00		
Stěny 2. NP - OCELOVÝ PRŮVLAK	1,23	0,45	0,01	78,50	0	0,78	0,00	0,67	0,00		
Stěny 2. NP - ZDIVO NAD PRŮVLAKEM	1,23	0,45	1,12	18,00	0	15,06	0,00	12,83	0,00		
Celkem výsledné síly od stěn						108,18 kN	0,00 kNm	92,15 kN	0,00 kNm		
Celková síla v patě Fd [kN] =						232,10 kN					
Celkem výsledný moment od excentricity v patě Med,e [kNm] =						6,35 kNm					
						237,40 kN					
Celková síla v polovině výšky Fd [kN] =											
Celkem výsledný moment od excentricity v polovině výšky pilíře Med,e [kNm] =						7,26 kNm					
						221,55 kN					
						7,26 kNm					

Únosnost zděného pilíře dle ČSN EN 1996-1-1											
Zatížení v patě stěny				Rozměry				Vlastnosti zděiva			
N _{red} =	237,40 kN	h =	3,780 m	K =	0,45 [-]	N _{red} =	7,26 kNm	p =	1,900 [-]	S =	0,77 [-]
M _{red} =		h _{ef} =	3,780 m	f _u =	20 MPa	M _{red} =		b =	0,900 m	f _m =	1 MPa
Zatížení v polovině výšky						N _{red} =	221,56 kN	t =	0,450 m	f _b =	15,4 MPa
M _{red} =	7,26 kNm										
N _{m,red} =		f _k =	3,05 MPa	γ _m =	2,5 [-]	N _{m,red} =		f _d =	1,22 MPa		
M _{m,red} =											
Posouzení v patě stěny						si =	38,99 mm				
						φ _i =	0,827 [-]				
N _{i,red} =						408,6 kN	≥	N _{i,ed} =	237,4 kN		
Posouzení v polovině výšky											
h _{ef} /k _{ef} =						8,40 [-]	≤	15	[-]		
e _k =						0,00 mm					
e _m =						41,18 mm					
e _{m,k} =						41,18 mm					
u =						0,326 [-]					
φ _m =						0,775 [-]					
N _{m,red} =						382,9 kN	≥	N _{m,ed} =	221,5 kN		
Zdvo vyhovuje na MSÚ											

REKONSTRUKCE VÝPRAVNÍ BUDOVY V ŽST. TÁBOR

DOKUMENTACE PRO PROVÁDĚNÍ STAVBY

F.3.5.8 Posudek pilíře Z.4 - 1.PP

Část: OS REK Nadraží Tábor - objekt "A"

Prvek: Středový pilíř Z.4 - 1. PP

1) Zatížení od stropů

Popis	Zatěž.plocha A [m2]	Skladba [kN/m2]	Překry [kN/m2]	Uř.tněž/šrnh [kN/m2]	Excentricita e[mm]	Návrhová síla Fd,1 [kN]	Moment Med,1 [kNm]	Návrhová síla Fd,2 [kN]	Moment Med,2 [kNm]
Strop nad 1.PP - Chodba	1.87	7,00	0,00	5,00	-200	27,49	-5,50	29,08	-5,82
Strop nad 1.PP - Kanceláře	4.35	7,00	3,00	2,50	200	70,05	-2,40	66,26	13,25
Strop nad 1.NP - Chodba	1.91	3,60	0,00	5,00	-125	19,31	-2,41	22,23	-2,78
Strop nad 1.NP - Pracoviště	4.06	3,60	0,00	7,50	125	31,69	6,46	62,46	7,81
Strop nad 2.NP - Chodba	2.49	1,68	0,00	5,00	-125	18,72	-2,34	23,49	-2,94
Strop nad 2.NP - Kanceláře	5.29	1,68	1,50	2,50	125	36,60	4,58	39,19	4,90
Krov a střecha rovina	23.02	2,00	0,00	0,80	0	81,50	0,00	80,58	0,00
Celkem výsledné síly od stropů						305,38 kN	14,80 kNm	323,29 kN	14,43 kNm

2) Zatížení od stěn

Popis	Délka stěny L [m]	Šířka stěny B [m]	Výška stěny H [m]	Objemová hmot.: [kN/m3]	Excentricita e[mm]	Návrhová síla Fd,1 [kN]	Moment Med,1 [kNm]	Návrhová síla Fd,2 [kN]	Moment Med,2 [kNm]
Stěny 1.VP - CHLA PINÁ	1.53	0,60	3,11	18,00	0	73,91	0,00	62,96	0,00
Stěny 1.VP - ZDIVO NAD PRŮVIAKEM	0.58	0,60	1,11	18,00	0	9,39	0,00	8,00	0,00
Stěny 1.VP - OCELOVÝ SLOUP	2.15	0,45	0,01	78,50	0	0,97	0,00	0,83	0,00
Stěny 1.VP - OCELOVÝ PRŮVIAK	1.91	0,45	0,02	78,50	0	1,63	0,00	1,39	0,00
Stěny 1.VP - ZDIVO NAD PRŮVIAKEM	1.91	0,45	1,43	18,00	0	25,87	0,00	25,44	0,00
Stěny 2.VP - CHLA PINÁ	2.50	0,45	1,91	18,00	0	54,30	0,00	46,26	0,00
Stěny 2.VP - ZDIVO NAD OTVOREM	0.59	0,45	2,02	18,00	0	13,03	0,00	-1,10	0,00
Celkem výsledné síly od stěn						183,10 kN	0,00 kNm	155,57 kN	0,00 kNm

3) Zatížení od hmotnosti základů

Popis	L [m]	Šířka základu B [m]	základu H [m]	Objemová hmot.: [kN/m3]	Excentricita e[mm]	Návrhová síla Fd,1 [kN]	Moment Med,1 [kNm]	Návrhová síla Fd,2 [kN]	Moment Med,2 [kNm]
Zděný pas	1.50	0,75	0,50	18,00	0	13,67	0,00	-1,64	0,00
Celková síla do paty základu Fd [kN] =						502,14 kN	0,00	490,61 kN	14,43
Celkem výsledný moment do paty základu [kNm] =							14,80		

4) Podchycení stávajících základů

Popis	Délka základu L [m]	Šířka základu B [m]	Výška základu H [m]	Objemová hmot.: [kN/m3]	Excentricita e[mm]	Návrhová síla Fd,1 [kN]	Moment Med,1 [kNm]	Návrhová síla Fd,2 [kN]	Moment Med,2 [kNm]
Zb pas	1.50	1,20	0,30	25,00	0	18,23	0,00	-5,53	0,00
Celková síla do paty základu Fd [kN] =						520,37 kN	0,00	506,44 kN	14,43
Celkem výsledný moment do paty základu [kNm] =							14,80		

Únosnost zděného pilíře dle ČSN EN 1996-1-1

Zatížení v patě stěny

h =	3,110 m
p =	1,000 [-]
h _{ef} =	3,110 m
b =	1,630 m
t =	0,600 m
N _{l,ed} =	451,52 kN
M _{l,ed} =	14,80 kNm
γ _m =	2,5 [-]
f _d =	

Posouzení v patě stěny

φ _i =	0,876 [-]
N _{l,Rd} =	1045,6 kN
N _{l,ed} =	488,5 kN

Posouzení v polovině výšky

h _{ef} /h _{ef} =	5,18 [-]
≤	15 [-]
e _k =	0,00 mm
e _{m,k} =	39,68 mm
u =	0,135 [-]
φ _m =	0,837 [-]

Únosnost základové pasu dle ČSN EN 1997-1

Posudek stávajícího pasu

N _{m,Rd} =	1023,4 kN
N _{m,ed} =	451,5 kN

Rozměry a vlastnosti

L =	1,500 m
B =	0,600 m
R _{dt} =	350,0 kPa
e =	0,029 m
R _{dt} =	350,0 kPa
σ _{ed} =	618,7 kPa

Základ NEVYHOVUJE na MEÚ

-> NÁVRH PODCHYCENÍ ZÁKLADOVÝ PASEM

Část: OS REK Nadraží Tábor - objekt "A"

Prvek: Středový pilíř Z.4 - 1. PP

1) Zatížení od stropů

Popis	Zatěž.plocha A [m2]	Skladba [kN/m2]	Překry [kN/m2]	Uř.tněž/šrnh [kN/m2]	Excentricita e[mm]	Návrhová síla Fd,1 [kN]	Moment Med,1 [kNm]	Návrhová síla Fd,2 [kN]	Moment Med,2 [kNm]
Strop nad 1.PP - Chodba	1.87	7,00	0,00	5,00	-200	27,49	-5,50	29,08	-5,82
Strop nad 1.PP - Kanceláře	4.35	7,00	3,00	2,50	200	70,05	-2,40	66,26	13,25
Strop nad 1.NP - Chodba	1.91	3,60	0,00	5,00	-125	19,31	-2,41	22,23	-2,78
Strop nad 1.NP - Pracoviště	4.06	3,60	0,00	7,50	125	31,69	6,46	62,46	7,81
Strop nad 2.NP - Chodba	2.49	1,68	0,00	5,00	-125	18,72	-2,34	23,49	-2,94
Strop nad 2.NP - Kanceláře	5.29	1,68	1,50	2,50	125	36,60	4,58	39,19	4,90
Krov a střecha rovina	23.02	2,00	0,00	0,80	0	81,50	0,00	80,58	0,00
Celkem výsledné síly od stropů						305,38 kN	14,80 kNm	323,29 kN	14,43 kNm

2) Zatížení od stěn

Popis	Délka stěny L [m]	Šířka stěny B [m]	Výška stěny H [m]	Objemová hmot.: [kN/m3]	Excentricita e[mm]	Návrhová síla Fd,1 [kN]	Moment Med,1 [kNm]	Návrhová síla Fd,2 [kN]	Moment Med,2 [kNm]
Stěny 1.VP - CHLA PINÁ	1.53	0,60	3,11	18,00	0	73,91	0,00	62,96	0,00
Stěny 1.VP - ZDIVO NAD PRŮVIAKEM	0.58	0,60	1,11	18,00	0	9,39	0,00	8,00	0,00
Stěny 1.VP - OCELOVÝ SLOUP	2.15	0,45	0,01	78,50	0	0,97	0,00	0,83	0,00
Stěny 1.VP - OCELOVÝ PRŮVIAK	1.91	0,45	0,02	78,50	0	1,63	0,00	1,39	0,00
Stěny 1.VP - ZDIVO NAD PRŮVIAKEM	1.91	0,45	1,43	18,00	0	25,87	0,00	25,44	0,00
Stěny 2.VP - CHLA PINÁ	2.50	0,45	1,91	18,00	0	54,30	0,00	46,26	0,00
Stěny 2.VP - ZDIVO NAD OTVOREM	0.59	0,45	2,02	18,00	0	13,03	0,00	-1,10	0,00
Celkem výsledné síly od stěn						183,10 kN	0,00 kNm	155,57 kN	0,00 kNm

3) Zatížení od hmotnosti základů

Popis	L [m]	Šířka základu B [m]	základu H [m]	Objemová hmot.: [kN/m3]	Excentricita e[mm]	Návrhová síla Fd,1 [kN]	Moment Med,1 [kNm]	Návrhová síla Fd,2 [kN]	Moment Med,2 [kNm]
Zděný pas	1.50	0,75	0,50	18,00	0	13,67	0,00	-1,64	0,00
Celková síla do paty základu Fd [kN] =						502,14 kN	0,00	490,61 kN	14,43
Celkem výsledný moment do paty základu [kNm] =							14,80		

4) Podchycení stávajících základů

Popis	Délka základu L [m]	Šířka základu B [m]	Výška základu H [m]	Objemová hmot.: [kN/m3]	Excentricita e[mm]	Návrhová síla Fd,1 [kN]	Moment Med,1 [kNm]	Návrhová síla Fd,2 [kN]	Moment Med,2 [kNm]
Zb pas	1.50	1,20	0,30	25,00	0	18,23	0,00	-5,53	0,00
Celková síla do paty základu Fd [kN] =						520,37 kN	0,00	506,44 kN	14,43
Celkem výsledný moment do paty základu [kNm] =							14,80		

Únosnost zděného pilíře dle ČSN EN 1996-1-1

Zatížení v patě stěny

h =	3,110 m
p =	1,000 [-]
h _{ef} =	3,110 m
b =	1,630 m
t =	0,600 m
N _{l,ed} =	451,52 kN
M _{l,ed} =	14,80 kNm
γ _m =	2,5 [-]
f _d =	

Posouzení v patě stěny

φ _i =	0,876 [-]
N _{l,Rd} =	1045,6 kN
N _{l,ed} =	488,5 kN

Posouzení v polovině výšky

h _{ef} /h _{ef} =	5,18 [-]
≤	15 [-]
e _k =	0,00 mm
e _{m,k} =	39,68 mm
u =	0,135 [-]
φ _m =	0,837 [-]

Únosnost základové pasu dle ČSN EN 1997-1

Posudek stávajícího pasu

N _{m,Rd} =	1023,4 kN
N _{m,ed} =	451,5 kN

Rozměry a vlastnosti

L =	1,500 m
B =	0,600 m
R _{dt} =	350,0 kPa
e =	0,029 m
R _{dt} =	350,0 kPa
σ _{ed} =	618,7 kPa

Základ NEVYHOVUJE na MEÚ

-> NÁVRH PODCHYCENÍ ZÁKLADOVÝ PASEM

Část: OS REK Nadraží Tábor - objekt "A"

Prvek: Středový pilíř Z.4 - 1. PP

1) Zatížení od stropů

Popis	Zatěž.plocha A [m2]	Skladba [kN/m2]	Překry [kN/m2]	Uř.tněž/šrnh [kN/m2]	Excentricita e[mm]	Návrhová síla Fd,1 [kN]	Moment Med,1 [kNm]	Návrhová síla Fd,2 [kN]	Moment Med,2 [kNm]
Strop nad 1.PP - Chodba	1.87	7,00	0,00	5,00	-200	27,49	-5,50	29,08	-5,82
Strop nad 1.PP - Kanceláře	4.35	7,00	3,00	2,50	200	70,05	-2,40	66,26	13,25
Strop nad 1.NP - Chodba	1.91	3,60	0,00	5,00	-125	19,31	-2,41	22,23	-2,78
Strop nad 1.NP - Pracoviště	4.06	3,60	0,00	7,50	125	31,69	6,46	62,46	7,81
Strop nad 2.NP - Chodba	2.49	1,68	0,00	5,00	-125	18,72	-2,34	23,49	-2,94
Strop nad 2.NP - Kanceláře	5.29	1,68	1,50	2,50	125	36,60	4,58	39,19	4,90
Krov a střecha rovina	23.02	2,00	0,00	0,80	0	81,50	0,00	80,58	0,00
Celkem výsledné síly od stropů						305,38 kN	14,80 kNm	323,29 kN	14,43 kNm

2) Zatížení od stěn

Popis	Délka stěny L [m]	Šířka stěny B [m]	Výška stěny H [m]	Objemová hmot.: [kN/m3]	Excentricita e[mm]	Návrhová síla Fd,1 [kN]	Moment Med,1 [kNm]	Návrhová síla Fd,2 [kN]	Moment Med,2 [kNm]
Stěny 1.VP - CHLA PINÁ	1.53	0,60	3,11	18,00	0	73,91	0,00	62,96	0,00
Stěny 1.VP - ZDIVO NAD PRŮVIAKEM	0.58	0,60	1,11	18,00	0	9,39	0,00	8,00	0,00
Stěny 1.VP - OCELOVÝ SLOUP	2.15	0,45	0,01	78,50	0	0,97	0,00	0,83	0,00
Stěny 1.VP - OCELOVÝ PRŮVIAK	1.91	0,45	0,02	78,50	0	1,63	0,00	1,39	0,00
Stěny 1.VP - ZDIVO NAD PRŮVIAKEM	1.91	0,45	1,43	18,00	0	25,87	0,00	25,44	0,00
Stěny 2.VP - CHLA PINÁ	2.50	0,45	1,91	18,00	0	54,30	0,00	46,26	0,00
Stěny 2.VP - ZDIVO NAD OTVOREM	0.59	0,45	2,02	18,00	0	13,03	0,00	-1,10	0,00
Celkem výsledné síly od stěn						183,10 kN	0,00 kNm	155,57 kN	0,00 kNm

3) Zatížení od hmotnosti základů

Popis	L [m]	Šířka základu B [m]	základu H [m]	Objemová hmot.: [kN/m3]	Excentricita e[mm]	Návrhová síla Fd,1 [kN]	Moment Med,1 [kNm]	Návrhová síla Fd,2 [kN]	Moment Med,2 [kNm]
Zděný pas	1.50	0,75	0,50	18,00	0	13,67	0,00	-1,64	0,00
Celková síla do paty základu Fd [kN] =						502,14 kN	0,00	490,61 kN	14,43
Celkem výsledný moment do paty základu [kNm] =							14,80		

4) Podchycení stávajících základů

Popis	Délka základu L [m]	Šířka základu B [m]	Výška základu H [m]	Objemová hmot.: [kN/m3]	Excentricita e[mm]	Návrhová síla Fd,1 [kN]	Moment Med,1 [kNm]	Návrhová síla Fd,2 [kN]	Moment Med,2 [kNm]
Zb pas	1.50	1,20	0,30	25,00	0	18,23	0,00	-5,53	0,00
Celková síla do paty základu Fd [kN] =						520,37 kN	0,00	506,44 kN	14,43
Celkem výsledný moment do paty základu [kNm] =							14,80		

Únosnost zděného pilíře dle ČSN EN 1996-1-1

Zatížení v patě stěny

h =	3,110 m
p =	1,000 [-]
h _{ef} =	3,110 m
b =	1,630 m
t =	0,600 m
N _{l,ed} =	451,52 kN
M _{l,ed} =	14,80 kNm
γ _m =	2,5 [-]
f _d =	

Posouzení v patě stěny

φ _i =	0,876 [-]
N _{l,Rd} =	1045,6 kN
N _{l,ed} =	488,5 kN

Posouzení v polovině výšky

h _{ef} /h _{ef} =	5,18 [-]
≤	15 [-]
e _k =	0,00 mm
e _{m,k} =	39,68 mm
u =	0,135 [-]
φ _m =	0,837 [-]

Únosnost základové pasu dle ČSN EN 1997-1

Posudek stávajícího pasu

N _{m,Rd} =	1023,4 kN
N _{m,ed} =	451,5 kN

Rozměry a vlastnosti

L =	1,500 m
B =	0,600 m
R _{dt} =	350,0 kPa
e =	0,029 m
R _{dt} =	350,0 kPa
σ _{ed} =	618,7 kPa

Základ NEVYHOVUJE na MEÚ

-> NÁVRH PODCHYCENÍ ZÁKLADOVÝ PASEM

Část: OS REK Nadraží Tábor - objekt "A"

Prvek: Středový pilíř Z.4 - 1. PP

1) Zatížení od stropů

Popis	Zatěž.plocha A [m2]	Skladba [kN/m2]	Překry [kN/m2]	Uř.tněž/šrnh [kN/m2]	Excentricita e[mm]	Návrhová síla Fd,1 [kN]	Moment Med,1 [kNm]	Návrhová síla Fd,2 [kN]	Moment Med,2 [kNm]
Strop nad 1.PP - Chodba	1.87	7,00	0,00	5,00	-200	27,49	-5,50	29,08	-5,82
Strop nad 1.PP - Kanceláře	4.35	7,00	3,00	2,50	200	70,05	-2,40	66,26	13,25
Strop nad 1.NP - Chodba	1.91	3,60	0,00	5,00	-125	19,31	-2,41	22,23	-2,78
Strop nad 1.NP - Pracoviště	4.06	3,60	0,00	7,50	125	31,69	6,46	62,46	7,81
Strop nad 2.NP - Chodba	2.49	1,68	0,00	5,00	-125	18,72	-2,34	23,49	-2,94
Strop nad 2.NP - Kanceláře	5.29	1,68	1,50	2,50	125	36,60	4,58	39,19	4,90
Krov a střecha rovina	23.02	2,00	0,00	0,80	0	81,50	0,00	80,58	0,00
Celkem výsledné síly od stropů						305,38 kN	14,80 kNm	323,29 kN	14,43 kNm

2) Zatížení od stěn

Popis	Délka stěny L [m]	Šířka stěny B [m]	Výška stěny H [m]	Objemová hmot.: [kN/m3]	Excentricita e[mm]	Návrhová síla Fd,1 [kN]	Moment Med,1 [kNm]	Návrhová síla Fd,2 [kN]	Moment Med,2 [kNm]
Stěny 1.VP - CHLA PINÁ	1.53	0,60	3,11	18,00	0	73,91	0,00	62,96	0,00
Stěny 1.VP - ZDIVO NAD PRŮVIAKEM	0.58	0,60	1,11	18,00	0	9,39	0,00	8,00	0,00
Stěny 1.VP - OCELOVÝ SLOUP	2.15	0,45	0,01	78,50	0	0,97	0,00	0,83	0,00
Stěny 1.VP - OCELOVÝ PRŮVIAK	1.91	0,45	0,02	78,50	0	1,63	0,00	1,39	0,00
Stěny 1.VP - ZDIVO NAD									

REKONSTRUKCE VÝPRAVNÍ BUDOVY V ŽST. TÁBOR
DOKUMENTACE PRO PROVÁDĚNÍ STAVBY

F.3.5.9 Posudek pilíře Z.5 - 1.PP

Část: OS REK Nacraží: Tábor - objekt "A" Přvek: Obvodový pilíř Z.5 - 1.PP									
1) Zatížení od stropů									
Popis	Zatěž. plocha A [m2]	Skladba [kN/m2]	Překry [kN/m2]	Uř. tlak/špih [kN/m2]	Excentricita e [mm]	Návrhová síla Fd,1 [kN]	Moment MEd,1 [kNm]	Návrhová síla Fd,2 [kN]	Moment MEd,2 [kNm]
Strop nad 1.PP - Chodba	5,54	7,00	0,00	5,00	200	82,94	-5,59	87,73	17,55
Strop nad 1.NP - Hygienické zázemí	9,23	3,60	1,50	1,50	250	78,04	-9,51	74,86	18,72
Strop nad 2.NP - Byt	7,79	1,68	1,50	2,50	275	53,89	-4,82	57,70	15,87
Krov a střecha rovina	8,96	2,00	0,00	0,80	0	31,71	0,00	31,35	0,00
Celkem výsledné síly od stropů						246,59 kN	50,92 kNm	251,65 kN	52,13 kNm
2) Zatížení od stěn									
Popis	Délka stěny L [m]	Šířka stěny B [m]	Výška stěny H [m]	Objemová hmot. [kN/m3]	Excentricita e [mm]	Návrhová síla Fd,1 [kN]	Moment MEd,1 [kNm]	Návrhová síla Fd,2 [kN]	Moment MEd,2 [kNm]
Stěny 1. NP - CH-LA PLNÁ	2,24	0,75	3,11	18,00	0	126,95	0,00	108,15	0,00
Stěny 1. NP - ZDIVO NAD PRŮVLAKEM	0,56	0,75	1,35	18,00	0	13,28	0,00	-1,74	0,00
Stěny 1. NP - CH-LA PLNÁ	1,90	0,60	3,78	18,00	75	99,20	7,44	84,51	6,34
Stěny 1. NP - OCELOVÝ PRŮVLAK	2,70	0,60	0,04	78,50	75	6,15	0,46	5,25	0,39
Stěny 1. NP - ZDIVO NAD PRŮVLAKEM	2,70	0,60	1,08	18,00	75	42,52	3,19	36,22	2,72
Stěny 1. NP - CH-LA PLNÁ	2,55	0,60	4,17	18,00	75	135,04	-1,63	132,07	9,91
Stěny 1. NP - ZDIVO NAD PRŮVLAKEM	1,25	0,60	2,07	18,00	75	37,73	2,83	32,14	2,41
Stěny 1. NP - CH-LA PLNÁ	3,80	0,45	3,20	18,00	0	132,97	0,00	113,27	0,00
Celkem výsledné síly od stěn						614,35 kN	25,55 kNm	523,31 kN	21,76 kNm
Celkem výsledný moment od excentricity v patě pilíře [kNm] = 75,47 kNm									
Celková síla v patě pilíře Fd [kN] = 850,94 kN									
Celková síla v polovině výšky pilíře Med,e [kNm] = 797,45 kN									
3) Zatížení od hmotnosti základů									
Popis	L [m]	Šířka základu B [m]	Základ H [m]	Objemová hmot. [kN/m3]	Excentricita e [mm]	Návrhová síla Fd,1 [kN]	Moment MEd,1 [kNm]	Návrhová síla Fd,2 [kN]	Moment MEd,2 [kNm]
Zetěný pas	2,54	0,90	0,50	18,00	0	27,77	0,00	23,66	0,00
Celkem výsledný moment do paty základu [kNm] = 75,47 kNm						888,71 kN	75,47 kNm	798,64 kN	73,89 kNm
4) Podchycení stávajících základů									
Popis	Délka základu L [m]	Šířka základu B [m]	Výška základu H [m]	Objemová hmot. [kN/m3]	Excentricita e [mm]	Návrhová síla Fd,1 [kN]	Moment MEd,1 [kNm]	Návrhová síla Fd,2 [kN]	Moment MEd,2 [kNm]
Zb pas	2,25	1,50	0,30	23,00	0	34,17	0,00	29,11	0,00
Celkem výsledný moment do paty základu [kNm] = 76,47						922,88 kN	76,47	827,75 kN	73,85
Tlak zemínn na suterénní zdívo									
V = 0,35 [-]									
fg,k = 40,59 kN/m'									
fg,k = 5,25 kN/m'									
Ved,1 = 29,26 kN/m'									
Ved,2 = 50,35 kN/m'									
x,0 = 1,75 m									
V = 0,00 kN									
Nmax = 31,47 kN/m'									
fvk,0 = 0,28 Mpa									
fd = 0,11 Mpa									
Ved = 50,35 kN/m'									
Zdívko vyhovuje na MSU									
Posudek smyku									
fvk,0 = 0,28 Mpa									
fd = 0,11 Mpa									
Ved = 50,35 kN/m'									
Zdívko vyhovuje na MSU									
Unosnost základové pasu dle ČSN EN 1997-1									
Posudek stávajícího pasu									
Rozměry a vlastnosti									
L = 2,540 m									
B = 0,750 m									
Rdt = 350,0 kPa									
e = 0,093 m									
Rdt = 350,0 kPa < σEd = 519,3 kPa									
Základ NEVYHOVUJE na MSU									
-> NÁVRH PODCHYCENÍ ZÁKLADOVÝ PASEM									
Posudek Zb podchytávky									
Rozměry a vlastnosti									
L = 2,250 m									
B = 1,500 m									
Rdt = 350,0 kPa									
e = 0,089 m									
Rdt = 350,0 kPa > σEd = 310,4 kPa									
Základ VYHOVUJE na MSU									
Unosnost zděného pilíře dle ČSN EN 1996-1-1									
Zatížení v patě stěny									
Nl,ed = 860,94 kN									
Ml,ed = 76,47 kNm									
hef = 3,110 m									
p = 1,000 [-]									
K = 0,45 [-]									
δ = 0,77 [-]									
fm = 20 MPa									
fu = 3,110 m									
b = 2,240 m									
t = 0,750 m									
Nl,ed = 797,45 kN									
Ml,ed = 44,99 kNm									
fb = 15,4 MPa									
fk = 3,05 MPa									
γm = 2,5 [-]									
fd = 1,22 MPa									
Posouzení v patě stěny									
ei = 95,73 mm									
φl = 0,745 [-]									
Nl,ed = 5527,0 kN ≥ Nl,ac = 860,9 kN									
Posouzení v polovině výšky									
hef/hef = 4,15 [-] ≤ 15 [-]									
ek = 0,00 mm									
em,k = 63,33 mm									
em,k = 63,33 mm									
u = 0,108 [-]									
φm = 0,836 [-]									
Nl,ed = 5684,2 kN ≥ Nl,ed = 797,5 kN									
Zdívko vyhovuje na MSU									

REKONSTRUKCE VÝPRAVNÍ BUDOVY V ŽST. TÁBOR
DOKUMENTACE PRO PROVÁDĚNÍ STAVBY

F.3.5.10 Posudek pilíře Z.5 - 1.NP

Část: OS REK Nadraží Tábor - objekt "A" Prvek: Obvodový pilíř Z.5 - 1.NP									
1) Zatížení od stropů									
Popis	Zatěž. plocha A [m2]	Skladba [kN/m2]	Přídavky [kN/m2]	Uř. tnež/šrnh [kN/m2]	Excentricita e [mm]	Návrhová síla Fd,1 [kN]	Moment M ed,1 [kNm]	Návrhová síla Fd,2 [kN]	Moment M ed,2 [kNm]
Strop nad 1.NP - Hygienické zázemí	9,23	3,60	1,50	1,50	200	78,04	-5,61	74,86	14,97
Strop nad 2.NP - Býř	7,79	1,68	1,50	2,50	200	53,89	-0,78	57,70	11,54
Krov a střešní revňva	8,96	2,00	0,00	0,80	-75	31,71	-2,38	31,35	-2,35
Celkem výsledné síly od stropů						163,65 kN	24,01 kNm	163,62 kN	24,16 kNm
2) Zatížení od stěn									
Popis	Délka stěny L [m]	Šířka stěny B [m]	Výška stěny H [m]	Objemová hmot. [kN/m3]	Excentricita e [mm]	Návrhová síla Fd,1 [kN]	Moment M ed,1 [kNm]	Návrhová síla Fd,2 [kN]	Moment M ed,2 [kNm]
Stěny 1. VP - CHLA PLNÁ	1,80	0,60	3,78	18,00	0	99,20	0,00	84,51	0,00
Stěny 1. VP - OCELOVÝ PRŮVLAK	2,70	0,60	0,04	78,50	0	6,16	0,00	5,25	0,00
Stěny 1. VP - ZDIVO NAD PRŮVLAKEM	2,70	0,60	1,08	18,00	0	43,52	0,00	36,22	0,00
Stěny 2. VP - CHLA PLNÁ	2,55	0,60	4,17	18,00	0	155,04	0,00	132,07	0,00
Stěny 2. VP - ZDIVO NAD PRŮVLAKEM	1,25	0,60	2,67	18,00	0	37,73	0,00	32,14	0,00
Stěny 3. VP - CHLA PLNÁ	3,80	0,45	3,20	18,00	75	132,97	9,97	113,27	8,50
Celkem výsledné síly od stěn						473,61 kN	9,97 kNm	403,45 kN	8,50 kNm
Celková síla v patě Fd [kN] = Celkem výsledný moment od excentricity v patě M ed,e [kNm] =									
						637,26 kN	33,98 kNm	557,35 kN	32,65 kNm
Celkem výsledný moment od excentricity v podlažní výšce pilíře M ed,e vř. tlaku zeminy [kNm] = Celková síla v podlažní výšce Fd [kN] =									
						587,66 kN	33,98 kNm	525,11 kN	32,65 kNm

Únosnost zděného pilíře dle ČSN EN 1996-1-1

Zatížení v patě stěny

Regiměry

Vlastnosti zděiva

Ni,ed = 637,26 kN

Mi,ed = 33,98 kNm

h = 3,780 m

p = 1,000 [-]

K = 0,45 [-]

hef = 3,780 m

b = 1,800 m

δ = 0,77 [-]

fu = 20 MPa

fm = 1 MPa

Nm,ed = 587,66 kN

t = 0,600 m

fb = 15,4 MPa

fk = 3,05 MPa

γm = 2,5 [-]

fd = 1,22 MPa

Posouzení v patě stěny

ei = 61,72 mm

φi = 0,794 [-]

Ni,ed = 5046,9 kN

Ni,ac = 537,3 kN

Posouzení v podlažní výšce

hef/tef = 6,30 [-]

ek = 0,00 mm

em = 66,22 mm

em,k = 66,22 mm

u = 0,227 [-]

φm = 0,759 [-]

Nm,ed = 5001,0 kN

Nm,ed = 587,7 kN

Zděivo vyhovuje na M50

REKONSTRUKCE VÝPRAVNÍ BUDOVY V ŽST. TÁBOR

DOKUMENTACE PRO PROVÁDĚNÍ STAVBY

F.3.5.11 Posudek pilíře Z.6 – 1.PP

Část: OS REK Nacraží: Tábor - objekt "A"

Přvek: Obvodový pilíř Z.6 - 1.PP

1) Zatížení od stropů

Popis	Zatěž.plocha A [m2]	Překř. Skladba [kN/m2]	Překř. [kN/m2]	Uř tneř/sřrh [kN/m2]	Excentricita e[mm]	Návrhová síla Fd,1 [kN]	Moment Med,1[kNm]	Návrhová síla Fd,2 [kN]	Moment Med,2[kNm]
Strop nad 1.PP - Chlída	7,86	7,00	0,00	5,00	200	115,52	23,10	122,20	24,44
Strop nad 1.NP - Žizemní	8,00	3,60	1,50	1,50	250	67,64	-6,91	64,88	16,22
Strop nad 2.NP - Břt	8,00	1,68	1,50	2,50	275	55,31	-5,21	59,22	16,29
Krov a střešní rovina	9,19	2,00	0,00	0,80	0	32,55	0,00	32,18	0,00
Celkem výsledné síly od stropů						271,01 kN	55,22 kNm	278,48 kN	56,95 kNm

2) Zatížení od stěn

Popis	Délka stěny L [m]	Šířka stěny B [m]	Výška stěny H [m]	Objemová hmot. [kN/m3]	Excentricita e[mm]	Návrhová síla Fd,1 [kN]	Moment Med,1[kNm]	Návrhová síla Fd,2 [kN]	Moment Med,2[kNm]
Stěny 1. NP - CH-LA PLNÁ	3,90	0,75	3,11	18,00	0	221,03	0,00	188,30	0,00
Stěny 1. NP - ZDIVO NAD PRŮVLAKEM	0,56	0,75	1,35	18,00	0	13,78	0,00	-1,74	0,00
Stěny 1. NP - CH-LA PLNÁ	1,90	0,60	3,78	18,00	75	99,20	7,44	84,51	6,34
Stěny 1. NP - OCELOVÝ PRŮVLAK	1,90	0,60	0,04	78,50	75	4,33	0,33	3,69	0,28
Stěny 1. NP - ZDIVO NAD PRŮVLAKEM	1,90	0,60	1,08	18,00	75	26,92	2,24	25,49	1,91
Stěny 2. NP - CH-LA PLNÁ	2,50	0,60	4,17	18,00	75	136,08	-1,86	134,66	10,10
Stěny 2. NP - ZDIVO NAD PRŮVLAKEM	1,25	0,60	2,07	18,00	75	37,73	2,83	32,14	2,41
Stěny 3. NP - CH-LA PLNÁ	3,90	0,45	3,20	18,00	0	136,47	0,00	1-6,25	0,00
Celkem výsledné síly od stěn						700,56 kN	24,69 kNm	596,77 kN	21,04 kNm

Celková síla v patě Fd [kN] = 971,57 kN

Celkem výsledný moment od excentricity v patě Med,e [kNm] = 79,92 kNm

Celková síla v polovině výšky Fd [kN] = 781,10 kN

Celkem výsledný moment od excentricity v polovině výšky pilíře Med,e vč. tlaku zeminy [kNm] = 46,51 kNm

3) Zatížení od tlakosti základů

Popis	L [m]	Šířka základu B [m]	Výška základu H [m]	Objemová hmot. [kN/m3]	Excentricita e [mm]	Návrhová síla Fd,1 [kN]	Moment Med,1[kNm]	Návrhová síla Fd,2 [kN]	Moment Med,2[kNm]
Zděný pas	3,90	0,90	0,50	18,00	0	42,65	0,00	36,33	0,00
Celková síla do paty základu Fd [kN] =						1,014,22 kN		511,53 kN	
Celkem výsledný moment do paty základu [kNm] =						79,92 kNm			77,98 kNm

4) Podchycení stávajících základů

Popis	Délka základu L [m]	Šířka základu B [m]	Výška základu H [m]	Objemová hmot. [kN/m3]	Excentricita e [mm]	Návrhová síla Fd,1 [kN]	Moment Med,1[kNm]	Návrhová síla Fd,2 [kN]	Moment Med,2[kNm]
Žb pas	2,50	1,50	0,30	25,00	0	37,97	0,00	32,34	0,00
Celková síla do paty základu Fd [kN] =						1,052,19 kN		943,62 kN	
Celkem výsledný moment do paty základu [kNm] =						79,92			77,98

Tlak zeminy na suterénní zdvo

v = 0,35 [-]	fg,k = 40,59 kN/m²
f _{0,k} = 5,0 kN/m2	f _{0,k} = 5,25 kN/m²
v = 18 kN/m3	Ved,1 = 29,26 kN/m²
v/g = 1,35 [-]	Ved,2 = 50,35 kN/m²
v/q = 1,05 [-]	x,0 = 1,75 m
K = 0,54 [-]	V = 0,00 kN
o _{max,k} = 30,14 kPa	m _{max} = 31,47 kNm/m²

Posudek smyku

f _{yk,0} = 0,20 Mpa	f _{yk} = 0,22 Mpa
o _d = 0,30 MPa	f _{vd} = 0,09 MPa
γ _M = 2,50 [-]	
V _{rd} = 50,35 kN/m²	V _{ed} = 50,35 kNm/m²
Zdvo vyhovuje na MSU	

Únosnost zděného pilíře dle ČSN EN 1996-1-1

Zatížení v patě stěny		Rozměry		Vlastnosti zdvo	
N _{l,ed} = 971,57 kN	M _{l,ed} = 79,92 kNm	h = 3,110 m	p = 1,000 [-]	K = 0,45 [-]	δ = 0,77 [-]
Zatížení v polovině výšky		h _{ef} = 3,110 m	b = 3,900 m	f _u = 20 MPa	f _m = 1 MPa
N _{m,ed} = 861,04 kN	M _{m,ed} = 48,45 kNm	t = 0,750 m		f _b = 15,4 MPa	f _k = 3,05 MPa
		γ _m = 2,5 [-]			
f _d = 1,22 MPa					

Posouzení v patě stěny

ei = 89,17 mm	φ _i = 0,762 [-]	N _{l,Rd} = 2721,1 kN ≥ N _{l,ed} = 971,5 kN
---------------	----------------------------	--

Posouzení v polovině výšky

h _{ef} /h _{ef} = 4,15 [-] ≤ 15 [-]	e _k = 0,00 mm	e _m = 63,18 mm	e _{m,k} = 63,18 mm	u = 0,108 [-]	φ _m = 0,837 [-]
--	--------------------------	---------------------------	-----------------------------	---------------	----------------------------

N_{m,Rd} = 2951,3 kN ≥ N_{m,ed} = 861,0 kN

Zdvo vyhovuje na MSU

Unosnost základového pasu dle ČSN EN 1997-1

Posudek stávajícího pasu

Rozměry a vlastnosti	
L = 3,900 m	B = 0,750 m
R _d = 350,0 kPa	ε = 0,079 m
R _d = 350,0 kPa < o _{ed} = 439,0 kPa	
Základ NEVYHOVUJE na MSU	
-> NÁVRH PODCHYCENÍ ZÁKLADOVÝ PASEM	

Posudek žb podchytávky

Rozměry a vlastnosti	
L = 2,500 m	B = 1,500 m
R _d = 350,0 kPa	e = 0,083 m
R _d = 350,0 kPa > o _{ed} = 315,3 kPa	
Základ VYHOVUJE na MSU	

REKONSTRUKCE VÝPRAVNÍ BUDOVY V ŽST. TÁBOR

DOKUMENTACE PRO PROVÁDĚNÍ STAVBY

F.3.5.12 Posudek pilíře Z.6 – 1.NP

Část: OS REK Nadraží Tábor - objekt "A"									
Prvek: Obvodový pilíř Z.6 – 1.NP									
1) Zatížení od stropů									
Popis	Zatěž. plocha A [m2]	Skladba [kN/m2]	Přídavky [kN/m2]	Už tné/šrn [kN/m2]	Excentricita e [mm]	Návrhová síla Fd,1 [kN]	Moment M ed,1 [kNm]	Návrhová síla Fd,2 [kN]	Moment M ed,2 [kNm]
Strop nad 1.NP - Zázemí	8,00	3,60	1,50	1,50	200	57,64	-3,53	64,88	12,98
Strop nad 2.NP - Břt	8,00	1,68	1,50	2,50	200	55,31	-1,06	59,22	11,84
Krov a střešní revnia	9,19	2,00	0,00	0,80	-75	32,55	-2,44	32,18	-2,41
Celkem výsledné síly od stropů						155,49 kN	22,15 kNm	156,28 kN	22,41 kNm
2) Zatížení od stěn									
Popis	Délka stěny L [m]	Šířka stěny B [m]	Výška stěny H [m]	Objemová hmot.: [kN/m3]	Excentricita e [mm]	Návrhová síla Fd,1 [kN]	Moment M ed,1 [kNm]	Návrhová síla Fd,2 [kN]	Moment M ed,2 [kNm]
Stěny 1. VP - CHLA PLNÁ	1,80	0,60	3,78	18,00	0	95,20	0,00	84,51	0,00
Stěny 1. VP - OCELOVÝ PRŮVLAK	1,90	0,60	0,04	78,50	0	4,33	0,00	3,69	0,00
Stěny 1. VP - ZDIVO NAD PRŮVLAKEM	1,90	0,60	1,08	18,00	0	26,92	0,00	25,49	0,00
Stěny 2. VP - CHLA PLNÁ	2,50	0,60	4,17	18,00	0	158,08	0,00	134,66	0,00
Stěny 2. VP - ZDIVO NAD PRŮVLAKEM	1,25	0,60	2,67	18,00	0	37,73	0,00	32,14	0,00
Stěny 3. VP - CHLA PLNÁ	3,90	0,45	3,20	18,00	75	136,47	-0,24	116,25	8,72
Celkem výsledné síly od stěn						465,73 kN	10,24 kNm	396,73 kN	8,72 kNm
Celkem výsledný moment od excentricity v patě pilíře Med,e [kNm] =									
						621,22 kN	32,38 kNm	553,01 kN	31,13 kNm
Celkem výsledný moment od excentricity v polovině výšky pilíře Med,e vč. tlaku zeminy [kNm] =									
						571,62 kN	32,38 kNm	510,75 kN	31,13 kNm

Únosnost zátěného pilíře dle ČSN EN 1996-1-1

Zatížení v patě stěny

Regiméry

Vlastnosti zdvo

N_{l,ed} = 621,22 kN

M_{l,ed} = 32,38 kNm

h = 3,110 m

p = 1,000 [-]

K = 0,45 [-]

N_{m,ed} = 571,62 kN

M_{m,ed} = 32,38 kNm

h_{ef} = 3,110 m

b = 2,000 m

f_u = 20 MPa

f_b = 15,4 MPa

f_{tk} = 3,05 MPa

γ_m = 2,5 [-]

f_d = 1,22 MPa

Posouzení v patě stěny

ei = 59,04 mm

φ_i = 0,803 [-]

N_{l,Rd} = 1176,4 kN ≥ N_{l,ed} = 621,2 kN

Posouzení v polovině výšky

h_{ef}/e_{ef} = 5,18 [-]

ek = 0,00 mm

em,k = 63,56 mm

u = 0,167 [-]

φ_m = 0,777 [-]

N_{m,Rd} = 1138,3 kN ≥ N_{m,ed} = 571,6 kN

Zdvo vyhovuje na MSU

REKONSTRUKCE VÝPRAVNÍ BUDOVY V ŽST. TÁBOR

DOKUMENTACE PRO PROVÁDĚNÍ STAVBY

F.3.5.13 Posudek pilíře Z.7 – 1.PP

Únosnost zděného pilíře dle ČSN EN 1996-1-1

[illegible]

Prosození v polovině výšky

$h_{ef}/t_{ef} =$	5,18 [-]	\leq	15 [-]
-------------------	----------	--------	--------

$N_{m,Rd} = 1977,2 \text{ kN} \geq N_{m,ed} = 861,4 \text{ kN}$
Zdivo vyhovuje na MSÚ

Únosnost základové pasu dle ČSN EN 1997-1

Rozměry a vlastnosti			
L =	3,000 m	A =	2,87 m ²
B =	0,750 m		
Rdt =	350,0 kPa		
e =	0,000 m		
Rdt =	350,0 kPa	>	σEd = 339,3 kPa
Základ VYHODNĚNÁ MSČ			

Část: OS REK Nedraží Těbor - objekt "A"													
Prvek: Středový pilř 2.7 - 1 PP													
1. Zatřeni od stropů													
Zatřeni plocha A													
Zatřeni plocha A		Skladba		Přičky		Užitné/Snitř		Excentricita		Návrhová síla		Moment	
m2		[kN/m2]		[kV/m2]		[kN/m2]		ef[mm]		Fd,1 [kN]		Med,2[kNm]	
2,28		7,00		0,00		5,00		0		33,52		0,00	
4,67		7,00		3,00		2,50		0		75,37		0,00	
2,28		3,60		0,00		5,00		0		23,05		0,00	
4,67		3,60		0,00		7,50		0		59,52		0,00	
6,55		3,60		1,50		2,50		0		58,49		0,00	
2,28		1,68		0,00		5,00		0		17,14		0,00	
4,67		1,68		1,50		2,50		0		32,33		0,00	
6,55		1,68		1,50		2,50		0		42,55		0,00	
58,58		2,00		0,00		0,80		0		65,79		0,00	
Celkem výsledné síly od stropů													
Délka stěny L		Sílka stěny B		Výška stěny H		Objemová hmot. [kN/m3]		Excentricita ef[mm]		Návrhová síla Fd,1 [kN]		Moment Med,2[kNm]	
[m]		[m]		[m]		[m]		[mm]		[kN]		[kNm]	
3,00		0,75		3,11		18,00		0		170,04		0,00	
2,00		0,60		3,78		18,00		0		110,22		0,00	
1,00		0,60		0,18		18,00		0		2,62		0,00	
2,39		0,60		4,77		18,00		0		145,31		0,00	
0,61		0,60		2,12		18,00		0		18,85		0,00	
2,39		0,45		3,20		18,00		0		85,63		0,00	
0,61		0,45		1,20		18,00		0		8,00		0,00	
Celkem výsledné síly od stěn													
										538,69 kN		0,00 kNm	
										946,44 kN		0,00 kNm	
										851,42 kN		0,00 kNm	
										817,52 kN		0,00 kNm	
Celkem výsledný moment od excentricity v patě Med2e [kNm] =													
Celková síla v patě Fd [kN] =													
										889,94 kN		0,00 kNm	
2. Zatřeni od hmotnosti základů													
Zatřeni pilř B													
Délka základu L		Sílka základu B		Výška základu H		Objemová hmot. [kN/m3]		Excentricita ef[mm]		Návrhová síla Fd,1 [kN]		Moment Med,2[kNm]	
[m]		[m]		[m]		[m]		[mm]		[kN]		[kNm]	
3,00		0,75		0,50		18,00		0		27,34		0,00	
										973,78 kN		23,29 kNm	
Celkem výsledný moment od excentricity v patě Med2e [kNm] =													
Celková síla do paty základu Fd [kN] =													
										913,23 kN		0,00 kNm	
3. Zatřeni od hmotnosti základů													
Zatřeni pilř B													
Délka základu L		Sílka základu B		Výška základu H		Objemová hmot. [kN/m3]		Excentricita ef[mm]		Návrhová síla Fd,1 [kN]		Moment Med,2[kNm]	
[m]		[m]		[m]		[m]		[mm]		[kN]		[kNm]	
3,00		0,75		0,50		18,00		0		27,34		0,00	
Celkem výsledný moment od excentricity v patě Med2e [kNm] =													
Celková síla do paty základu Fd [kN] =													
										913,23 kN		0,00 kNm	

REKONSTRUKCE VÝPRAVNÍ BUDOVY V ŽST. TÁBOR

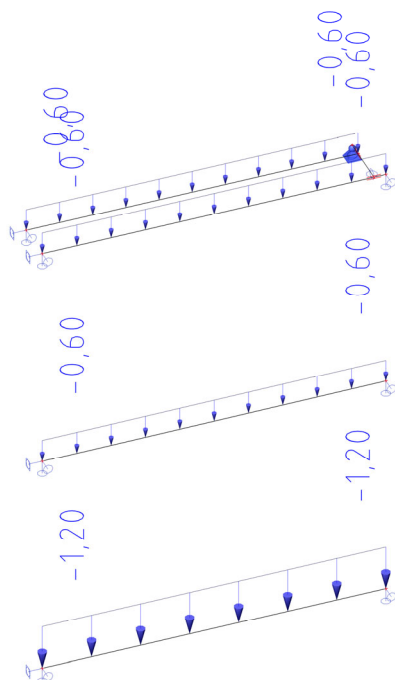
DOKUMENTACE PRO PROVÁDĚNÍ STAVBY

F.4 Objekt „B“

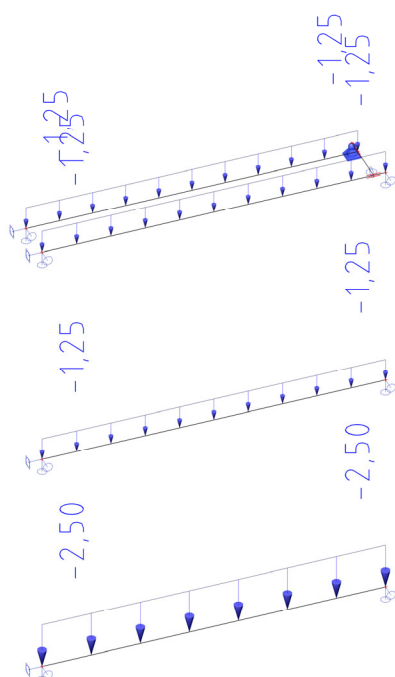
F.4.1 Strop nad 2.NP – Posudek nových stropnic IPE – $L=7,25\text{m}$ á $1,0\text{m}$

Posudek proveden pro komínovou výměnu, krajní profil a běžný profil (v pořadí od shora dolů)

F.4.1.1 Zatížení stálé – Zatížení od skladby podlahy [kN/m²]



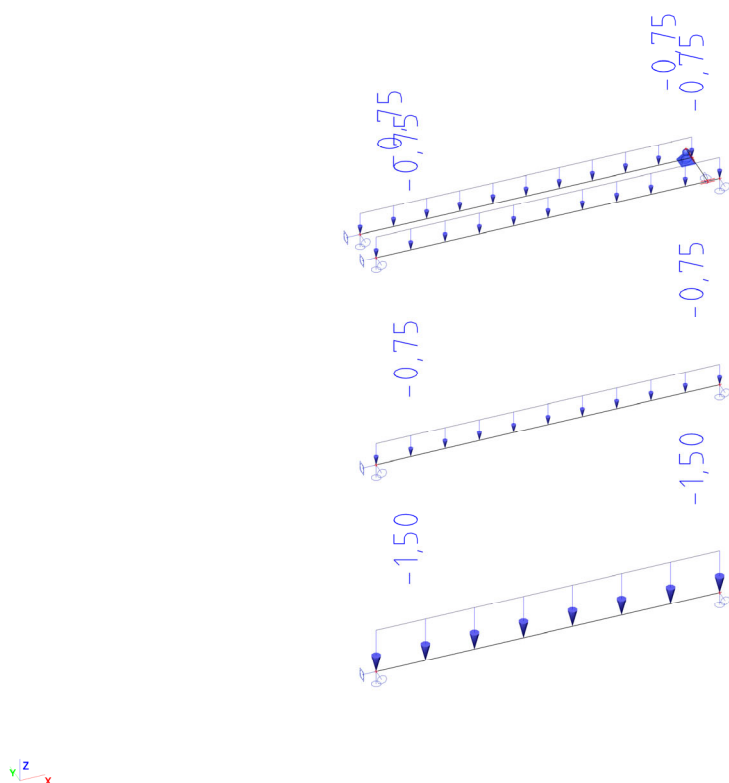
F.4.1.2 Zatížení stálé – Zatížení od hmotnosti příček [kN/m²]



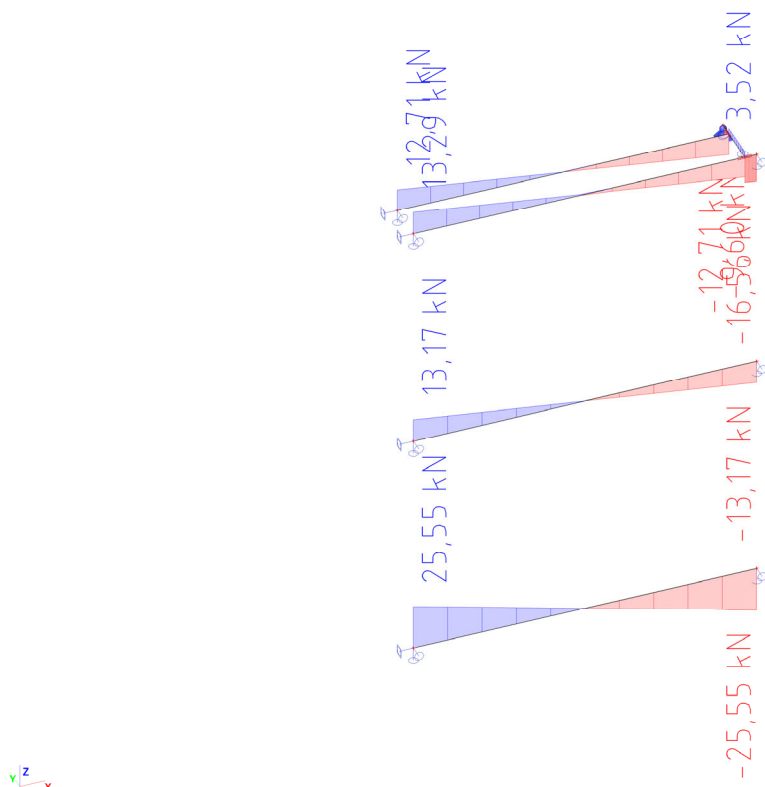
REKONSTRUKCE VÝPRAVNÍ BUDOVY V ŽST. TÁBOR

DOKUMENTACE PRO PROVÁDĚNÍ STAVBY

F.4.1.3 Zatížení proměnné – Užité zatížení [kN/m²]



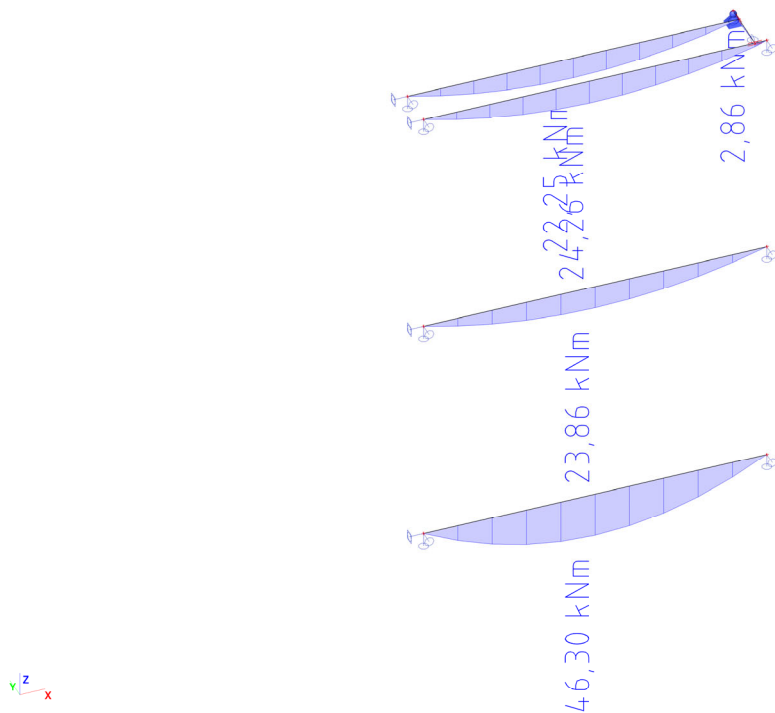
F.4.1.4 Vnitřní síly – Průběh posouvající síly V [kN]



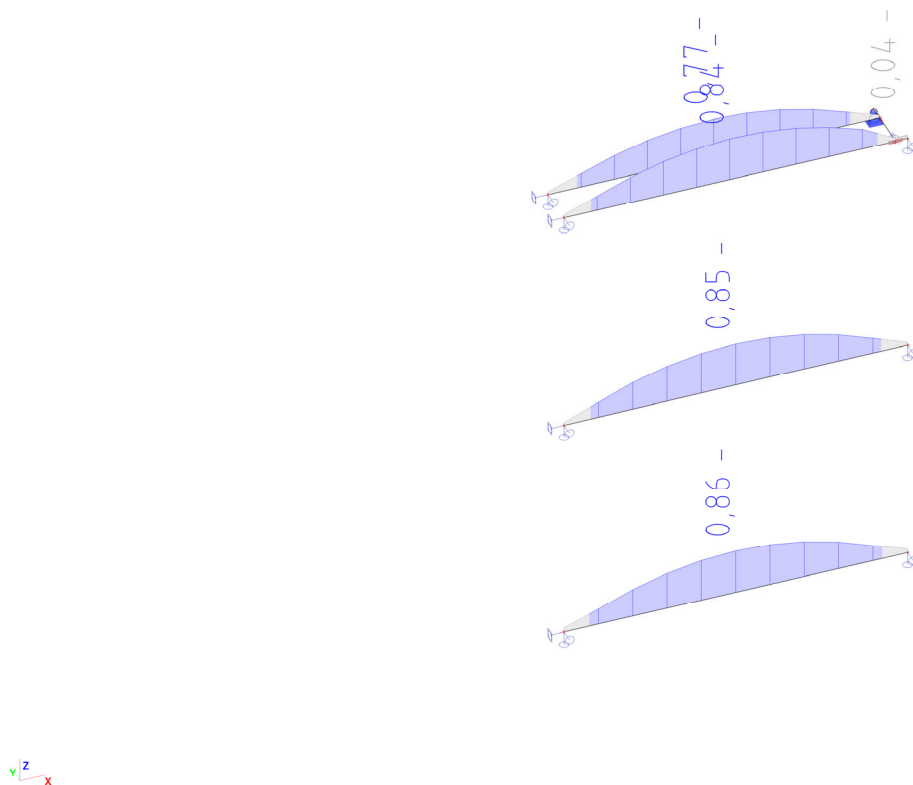
REKONSTRUKCE VÝPRAVNÍ BUDOVY V ŽST. TÁBOR

DOKUMENTACE PRO PROVÁDĚNÍ STAVBY

F.4.1.5 Vnitřní síly – Průběh ohybového momentu M_y [kNm]



F.4.1.6 Posouzení MSÚ – Využití průřezu od vnitřních sil [$\cdot 100 = \%$]



REKONSTRUKCE VÝPRAVNÍ BUDOVY V ŽST. TÁBOR

DOKUMENTACE PRO PROVÁDĚNÍ STAVBY

Posudek ocelových prvků na MSÚ EC-EN 1993

Hodnoty: $U_{C_{celkový}}$

Lineární výpočet

Kombinace: MSÚ-Sada B (auto)

Souřadný systém: Hlavní

Extrém 1D: Průřez

Výběr: Vše

Posudek EN 1993-1-1

Národní dodatek: Česká CSN-EN NA

Dílec B1	3,625 / 7,250 m	IPE270	Válcovaný	S 235	MSÚ-Sada B (auto)	0,86 -
----------	-----------------	--------	-----------	-------	-------------------	--------

Klíč kombinace

MSÚ-Sada B (auto) / 1.35*ZS1 + 1.35*ZS2 + 1.35*ZS3 + 1.05*ZS4.A

Dílič souč. spolehlivosti

Únosnost průřezů	γ_{M0}	1,00
Únosnost na stabilitu	γ_{M1}	1,00
Únosnost čistého průřezu	γ_{M2}	1,25

Materiál

Mez kluzu	f_y	235,0	MPa
Pevnost v tahu	f_u	360,0	MPa

....POSUDEK ÚNOSNOSTI:....

Kritický posudek je na pozici 3,625 m

Vnitřní síly		Vypočtené	Jednotka
Osová síla	N_{Ed}	0,00	kN
Smyková síla	$V_{y,Ed}$	0,00	kN
Smyková síla	$V_{z,Ed}$	0,00	kN
Kroucení	T_{Ed}	0,00	kNm
Ohybový moment	$M_{y,Ed}$	46,30	kNm
Ohybový moment	$M_{z,Ed}$	0,00	kNm

Klasifikace pro návrh průřezu

Klasifikace podle EN 1993-1-1 článku 5.5.2

Klasifikace vnitřních a vnějších částí podle EN 1993-1-1 tabulky 5.2 listu 1 a 2

Id	Typ	c [mm]	t [mm]	σ_1 [kN/m ²]	σ_2 [kN/m ²]	ψ [-]	k_ψ [-]	α [-]	c/t [-]	Třída 1 limit [-]	Třída 2 limit [-]	Třída 3 limit [-]	Třída
1	SO	49	10	-103860,998	-103860,998								
3	SO	49	10	-103860,998	-103860,998								
4	I	220	7	-87790,128	87790,128	-1,0		0,5	33,3	72,0	83,0	124,0	1
5	SO	49	10	103860,998	103860,998	1,0	0,4	1,0	4,8	9,0	10,0	14,0	1
7	SO	49	10	103860,998	103860,998	1,0	0,4	1,0	4,8	9,0	10,0	14,0	1

Průřez je klasifikován třídou 1

Poznámka: Limity klasifikace byly nastaveny podle Semi-Comp+.

Posudek ohybového momentu pro M_y

Podle EN 1993-1-1 článku 6.2.5 a rovnice (6.12), (6.13)

Plastický modul průřezu	$W_{pl,y}$	4,8390e-04	m ³
Plastický ohybový moment	$M_{pl,y,Rd}$	113,72	kNm
Jedn. posudek		0,41	-

Prvek splňuje podmínky posudku průřezu.

....POSUDEK STABILITY:....

Klasifikace pro návrh dílce na vzpěr

Rozhodující poloha pro klasifikaci stability: 3,625 m

Rozhodující součinitel využití η : 0,41

Klasifikace podle EN 1993-1-1 článku 5.5.2

Klasifikace vnitřních a vnějších částí podle EN 1993-1-1 tabulky 5.2 listu 1 a 2

REKONSTRUKCE VÝPRAVNÍ BUDOVY V ŽST. TÁBOR

DOKUMENTACE PRO PROVÁDĚNÍ STAVBY

Id	Typ	c [mm]	t [mm]	σ_1 [kN/m ²]	σ_2 [kN/m ²]	Ψ [-]	k_φ [-]	α [-]	c/t [-]	Třída 1 limit [-]	Třída 2 limit [-]	Třída 3 limit [-]	Třída
1	SO	49	10	-103860,998	-103860,998								
3	SO	49	10	-103860,998	-103860,998								
4	I	220	7	-87790,128	87790,128	-1,0		0,5	33,3	72,0	83,0	124,0	1
5	SO	49	10	103860,998	103860,998	1,0	0,4	1,0	4,8	9,0	10,0	14,0	1
7	SO	49	10	103860,998	103860,998	1,0	0,4	1,0	4,8	9,0	10,0	14,0	1

Průřez je klasifikován třídou 1

Poznámka: Limity klasifikace byly nastaveny podle Semi-Comp+.

Poznámka: Rozhodující poloha pro klasifikaci stability je založena na součiniteli využití η podle Semi-Comp+.

Posudek klopení

Podle EN 1993-1-1 článku 6.3.2.1 & 6.3.2.3 a rovnice (6.54)

Parametry klopení			
Metoda pro křivku klopení		Alternativní případ	
Plastický modul průřezu	$W_{pl,y}$	4,8390e-04	m ³
Pružný kritický moment	M_{cr}	57,32	kNm
Poměrná štíhlost	$\lambda_{rel,LT}$	1,41	
Mezní štíhlost	$\lambda_{rel,LT,0}$	0,40	
Křivka klopení		b	
Imperfekce	α_{LT}	0,34	
Součinitel klopení	β	0,75	
Redukční součinitel	χ_{LT}	0,47	
Opravný součinitel	k_φ	0,94	
Opravný součinitel	f	0,99	
Modifikovaný redukční součinitel	$\chi_{LT,mod}$	0,47	
Návrhová únosnost na vzpěr	$M_{b,Rd}$	53,71	kNm
Jedn. posudek		0,86	-

Parametry $M_{b,Rd}$			
Délka klopení	l_{LT}	7,250	m
Vliv pozice zatížení		bez vlivu	
Opravný součinitel	k	1,00	
Opravný součinitel	k_ω	1,00	
Součinitel momentu na klopení	C_1	1,13	
Součinitel momentu na klopení	C_2	0,45	
Součinitel momentu na klopení	C_3	0,53	
Vzdálenost středu smyku	d_s	0	mm
Vzdálenost polohy zatížení	z_a	0	mm
Konstanta monosymetrie	β_y	0	mm
Konstanta monosymetrie	z_y	0	mm

Poznámka: Parametry C se určí podle ECCS 119 2006 / Galea 2002

Poznámka: Opravný součinitel k_φ se určí podle C1.

Prvek splňuje podmínky stabilitního posudku.

Posudek EN 1993-1-1

Národní dodatek: Česká CSN-EN NA

Dílec B2	3,625 / 7,250 m	IPE220	Válcovaný	S 235	MSÚ-Sada B (auto)	0,85 -
----------	-----------------	--------	-----------	-------	-------------------	--------

Klíč kombinace	
MSÚ-Sada B (auto) / 1.35*ZS1 + 1.35*ZS2 + 1.35*ZS3 + 1.05*ZS4.A	

Díleč souč. spolehlivosti		
Únosnost průřezů	γ_{M0}	1,00
Únosnost na stabilitu	γ_{M1}	1,00
Únosnost čistého průřezu	γ_{M2}	1,25

Materiál			
Mez kluzu	f_y	235,0	MPa
Pevnost v tahu	f_u	360,0	MPa

REKONSTRUKCE VÝPRAVNÍ BUDOVY V ŽST. TÁBOR

DOKUMENTACE PRO PROVÁDĚNÍ STAVBY

....:POSUDEK ÚNOSNOSTI:....

Kritický posudek je na pozici 3,625 m

Vnitřní síly		Vypočtené	Jednotka
Osová síla	N_{Ed}	0,00	kN
Smyková síla	$V_{y,Ed}$	0,00	kN
Smyková síla	$V_{z,Ed}$	0,00	kN
Kroucení	T_{Ed}	0,00	kNm
Ohybový moment	$M_{y,Ed}$	23,86	kNm
Ohybový moment	$M_{z,Ed}$	0,00	kNm

Klasifikace pro návrh průřezu

Klasifikace podle EN 1993-1-1 článku 5.5.2

Klasifikace vnitřních a vnějších částí podle EN 1993-1-1 tabulky 5.2 listu 1 a 2

Id	Typ	c [mm]	t [mm]	σ_1 [kN/m ²]	σ_2 [kN/m ²]	ψ [-]	k_σ [-]	α [-]	c/t [-]	Třída 1 limit [-]	Třída 2 limit [-]	Třída 3 limit [-]	Třída
1	SO	40	9	-90729,486	-90729,486								
3	SO	40	9	-90729,486	-90729,486								
4	I	178	6	-76440,022	76440,022	-1,0		0,5	30,1	72,0	83,0	124,0	1
5	SO	40	9	90729,486	90729,486	1,0	0,4	1,0	4,4	9,0	10,0	14,0	1
7	SO	40	9	90729,486	90729,486	1,0	0,4	1,0	4,4	9,0	10,0	14,0	1

Průřez je klasifikován třídou 1

Poznámka: Limity klasifikace byly nastaveny podle Semi-Comp+.

Posudek ohybového momentu pro M_y

Podle EN 1993-1-1 článku 6.2.5 a rovnice (6.12), (6.13)

Plastický modul průřezu	$W_{pl,y}$	2,8540e-04	m ³
Plastický ohybový moment	$M_{pl,y,Rd}$	67,07	kNm
Jedn. posudek		0,36	-

Prvek splňuje podmínky posudku průřezu.

....:POSUDEK STABILITY:....

Klasifikace pro návrh délky na vzpěr

Rozhodující poloha pro klasifikaci stability: 3,625 m

Rozhodující součinitel využití η : 0,36

Klasifikace podle EN 1993-1-1 článku 5.5.2

Klasifikace vnitřních a vnějších částí podle EN 1993-1-1 tabulky 5.2 listu 1 a 2

Id	Typ	c [mm]	t [mm]	σ_1 [kN/m ²]	σ_2 [kN/m ²]	ψ [-]	k_σ [-]	α [-]	c/t [-]	Třída 1 limit [-]	Třída 2 limit [-]	Třída 3 limit [-]	Třída
1	SO	40	9	-90729,486	-90729,486								
3	SO	40	9	-90729,486	-90729,486								
4	I	178	6	-76440,022	76440,022	-1,0		0,5	30,1	72,0	83,0	124,0	1
5	SO	40	9	90729,486	90729,486	1,0	0,4	1,0	4,4	9,0	10,0	14,0	1
7	SO	40	9	90729,486	90729,486	1,0	0,4	1,0	4,4	9,0	10,0	14,0	1

Průřez je klasifikován třídou 1

Poznámka: Limity klasifikace byly nastaveny podle Semi-Comp+.

Poznámka: Rozhodující poloha pro klasifikaci stability je založena na součiniteli využití η podle Semi-Comp+.

Posudek klopení

Podle EN 1993-1-1 článku 6.3.2.1 & 6.3.2.3 a rovnice (6.54)

Parametry klopení			
Metoda pro křivku klopení		Alternativní případ	
Plastický modul průřezu	$W_{pl,y}$	2,8540e-04	m ³
Pružný kritický moment	M_{cr}	28,98	kNm
Poměrná štíhlost	$\lambda_{rel,LT}$	1,52	
Mezní štíhlost	$\lambda_{rel,LT,0}$	0,40	
Křivka klopení		b	
Imperfekce	α_{LT}	0,34	
Součinitel klopení	β	0,75	
Redukční součinitel	χ_{LT}	0,42	

REKONSTRUKCE VÝPRAVNÍ BUDOVY V ŽST. TÁBOR

DOKUMENTACE PRO PROVÁDĚNÍ STAVBY

Parametry klopení			
Opravný součinitel	k_c	0,94	
Opravný součinitel	f	1,00	
Modifikovaný redukční součinitel	$\chi_{LT,mod}$	0,42	
Návrhová únosnost na vzpěr	$M_{b,Rd}$	28,05	kNm
Jedn. posudek		0,85	-

Parametry M_{cr}			
Délka klopení	l_{LT}	7,250	m
Vliv pozice zatížení		bez vlivu	
Opravný součinitel	k	1,00	
Opravný součinitel	k_w	1,00	
Součinitel momentu na klopení	C_1	1,13	
Součinitel momentu na klopení	C_2	0,45	
Součinitel momentu na klopení	C_3	0,53	
Vzdálenost středu smyku	d_s	0	mm
Vzdálenost polohy zatížení	z_s	0	mm
Konstanta monosymetrie	β_y	0	mm
Konstanta monosymetrie	z_i	0	mm

Poznámka: Parametry C se určí podle ECCS 119 2006 / Galea 2002

Poznámka: Opravný součinitel k_c se určí podle C1.

Prvek splňuje podmínky stabilitního posudku.

Posudek EN 1993-1-1

Národní dodatek: Česká CSN-EN NA

Dílec B5	1,150 / 1,150 m	UPE220	Válcovaný	S 235	MSÚ-Sada B (auto)	0,04 -
----------	-----------------	--------	-----------	-------	-------------------	--------

Klíč kombinace	
MSÚ-Sada B (auto) / 1.35*ZS1 + 1.35*ZS2 + 1.35*ZS3 + 1.05*ZS4.A	

Díleč souč. spolehlivosti		
Únosnost průřezů	γ_{M0}	1,00
Únosnost na stabilitu	γ_{M1}	1,00
Únosnost čistého průřezu	γ_{M2}	1,25

Materiál			
Mez kluzu	f_y	235,0	MPa
Pevnost v tahu	f_u	360,0	MPa

....POSUDEK ÚNOSNOSTI:....

Kritický posudek je na pozici 1,150 m

Vnitřní síly		Vypočtené	Jednotka
Osová síla	N_{Ed}	0,00	kN
Smyková síla	$V_{y,Ed}$	0,00	kN
Smyková síla	$V_{z,Ed}$	-9,60	kN
Kroucení	T_{Ed}	0,00	kNm
Ohybový moment	$M_{y,Ed}$	0,00	kNm
Ohybový moment	$M_{z,Ed}$	0,00	kNm

Posudek smyku pro V_z

Podle EN 1993-1-1 článku 6.2.6 a rovnice (6.17)

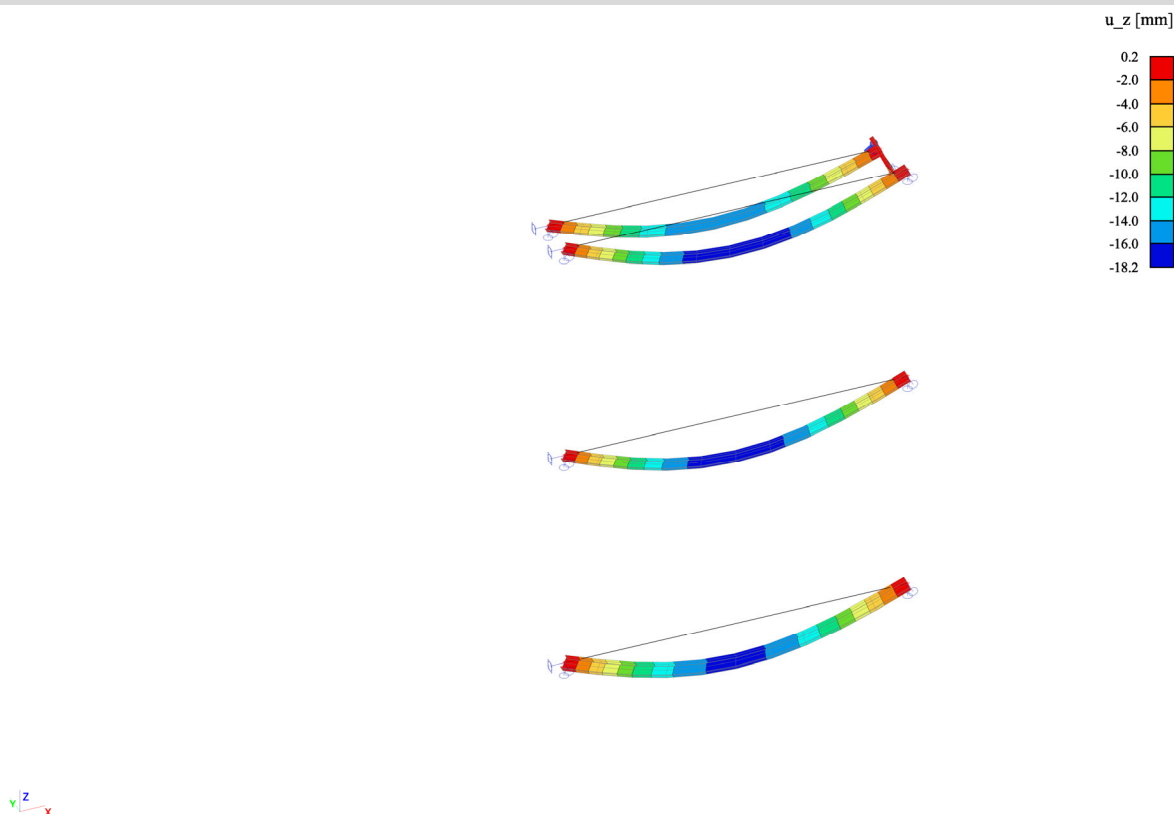
Součinitel smykové korekce	η	1,20	
Smyk. plocha	A_v	1,5840e-03	m ²
Plastická smyková únosnost pro V_z	$V_{pl,z,Rd}$	214,91	kN
Jedn. posudek		0,04	-

Prvek splňuje podmínky posudku průřezu.

REKONSTRUKCE VÝPRAVNÍ BUDOVY V ŽST. TÁBOR

DOKUMENTACE PRO PROVÁDĚNÍ STAVBY

F.4.1.7 Posouzení MSP – Svislá deformace nosníku [mm]



$$u_z = 18,2 \text{ mm} \leq u_{max} = \frac{L}{250} = 29,0 \text{ mm}$$

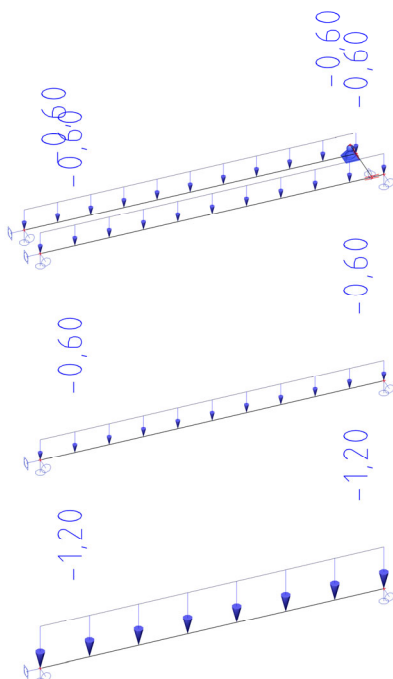
REKONSTRUKCE VÝPRAVNÍ BUDOVY V ŽST. TÁBOR

DOKUMENTACE PRO PROVÁDĚNÍ STAVBY

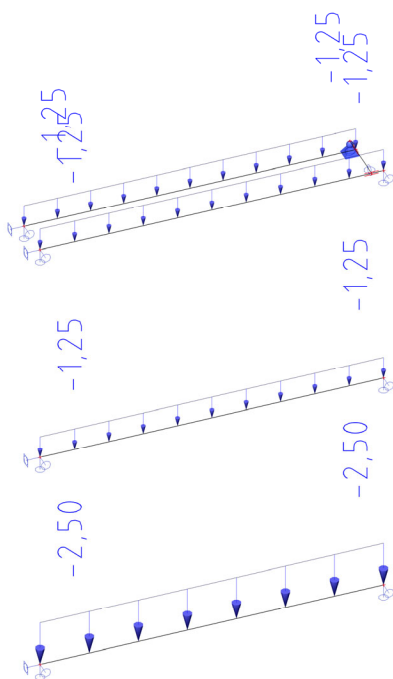
F.4.2 Strop nad 2.NP – Posudek nových stropnic IPE – $L=5,60\text{m}$ á $1,0\text{m}$

Posudek proveden pro komínovou výměnu, krajní profil a běžný profil (v pořadí od shora dolů)

F.4.2.1 Zatížení stálé – Zatížení od skladby podlahy [kN/m²]



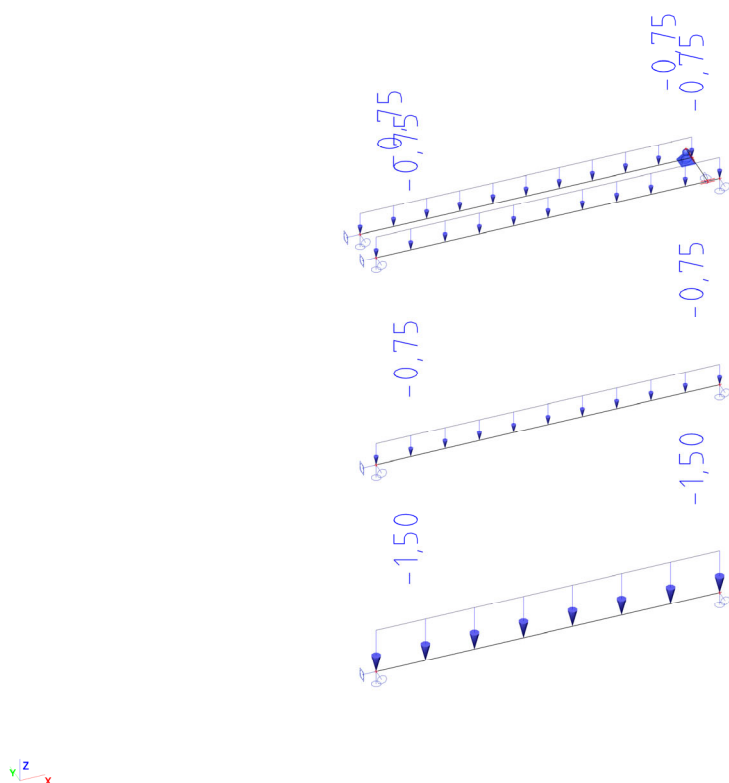
F.4.2.2 Zatížení stálé – Zatížení od hmotnosti příček [kN/m²]



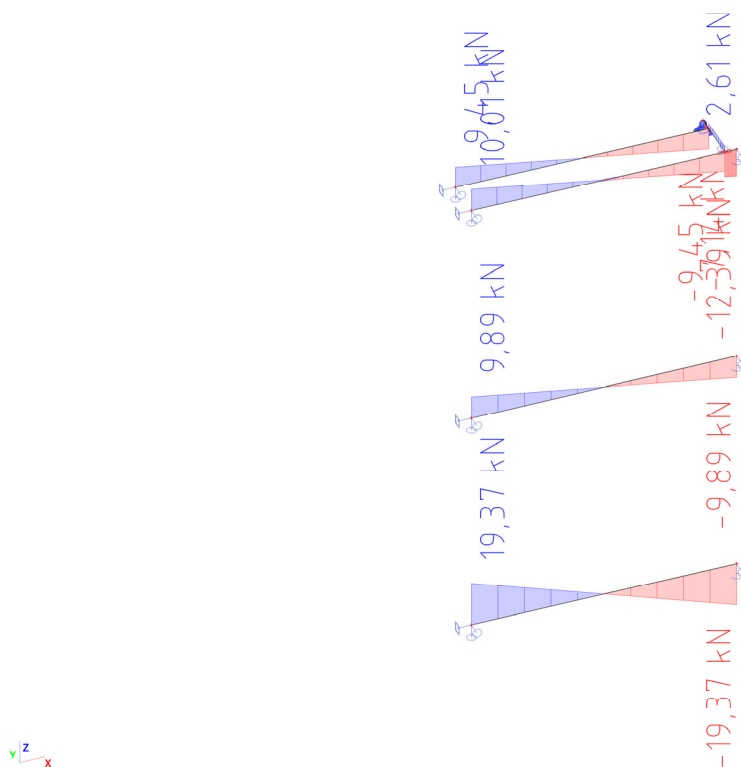
REKONSTRUKCE VÝPRAVNÍ BUDOVY V ŽST. TÁBOR

DOKUMENTACE PRO PROVÁDĚNÍ STAVBY

F.4.2.3 Zatížení proměnné – Užitné zatížení [kN/m²]



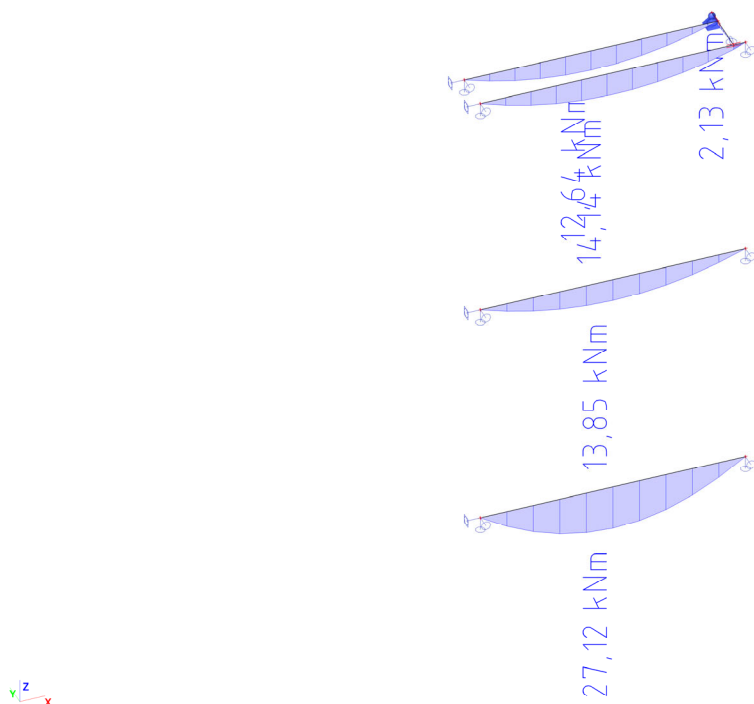
F.4.2.4 Vnitřní síly – Průběh posouvající síly V [kN]



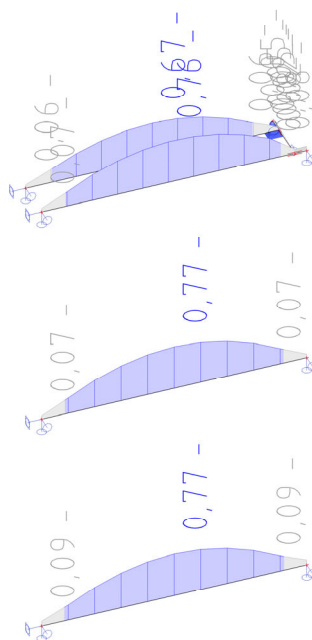
REKONSTRUKCE VÝPRAVNÍ BUDOVY V ŽST. TÁBOR

DOKUMENTACE PRO PROVÁDĚNÍ STAVBY

F.4.2.5 Vnitřní síly – Průběh ohybového momentu M_y [kNm]



F.4.2.6 Posouzení MSÚ – Využití průřezu od vnitřních sil [*100= %]



REKONSTRUKCE VÝPRAVNÍ BUDOVY V ŽST. TÁBOR

DOKUMENTACE PRO PROVÁDĚNÍ STAVBY

Posudek ocelových prvků na MSÚ EC-EN 1993

Hodnoty: $U_{C_{celkový}}$

Lineární výpočet

Kombinace: MSÚ-Sada B (auto)

Souřadný systém: Hlavní

Extrém 1D: Průřez

Výběr: Vše

Posudek EN 1993-1-1

Národní dodatek: Česká CSN-EN NA

Dílec B6	2,800 / 5,600 m	IPE220	Válcovaný	S 235	MSÚ-Sada B (auto)	B	0,77 -
----------	-----------------	--------	-----------	-------	-------------------	---	--------

Klíč kombinace

MSÚ-Sada B (auto) / 1.35*ZS1 + 1.35*ZS2 + 1.35*ZS3 + 1.05*ZS4.A

Dílčí souč. spolehlivosti

Únosnost průřezů	γ_{M0}	1,00
Únosnost na stabilitu	γ_{M1}	1,00
Únosnost čistého průřezu	γ_{M2}	1,25

Materiál

Mez kluzu	f_y	235,0	MPa
Pevnost v tahu	f_u	360,0	MPa

....POSUDEK ÚNOSNOSTI:....

Kritický posudek je na pozici 2,800 m

Vnitřní síly		Vypočtené	Jednotka
Osová síla	N_{Ed}	0,00	kN
Smyková síla	$V_{y,Ed}$	0,00	kN
Smyková síla	$V_{z,Ed}$	0,00	kN
Kroucení	T_{Ed}	0,00	kNm
Ohybový moment	$M_{y,Ed}$	27,12	kNm
Ohybový moment	$M_{z,Ed}$	0,00	kNm

Klasifikace pro návrh průřezu

Klasifikace podle EN 1993-1-1 článku 5.5.2

Klasifikace vnitřních a vnějších částí podle EN 1993-1-1 tabulky 5.2 listu 1 a 2

Id	Typ	c [mm]	t [mm]	σ_1 [kN/m ²]	σ_2 [kN/m ²]	ψ [-]	k_ψ [-]	α [-]	c/t [-]	Třída 1 limit [-]	Třída 2 limit [-]	Třída 3 limit [-]	Třída
1	SO	40	9	-103087,798	-103087,798								
3	SO	40	9	-103087,798	-103087,798								
4	I	178	6	-86851,959	86851,959	-1,0		0,5	30,1	72,0	83,0	124,0	1
5	SO	40	9	103087,798	103087,798	1,0	0,4	1,0	4,4	9,0	10,0	14,0	1
7	SO	40	9	103087,798	103087,798	1,0	0,4	1,0	4,4	9,0	10,0	14,0	1

Průřez je klasifikován třídou 1

Poznámka: Limity klasifikace byly nastaveny podle Semi-Comp+.

Posudek ohybového momentu pro M_y

Podle EN 1993-1-1 článku 6.2.5 a rovnice (6.12), (6.13)

Plastický modul průřezu	$W_{pl,y}$	2,8540e-04	m ³
Plastický ohybový moment	$M_{pl,y,Rd}$	67,07	kNm
Jedn. posudek		0,40	-

Prvek splňuje podmínky posudku průřezu.

....POSUDEK STABILITY:....

Klasifikace pro návrh dílce na vzpěr

Rozhodující poloha pro klasifikaci stability: 2,800 m

Rozhodující součinitel využití η : 0,40

Klasifikace podle EN 1993-1-1 článku 5.5.2

Klasifikace vnitřních a vnějších částí podle EN 1993-1-1 tabulky 5.2 listu 1 a 2

REKONSTRUKCE VÝPRAVNÍ BUDOVY V ŽST. TÁBOR

DOKUMENTACE PRO PROVÁDĚNÍ STAVBY

Id	Typ	c [mm]	t [mm]	σ_1 [kN/m ²]	σ_2 [kN/m ²]	Ψ [-]	k_φ [-]	α [-]	c/t [-]	Třída 1 limit [-]	Třída 2 limit [-]	Třída 3 limit [-]	Třída
1	SO	40	9	-103087,798	-103087,798								
3	SO	40	9	-103087,798	-103087,798								
4	I	178	6	-86851,959	86851,959	-1,0		0,5	30,1	72,0	83,0	124,0	1
5	SO	40	9	103087,798	103087,798	1,0	0,4	1,0	4,4	9,0	10,0	14,0	1
7	SO	40	9	103087,798	103087,798	1,0	0,4	1,0	4,4	9,0	10,0	14,0	1

Průřez je klasifikován třídou 1

Poznámka: Limity klasifikace byly nastaveny podle Semi-Comp+.

Poznámka: Rozhodující poloha pro klasifikaci stability je založena na součiniteli využití η podle Semi-Comp+.

Posudek klopení

Podle EN 1993-1-1 článku 6.3.2.1 & 6.3.2.3 a rovnice (6.54)

Parametry klopení			
Metoda pro křivku klopení		Alternativní případ	
Plastický modul průřezu	$W_{pl,y}$	2,8540e-04	m ³
Pružný kritický moment	M_{cr}	38,88	kNm
Poměrná štíhlost	$\lambda_{rel,LT}$	1,31	
Mezní štíhlost	$\lambda_{rel,LT,0}$	0,40	
Křivka klopení		b	
Imperfekce	α_{LT}	0,34	
Součinitel klopení	β	0,75	
Redukční součinitel	χ_{LT}	0,52	
Opravný součinitel	k_φ	0,94	
Opravný součinitel	f	0,99	
Modifikovaný redukční součinitel	$\chi_{LT,mod}$	0,52	
Návrhová únosnost na vzpěr	$M_{0,Rd}$	35,12	kNm
Jedn. posudek		0,77	-

Parametry $M_{0,Rd}$			
Délka klopení	l_{LT}	5,600	m
Vliv pozice zatížení		bez vlivu	
Opravný součinitel	k	1,00	
Opravný součinitel	k_ω	1,00	
Součinitel momentu na klopení	C_1	1,13	
Součinitel momentu na klopení	C_2	0,45	
Součinitel momentu na klopení	C_3	0,53	
Vzdálenost středu smyku	d_s	0	mm
Vzdálenost polohy zatížení	z_a	0	mm
Konstanta monosymetrie	β_y	0	mm
Konstanta monosymetrie	z_y	0	mm

Poznámka: Parametry C se určí podle ECCS 119 2006 / Galea 2002

Poznámka: Opravný součinitel k_φ se určí podle C1.

Prvek splňuje podmínky stabilitního posudku.

Posudek EN 1993-1-1

Národní dodatek: Česká CSN-EN NA

Dílec B7	2,800 / 5,600 m	IPE180	Válcovaný	S 235	MSÚ-Sada B (auto)	0,77 -
----------	-----------------	--------	-----------	-------	-------------------	--------

Klíč kombinace	
MSÚ-Sada B (auto) / 1.35*ZS1 + 1.35*ZS2 + 1.35*ZS3 + 1.05*ZS4.A	

Díleč souč. spolehlivosti		
Únosnost průřezů	γ_{M0}	1,00
Únosnost na stabilitu	γ_{M1}	1,00
Únosnost čistého průřezu	γ_{M2}	1,25

Materiál			
Mez kluzu	f_y	235,0	MPa
Pevnost v tahu	f_u	360,0	MPa

REKONSTRUKCE VÝPRAVNÍ BUDOVY V ŽST. TÁBOR

DOKUMENTACE PRO PROVÁDĚNÍ STAVBY

....POSUDEK ÚNOSNOSTI:....

Kritický posudek je na pozici 2,800 m

Vnitřní síly		Vypočtené	Jednotka
Osová síla	N_{Ed}	0,00	kN
Smyková síla	$V_{y,Ed}$	0,00	kN
Smyková síla	$V_{z,Ed}$	0,00	kN
Kroucení	T_{Ed}	0,00	kNm
Ohybový moment	$M_{y,Ed}$	13,85	kNm
Ohybový moment	$M_{z,Ed}$	0,00	kNm

Klasifikace pro návrh průřezu

Klasifikace podle EN 1993-1-1 článku 5.5.2

Klasifikace vnitřních a vnějších částí podle EN 1993-1-1 tabulky 5.2 listu 1 a 2

Id	Typ	c [mm]	t [mm]	σ_1 [kN/m²]	σ_2 [kN/m²]	ψ [-]	k_σ [-]	α [-]	c/t [-]	Třída 1 limit [-]	Třída 2 limit [-]	Třída 3 limit [-]	Třída
1	S0	34	8	-90437,252	-90437,252								
3	S0	34	8	-90437,252	-90437,252								
4	I	146	5	-76766,504	76766,504	-1,0		0,5	27,5	72,0	83,0	124,0	1
5	S0	34	8	90437,252	90437,252	1,0	0,4	1,0	4,2	9,0	10,0	14,0	1
7	S0	34	8	90437,252	90437,252	1,0	0,4	1,0	4,2	9,0	10,0	14,0	1

Průřez je klasifikován třídou 1

Poznámka: Limity klasifikace byly nastaveny podle Semi-Comp+.

Posudek ohybového momentu pro M_y

Podle EN 1993-1-1 článku 6.2.5 a rovnice (6.12), (6.13)

Plastický modul průřezu	$W_{pl,y}$	1,6640e-04	m³
Plastický ohybový moment	$M_{pl,y,Rd}$	39,10	kNm
Jedn. posudek		0,35	-

Prvek splňuje podmínky posudku průřezu.

....POSUDEK STABILITY:....

Klasifikace pro návrh délky na vzpěr

Rozhodující poloha pro klasifikaci stability: 2,800 m

Rozhodující součinitel využití η : 0,35

Klasifikace podle EN 1993-1-1 článku 5.5.2

Klasifikace vnitřních a vnějších částí podle EN 1993-1-1 tabulky 5.2 listu 1 a 2

Id	Typ	c [mm]	t [mm]	σ_1 [kN/m²]	σ_2 [kN/m²]	ψ [-]	k_σ [-]	α [-]	c/t [-]	Třída 1 limit [-]	Třída 2 limit [-]	Třída 3 limit [-]	Třída
1	S0	34	8	-90437,252	-90437,252								
3	S0	34	8	-90437,252	-90437,252								
4	I	146	5	-76766,504	76766,504	-1,0		0,5	27,5	72,0	83,0	124,0	1
5	S0	34	8	90437,252	90437,252	1,0	0,4	1,0	4,2	9,0	10,0	14,0	1
7	S0	34	8	90437,252	90437,252	1,0	0,4	1,0	4,2	9,0	10,0	14,0	1

Průřez je klasifikován třídou 1

Poznámka: Limity klasifikace byly nastaveny podle Semi-Comp+.

Poznámka: Rozhodující poloha pro klasifikaci stability je založena na součiniteli využití η podle Semi-Comp+.

Posudek klopení

Podle EN 1993-1-1 článku 6.3.2.1 & 6.3.2.3 a rovnice (6.54)

Parametry klopení			
Metoda pro křivku klopení		Alternativní případ	
Plastický modul průřezu	$W_{pl,y}$	1,6640e-04	m³
Pružný kritický moment	M_{cr}	19,09	kNm
Poměrná štíhlost	$\lambda_{rel,LT}$	1,43	
Mezní štíhlost	$\lambda_{rel,LT,0}$	0,40	
Křivka klopení		b	
Imperfekce	α_{LT}	0,34	
Součinitel klopení	β	0,75	
Redukční součinitel	χ_{LT}	0,46	

REKONSTRUKCE VÝPRAVNÍ BUDOVY V ŽST. TÁBOR

DOKUMENTACE PRO PROVÁDĚNÍ STAVBY

Parametry klopení			
Opravný součinitel	k_c	0,94	
Opravný součinitel	f	0,99	
Modifikovaný redukční součinitel	$\chi_{LT,mod}$	0,46	
Návrhová únosnost na vzpěr	$M_{b,Rd}$	18,02	kNm
Jedn. posudek		0,77	-

Parametry M_{cr}			
Délka klopení	l_{LT}	5,600	m
Vliv pozice zatížení		bez vlivu	
Opravný součinitel	k	1,00	
Opravný součinitel	k_w	1,00	
Součinitel momentu na klopení	C_1	1,13	
Součinitel momentu na klopení	C_2	0,45	
Součinitel momentu na klopení	C_3	0,53	
Vzdálenost středu smyku	d_s	0	mm
Vzdálenost polohy zatížení	z_s	0	mm
Konstanta monosymetrie	β_y	0	mm
Konstanta monosymetrie	z_y	0	mm

Poznámka: Parametry C se určí podle ECCS 119 2006 / Galea 2002

Poznámka: Opravný součinitel k_c se určí podle C1.

Prvek splňuje podmínky stabilitního posudku.

Posudek EN 1993-1-1

Národní dodatek: Česká CSN-EN NA

Dílec B10	0,850 / 1,150 m	UPE180	Válcovaný	S 235	MSÚ-Sada B (auto)	0,05 -
-----------	-----------------	--------	-----------	-------	-------------------	--------

Klíč kombinace	
MSÚ-Sada B (auto) / 1.35*ZS1 + 1.35*ZS2 + 1.35*ZS3 + 1.05*ZS4.A	

Díleč souč. spolehlivosti		
Únosnost průřezů	γ_{M0}	1,00
Únosnost na stabilitu	γ_{M1}	1,00
Únosnost čistého průřezu	γ_{M2}	1,25

Materiál			
Mez kluzu	f_y	235,0	MPa
Pevnost v tahu	f_u	360,0	MPa

....:POSUDEK ÚNOSNOSTI:....

Kritický posudek je na pozici 0,850 m

Vnitřní síly		Vypočtené	Jednotka
Osová síla	N_{Ed}	0,00	kN
Smyková síla	$V_{y,Ed}$	0,00	kN
Smyková síla	$V_{z,Ed}$	-7,06	kN
Kroucení	T_{Ed}	0,00	kNm
Ohybový moment	$M_{y,Ed}$	2,13	kNm
Ohybový moment	$M_{z,Ed}$	0,00	kNm

Klasifikace pro návrh průřezu

Klasifikace podle EN 1993-1-1 článku 5.5.2

Klasifikace vnitřních a vnějších částí podle EN 1993-1-1 tabulky 5.2 listu 1 a 2

Id	Typ	c [mm]	t [mm]	σ_1 [kN/m²]	σ_2 [kN/m²]	ψ [-]	k_σ [-]	α [-]	c/t [-]	Třída 1 limit [-]	Třída 2 limit [-]	Třída 3 limit [-]	Třída
1	U0	57	11	-13333,449	-13333,449								
3	I	135	6	-10619,561	10619,561	-1,0		0,5	24,5	72,0	83,0	124,0	1
5	U0	57	11	13333,449	13333,449	1,0	0,4	1,0	5,5	9,0	10,0	14,0	1

Průřez je klasifikován třídou 1

Poznámka: Limity klasifikace byly nastaveny podle Semi-Comp+.

Posudek ohybového momentu pro M_y

Podle EN 1993-1-1 článku 6.2.5 a rovnice (6.12), (6.13)

REKONSTRUKCE VÝPRAVNÍ BUDOVY V ŽST. TÁBOR

DOKUMENTACE PRO PROVÁDĚNÍ STAVBY

Plastický modul průřezu	W_{ply}	1,7300e-04	m ³
Plastický ohybový moment	$M_{ply,Rd}$	40,66	kNm
Jedn. posudek		0,05	-

Posudek smyku pro V_z

Podle EN 1993-1-1 článku 6.2.6 a rovnice (6.17)

Součinitel smykové korekce	η	1,20	
Smyk. plocha	A_v	1,1188e-03	m ²
Plastická smyková únosnost pro V_z	$V_{pl,z,Rd}$	151,79	kN
Jedn. posudek		0,05	-

Prvek splňuje podmínky posudku průřezu.

....:POSUDEK STABILITY:....

Klasifikace pro návrh dílce na vzpěr

Rozhodující poloha pro klasifikaci stability: 0,850 m

Rozhodující součinitel využití η : 0,05

Klasifikace podle EN 1993-1-1 článku 5.5.2

Klasifikace vnitřních a vnějších částí podle EN 1993-1-1 tabulky 5.2 listu 1 a 2

Id	Typ	c [mm]	t [mm]	σ_1 [kN/m ²]	σ_2 [kN/m ²]	ψ [-]	k_σ [-]	α [-]	c/t [-]	Třída 1 limit [-]	Třída 2 limit [-]	Třída 3 limit [-]	Třída
1	UO	57	11	-13333,449	-13333,449								
3	I	135	6	-10619,561	10619,561	-1,0		0,5	24,5	72,0	83,0	124,0	1
5	UO	57	11	13333,449	13333,449	1,0	0,4	1,0	5,5	9,0	10,0	14,0	1

Průřez je klasifikován třídou 1

Poznámka: Limity klasifikace byly nastaveny podle Semi-Comp+.

Poznámka: Rozhodující poloha pro klasifikaci stability je založena na součiniteli využití η podle Semi-Comp+.

Posudek klopení

Podle EN 1993-1-1 článku 6.3.2.1 & 6.3.2.2 a rovnice (6.54)

Parametry klopení			
Metoda pro křivku klopení		Obecný stav	
Plastický modul průřezu	W_{ply}	1,7300e-04	m ³
Pružný kritický moment	M_{cr}	4208,67	kNm
Poměrná štíhlost	$\lambda_{rel,LT}$	0,10	
Mezní štíhlost	$\lambda_{rel,LT,0}$	0,20	

Poznámka: Štíhlost nebo ohybový moment umožňují ignorovat

účinky klopení podle EN 1993-1-1 článek 6.3.2.2(4)

Poznámka: L/h jsou vnější limity, upravené návrhové pravidlo pro klopení U profilů nelze použít.

Parametry M_σ			
Délka klopení	l_{LT}	0,300	m
Vliv pozice zatížení		bez vlivu	
Opravný součinitel	k	1,00	
Opravný součinitel	k_ω	1,00	
Součinitel momentu na klopení	C_1	1,77	
Součinitel momentu na klopení	C_2	0,00	
Součinitel momentu na klopení	C_3	1,00	
Vzdálenost středu smyku	d_z	0	mm
Vzdálenost polohy zatížení	z_g	0	mm
Konstanta monosymetrie	β_y	0	mm
Konstanta monosymetrie	z_j	0	mm

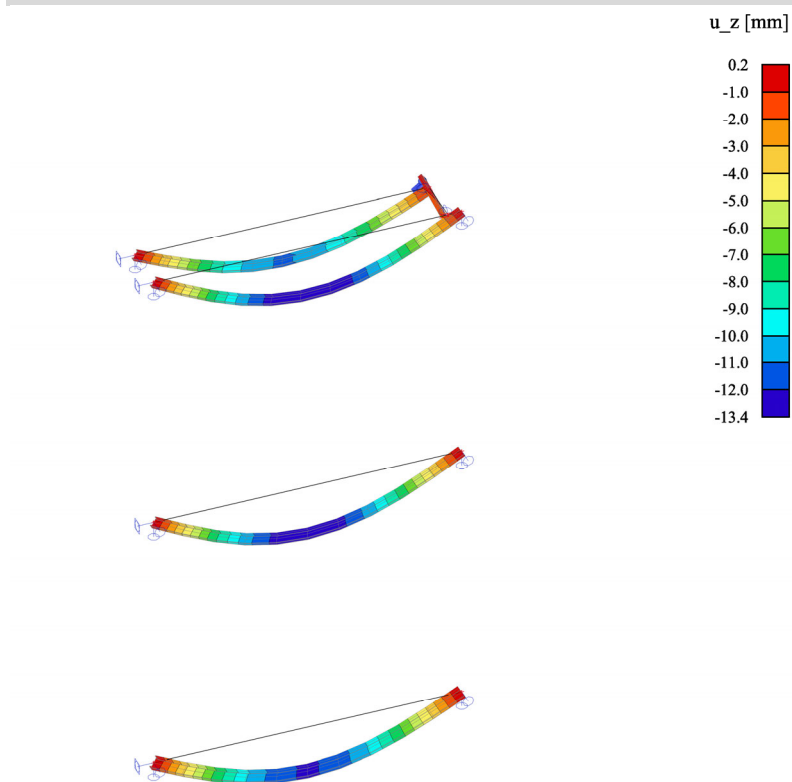
Poznámka: Parametry C se určí podle ECCS 119 2006 / Galea 2002

Prvek splňuje podmínky stabilitního posudku.

REKONSTRUKCE VÝPRAVNÍ BUDOVY V ŽST. TÁBOR

DOKUMENTACE PRO PROVÁDĚNÍ STAVBY

F.4.2.7 Posouzení MSP – Svislá deformace nosníku [mm]



$$u_z = 13,4 \text{ mm} \leq u_{max} = \frac{L}{250} = 22,4 \text{ mm}$$

REKONSTRUKCE VÝPRAVNÍ BUDOVY V ŽST. TÁBOR

DOKUMENTACE PRO PROVÁDĚNÍ STAVBY

F.4.3 Posudek průvleků ve 2.NP

F.4.3.1 Průvlaky ve 2.NP – Průvlak 4xIPE140 mezi B.2.08–B.2.04/05

$$4 \times IPE\ 140 - W_y = 309,3 \times 10^{-6} m^3 - I_y = 2164,8 \times 10^{-8} m^4$$

$$Rozpětí\ L = 3,20\ m; \text{Zatěžovací šířka} = 2,83\ m$$

Stálé zatížení:

$$Skladba\ podlahy = 1,68\ kN/m^2 = 4,75\ kN/m$$

$$Příčky = 2,50\ kN/m^2 = 7,08\ kN/m$$

$$Vl.\ hmot.\ profilů = 0,52\ kN/m$$

Proměnné zatížení:

$$Užitné = 1,50\ kN/m^2 = 4,25\ kN/m$$

$$f_{(g+q),k} = \Sigma f_g + f_q = 16,60\ kN/m$$

$$f_{(g+q),d} = \Sigma \gamma_g \times f_g + \psi_0 \times \gamma_q \times f_q = 21,14\ kN/m$$

1) Posouzení MSÚ – ohyb

$$M_{Ed} = \frac{1}{8} \times f \times L^2 = \frac{1}{8} \times 21,14 \times 3,20^2 = 27,1\ kNm$$

$$M_{Rd} = W_y \times f_{y,D} = 309,3 \times 10^{-6} \times 235000 = 72,70\ kNm$$

$$M_{Ed} = 27,1\ kNm \leq M_{Rd} = 72,70\ kNm$$

Posudek na MSÚ vyhovuje.

2) Posudek MSP – průhyb

$$u_z = \frac{5}{384} \times \frac{f \times L^4}{EI} = \frac{5}{384} \times \frac{16,6 \times 2,83^4}{210 \times 10^3 \times 2164,8 \times 10^{-8}} = 5,00\ mm$$

$$u_z = 5,00\ mm \leq u_{max} = \frac{L}{500} = \frac{3200}{500} = 6,4\ mm$$

Posudek na MSP vyhovuje.

REKONSTRUKCE VÝPRAVNÍ BUDOVY V ŽST. TÁBOR

DOKUMENTACE PRO PROVÁDĚNÍ STAVBY

F.4.3.2 Průvlaky ve 2.NP – Průvlak 4x1240 mezi B.2.08–B.2.07/06

Zatížení od stropu nad 2.NP

Rozpětí $L = 4,90 \text{ m}$; Zatěžovací šířka $= 4,84 \text{ m}$

Stálé zatížení:

Skladba podlahy $= 1,68 \text{ kN/m}^2 = 8,13 \text{ kN/m}$

Příčky $= 2,50 \text{ kN/m}^2 = 12,10 \text{ kN/m}$

Hmot. profilů $= 1,00 \text{ kN/m}$

Proměnné zatížení:

Užitné $= 3,00 \text{ kN/m}^2 = 14,52 \text{ kN/m}$

Zatížení od střešní roviny – bodová síla od sloupu

$$A = b \times l \times \frac{1}{\cos 30} = 2,98 \times 4,66 \times \frac{1}{\cos 30} = 16,03 \text{ m}^2$$

Skladba střechy $= 1,30 \text{ kN/m}^2 = 20,8 \text{ kN}$

Proměnné zatížení:

Užitné $= 0,75 \text{ kN/m}^2 = 12,2 \text{ kN}$

Posudek ocelových prvků na MSÚ EC-EN 1993

Hodnoty: $U_{C_{celkový}}$

Lineární výpočet

Kombinace: MSÚ-Sada B (auto)

Souřadný systém: Hlavní

Extrém 1D: Průřez

Výběr: B26

Posudek EN 1993-1-1

Národní dodatek: Česká CSN-EN NA

Dílec B26	2,750 / 4,900 m	Obecný průřez	Obecné	S 235	MSÚ-Sada B (auto)	0,50 -
-----------	-----------------	---------------	--------	-------	-------------------	--------

Klíč kombinace

MSÚ-Sada B (auto) / 1.15*ZS1 + 1.15*ZS2 + 1.15*ZS3 + 1.50*ZS4.A

Díličí souč. spolehlivosti

Únosnost průřezů	γ_{M0}	1,00
Únosnost na stabilitu	γ_{M1}	1,00
Únosnost čistého průřezu	γ_{M2}	1,25

Materiál

Mez kluzu	f_y	235,0	MPa
Pevnost v tahu	f_u	360,0	MPa

....:POSUDEK ÚNOSNOSTI:....

Kritický posudek je na pozici 2,750 m

Definice osy:

- hlavní osa y v tomto posudku se vztahuje k hlavní ose z programu SCIA Engineer.
- hlavní osa z v tomto posudku se vztahuje k hlavní ose y programu SCIA Engineer.

Vnitřní síly		Vypočtené	Jednotka
Osová síla	N_{Ed}	0,00	kN
Smyková síla	$V_{y,Ed}$	6,35	kN
Smyková síla	$V_{z,Ed}$	0,00	kN
Kroucení	T_{Ed}	0,00	kNm
Ohybový moment	$M_{y,Ed}$	0,00	kNm

REKONSTRUKCE VÝPRAVNÍ BUDOVY V ŽST. TÁBOR

DOKUMENTACE PRO PROVÁDĚNÍ STAVBY

Vnitřní síly		Vypočtené	Jednotka
Ohybový moment	$M_{z,Ed}$	193,76	kNm

Klasifikace pro návrh průřezu

Klasifikace podle EN 1993-1-1 článku 5.5.2

Klasifikace vnitřních a vnějších částí podle EN 1993-1-1 tabulky 5.2 listu 1 a 2

Id	Typ	c [mm]	t [mm]	σ_1 [kN/m²]	σ_2 [kN/m²]	ψ [-]	k_σ [-]	α [-]	c/t [-]	Třída 1 limit [-]	Třída 2 limit [-]	Třída 3 limit [-]	Třída
1	I	53	13	-124 184,086	-124 184,086								
2	I	53	13	124 184,086	124 184,086	1,0		1,0	4,0	28,0	34,0	38,0	1
3	UO	53	13	124 184,086	124 184,086	1,0	0,4	1,0	4,0	9,0	10,0	14,0	1
4	UO	53	13	-124 184,086	-124 184,086								
5	I	7	9	-124 184,086	-117 014,357								
6	I	214	9	-117 014,357	117 014,357	-1,0		0,5	24,6	72,0	83,0	124,0	1
7	I	7	9	117 014,357	124 184,086	0,9		1,0	0,8	28,0	34,0	38,8	1
8	I	53	13	-124 184,086	-124 184,086								
9	I	53	13	124 184,086	124 184,086	1,0		1,0	4,0	28,0	34,0	38,0	1
10	I	53	13	124 184,086	124 184,086	1,0		1,0	4,0	28,0	34,0	38,0	1
11	I	53	13	-124 184,086	-124 184,086								
12	I	7	9	-124 184,086	-117 014,357								
13	I	214	9	-117 014,357	117 014,357	-1,0		0,5	24,6	72,0	83,0	124,0	1
14	I	7	9	117 014,357	124 184,086	0,9		1,0	0,8	28,0	34,0	38,8	1
15	I	53	13	-124 184,086	-124 184,086								
16	I	53	13	124 184,086	124 184,086	1,0		1,0	4,0	28,0	34,0	38,0	1
17	I	53	13	124 184,086	124 184,086	1,0		1,0	4,0	28,0	34,0	38,0	1
18	I	53	13	-124 184,086	-124 184,086								
19	I	7	9	-124 184,086	-117 014,357								
20	I	214	9	-117 014,357	117 014,357	-1,0		0,5	24,6	72,0	83,0	124,0	1
21	I	7	9	117 014,357	124 184,086	0,9		1,0	0,8	28,0	34,0	38,8	1
22	UO	53	13	-124 184,086	-124 184,086								
23	UO	53	13	124 184,086	124 184,086	1,0	0,4	1,0	4,0	9,0	10,0	14,0	1
24	I	53	13	124 184,086	124 184,086	1,0		1,0	4,0	28,0	34,0	38,0	1
25	I	53	13	-124 184,086	-124 184,086								
26	I	7	9	-124 184,086	-117 014,357								
27	I	214	9	-117 014,357	117 014,357	-1,0		0,5	24,6	72,0	83,0	124,0	1
28	I	7	9	117 014,357	124 184,086	0,9		1,0	0,8	28,0	34,0	38,8	1

Průřez je klasifikován třídou 1

Poznámka: Limity klasifikace byly nastaveny podle Semi-Comp+.

Posudek ohybového momentu pro M_z

Podle EN 1993-1-1 článku 6.2.5 a rovnice (6.12), (6.13)

$$M_{pl,z,Rd} = \frac{W_{pl,z} \times f_y}{\gamma_{M0}} = \frac{1,6430 \cdot 10^{-3} [m^3] \times 235,0 [MPa]}{1,00} = 386,11 [kNm] \quad (EC3-1-1: 6.13)$$

$$\text{Jedn. posudek} = \frac{|M_{z,Ed}|}{M_{pl,z,Rd}} = \frac{193,76 [kNm]}{386,11 [kNm]} = 0,50 \leq 1,00 \quad (EC3-1-1: 6.12)$$

Posudek smyku pro V_y

Podle EN 1993-1-1 článku 6.2.6 a rovnice (6.17)

$$V_{pl,y,Rd} = \frac{A_v \times \frac{f_y}{\sqrt{3}}}{\gamma_{M0}} = \frac{8,4040 \cdot 10^{-3} [m^2] \times \frac{235,0 [MPa]}{\sqrt{3}}}{1,00} = 1140,23 [kN] \quad (EC3-1-1: 6.18)$$

$$\text{Jedn. posudek} = \frac{|V_{y,Ed}|}{V_{pl,y,Rd}} = \frac{6,35 [kN]}{1140,23 [kN]} = 0,01 \leq 1,00 \quad (EC3-1-1: 6.17)$$

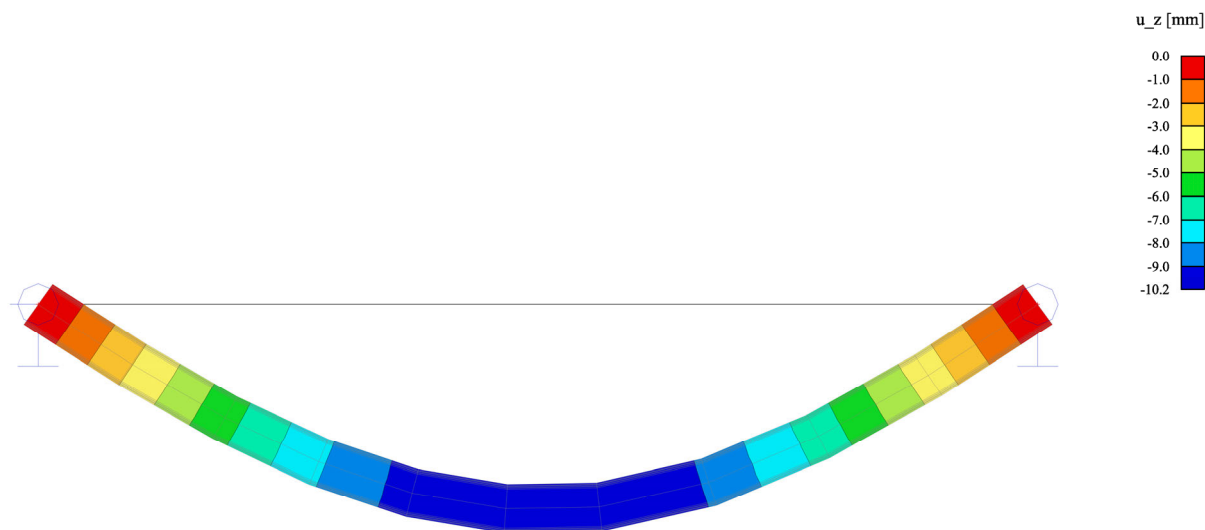
Poznámka: Z průřezových charakteristik není získána žádná smyková plocha.

Prvek splňuje podmínky posudku průřezu.

REKONSTRUKCE VÝPRAVNÍ BUDOVY V ŽST. TÁBOR

DOKUMENTACE PRO PROVÁDĚNÍ STAVBY

Posouzení MSP – Svislá deformace nosníku [mm]



$$u_z = 10,2 \text{ mm} \cong u_{max} = \frac{4900}{500} = 9,8 \text{ mm}$$

REKONSTRUKCE VÝPRAVNÍ BUDOVY V ŽST. TÁBOR

DOKUMENTACE PRO PROVÁDĚNÍ STAVBY

F.4.3.3 Průvlaky v 1.NP – Průvlak 4x1240 mezi B.1.06–C.1.03

Rozpětí $L = 4,90 \text{ m}$; Zatěžovací šířka $= 4,84 \text{ m}$

Zatížení od stropů 1.NP a 2.NP (převzato z reakcí průvlaku mezi B.2.08-B.2.04/05)

$F_k = 60,0 \text{ kN}$; $F_k = 80,0 \text{ kN}$

Zatížení od střešní roviny – bodová síla od sloupu

$$A = b \times l \times \frac{1}{\cos 30} = (1,88 + 1,15) \times 4,66 \times \frac{1}{\cos 30} = 16,30 \text{ m}^2$$

Skladba střechy $= 1,30 \text{ kN/m}^2 = 21,2 \text{ kN}$

Proměnné zatížení:

Užitné $= 0,75 \text{ kN/m}^2 = 12,23 \text{ kN}$

Zdivo – $\rho = 18 \text{ kN/m}^3$

Tl. 450mm $\rightarrow h = 5,82 \text{ m}$

Tl. 300mm $\rightarrow h = 3,08 \text{ m}$

$$f_{(g+q),k} = t_l \times h \times \rho = 18 \times (0,45 \times 5,82 + 0,3 \times 3,08) = 63,77 \text{ kN/m}$$

Posudek ocelových prvků na MSÚ EC-EN 1993

Hodnoty: **UC_{Celkový}**

Lineární výpočet

Kombinace: POMOCNE_MSU

Souřadný systém: Hlavní

Extrém 1D: Průřez

Výběr: B27

Posudek EN 1993-1-1

Národní dodatek: Česká CSN-EN NA

Dílec B27	1,300 / 3,700 m	Obecný průřez	Obecné	S 235	POMOCNE_MSU	0,61 –
-----------	-----------------	---------------	--------	-------	-------------	--------

Klíč kombinace

POMOCNE_MSU / 1.15*ZS1 + POMOCNE2

Díleč souč. spolehlivosti

Únosnost průřezů	γ_{M0}	1,00
Únosnost na stabilitu	γ_{M1}	1,00
Únosnost čistého průřezu	γ_{M2}	1,25

Materiál

Mez kluzu	f_y	235,0	MPa
Pevnost v tahu	f_u	360,0	MPa

....:POSUDEK ÚNOSNOSTI:....

Kritický posudek je na pozici 1,300 m

Definice osy:

– hlavní osa y v tomto posudku se vztahuje k hlavní ose z programu SCIA Engineer.

– hlavní osa z v tomto posudku se vztahuje k hlavní ose y programu SCIA Engineer.

Vnitřní síly		Vypočtené	Jednotka
Osová síla	N_{Ed}	0,00	kN
Smyková síla	$V_{y,Ed}$	92,97	kN
Smyková síla	$V_{z,Ed}$	0,00	kN
Kroucení	T_{Ed}	0,00	kNm
Ohybový moment	$M_{y,Ed}$	0,00	kNm

REKONSTRUKCE VÝPRAVNÍ BUDOVY V ŽST. TÁBOR

DOKUMENTACE PRO PROVÁDĚNÍ STAVBY

Vnitřní síly		Vypočtené	Jednotka
Ohybový moment	$M_{z,Ed}$	236,79	kNm

Klasifikace pro návrh průřezu

Klasifikace podle EN 1993-1-1 článku 5.5.2

Klasifikace vnitřních a vnějších částí podle EN 1993-1-1 tabulky 5.2 listu 1 a 2

Id	Typ	c [mm]	t [mm]	σ_1 [kN/m²]	σ_2 [kN/m²]	ψ [-]	k_σ [-]	α [-]	c/t [-]	Třída 1 limit [-]	Třída 2 limit [-]	Třída 3 limit [-]	Třída
1	I	53	13	-151761,996	-151761,996								
2	I	53	13	151761,996	151761,996	1,0		1,0	4,0	28,0	34,0	38,0	1
3	UO	53	13	151761,996	151761,996	1,0	0,4	1,0	4,0	9,0	10,0	14,0	1
4	UO	53	13	-151761,996	-151761,996								
5	I	7	9	-151761,996	-143000,065								
6	I	214	9	-143000,065	143000,065	-1,0		0,5	24,6	72,0	83,0	124,0	1
7	I	7	9	143000,065	151761,996	0,9		1,0	0,8	28,0	34,0	38,8	1
8	I	53	13	-151761,996	-151761,996								
9	I	53	13	151761,996	151761,996	1,0		1,0	4,0	28,0	34,0	38,0	1
10	I	53	13	151761,996	151761,996	1,0		1,0	4,0	28,0	34,0	38,0	1
11	I	53	13	-151761,996	-151761,996								
12	I	7	9	-151761,996	-143000,065								
13	I	214	9	-143000,065	143000,065	-1,0		0,5	24,6	72,0	83,0	124,0	1
14	I	7	9	143000,065	151761,996	0,9		1,0	0,8	28,0	34,0	38,8	1
15	I	53	13	-151761,996	-151761,996								
16	I	53	13	151761,996	151761,996	1,0		1,0	4,0	28,0	34,0	38,0	1
17	I	53	13	151761,996	151761,996	1,0		1,0	4,0	28,0	34,0	38,0	1
18	I	53	13	-151761,996	-151761,996								
19	I	7	9	-151761,996	-143000,065								
20	I	214	9	-143000,065	143000,065	-1,0		0,5	24,6	72,0	83,0	124,0	1
21	I	7	9	143000,065	151761,996	0,9		1,0	0,8	28,0	34,0	38,8	1
22	UO	53	13	-151761,996	-151761,996								
23	UO	53	13	151761,996	151761,996	1,0	0,4	1,0	4,0	9,0	10,0	14,0	1
24	I	53	13	151761,996	151761,996	1,0		1,0	4,0	28,0	34,0	38,0	1
25	I	53	13	-151761,996	-151761,996								
26	I	7	9	-151761,996	-143000,065								
27	I	214	9	-143000,065	143000,065	-1,0		0,5	24,6	72,0	83,0	124,0	1
28	I	7	9	143000,065	151761,996	0,9		1,0	0,8	28,0	34,0	38,8	1

Průřez je klasifikován třídou 1

Poznámka: Limity klasifikace byly nastaveny podle Semi-Comp+.

Posudek ohybového momentu pro M_z

Podle EN 1993-1-1 článku 6.2.5 a rovnice (6.12), (6.13)

$$M_{pl,z,Rd} = \frac{W_{pl,z} \times f_y}{\gamma_{M0}} = \frac{1,6430 \cdot 10^{-3} [m^3] \times 235,0 [MPa]}{1,00} = 386,11 [kNm] \quad (EC3-1-1: 6.13)$$

$$\text{Jedn. posudek} = \frac{|M_{z,Ed}|}{M_{pl,z,Rd}} = \frac{236,79 [kNm]}{386,11 [kNm]} = 0,61 \leq 1,00 \quad (EC3-1-1: 6.12)$$

Posudek smyku pro V_y

Podle EN 1993-1-1 článku 6.2.6 a rovnice (6.17)

$$V_{pl,y,Rd} = \frac{A_v \times \frac{f_y}{\sqrt{3}}}{\gamma_{M0}} = \frac{8,4040 \cdot 10^{-3} [m^2] \times \frac{235,0 [MPa]}{\sqrt{3}}}{1,00} = 1140,23 [kN] \quad (EC3-1-1: 6.18)$$

$$\text{Jedn. posudek} = \frac{|V_{y,Ed}|}{V_{pl,y,Rd}} = \frac{92,97 [kN]}{1140,23 [kN]} = 0,08 \leq 1,00 \quad (EC3-1-1: 6.17)$$

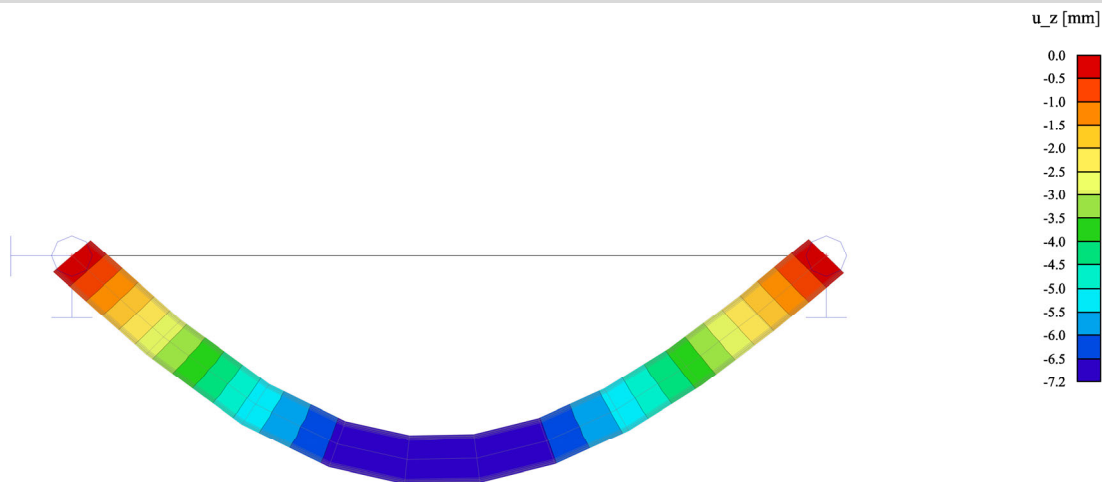
Poznámka: Z průřezových charakteristik není získána žádná smyková plocha.

Prvek splňuje podmínky posudku průřezu.

REKONSTRUKCE VÝPRAVNÍ BUDOVY V ŽST. TÁBOR

DOKUMENTACE PRO PROVÁDĚNÍ STAVBY

F.4.3.4 Posouzení MSP – Svislá deformace nosníku [mm]



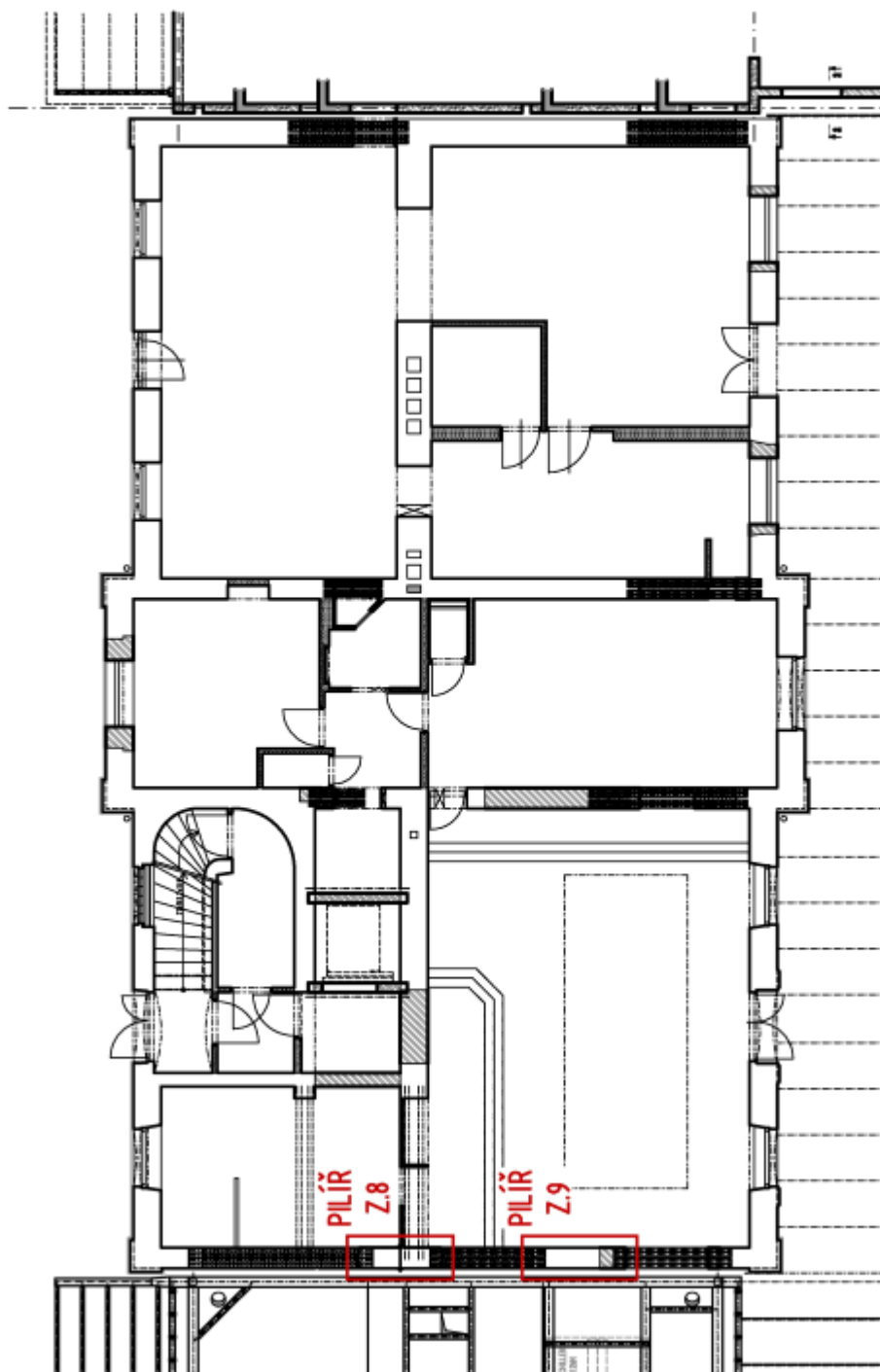
$$u_z = 7,2 \text{ mm} \leq u_{max} = \frac{3700}{500} = 7,4 \text{ mm}$$

REKONSTRUKCE VÝPRAVNÍ BUDOVY V ŽST. TÁBOR

DOKUMENTACE PRO PROVÁDĚNÍ STAVBY

F.4.4 Posudek zdiva a základů – Objekt „B“

F.4.4.1 Schéma pilířů



REKONSTRUKCE VÝPRAVNÍ BUDOVY V ŽST. TÁBOR
DOKUMENTACE PRO PROVÁDĚNÍ STAVBY

F.4.4.4 Posudek pilíře Z.9 – 1.PP

Část: OS REK Nadraží Tábor – objekt "B"

Převk: Obvodový pilíř Z.9 – 1.PP

1) Zatížení od stropů

Poás	Zatěž.plocha A [m2]	Skladba [kN/m2]	Příčky [kN/m2]	Užitné/Snth [kN/m2]	Excentricita e[mm]	Návrhová síla Fd,1 [kN]	Moment Med,1[kNm]	Návrhová síla Fd,2 [kN]	Moment Med,2[kNm]
Strop nad 1.PP - Chodba	~.80	7,00	0,00	5,00	0	26,45	0,00	27,59	0,00
Strop nad 1.NP - Kanceláře	18,60	~.68	~.50	2,50	200	128,67	25,73	137,77	27,55
Křev a střešní rovina	14,76	2,00	0,00	0,80	0	52,32	0,00	51,73	0,00
Celkem výsledné síly od stropů									
2) Zatížení od stěn	Délka stěny L [m]	Šířka stěny B [m]	Výška stěny H [m]	Objemová hmot. [kN/m3]	Excentricita e[mm]	Návrhová síla Fd,1 [kN]	Moment Med,1[kNm]	Návrhová síla Fd,2 [kN]	Moment Med,2[kNm]
Poás	3,90	0,60	2,92	18,00	0	166,04	0,00	141,44	0,00
Stěny 1.PP - CHLA PLIVA	2,00	0,45	4,42	18,00	75	96,67	7,75	82,34	6,18
Stěny 1.NP - ZDIVO PRŮVLAK (PŘÍČNÉ ZDIVO)	~.90	0,45	2,02	18,00	75	41,97	3,15	35,75	2,58
Stěny 2.NP - CHLA PLIVA (PŘÍČNÉ ZDIVO)	3,90	0,45	3,80	18,00	75	162,05	12,15	138,05	10,35
Stěny 3.NP - CHLA PLIVA (PŘÍČNÉ ZDIVO)	3,90	0,45	4,17	18,00	75	177,84	13,34	151,49	11,36
Celkem výsledné síly od stěn									
						644,55 kN	35,89 kNm	549,07 kN	30,57 kNm

3) Zatížení od hmotnosti základů

Poás	Délka základu L [m]	Šířka základu B [m]	Výška základu H [m]	Objemová hmot. [kN/m3]	Excentricita e[mm]	Návrhová síla Fd,1 [kN]	Moment Med,1[kNm]	Návrhová síla Fd,2 [kN]	Moment Med,2[kNm]
Zděný pas	3,90	0,60	0,50	18,00	0	28,43	0,00	24,22	0,00
Celkem výsledný moment do paty základu Fd [kN] =									
						880,45 kN		750,78 kN	

4) Podchycení stávajících základů

Poás	L [m]	Šířka základu B [m]	Výška základu H [m]	Objemová hmot. [kN/m3]	Excentricita e[mm]	Návrhová síla Fd,1 [kN]	Moment Med,1[kNm]	Návrhová síla Fd,2 [kN]	Moment Med,2[kNm]
ZB pas	2,30	~.40	0,30	25,00	0	59,05	0,00	50,31	0,00
Celkem výsledný moment do paty základu Fd [kN] =									
						939,51 kN		841,09 kN	

Tlak zeminy na suterénní zděvu

v =	0,35 [-]	fg, <=	38,21 kN/m'
f _d k =	5,0 kV/m2	f _k <=	5,25 kN/m'
v =	18 kV/m3	Ved,1 =	26,26 kN/m'
v,δ =	~.35 [-]	Ved,2 =	44,85 kN/m'
v,q =	~.05 [-]	x,0 =	1,64 m
k =	0,54 [-]	v =	0,00 kN
o _{max} k =	28,30 kPa	N _{max} =	26,39 kN/m/m'

Posudek smyku

f _{tk} 0 =	0,20 MPa	f _{yk} =	0,23 Vpa
sd =	0,33 MPa	f _{vd} =	0,09 VPg
v/V =	2,50 [-]		
V _{rd} =	55,45 kN/m/m' ≥	Ved =	44,85 kN/m/m'

Zdroj vyhovuje na MSJ

Unosnost zděného pilíře dle ČSN EN 1996-1-1

Zatížení v patě stěny	Formy		Vlastnosti zděva	
N _{red} =	852,02 kN	h =	2,920 m	K = 0,45 [-]
M _{red} =	61,62 kNm	ρ =	1,000 [-]	δ = 0,77 [-]
Zatížení v polovině výšky	b =	3,900 m	f _m =	20 MPa
N _{m,red} =	769,00 kN	t =	0,600 m	f _b = 15,4 MPa
M _{m,red} =	61,62 kNm			f _k = 3,05 MPa
			v _m =	2,5 [-]
			f _d =	1,22 MPa

Posouzení v patě stěny

hef _{red} =	78,92 mm	s	15 [-]
ek =	0,00 mm		
em =	86,62 mm		
em,k =	86,62 mm		
u =	0,162 [-]		
φ _m =	0,702 [-]		
N _{m,red} =	2105,6 kN ≥	N _{red} =	852,0 kN

Posouzení v polovině výšky

hef _{red} =	4,87 [-]	s	15 [-]
ek =	0,00 mm		
em =	86,62 mm		
em,k =	86,62 mm		
u =	0,162 [-]		
φ _m =	0,702 [-]		
N _{m,red} =	200~.7 kN ≥	N _{m,red} =	769,0 kN

Zdřvo vyhovuje na MSJ

Unosnost základové pasu dle ČSN EN 1997-1

Posudek stávajícího pasu

Ročníky a vlastnosti	L = 3,900 m	A = - m2
B = 0,600 m		
R _{dt} = -400,0 kPa		
e = 0,070 m		
R _{dt} = 400,0 kPa ≥	sd = 496,8 kPa	

Základ NEVYHOVUJE na MSJ

-> NÁVRH PODCHYCNÍ ZÁKLADOVÝ PASEM

Posudek Zb podchyvávky

Ročníky a vlastnosti	L = 2,500 m	A = - m2
B = 1,400 m		
R _{dt} = -400,0 kPa		
e = 0,066 m		
R _{dt} = 400,0 kPa ≥	sd = 297,8 kPa	

Základ VYHOVUJE na MSJ

REKONSTRUKCE VÝPRAVNÍ BUDOVY V ŽST. TÁBOR

DOKUMENTACE PRO PROVÁDĚNÍ STAVBY

F.4.4.5 Posudek pilíře Z.9 – 1.NP

Část: OS REK Nadraží Těbor – objekt "B"									
Prvek: Obvodový pilíř Z.9 - 1. NP									
1) Zatížení od stropů									
Pospis	Zatěž.plocha A [m2]	Skladba [kN/m2]	Příčisy [kN/m2]	Užitné/Sníh [kN/m2]	Excentricita e [mm]	Návrhová síla Fd,1 [kN]	Moment Md,1 [kNm]	Náhrhová síla Fd,2 [kN]	Moment Md,2 [kNm]
Strop nad 1.NP - kanceláře	18,60	1,68	1,30	2,50	100	126,67	12,87	137,27	13,78
Krov a střední rovina	14,76	2,00	0,00	0,80	0	52,32	0,00	51,73	0,00
Celkem výsledné síly od stropů									
2) Zatížení od stěn									
Pospis	Delka stěny L [m]	Šířka stěny B [m]	Výška stěny H [m]	Objemová hmot. [kN/m3]	Excentricita e [mm]	Návrhová síla Fd,1 [kN]	Moment Md,1 [kNm]	Náhrhová síla Fd,2 [kN]	Moment Md,2 [kNm]
Stěny 1.NP - CHILA PLINÁ (PŘÍČNÉ ZDVO)	2,00	0,45	4,42	18,00	0	96,67	0,00	82,34	0,00
Stěny 1.NP - ZDVO PRŮVLAK (PŘÍČNÉ ZDVO)	2,90	0,45	2,02	18,00	0	41,97	0,00	35,75	0,00
Stěny 2.NP - CHILA PLINÁ (PŘÍČNÉ ZDVO)	3,90	0,45	3,80	18,00	0	162,05	0,00	138,05	0,00
Stěny 3.NP - CHILA PLINÁ (PŘÍČNÉ ZDVO)	3,90	0,45	4,17	18,00	0	177,84	0,00	151,49	0,00
Celkem výsledné síly od stěn									
Celkem výsledný moment od excentricity v patě Vvede [kNm] =						659,52 kN			
Celková síla v patě Fd [kN] =						597,13 kN			
Celkem výsledný moment od excentricity v patě Vvede [kNm] =						12,87 kNm			
Celková síla v polovině výšky Fd [kN] =						61,19 kN			
Celkem výsledný moment od excentricity v polovině výšky pilíře Vvede [kNm] =						12,87 kNm			
Celková síla v polovině výšky Fd [kN] =						555,96 kN			
Celkem výsledný moment od excentricity v polovině výšky pilíře Vvede [kNm] =						13,78 kNm			

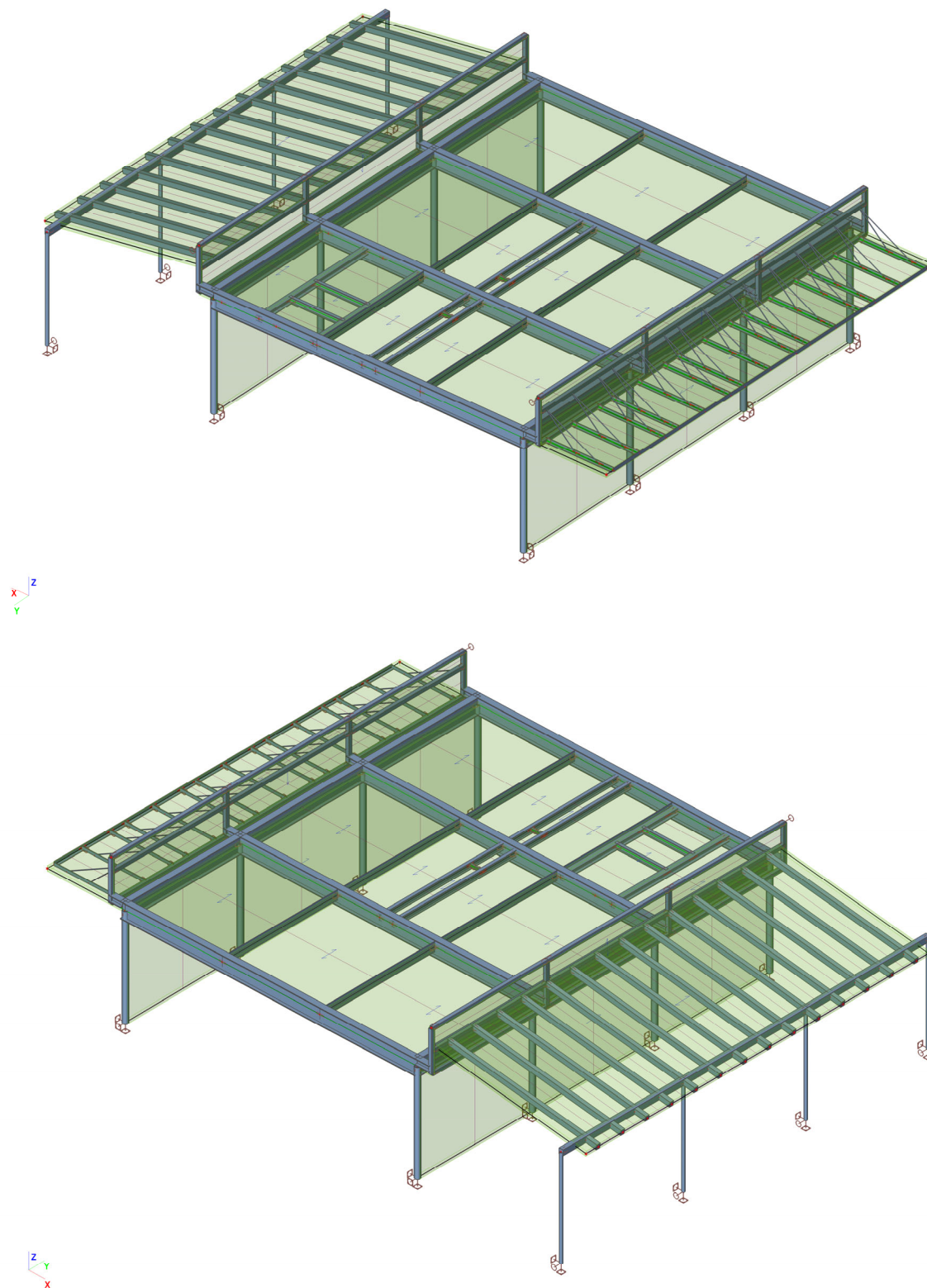
Únosnost zděného pilíře dle ČSN EN 1996-1-1					
Zatížení v patě stěny		Rozměry		Vlastnosti zdí	
Nied =	659,52 kN	h =	4,420 m	k =	0,45
Mied =	13,78 kNm	o =	1,000 [-]	s =	0,77
		h _{ef} =	4,420 m	f _u =	20
Zatížení v polovině výšky		b =	2,000 m	f _m =	1
Nmied =	611,5 kN	t =	0,450 m	f _b =	15,4
Mmied =	13,78 kNm			q _k =	3,05
				v _m =	2,5
				f _d =	1,22
Přesouzaní v patě stěny					
el =	30,71 mm				
φ _l =	0,864 [-]				
NlRd =	948,5 kN	≥	Nied =	659,5 kN	
Přesouzaní v polovině výšky					
hef/te _l =	9,82 [-]			s	15
ek =	0,00 mm				
em =	32,36 mm				
em,k =	32,36 mm				
u =	0,385 [-]				
φ _m =	0,795 [-]				
NmRd =	873,4 kN	≥	Nmied =	611,2 kN	
Zdivo vyhovuje na IV.SJ					

REKONSTRUKCE VÝPRAVNÍ BUDOVY V ŽST. TÁBOR

DOKUMENTACE PRO PROVÁDĚNÍ STAVBY

F.5 Objekt „C“

F.5.1.1 Model Konstrukce



U Plynárny 1002/97, 101 00, Praha 10

F.5.1.2 Zatížení stálé – Zatížení od skladby střechy [kN/m²]



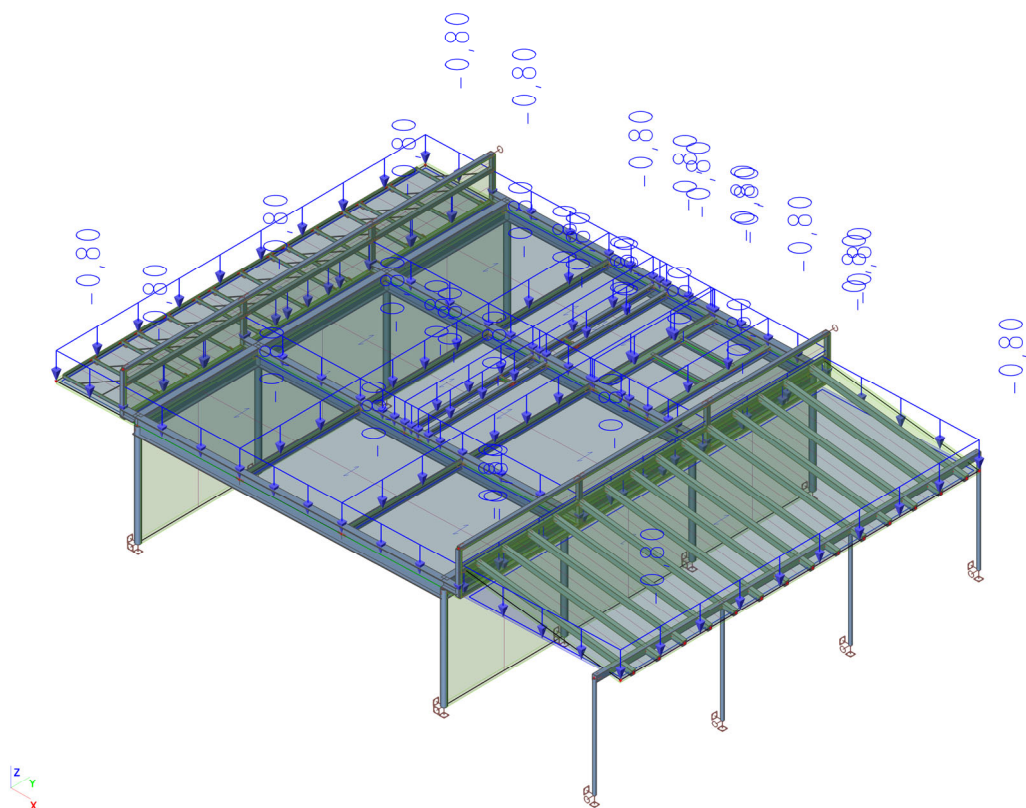
F.5.1.3 Zatížení stálé – Zatížení od technologií [kN/m2]



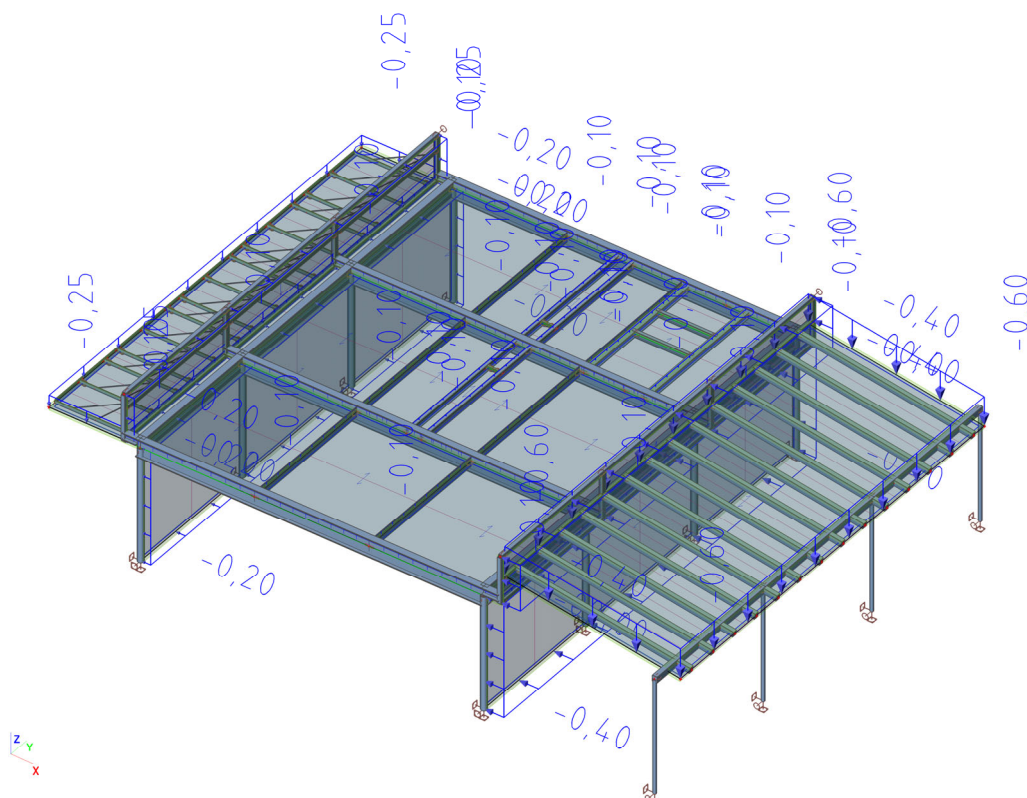
REKONSTRUKCE VÝPRAVNÍ BUDOVY V ŽST. TÁBOR

DOKUMENTACE PRO PROVÁDĚNÍ STAVBY

F.5.1.4 Zatížení proměnné – Zatížení sněhem [kN/m²]



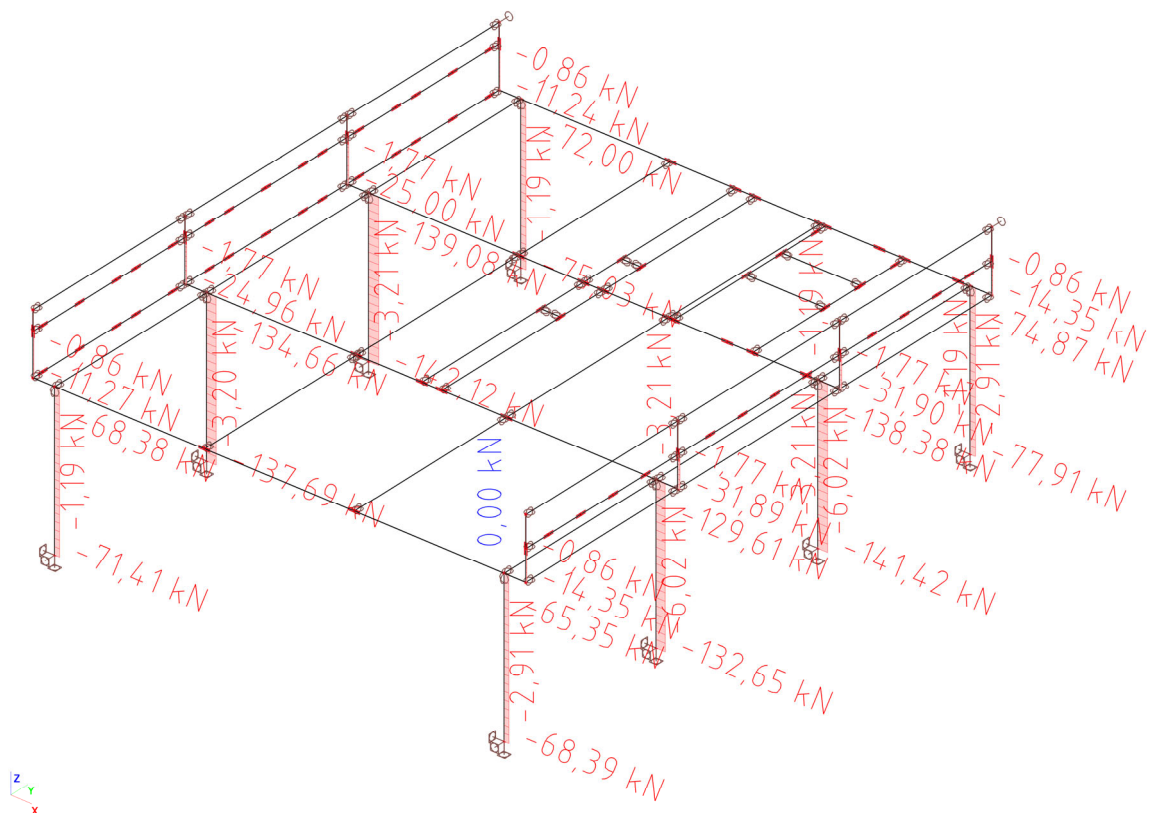
F.5.1.5 Zatížení proměnné – Zatížení větrem [kN/m²]



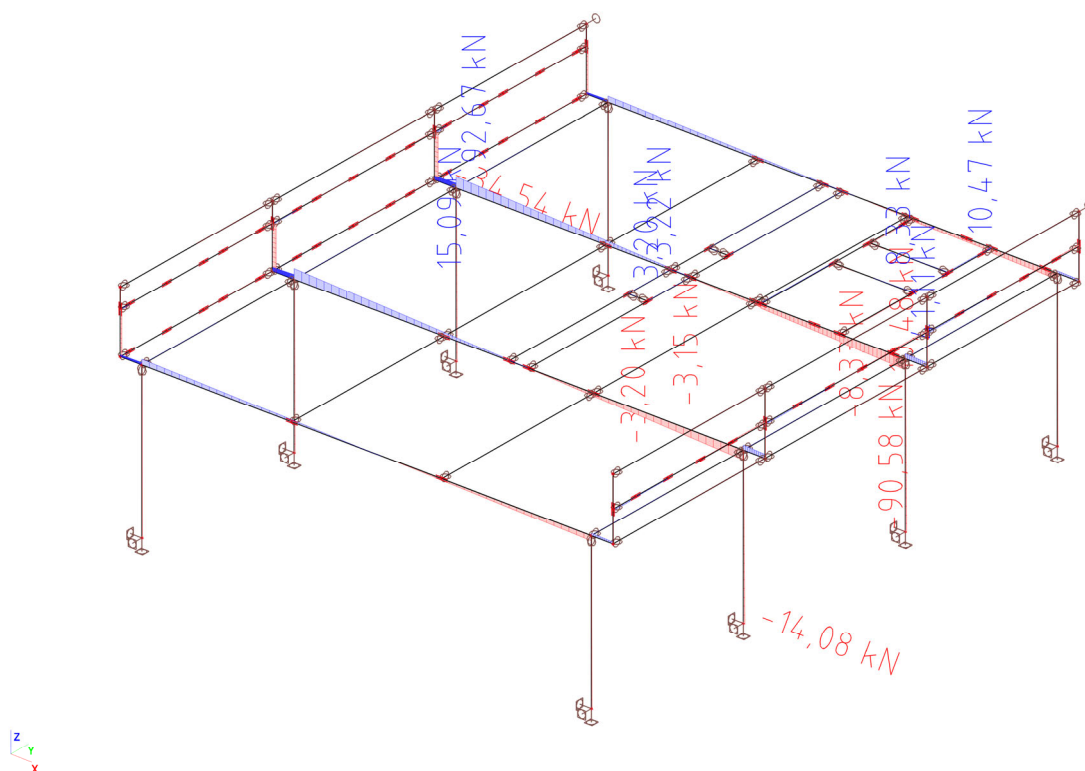
REKONSTRUKCE VÝPRAVNÍ BUDOVY V ŽST. TÁBOR

DOKUMENTACE PRO PROVÁDĚNÍ STAVBY

F.5.1.6 Vnitřní síly – Průběh normálová síly N [kN]



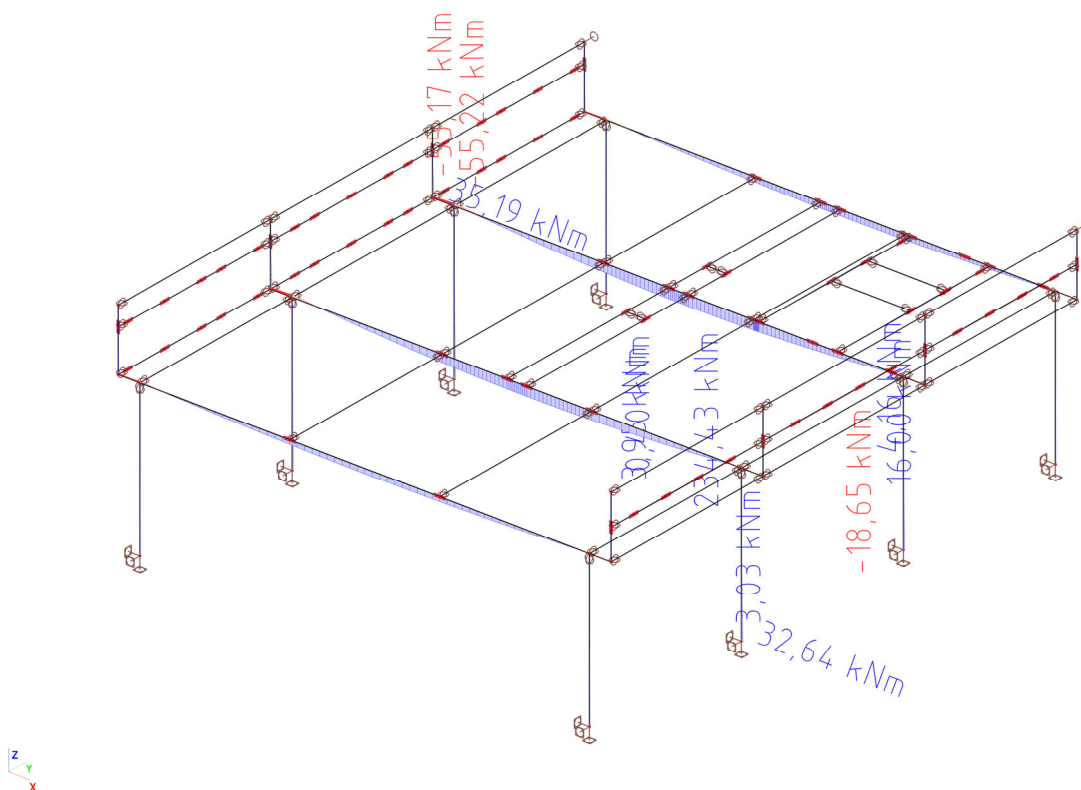
F.5.1.7 Vnitřní síly – Průběh posouvající síly V [kN]



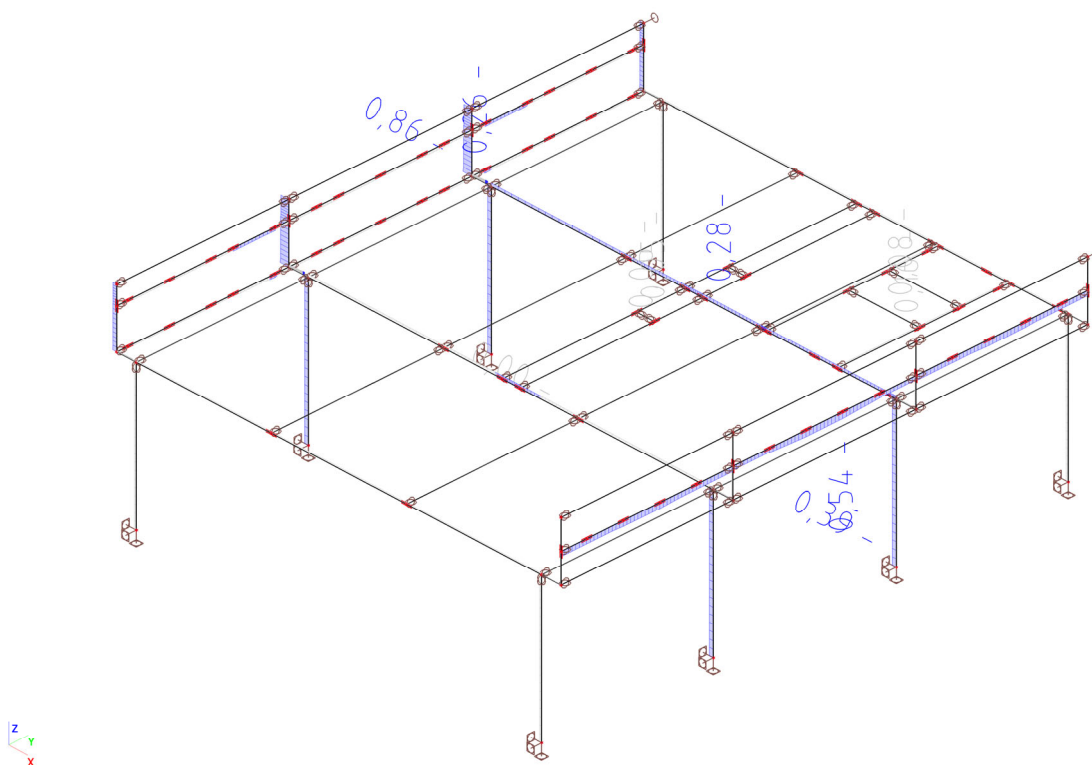
REKONSTRUKCE VÝPRAVNÍ BUDOVY V ŽST. TÁBOR

DOKUMENTACE PRO PROVÁDĚNÍ STAVBY

F.5.1.8 Vnitřní síly – Průběh ohybového momentu M_y [kNm]



F.5.1.9 Posouzení MSÚ – Využití průřezu od vnitřních sil [$\cdot 100 = \%$]



REKONSTRUKCE VÝPRAVNÍ BUDOVY V ŽST. TÁBOR

DOKUMENTACE PRO PROVÁDĚNÍ STAVBY

F.5.1.10 Posouzení MSÚ – Dílčí posudek nejvíce namáhaných průřezů [*100= %]

Posudek ocelových prvků na MSÚ EC-EN 1993

Hodnoty: $U_{C_{celkový}}$

Lineární výpočet

Kombinace: MSÚ-Sada B (auto)

Souřadný systém: Hlavní

Extrém 1D: Průřez

Výběr: Vše

Posudek EN 1993-1-1

Národní dodatek: Česká CSN-EN NA

Dílec B4	5,950 / 11,400 m	IPE600	Válcovaný	S 235	MSÚ-Sada B (auto)	0,28 -
----------	------------------	--------	-----------	-------	-------------------	--------

Klíč kombinace

MSÚ-Sada B (auto) / 1.15*ZS1 + 1.15*ZS2 + 1.50*ZS6 + 1.15*ZS7 + 0.90*ZS8

Dílčí souč. spolehlivosti

Únosnost průřezů	γ_{M0}	1,00
Únosnost na stabilitu	γ_{M1}	1,00
Únosnost čistého průřezu	γ_{M2}	1,25

Materiál

Mez kluzu	f_y	235,0	MPa
Pevnost v tahu	f_u	360,0	MPa

....:POSUDEK ÚNOSNOSTI:....

Kritický posudek je na pozici 5,950 m

Vnitřní síly		Vypočtené	Jednotka
Osová síla	N_{Ed}	-2,34	kN
Smyková síla	$V_{y,Ed}$	0,00	kN
Smyková síla	$V_{z,Ed}$	-2,08	kN
Kroucení	T_{Ed}	0,00	kNm
Ohybový moment	$M_{y,Ed}$	234,26	kNm
Ohybový moment	$M_{z,Ed}$	0,00	kNm

Klasifikace pro návrh průřezu

Klasifikace podle EN 1993-1-1 článku 5.5.2

Klasifikace vnitřních a vnějších částí podle EN 1993-1-1 tabulky 5.2 listu 1 a 2

Id	Typ	c [mm]	t [mm]	σ_1 [kN/m²]	σ_2 [kN/m²]	ψ [-]	k_σ [-]	α [-]	c/t [-]	Třída 1 limit [-]	Třída 2 limit [-]	Třída 3 limit [-]	Třída
1	SO	80	19	-73738,026	-73738,006								
3	SO	80	19	-73738,040	-73738,060								
4	I	514	12	-65217,356	65517,805	-1,0		0,5	4,2	71,8	82,8	123,5	1
5	SO	80	19	74038,474	74038,455	1,0	0,4	1,0	4,2	9,0	10,0	13,8	1
7	SO	80	19	74038,489	74038,508	1,0	0,4	1,0	4,2	9,0	10,0	13,8	1

Průřez je klasifikován třídou 1

Poznámka: Limity klasifikace byly nastaveny podle Semi-Comp+.

Posudek na tlak

Podle EN 1993-1-1 článku 6.2.4 a rovnice (6.9)

$$N_{c,Rd} = \frac{A \times f_y}{\gamma_{M0}} = \frac{1,5600 \cdot 10^{-2} [m^2] \times 235,0 [MPa]}{1,00} = 3666,00 [kN] \quad (EC3-1-1: 6.10)$$

$$\text{Jedn. posudek} = \frac{|N_{Ed}|}{N_{c,Rd}} = \frac{|-2,34 [kN]|}{3666,00 [kN]} = 0,00 \leq 1,00 \quad (EC3-1-1: 6.9)$$

Posudek ohybového momentu pro M_y

Podle EN 1993-1-1 článku 6.2.5 a rovnice (6.12), (6.13)

$$M_{pl,y,Rd} = \frac{W_{pl,y} \times f_y}{\gamma_{M0}} = \frac{3,5120 \cdot 10^{-3} [m^3] \times 235,0 [MPa]}{1,00} = 825,32 [kNm] \quad (EC3-1-1: 6.13)$$

$$\text{Jedn. posudek} = \frac{|M_{y,Ed}|}{M_{pl,y,Rd}} = \frac{|234,26 [kNm]|}{825,32 [kNm]} = 0,28 \leq 1,00 \quad (EC3-1-1: 6.12)$$

REKONSTRUKCE VÝPRAVNÍ BUDOVY V ŽST. TÁBOR

DOKUMENTACE PRO PROVÁDĚNÍ STAVBY

Posudek smyku pro V_z

Podle EN 1993-1-1 článku 6.2.6 a rovnice (6.17)

$$V_{pl,z,Rd} = \frac{A_v \times \frac{f_y}{\sqrt{3}}}{\gamma_{M0}} = \frac{8,3800 \cdot 10^{-3} [m^2] \times \frac{235,0 [MPa]}{\sqrt{3}}}{1,00} = 1136,98 [kN] \quad (EC3-1-1: 6.18)$$

$$\text{Jedn. posudek} = \frac{|V_{z,Ed}|}{V_{c,z,Rd}} = \frac{|-2,08 [kN]|}{1136,98 [kN]} = 0,00 \leq 1,00 \quad (EC3-1-1: 6.17)$$

Posudek na kombinaci ohybu, osově a smykové síly

Podle EN 1993-1-1 článku 6.2.9.1 a rovnice (6.41)

$$M_{pl,y,Rd} = \frac{W_{pl,y} \times f_y}{\gamma_{M0}} = \frac{3,5120 \cdot 10^{-3} [m^3] \times 235,0 [MPa]}{1,00} = 825,32 [kNm] \quad (EC3-1-1: 6.13)$$

$$\alpha = 2,00$$

$$M_{pl,z,Rd} = \frac{W_{pl,z} \times f_y}{\gamma_{M0}} = \frac{4,8560 \cdot 10^{-4} [m^3] \times 235,0 [MPa]}{1,00} = 114,12 [kNm] \quad (EC3-1-1: 6.13)$$

$$\beta = 1,00$$

$$\text{Jedn. posudek} = \left(\frac{|M_{y,Ed}|}{M_{pl,y,Rd}} \right)^\alpha + \left(\frac{|M_{z,Ed}|}{M_{pl,z,Rd}} \right)^\beta = \left(\frac{|234,26 [kNm]|}{825,32 [kNm]} \right)^{2,00} + \left(\frac{|0,00 [kNm]|}{114,12 [kNm]} \right)^{1,00} = 0,08 \leq 1,00 \quad (EC3-1-1: 6.41)$$

Poznámka: Protože smykové síly jsou menší než polovina plastické smykové únosnosti, jejich vliv na momentovou únosnost se zanedbává.

Poznámka: Protože osová síla splňuje podmínku (6.33) i (6.34) z EN 1993-1-1 článku 6.2.9.1(4)

její vliv na momentovou únosnost kolem osy y-y se zanedbává.

Poznámka: Protože osová síla splňuje podmínku (6.35) z EN 1993-1-1 článku 6.2.9.1(4)

její vliv na momentovou únosnost kolem osy z-z se zanedbává.

Prvek splňuje podmínky posudku průřezu.

....:POSUDEK STABILITY:....

Klasifikace pro návrh dílce na vzpěr

Rozhodující poloha pro klasifikaci stability: 5,950 m

Rozhodující součinitel využití η : 0,28

Klasifikace podle EN 1993-1-1 článku 5.5.2

Klasifikace vnitřních a vnějších částí podle EN 1993-1-1 tabulky 5.2 listu 1 a 2

Id	Typ	c [mm]	t [mm]	σ_1 [kN/m ²]	σ_2 [kN/m ²]	ψ [-]	k_σ [-]	α [-]	c/t [-]	Třída 1 limit [-]	Třída 2 limit [-]	Třída 3 limit [-]	Třída
1	SO	80	19	-73738,026	-73738,006								
3	SO	80	19	-73738,040	-73738,060								
4	I	514	12	-65217,356	65517,805	-1,0		0,5	42,8	71,8	82,8	123,5	1
5	SO	80	19	74038,474	74038,455	1,0	0,4	1,0	4,2	9,0	10,0	13,8	1
7	SO	80	19	74038,489	74038,508	1,0	0,4	1,0	4,2	9,0	10,0	13,8	1

Průřez je klasifikován třídou 1

Poznámka: Limity klasifikace byly nastaveny podle Semi-Comp+.

Poznámka: Rozhodující poloha pro klasifikaci stability je založena na součiniteli využití η podle Semi-Comp+.

Posudek rovinného vzpěru

Podle EN 1993-1-1 článku 6.3.1.1 a rovnice (6.46)

$$N_{cr,y} = \frac{\pi^2 \times E \times I_y}{l_{cr,y}^2} = \frac{\pi^2 \times 210000,0 [MPa] \times 9,2080 \cdot 10^{-4} [m^4]}{15,542 [m]^2} = 7900,92 [kN]$$

$$N_{cr,z} = \frac{\pi^2 \times E \times I_z}{l_{cr,z}^2} = \frac{\pi^2 \times 210000,0 [MPa] \times 3,3870 \cdot 10^{-5} [m^4]}{1,292 [m]^2} = 42085,13 [kN]$$

$$\lambda_y = \frac{l_{cr,y}}{i_y} = \frac{15,542 [m]}{243 [mm]} = 63,97$$

$$\lambda_z = \frac{l_{cr,z}}{i_z} = \frac{1,292 [m]}{47 [mm]} = 27,72$$

$$\lambda_{rel,y} = \frac{\lambda_y}{\pi \times \sqrt{\frac{E}{f_y}}} = \frac{63,97}{\pi \times \sqrt{\frac{210000,0 [MPa]}{235,0 [MPa]}}} = 0,68 \quad (EC3-1-1: 6.50)$$

REKONSTRUKCE VÝPRAVNÍ BUDOVY V ŽST. TÁBOR

DOKUMENTACE PRO PROVÁDĚNÍ STAVBY

$$\lambda_{rel,z} = \frac{\lambda_z}{\pi \times \sqrt{\frac{E}{f_y}}} = \frac{27,72}{\pi \times \sqrt{\frac{210000,0[\text{MPa}]}{235,0[\text{MPa}]}}} = 0,30$$

(EC3-1-1: 6.50)

Posudek prostorového vzpěru

Podle EN 1993-1-1 článku 6.3.1.1 a rovnice (6.46)

Poznámka: Pro tento I průřez je únosnost na prostorový vzpěr vyšší než únosnost na rovinný vzpěr. Prostorový vzpěr proto není ve výstupu uveden.

Posudek klopení

Podle EN 1993-1-1 článku 6.3.2.1

Poznámka: Posudek klopení je zanedbatelný, protože dílci je bráněno v příčné deformaci.

Posudek ohybu a osového tlaku

Podle EN 1993-1-1 článku 6.3.3 a rovnice (6.61), (6.62)

Maximální moment $M_{y,Ed}$ je odvozen z nosníku B4 pozice 5,950 m.

Maximální moment $M_{z,Ed}$ je odvozen z nosníku B4 pozice 7,600 m.

$$\chi_z = \min(\chi_z; \chi) = \min(1,00; 1,00) = 1,00$$

$$C_{my} = 0,90$$

$$C_{mz} = \max(0,6 + 0,4 \times \psi_z; 0,4) = \max(0,6 + 0,4 \times 1,00; 0,4) = \max(1,00; 0,40) = 1,00$$

$$\alpha_{s,LT} = \frac{M_{s,LT}}{M_{h,LT}} = \frac{210,96[\text{kNm}]}{234,26[\text{kNm}]} = 0,90$$

$$C_{mLT} = \max(0,2 + 0,8 \times \alpha_{s,LT}; 0,4) = \max(0,2 + 0,8 \times 0,90; 0,4) = \max(0,92; 0,40) = 0,92$$

$$N_{Rk} = A \times f_y = 1,5600 \cdot 10^{-2}[\text{m}^2] \times 235,0[\text{MPa}] = 3666,00[\text{kN}]$$

$$M_{y,Rk} = W_{pl,y} \times f_y = 3,5120 \cdot 10^{-3}[\text{m}^3] \times 235,0[\text{MPa}] = 825,32[\text{kNm}]$$

$$M_{z,Rk} = W_{pl,z} \times f_y = 4,8560 \cdot 10^{-4}[\text{m}^3] \times 235,0[\text{MPa}] = 114,12[\text{kNm}]$$

$$k_{yy} = \min \left\{ C_{my} \times \left[1 + (\lambda_{rel,y} - 0,2) \times \frac{N_{Ed}}{\chi_y \times \frac{N_{Rk}}{\gamma_{M1}}} \right]; C_{my} \times \left(1 + 0,8 \times \frac{N_{Ed}}{\chi_y \times \frac{N_{Rk}}{\gamma_{M1}}} \right) \right\}$$

$$= \min \left\{ 0,90 \times \left[1 + (0,68 - 0,2) \times \frac{2,34[\text{kN}]}{1,00 \times \frac{3666,00[\text{kN}]}{1,00}} \right]; 0,90 \times \left(1 + 0,8 \times \frac{2,34[\text{kN}]}{1,00 \times \frac{3666,00[\text{kN}]}{1,00}} \right) \right\}$$

$$= \min \{0,90; 0,90\} = 0,90$$

$$k_{yz} = 0,6 \times k_{zz} = 0,6 \times 1,00 = 0,60$$

$$k_{zy} = 0,6 \times k_{yy} = 0,6 \times 0,90 = 0,54$$

$$k_{zz} = \min \left[C_{mz}; C_{mz} \times \left(1 + 1,4 \times \frac{N_{Ed}}{\chi_z \times \frac{N_{Rk}}{\gamma_{M1}}} \right) \right] = \min \left[1,00; 1,00 \times \left(1 + 1,4 \times \frac{2,34[\text{kN}]}{1,00 \times \frac{3666,00[\text{kN}]}{1,00}} \right) \right]$$

$$= \min [1,00; 1,00] = 1,00$$

$$\text{Posudek (6.61)} = \frac{|N_{Ed}|}{\chi_y \times \frac{N_{Rk}}{\gamma_{M1}}} + k_{yy} \times \frac{|M_{y,Ed}| + |\Delta M_{y,Ed}|}{\chi_{LT,mod} \times \frac{M_{y,Rk}}{\gamma_{M1}}} + k_{yz} \times \frac{|M_{z,Ed}| + |\Delta M_{z,Ed}|}{\frac{M_{z,Rk}}{\gamma_{M1}}}$$

$$= \frac{|2,34[\text{kN}]|}{1,00 \times \frac{3666,00[\text{kN}]}{1,00}} + 0,90 \times \frac{|234,26[\text{kNm}]| + |0,00[\text{kNm}]|}{1,00 \times \frac{825,32[\text{kNm}]}{1,00}} + 0,60 \times \frac{|0,00[\text{kNm}]| + |0,00[\text{kNm}]|}{\frac{114,12[\text{kNm}]}{1,00}}$$

$$= 0,26 \leq 1,00 \quad (\text{EC3-1-1: 6.61})$$

$$\text{Posudek (6.62)} = \frac{|N_{Ed}|}{\chi_z \times \frac{N_{Rk}}{\gamma_{M1}}} + k_{zy} \times \frac{|M_{y,Ed}| + |\Delta M_{y,Ed}|}{\chi_{LT,mod} \times \frac{M_{y,Rk}}{\gamma_{M1}}} + k_{zz} \times \frac{|M_{z,Ed}| + |\Delta M_{z,Ed}|}{\frac{M_{z,Rk}}{\gamma_{M1}}}$$

$$= \frac{|2,34[\text{kN}]|}{1,00 \times \frac{3666,00[\text{kN}]}{1,00}} + 0,54 \times \frac{|234,26[\text{kNm}]| + |0,00[\text{kNm}]|}{1,00 \times \frac{825,32[\text{kNm}]}{1,00}} + 1,00 \times \frac{|0,00[\text{kNm}]| + |0,00[\text{kNm}]|}{\frac{114,12[\text{kNm}]}{1,00}}$$

$$= 0,15 \leq 1,00 \quad (\text{EC3-1-1: 6.62})$$

$$\text{Jedn. posudek} = \max(\text{Posudek (6.61); Posudek (6.62)}) = \max(0,26; 0,15) = 0,26 \leq 1,00$$

Posudek ztráty stability od smyku

Podle EN 1993-1-5 článku 5 & 7.1 a rovnice (5.10) & (7.1)

REKONSTRUKCE VÝPRAVNÍ BUDOVY V ŽST. TÁBOR

DOKUMENTACE PRO PROVÁDĚNÍ STAVBY

$$h_w/t = \frac{h_w}{t} = \frac{562[\text{mm}]}{12[\text{mm}]} = 46,83$$

$$\text{limitní } h_w/t = \frac{72 \times \varepsilon}{\eta} = \frac{72 \times 1,00}{1,20} = 60,00$$

Poznámka: Štíhlost stojiny umožňuje ignorovat účinky smykové ztráty stability podle EN 1993-1-5 čl. 5.1(2).

Prvek splňuje podmínky stabilitního posudku.

Posudek EN 1993-1-1

Národní dodatek: Česká CSN-EN NA

Dílec B165	0,000 / 3,850 m	MSRR193.7x16.0	Válcovaný	S 235	MSÚ-Sada B (auto)	0,39 -
------------	-----------------	----------------	-----------	-------	-------------------	--------

Klíč kombinace
MSÚ-Sada B (auto) / 1.15*ZS1 + 1.15*ZS2 + 0.75*ZS6 + 1.15*ZS7 + 1.50*ZS8

Díleči souč. spolehlivosti		
Únosnost průřezů	γ_{M0}	1,00
Únosnost na stabilitu	γ_{M1}	1,00
Únosnost čistého průřezu	γ_{M2}	1,25

Materiál			
Mez kluzu	f_y	235,0	MPa
Pevnost v tahu	f_u	360,0	MPa

....:POSUDEK ÚNOSNOSTI:....

Kritický posudek je na pozici 0,000 m

Vnitřní síly		Vypočtené	Jednotka
Osová síla	N_{Ed}	-122,70	kN
Smyková síla	$V_{y,Ed}$	0,00	kN
Smyková síla	$V_{z,Ed}$	-14,01	kN
Kroucení	T_{Ed}	0,00	kNm
Ohybový moment	$M_{y,Ed}$	32,39	kNm
Ohybový moment	$M_{z,Ed}$	0,00	kNm

Klasifikace pro návrh průřezu

Klasifikace podle EN 1993-1-1 článku 5.5.2

Klasifikace trubek podle EN 1993-1-1 tabulky 5.2 listu 3

d [mm]	t [mm]	d/t [-]	Třída 1 limit [-]	Třída 2 limit [-]	Třída 3 limit [-]	Třída
194	16	12,1	50,0	70,0	90,0	1

Průřez je klasifikován třídou 1

Posudek na tlak

Podle EN 1993-1-1 článku 6.2.4 a rovnice (6.9)

$$N_{c,Rd} = \frac{A \times f_y}{\gamma_{M0}} = \frac{8,9300 \cdot 10^{-3}[\text{m}^2] \times 235,0[\text{MPa}]}{1,00} = 2098,55[\text{kN}] \quad (\text{EC3-1-1: 6.10})$$

$$\text{Jedn. posudek} = \frac{|N_{Ed}|}{N_{c,Rd}} = \frac{|-122,70[\text{kN}]|}{2098,55[\text{kN}]} = 0,06 \leq 1,00 \quad (\text{EC3-1-1: 6.9})$$

Posudek ohybového momentu pro M_y

Podle EN 1993-1-1 článku 6.2.5 a rovnice (6.12), (6.13)

$$M_{pl,y,Rd} = \frac{W_{pl,y} \times f_y}{\gamma_{M0}} = \frac{5,0700 \cdot 10^{-4}[\text{m}^3] \times 235,0[\text{MPa}]}{1,00} = 119,14[\text{kNm}] \quad (\text{EC3-1-1: 6.13})$$

$$\text{Jedn. posudek} = \frac{|M_{y,Ed}|}{M_{pl,y,Rd}} = \frac{|32,39[\text{kNm}]|}{119,14[\text{kNm}]} = 0,27 \leq 1,00 \quad (\text{EC3-1-1: 6.12})$$

Posudek smyku pro V_z

Podle EN 1993-1-1 článku 6.2.6 a rovnice (6.17)

$$V_{pl,z,Rd} = \frac{A_v \times \frac{f_y}{\sqrt{3}}}{\gamma_{M0}} = \frac{5,6850 \cdot 10^{-3}[\text{m}^2] \times \frac{235,0[\text{MPa}]}{\sqrt{3}}}{1,00} = 771,33[\text{kN}] \quad (\text{EC3-1-1: 6.18})$$

$$\text{Jedn. posudek} = \frac{|V_{z,Ed}|}{V_{pl,z,Rd}} = \frac{|-14,01[\text{kN}]|}{771,33[\text{kN}]} = 0,02 \leq 1,00 \quad (\text{EC3-1-1: 6.17})$$

REKONSTRUKCE VÝPRAVNÍ BUDOVY V ŽST. TÁBOR

DOKUMENTACE PRO PROVÁDĚNÍ STAVBY

Posudek na kombinaci ohybu, osově a smykové síly

Podle EN 1993-1-1 článku 6.2.9.1 a rovnice (6.31)

$$n = \frac{|N_{Ed}|}{N_{pl,Rd}} = \frac{|-122,70[\text{kN}]|}{2098,55[\text{kN}]} = 0,06$$

$$M_{N,Rd} = M_{pl,Rd} \times (1 - n^{1,7}) = 119,14[\text{kNm}] \times (1 - 0,06^{1,7}) = 118,19[\text{kNm}] \quad (\text{EC3-1-1: 6.29})$$

$$\text{Jedn. posudek} = \frac{|M_{výslednice}|}{M_{N,Rd}} = \frac{|32,39[\text{kNm}]|}{118,19[\text{kNm}]} = 0,27 \leq 1,00 \quad (\text{EC3-1-1: 6.31})$$

Poznámka: Výsledné vnitřní síly se použijí pro trubkové průřezy

Poznámka: Protože smykové síly jsou menší než polovina plastické smykové únosnosti, jejich vliv na momentovou únosnost se zanedbává.

Prvek splňuje podmínky posudku průřezu.

....:POSUDEK STABILITY:....

Klasifikace pro návrh dílce na vzpěr

Rozhodující poloha pro klasifikaci stability: 0,000 m

Rozhodující součinitel využití η : 0,29

Klasifikace podle EN 1993-1-1 článku 5.5.2

Klasifikace trubek podle EN 1993-1-1 tabulky 5.2 listu 3

d [mm]	t [mm]	d/t [-]	Třída 1 limit [-]	Třída 2 limit [-]	Třída 3 limit [-]	Třída
194	16	12,1	50,0	70,0	90,0	1

Průřez je klasifikován třídou 1

Poznámka: Rozhodující poloha pro klasifikaci stability je založena na součiniteli využití η podle Semi-Comp+.

Posudek rovinného vzpěru

Podle EN 1993-1-1 článku 6.3.1.1 a rovnice (6.46)

$$N_{cr,y} = \frac{\pi^2 \times E \times I_y}{l_{cr,y}^2} = \frac{\pi^2 \times 210000,0[\text{MPa}] \times 3,5500 \cdot 10^{-5}[\text{m}^4]}{7,709[\text{m}]^2} = 1238,03[\text{kN}]$$

$$N_{cr,z} = \frac{\pi^2 \times E \times I_z}{l_{cr,z}^2} = \frac{\pi^2 \times 210000,0[\text{MPa}] \times 3,5500 \cdot 10^{-5}[\text{m}^4]}{2,695[\text{m}]^2} = 10130,48[\text{kN}]$$

$$\lambda_y = \frac{l_{cr,y}}{i_y} = \frac{7,709[\text{m}]}{63[\text{mm}]} = 122,27$$

$$\lambda_z = \frac{l_{cr,z}}{i_z} = \frac{2,695[\text{m}]}{63[\text{mm}]} = 42,74$$

$$\lambda_{rel,y} = \frac{\lambda_y}{\pi \times \sqrt{\frac{E}{f_y}}} = \frac{122,27}{\pi \times \sqrt{\frac{210000,0[\text{MPa}]}{235,0[\text{MPa}]}}} = 1,30 \quad (\text{EC3-1-1: 6.50})$$

$$\lambda_{rel,z} = \frac{\lambda_z}{\pi \times \sqrt{\frac{E}{f_y}}} = \frac{42,74}{\pi \times \sqrt{\frac{210000,0[\text{MPa}]}{235,0[\text{MPa}]}}} = 0,46 \quad (\text{EC3-1-1: 6.50})$$

$$\varphi_y = 0,5 \times [1 + \alpha_y \times (\lambda_{rel,y} - \lambda_{rel,y,0}) + \lambda_{rel,y}^2] = 0,5 \times [1 + 0,21 \times (1,30 - 0,20) + 1,30^2] = 1,46$$

$$\varphi_z = 0,5 \times [1 + \alpha_z \times (\lambda_{rel,z} - \lambda_{rel,z,0}) + \lambda_{rel,z}^2] = 0,5 \times [1 + 0,21 \times (0,46 - 0,20) + 0,46^2] = 0,63$$

$$\chi_y = \min \left(\frac{1}{\varphi_y + \sqrt{\varphi_y^2 - \lambda_{rel,y}^2}}; 1 \right) = \min \left(\frac{1}{1,46 + \sqrt{1,46^2 - 1,30^2}}; 1 \right) = \min(0,47; 1) = 0,47 \quad (\text{EC3-1-1: 6.49})$$

$$\chi_z = \min \left(\frac{1}{\varphi_z + \sqrt{\varphi_z^2 - \lambda_{rel,z}^2}}; 1 \right) = \min \left(\frac{1}{0,63 + \sqrt{0,63^2 - 0,46^2}}; 1 \right) = \min(0,94; 1) = 0,94 \quad (\text{EC3-1-1: 6.49})$$

$$N_{b,y,Rd} = \frac{\chi_y \times A \times f_y}{\gamma_{M1}} = \frac{0,47 \times 8,9300 \cdot 10^{-3}[\text{m}^2] \times 235,0[\text{MPa}]}{1,00} = 984,74[\text{kN}] \quad (\text{EC3-1-1: 6.47})$$

$$N_{b,z,Rd} = \frac{\chi_z \times A \times f_y}{\gamma_{M1}} = \frac{0,94 \times 8,9300 \cdot 10^{-3}[\text{m}^2] \times 235,0[\text{MPa}]}{1,00} = 1967,71[\text{kN}] \quad (\text{EC3-1-1: 6.47})$$

$$N_{b,Rd} = \min(N_{b,y,Rd}; N_{b,z,Rd}) = \min(984,74[\text{kN}]; 1967,71[\text{kN}]) = 984,74[\text{kN}]$$

$$\text{Jedn. posudek} = \frac{|N_{Ed}|}{N_{b,Rd}} = \frac{|-122,70[\text{kN}]|}{984,74[\text{kN}]} = 0,12 \leq 1,00 \quad (\text{EC3-1-1: 6.46})$$

Posudek prostorového vzpěru

REKONSTRUKCE VÝPRAVNÍ BUDOVY V ŽST. TÁBOR

DOKUMENTACE PRO PROVÁDĚNÍ STAVBY

Podle EN 1993-1-1 článku 6.3.1.1 a rovnice (6.46)

Poznámka: Průřez se týká kruhové trubky, která není náchylná k prostorovému vzpěru.

Posudek klopení

Podle EN 1993-1-1 článku 6.3.2.1

Poznámka: Průřez se týká kruhové trubky, která není náchylná ke klopení.

Posudek ohybu a osového tlaku

Podle EN 1993-1-1 článku 6.3.3 a rovnice (6.61), (6.62)

Maximální moment $M_{y,Ed}$ je odvozen z nosníku B165 pozice 0,000 m.

Maximální moment $M_{z,Ed}$ je odvozen z nosníku B165 pozice 0,000 m.

$$\chi_z = \min(\chi_z; \chi) = \min(0,94; 1,00) = 0,94$$

$$C_{my} = 0,90$$

$$\alpha_{s,z} = \frac{M_{s,z}}{M_{h,z}} = \frac{0,00[\text{kNm}]}{0,00[\text{kNm}]} = 0,29$$

$$C_{mz} = \max(0,2 + 0,8 \times \alpha_{s,z}; 0,4) = \max(0,2 + 0,8 \times 0,29; 0,4) = \max(0,43; 0,40) = 0,43$$

$$\alpha_{s,LT} = \frac{M_{s,LT}}{M_{h,LT}} = \frac{10,80[\text{kNm}]}{32,39[\text{kNm}]} = 0,33$$

$$C_{mLT} = \max(0,2 + 0,8 \times \alpha_{s,LT}; 0,4) = \max(0,2 + 0,8 \times 0,33; 0,4) = \max(0,47; 0,40) = 0,47$$

$$N_{Rk} = A \times f_y = 8,9300 \cdot 10^{-3}[\text{m}^2] \times 235,0[\text{MPa}] = 2098,55[\text{kN}]$$

$$M_{y,Rk} = W_{pl,y} \times f_y = 5,0700 \cdot 10^{-4}[\text{m}^3] \times 235,0[\text{MPa}] = 119,14[\text{kNm}]$$

$$M_{z,Rk} = W_{pl,z} \times f_y = 5,0700 \cdot 10^{-4}[\text{m}^3] \times 235,0[\text{MPa}] = 119,14[\text{kNm}]$$

$$k_{yy} = \min \left\{ C_{my} \times \left[1 + (\lambda_{rel,y} - 0,2) \times \frac{N_{Ed}}{\chi_y \times \frac{N_{Rk}}{\gamma_{M1}}} \right]; C_{my} \times \left(1 + 0,8 \times \frac{N_{Ed}}{\chi_y \times \frac{N_{Rk}}{\gamma_{M1}}} \right) \right\}$$

$$= \min \left\{ 0,90 \times \left[1 + (1,30 - 0,2) \times \frac{122,70[\text{kN}]}{0,47 \times \frac{2098,55[\text{kN}]}{1,00}} \right]; 0,90 \times \left(1 + 0,8 \times \frac{122,70[\text{kN}]}{0,47 \times \frac{2098,55[\text{kN}]}{1,00}} \right) \right\}$$

$$= \min \{1,02; 0,99\} = 0,99$$

$$k_{yz} = 0,6 \times k_{zz} = 0,6 \times 0,44 = 0,26$$

$$k_{zy} = 0,6 \times k_{yy} = 0,6 \times 0,99 = 0,59$$

$$k_{zz} = \min \left\{ C_{mz} \times \left[1 + (2 \times \lambda_{rel,z} - 0,6) \times \frac{N_{Ed}}{\chi_z \times \frac{N_{Rk}}{\gamma_{M1}}} \right]; C_{mz} \times \left(1 + 1,4 \times \frac{N_{Ed}}{\chi_z \times \frac{N_{Rk}}{\gamma_{M1}}} \right) \right\}$$

$$= \min \left\{ 0,43 \times \left[1 + (2 \times 0,46 - 0,6) \times \frac{122,70[\text{kN}]}{0,94 \times \frac{2098,55[\text{kN}]}{1,00}} \right]; 0,43 \times \left(1 + 1,4 \times \frac{122,70[\text{kN}]}{0,94 \times \frac{2098,55[\text{kN}]}{1,00}} \right) \right\}$$

$$= \min \{0,44; 0,47\} = 0,44$$

$$\text{Posudek (6.61)} = \frac{|N_{Ed}|}{\chi_y \times \frac{N_{Rk}}{\gamma_{M1}}} + k_{yy} \times \frac{|M_{y,Ed}| + |\Delta M_{y,Ed}|}{\chi_{LT} \times \frac{M_{y,Rk}}{\gamma_{M1}}} + k_{yz} \times \frac{|M_{z,Ed}| + |\Delta M_{z,Ed}|}{\frac{M_{z,Rk}}{\gamma_{M1}}}$$

$$= \frac{122,70[\text{kN}]}{0,47 \times \frac{2098,55[\text{kN}]}{1,00}} + 0,99 \times \frac{32,39[\text{kNm}] + |0,00[\text{kNm}]|}{1,00 \times \frac{119,14[\text{kNm}]}{1,00}} + 0,26 \times \frac{|0,00[\text{kNm}]}{119,14[\text{kNm}]} + |0,00[\text{kNm}]|}{1,00} = 0,39 \leq 1,00 \quad (\text{EC3-1-1: 6.61})$$

$$\text{Posudek (6.62)} = \frac{|N_{Ed}|}{\chi_z \times \frac{N_{Rk}}{\gamma_{M1}}} + k_{zy} \times \frac{|M_{y,Ed}| + |\Delta M_{y,Ed}|}{\chi_{LT} \times \frac{M_{y,Rk}}{\gamma_{M1}}} + k_{zz} \times \frac{|M_{z,Ed}| + |\Delta M_{z,Ed}|}{\frac{M_{z,Rk}}{\gamma_{M1}}}$$

$$= \frac{122,70[\text{kN}]}{0,94 \times \frac{2098,55[\text{kN}]}{1,00}} + 0,59 \times \frac{32,39[\text{kNm}] + |0,00[\text{kNm}]|}{1,00 \times \frac{119,14[\text{kNm}]}{1,00}} + 0,44 \times \frac{|0,00[\text{kNm}]}{119,14[\text{kNm}]} + |0,00[\text{kNm}]|}{1,00} = 0,22 \leq 1,00 \quad (\text{EC3-1-1: 6.62})$$

$$\text{Jedn. posudek} = \max(\text{Posudek (6.61); Posudek (6.62)}) = \max(0,39; 0,22) = 0,39 \leq 1,00$$

Prvek splňuje podmínky stabilitního posudku.

Posudek EN 1993-1-1

Národní dodatek: Česká CSN-EN NA

REKONSTRUKCE VÝPRAVNÍ BUDOVY V ŽST. TÁBOR

DOKUMENTACE PRO PROVÁDĚNÍ STAVBY

Dílec B179	0,000 / 5,000 m	BRFL350X5	Válcovaný	S 235	MSÚ-Sada B (auto)	0,00 -
------------	-----------------	-----------	-----------	-------	-------------------	--------

Klíč kombinace
MSÚ-Sada B (auto) / 1.15*ZS1 + 1.15*ZS2 + 1.50*ZS6 + 1.15*ZS7

Dílčí souč. spolehlivosti		
Únosnost průřezů	γ_{M0}	1,00
Únosnost na stabilitu	γ_{M1}	1,00
Únosnost čistého průřezu	γ_{M2}	1,25

Materiál			
Mez kluzu	f_y	235,0	MPa
Pevnosť v tahu	f_u	360,0	MPa

....POSUDEK ÚNOSNOSTI:....

Kritický posudek je na pozici 0,000 m

Definice osy:

- hlavní osa y v tomto posudku se vztahuje k hlavní ose z programu SCIA Engineer.
- hlavní osa z v tomto posudku se vztahuje k hlavní ose y programu SCIA Engineer.

Vnitřní síly		Vypočtené	Jednotka
Osová síla	N_{Ed}	0,00	kN
Smyková síla	$V_{y,Ed}$	0,00	kN
Smyková síla	$V_{z,Ed}$	0,00	kN
Kroucení	T_{Ed}	0,00	kNm
Ohybový moment	$M_{y,Ed}$	0,00	kNm
Ohybový moment	$M_{z,Ed}$	0,00	kNm

Klasifikace pro návrh průřezu

Klasifikace podle EN 1993-1-1 článku 5.5.2

Klasifikace vnitřních a vnějších částí podle EN 1993-1-1 tabulky 5.2 listu 1 a 2

Id	Typ	c [mm]	t [mm]	σ_1 [kN/m²]	σ_2 [kN/m²]	ψ [-]	k_σ [-]	α [-]	c/t [-]	Třída 1 limit [-]	Třída 2 limit [-]	Třída 3 limit [-]	Třída
1	I	350	5	0,710	0,710	1,0		1,0	70,0	28,0	34,0	38,0	4

Průřez je klasifikován třídou 4

Poznámka: Limity klasifikace byly nastaveny podle Semi-Comp+.

Efektivní průřez N-

Výpočet efektivní šířky

Podle EN 1993-1-5 čl. 4.4

Id	Typ	b_p [mm]	σ_1 [kN/m²]	σ_2 [kN/m²]	ψ [-]	k_σ [-]	λ_p [-]	ρ [-]	b_e [mm]	b_{e1} [mm]	b_{e2} [mm]
1	I	350	235000,000	235000,000	1,0	4,0	1,2	0,7	233	117	117

Efektivní vlastnosti						
Efektivní plocha	A_{eff}	1,1665e-03	m²			
Efektivní moment setrvačnosti	$I_{eff,y}$	1,7865e-05	m⁴	$I_{eff,z}$	2,4302e-09	m⁴
Efektivní modul průřezu	$W_{eff,y}$	1,0208e-04	m³	$W_{eff,z}$	9,7209e-07	m³
Posun těžiště	$e_{u,v}$	0	mm	$e_{u,z}$	0	mm

Posudek na tlak

Podle EN 1993-1-1 článku 6.2.4 a rovnice (6.9)

$$N_{c,Rd} = \frac{A_{eff} \times f_y}{\gamma_{M0}} = \frac{1,1665 \cdot 10^{-3} [m^2] \times 235,0 [MPa]}{1,00} = 274,13 [kN] \quad (EC3-1-1: 6.11)$$

$$\text{Jedn. posudek} = \frac{|N_{Ed}|}{N_{c,Rd}} = \frac{|0,00 [kN]|}{274,13 [kN]} = 0,00 \leq 1,00 \quad (EC3-1-1: 6.9)$$

Prvek splňuje podmínky posudku průřezu.

....POSUDEK STABILITY:....

Klasifikace pro návrh dílce na vzpěr

Rozhodující poloha pro klasifikaci stability: 0,000 m

REKONSTRUKCE VÝPRAVNÍ BUDOVY V ŽST. TÁBOR

DOKUMENTACE PRO PROVÁDĚNÍ STAVBY

Rozhodující součinitel využití η : 0,00

Klasifikace podle EN 1993-1-1 článku 5.5.2

Klasifikace vnitřních a vnějších částí podle EN 1993-1-1 tabulky 5.2 listu 1 a 2

Id	Typ	c [mm]	t [mm]	σ_1 [kN/m ²]	σ_2 [kN/m ²]	ψ [-]	k_φ [-]	α [-]	c/t [-]	Třída 1 limit [-]	Třída 2 limit [-]	Třída 3 limit [-]	Třída
1	I	350	5	0,710	0,710	1,0		1,0	70,0	28,0	34,0	38,0	4

Průřez je klasifikován třídou 4

Poznámka: Limity klasifikace byly nastaveny podle Semi-Comp+.

Poznámka: Rozhodující poloha pro klasifikaci stability je založena na součiniteli využití η podle Semi-Comp+.

Posudek rovinného vzpěru

Podle EN 1993-1-1 článku 6.3.1.1 a rovnice (6.46)

$$N_{cr,y} = \frac{\pi^2 \times E \times I_y}{l_{cr,y}^2} = \frac{\pi^2 \times 210000,0 [\text{MPa}] \times 1,7865 \cdot 10^{-5} [\text{m}^4]}{5,000 [\text{m}]^2} = 1481,13 [\text{kN}]$$

$$N_{cr,z} = \frac{\pi^2 \times E \times I_z}{l_{cr,z}^2} = \frac{\pi^2 \times 210000,0 [\text{MPa}] \times 3,6458 \cdot 10^{-9} [\text{m}^4]}{5,000 [\text{m}]^2} = 0,30 [\text{kN}]$$

$$\lambda_y = \frac{l_{cr,y}}{i_y} = \frac{5,000 [\text{m}]}{101 [\text{mm}]} = 49,49$$

$$\lambda_z = \frac{l_{cr,z}}{i_z} = \frac{5,000 [\text{m}]}{1 [\text{mm}]} = 3464,10$$

$$\lambda_{rel,y} = \frac{\lambda_y \times \sqrt{\frac{A_{eff}}{A}}}{\pi \times \sqrt{\frac{E}{f_y}}} = \frac{49,49 \times \sqrt{\frac{1,1665 \cdot 10^{-3} [\text{m}^2]}{1,7500 \cdot 10^{-3} [\text{m}^2]}}}{\pi \times \sqrt{\frac{210000,0 [\text{MPa}]}{235,0 [\text{MPa}]}}} = 0,43 \quad (\text{EC3-1-1: 6.51})$$

$$\lambda_{rel,z} = \frac{\lambda_z \times \sqrt{\frac{A_{eff}}{A}}}{\pi \times \sqrt{\frac{E}{f_y}}} = \frac{3464,10 \times \sqrt{\frac{1,1665 \cdot 10^{-3} [\text{m}^2]}{1,7500 \cdot 10^{-3} [\text{m}^2]}}}{\pi \times \sqrt{\frac{210000,0 [\text{MPa}]}{235,0 [\text{MPa}]}}} = 30,12 \quad (\text{EC3-1-1: 6.51})$$

Posudek prostorového vzpěru

Podle EN 1993-1-1 článku 6.3.1.1 a rovnice (6.46)

$$N_{cr,T} = \frac{1}{i_0^2} \times \left(G \times I_t + \frac{\pi^2 \times E \times I_w}{l_{cr}^2} \right) = \frac{1}{101 [\text{mm}]^2} \times \left(80769,2 [\text{MPa}] \times 1,4583 \cdot 10^{-8} [\text{m}^4] + \frac{\pi^2 \times 210000,0 [\text{MPa}] \times 0,0000 [\text{m}^6]}{5,000 [\text{m}]^2} \right) = 115,36 [\text{kN}]$$

$$\lambda_{rel,T} = \sqrt{\frac{A \times f_y}{N_{cr}}} \times \sqrt{\frac{A_{eff}}{A}} = \sqrt{\frac{1,7500 \cdot 10^{-3} [\text{m}^2] \times 235,0 [\text{MPa}]}{115,36 [\text{kN}]}} \times \sqrt{\frac{1,1665 \cdot 10^{-3} [\text{m}^2]}{1,7500 \cdot 10^{-3} [\text{m}^2]}} = 1,54$$

Poznámka: Štíhlost nebo velikost tlakové síly umožňují ignorovat účinky prostorového vzpěru podle EN 1993-1-1 článek 6.3.1.2(4)

Prvek splňuje podmínky stabilitního posudku.

Posudek EN 1993-1-1

Národní dodatek: Česká CSN-EN NA

Dílec B183	0,100 / 0,550 m	HEB220	Válcovaný	S 235	MSÚ-Sada B (auto)	0,26 -
------------	-----------------	--------	-----------	-------	-------------------	--------

Klíč kombinace

MSÚ-Sada B (auto) / 1.15*ZS1 + 1.15*ZS2 + 1.50*ZS6 + 1.15*ZS7 + 0.90*ZS8

Dílčí souč. spolehlivosti

Únosnost průřezů	γ_{M0}	1,00
Únosnost na stabilitu	γ_{M1}	1,00
Únosnost čistého průřezu	γ_{M2}	1,25

Materiál

Mez kluzu	f_y	235,0	MPa
Pevnost v tahu	f_u	360,0	MPa

...:POSUDEK ÚNOSNOSTI:...

REKONSTRUKCE VÝPRAVNÍ BUDOVY V ŽST. TÁBOR

DOKUMENTACE PRO PROVÁDĚNÍ STAVBY

Kritický posudek je na pozici 0,100 m

Vnitřní síly		Vypočtené	Jednotka
Osová síla	N_{Ed}	0,78	kN
Smyková síla	$V_{y,Ed}$	0,00	kN
Smyková síla	$V_{z,Ed}$	38,38	kN
Kroucení	T_{Ed}	0,00	kNm
Ohybový moment	$M_{y,Ed}$	-51,38	kNm
Ohybový moment	$M_{z,Ed}$	0,00	kNm

Klasifikace pro návrh průřezu

Klasifikace podle EN 1993-1-1 článku 5.5.2

Klasifikace vnitřních a vnějších částí podle EN 1993-1-1 tabulky 5.2 listu 1 a 2

Id	Typ	c [mm]	t [mm]	σ_1 [kN/m ²]	σ_2 [kN/m ²]	ψ [-]	k_r [-]	α [-]	c/t [-]	Třída 1 limit [-]	Třída 2 limit [-]	Třída 3 limit [-]	Třída
1	SO	87	16	64673,025	64673,415	1,0	0,4	1,0	5,5	9,0	10,0	13,8	1
3	SO	87	16	64672,822	64672,432	1,0	0,4	1,0	5,5	9,0	10,0	13,8	1
4	I	152	10	48165,702	-48338,056	-1,0		0,5	16,0	72,2	83,2	124,4	1
5	SO	87	16	-64845,379	-64845,769								
7	SO	87	16	-64845,176	-64844,786								

Průřez je klasifikován třídou 1

Poznámka: Limity klasifikace byly nastaveny podle Semi-Comp+.

Vlastnosti průřezu			
A	9,1040e-03 m ²		
A_y/A	0,74	A_z/A	0,24
I_y	8,0910e-05 m ⁴	I_z	2,8430e-05 m ⁴
I_{yz}	2,7105e-20 m ⁴	I_x	7,6570e-07 m ⁴
I_w	2,9542e-07 m ⁶		
$W_{el,y}$	7,3550e-04 m ³	$W_{el,z}$	2,5850e-04 m ³
$W_{pl,y}$	8,2700e-04 m ³	$W_{pl,z}$	3,9390e-04 m ³
c_y	110 mm	c_z	110 mm
d_y	0 mm	d_z	0 mm

Posudek na tah

Podle EN 1993-1-1 článku 6.2.3 a rovnice (6.5)

$$N_{pl,Rd} = \frac{A \times f_y}{\gamma_{M0}} = \frac{9,1040 \cdot 10^{-3} [m^2] \times 235,0 [MPa]}{1,00} = 2139,44 [kN] \quad (EC3-1-1: 6.6)$$

$$N_{u,Rd} = \frac{0,9 \times A \times f_u}{\gamma_{M2}} = \frac{0,9 \times 9,1040 \cdot 10^{-3} [m^2] \times 360,0 [MPa]}{1,25} = 2359,76 [kN] \quad (EC3-1-1: 6.7)$$

$$N_{t,Rd} = \min(N_{pl,Rd}; N_{u,Rd}) = \min(2139,44 [kN]; 2359,76 [kN]) = 2139,44 [kN]$$

$$\text{Jedn. posudek} = \frac{N_{Ed}}{N_{t,Rd}} = \frac{0,78 [kN]}{2139,44 [kN]} = 0,00 \leq 1,00 \quad (EC3-1-1: 6.5)$$

Posudek ohybového momentu pro M_y

Podle EN 1993-1-1 článku 6.2.5 a rovnice (6.12), (6.13)

$$M_{pl,y,Rd} = \frac{W_{pl,y} \times f_y}{\gamma_{M0}} = \frac{8,2700 \cdot 10^{-4} [m^3] \times 235,0 [MPa]}{1,00} = 194,34 [kNm] \quad (EC3-1-1: 6.13)$$

$$\text{Jedn. posudek} = \frac{|M_{y,Ed}|}{M_{pl,y,Rd}} = \frac{|-51,38 [kNm]|}{194,34 [kNm]} = 0,26 \leq 1,00 \quad (EC3-1-1: 6.12)$$

Posudek ohybového momentu pro M_z

Podle EN 1993-1-1 článku 6.2.5 a rovnice (6.12), (6.13)

$$M_{pl,z,Rd} = \frac{W_{pl,z} \times f_y}{\gamma_{M0}} = \frac{3,9390 \cdot 10^{-4} [m^3] \times 235,0 [MPa]}{1,00} = 92,57 [kNm] \quad (EC3-1-1: 6.13)$$

$$\text{Jedn. posudek} = \frac{|M_{z,Ed}|}{M_{pl,z,Rd}} = \frac{|0,00 [kNm]|}{92,57 [kNm]} = 0,00 \leq 1,00 \quad (EC3-1-1: 6.12)$$

Posudek smyku pro V_z

Podle EN 1993-1-1 článku 6.2.6 a rovnice (6.17)

$$V_{pl,z,Rd} = \frac{A_v \times \frac{f_y}{\sqrt{3}}}{\gamma_{M0}} = \frac{2,7920 \cdot 10^{-3} [m^2] \times \frac{235,0 [MPa]}{\sqrt{3}}}{1,00} = 378,81 [kN] \quad (EC3-1-1: 6.18)$$

REKONSTRUKCE VÝPRAVNÍ BUDOVY V ŽST. TÁBOR

DOKUMENTACE PRO PROVÁDĚNÍ STAVBY

$$\text{Jedn. posudek} = \frac{|V_{z,Ed}|}{V_{c,z,Rd}} = \frac{|38,38[\text{kN}]|}{378,81[\text{kN}]} = \mathbf{0,10 \leq 1,00} \quad (\text{EC3-1-1: 6.17})$$

Posudek kroucení

Podle EN 1993-1-1 článku 6.2.7 a rovnice (6.23)

$$\tau_{Ed} = \left| \frac{T_{Ed}}{T_{Ed,unit}} \times \tau_{Ed,unit} \right| = \left| \frac{0,00[\text{kNm}]}{1,00[\text{kNm}]} \times 20896,456[\text{kN/m}^2] \right| = 0,0[\text{MPa}]$$

$$\tau_{Rd} = \frac{f_y}{\sqrt{3} \times \gamma_{M0}} = \frac{235,0[\text{MPa}]}{\sqrt{3} \times 1,00} = 135,7[\text{MPa}]$$

$$\text{Jedn. posudek} = \frac{\tau_{Ed}}{\tau_{Rd}} = \frac{0,0[\text{MPa}]}{135,7[\text{MPa}]} = \mathbf{0,00 \leq 1,00} \quad (\text{EC3-1-1: 6.23})$$

Poznámka: Jednotkový posudek pro kroucení je menší než limitní hodnota 0,05. Kroucení se proto považuje za nevýznamné a je v kombinovaných posudcích zanedbáno.

Posudek na kombinaci ohybu, osově a smykové síly

Podle EN 1993-1-1 článku 6.2.9.1 a rovnice (6.41)

$$M_{pl,y,Rd} = \frac{W_{pl,y} \times f_y}{\gamma_{M0}} = \frac{8,2700 \cdot 10^{-4}[\text{m}^3] \times 235,0[\text{MPa}]}{1,00} = 194,34[\text{kNm}] \quad (\text{EC3-1-1: 6.13})$$

$$\alpha = 2,00$$

$$M_{pl,z,Rd} = \frac{W_{pl,z} \times f_y}{\gamma_{M0}} = \frac{3,9390 \cdot 10^{-4}[\text{m}^3] \times 235,0[\text{MPa}]}{1,00} = 92,57[\text{kNm}] \quad (\text{EC3-1-1: 6.13})$$

$$\beta = 1,00$$

$$\text{Jedn. posudek} = \left(\frac{|M_{y,Ed}|}{M_{pl,y,Rd}} \right)^\alpha + \left(\frac{|M_{z,Ed}|}{M_{pl,z,Rd}} \right)^\beta = \left(\frac{|-51,38[\text{kNm}]|}{194,34[\text{kNm}]} \right)^{2,00} + \left(\frac{|0,00[\text{kNm}]|}{92,57[\text{kNm}]} \right)^{1,00} = \mathbf{0,07 \leq 1,00} \quad (\text{EC3-1-1: 6.41})$$

Poznámka: Protože smykové síly jsou menší než polovina plastické smykové únosnosti, jejich vliv na momentovou únosnost se zanedbává.

Poznámka: Protože osová síla splňuje podmínku (6.33) i (6.34) z EN 1993-1-1 článku 6.2.9.1(4)

její vliv na momentovou únosnost kolem osy y-y se zanedbává.

Poznámka: Protože osová síla splňuje podmínku (6.35) z EN 1993-1-1 článku 6.2.9.1(4)

její vliv na momentovou únosnost kolem osy z-z se zanedbává.

Prvek splňuje podmínky posudku průřezu.

....:POSUDEK STABILITY:....

Klasifikace pro návrh dílce na vzpěr

Poznámka: Pro tento průřez je klasifikace pro návrh průřezu použita také pro návrh ztráty stability dílce.

=> průřez klasifikován jako třída 1 pro návrh dílce na vzpěr

Posudek klopení

Podle EN 1993-1-1 článku 6.3.2.1 & 6.3.2.3 a rovnice (6.54)

$$M_{cr} = C_1 \times \frac{\pi^2 \times E \times I_z}{l_{iT}^2} \times \left[\sqrt{\left(\frac{k}{k_w} \right)^2 \times \frac{I_w}{I_z} + \frac{l_{iT}^2 \times G \times I_t}{\pi^2 \times E \times I_z}} + (C_2 \times z_g - C_3 \times z_i)^2 - (C_2 \times z_g - C_3 \times z_i) \right] = 1,23$$

$$\times \frac{\pi^2 \times 210000,0[\text{MPa}] \times 2,8430 \cdot 10^{-5}[\text{m}^4]}{0,550[\text{m}]^2}$$

$$\times \left[\sqrt{\left(\frac{1,00}{1,00} \right)^2 \times \frac{2,9542 \cdot 10^{-7}[\text{m}^6]}{2,8430 \cdot 10^{-5}[\text{m}^4]} + \frac{0,550[\text{m}]^2 \times 80769,2[\text{MPa}] \times 7,6570 \cdot 10^{-7}[\text{m}^4]}{\pi^2 \times 210000,0[\text{MPa}] \times 2,8430 \cdot 10^{-5}[\text{m}^4]} + (0,01 \times 0[\text{mm}] - 1,00 \times 0[\text{mm}])^2 - (0,01 \times 0[\text{mm}] - 1,00 \times 0[\text{mm}])} \right]$$

$$= 24715,25[\text{kNm}]$$

$$\lambda_{rel,LT} = \sqrt{\frac{W_{pl,y} \times f_y}{M_{cr}}} = \sqrt{\frac{8,2700 \cdot 10^{-4}[\text{m}^3] \times 235,0[\text{MPa}]}{24715,25[\text{kNm}]} } = 0,09$$

Poznámka: Štíhlost nebo ohybový moment umožňují ignorovat

účinky klopení podle EN 1993-1-1 článek 6.3.2.2(4)

Poznámka: Parametry C se určí podle ECCS 119 2006 / Galea 2002

Posudek ztráty stability od smyku

Podle EN 1993-1-5 článku 5 & 7.1 a rovnice (5.10) & (7.1)

$$h_w/t = \frac{h_w}{t} = \frac{188[\text{mm}]}{10[\text{mm}]} = 19,79$$

$$\text{limitní } h_w/t = \frac{72 \times \varepsilon}{\eta} = \frac{72 \times 1,00}{1,20} = 60,00$$

Poznámka: Štíhlost stojiny umožňuje ignorovat účinky smykové ztráty stability podle EN 1993-1-5 čl. 5.1(2).

Prvek splňuje podmínky stabilitního posudku.

REKONSTRUKCE VÝPRAVNÍ BUDOVY V ŽST. TÁBOR

DOKUMENTACE PRO PROVÁDĚNÍ STAVBY

Posudek EN 1993-1-1

Národní dodatek: Česká CSN-EN NA

Dílec B189	0,000 / 1,550 m	SHS120/120/10.0	Válcovaný	S 235	MSÚ-Sada B (auto)	B	0,86 -
------------	-----------------	-----------------	-----------	-------	-------------------	---	--------

Klíč kombinace
MSÚ-Sada B (auto) / 1.15*ZS1 + 1.15*ZS2 + 1.50*ZS6 + 1.15*ZS7 + 0.90*ZS8

Díleční souč. spolehlivosti		
Únosnost průřezů	γ_{M0}	1,00
Únosnost na stabilitu	γ_{M1}	1,00
Únosnost čistého průřezu	γ_{M2}	1,25

Materiál			
Mez kluzu	f_y	235,0	MPa
Pevnosť v tahu	f_u	360,0	MPa

...:POSUDEK ÚNOSNOSTI:...

Kritický posudek je na pozici 0,000 m

Vnitřní síly		Vypočtené	Jednotka
Osová síla	N_{Ed}	-25,12	kN
Smyková síla	$V_{y,Ed}$	0,00	kN
Smyková síla	$V_{z,Ed}$	-34,56	kN
Kroucení	T_{Ed}	0,00	kNm
Ohybový moment	$M_{y,Ed}$	35,40	kNm
Ohybový moment	$M_{z,Ed}$	0,00	kNm

Klasifikace pro návrh průřezu

Klasifikace podle EN 1993-1-1 článku 5.5.2

Klasifikace vnitřních a vnějších částí podle EN 1993-1-1 tabulky 5.2 listu 1 a 2

Id	Typ	c [mm]	t [mm]	σ_1 [kN/m ²]	σ_2 [kN/m ²]	ψ [-]	k_r [-]	α [-]	c/t [-]	Třída 1 limit [-]	Třída 2 limit [-]	Třída 3 limit [-]	Třída
1	I	90	10	-222673,289	-222673,254								
3	I	90	10	-181122,937	192829,890	-0,9		0,5	9,0	68,6	79,4	116,2	1
5	I	90	10	234380,200	234380,165	1,0		1,0	9,0	28,0	34,0	38,0	1
7	I	90	10	192829,847	-181122,979	-0,9		0,5	9,0	68,6	79,4	116,2	1

Průřez je klasifikován třídou 1

Poznámka: Limity klasifikace byly nastaveny podle Semi-Comp+.

Posudek na tlak

Podle EN 1993-1-1 článku 6.2.4 a rovnice (6.9)

$$N_{c,Rd} = \frac{A \times f_y}{\gamma_{M0}} = \frac{4,2900 \cdot 10^{-3} [m^2] \times 235,0 [MPa]}{1,00} = 1008,15 [kN] \quad (EC3-1-1: 6.10)$$

$$\text{Jedn. posudek} = \frac{|N_{Ed}|}{N_{c,Rd}} = \frac{|-25,12 [kN]|}{1008,15 [kN]} = 0,02 \leq 1,00 \quad (EC3-1-1: 6.9)$$

Posudek ohybového momentu pro M_y

Podle EN 1993-1-1 článku 6.2.5 a rovnice (6.12), (6.13)

$$M_{pl,y,Rd} = \frac{W_{pl,y} \times f_y}{\gamma_{M0}} = \frac{1,7500 \cdot 10^{-4} [m^3] \times 235,0 [MPa]}{1,00} = 41,13 [kNm] \quad (EC3-1-1: 6.13)$$

$$\text{Jedn. posudek} = \frac{|M_{y,Ed}|}{M_{pl,y,Rd}} = \frac{|35,40 [kNm]|}{41,13 [kNm]} = 0,86 \leq 1,00 \quad (EC3-1-1: 6.12)$$

Posudek smyku pro V_z

Podle EN 1993-1-1 článku 6.2.6 a rovnice (6.17)

$$V_{pl,z,Rd} = \frac{A_v \times \frac{f_y}{\sqrt{3}}}{\gamma_{M0}} = \frac{2,1450 \cdot 10^{-3} [m^2] \times \frac{235,0 [MPa]}{\sqrt{3}}}{1,00} = 291,03 [kN] \quad (EC3-1-1: 6.18)$$

$$\text{Jedn. posudek} = \frac{|V_{z,Ed}|}{V_{pl,z,Rd}} = \frac{|-34,56 [kN]|}{291,03 [kN]} = 0,12 \leq 1,00 \quad (EC3-1-1: 6.17)$$

Posudek na kombinaci ohybu, osově a smykové síly

Podle EN 1993-1-1 článku 6.2.9.1 a rovnice (6.41)

REKONSTRUKCE VÝPRAVNÍ BUDOVY V ŽST. TÁBOR

DOKUMENTACE PRO PROVÁDĚNÍ STAVBY

$$M_{N,y,Rd} = \min \left[\frac{M_{pl,y,Rd} \times (1 - n)}{1 - 0,5 \times \text{ratio}_{A,w}}; M_{pl,y,Rd} \right] = \min \left[\frac{41,13[\text{kNm}] \times (1 - 0,02)}{1 - 0,5 \times 0,44}; 41,13[\text{kNm}] \right]$$

$$= \min [51,43[\text{kNm}]; 41,13[\text{kNm}]] = 41,13[\text{kNm}] \quad (\text{EC3-1-1: 6.39})$$

$$\alpha = \max \left[\min \left(\frac{1,66}{1 - 1,13 \times n^2}; 6 \right); 1 \right] = \max \left[\min \left(\frac{1,66}{1 - 1,13 \times 0,02^2}; 6 \right); 1 \right] = \max [\min (1,66; 6,00); 1,00]$$

$$= 1,66$$

$$M_{N,z,Rd} = \min \left[\frac{M_{pl,z,Rd} \times (1 - n)}{1 - 0,5 \times \text{ratio}_{A,f}}; M_{pl,z,Rd} \right] = \min \left[\frac{41,13[\text{kNm}] \times (1 - 0,02)}{1 - 0,5 \times 0,44}; 41,13[\text{kNm}] \right]$$

$$= \min [51,43[\text{kNm}]; 41,13[\text{kNm}]] = 41,13[\text{kNm}] \quad (\text{EC3-1-1: 6.40})$$

$$\beta = \max \left[\min \left(\frac{1,66}{1 - 1,13 \times n^2}; 6 \right); 1 \right] = \max \left[\min \left(\frac{1,66}{1 - 1,13 \times 0,02^2}; 6 \right); 1 \right] = \max [\min (1,66; 6,00); 1,00] = 1,66$$

$$\text{Jedn. posudek} = \left(\frac{|M_{y,Ed}|}{M_{N,y,Rd}} \right)^\alpha + \left(\frac{|M_{z,Ed}|}{M_{N,z,Rd}} \right)^\beta = \left(\frac{|35,40[\text{kNm}]|}{41,13[\text{kNm}]} \right)^{1,66} + \left(\frac{|0,00[\text{kNm}]|}{41,13[\text{kNm}]} \right)^{1,66} = 0,78 \leq 1,00 \quad (\text{EC3-1-1: 6.41})$$

Poznámka: Protože smykové síly jsou menší než polovina plastické smykové únosnosti, jejich vliv na momentovou únosnost se zanedbává.

Prvek splňuje podmínky posudku průřezu.

...:POSUDEK STABILITY:...

Klasifikace pro návrh dílce na vzpěr

Rozhodující poloha pro klasifikaci stability: 0,000 m

Rozhodující součinitel využití η : 0,86

Klasifikace podle EN 1993-1-1 článku 5.5.2

Klasifikace vnitřních a vnějších částí podle EN 1993-1-1 tabulky 5.2 listu 1 a 2

Id	Typ	c [mm]	t [mm]	σ_1 [kN/m ²]	σ_2 [kN/m ²]	Ψ [-]	k_σ [-]	α [-]	c/t [-]	Třída 1 limit [-]	Třída 2 limit [-]	Třída 3 limit [-]	Třída
1	I	90	10	-222673,289	-222673,254								
3	I	90	10	-181122,937	192829,890	-0,9		0,5	9,0	68,6	79,4	116,2	1
5	I	90	10	234380,200	234380,165	1,0		1,0	9,0	28,0	34,0	38,0	1
7	I	90	10	192829,847	-181122,979	-0,9		0,5	9,0	68,6	79,4	116,2	1

Průřez je klasifikován třídou 1

Poznámka: Limity klasifikace byly nastaveny podle Semi-Comp+.

Poznámka: Rozhodující poloha pro klasifikaci stability je založena na součiniteli využití η podle Semi-Comp+.

Posudek rovinného vzpěru

Podle EN 1993-1-1 článku 6.3.1.1 a rovnice (6.46)

$$N_{cr,y} = \frac{\pi^2 \times E \times I_y}{l_{cr,y}^2} = \frac{\pi^2 \times 210000,0[\text{MPa}] \times 8,5200 \cdot 10^{-6}[\text{m}^4]}{3,160[\text{m}]^2} = 1768,75[\text{kN}]$$

$$N_{cr,z} = \frac{\pi^2 \times E \times I_z}{l_{cr,z}^2} = \frac{\pi^2 \times 210000,0[\text{MPa}] \times 8,5200 \cdot 10^{-6}[\text{m}^4]}{1,055[\text{m}]^2} = 15875,24[\text{kN}]$$

$$\lambda_y = \frac{l_{cr,y}}{i_y} = \frac{3,160[\text{m}]}{45[\text{mm}]} = 70,90$$

$$\lambda_z = \frac{l_{cr,z}}{i_z} = \frac{1,055[\text{m}]}{45[\text{mm}]} = 23,67$$

$$\lambda_{rel,y} = \frac{\lambda_y}{\pi \times \sqrt{\frac{E}{f_y}}} = \frac{70,90}{\pi \times \sqrt{\frac{210000,0[\text{MPa}]}{235,0[\text{MPa}]}}} = 0,75 \quad (\text{EC3-1-1: 6.50})$$

$$\lambda_{rel,z} = \frac{\lambda_z}{\pi \times \sqrt{\frac{E}{f_y}}} = \frac{23,67}{\pi \times \sqrt{\frac{210000,0[\text{MPa}]}{235,0[\text{MPa}]}}} = 0,25 \quad (\text{EC3-1-1: 6.50})$$

Posudek prostorového vzpěru

Podle EN 1993-1-1 článku 6.3.1.1 a rovnice (6.46)

Poznámka: Průřez se týká obdélníkové trubky, která není náchylná k prostorovému vzpěru.

Posudek klopení

Podle EN 1993-1-1 článku 6.3.2.1

Poznámka: Jedná se o obdélníkovou trubku 'h / b < 10 / $\lambda_{rel,z}$ '.

Tento průřez není náchylný ke klopení.

REKONSTRUKCE VÝPRAVNÍ BUDOVY V ŽST. TÁBOR

DOKUMENTACE PRO PROVÁDĚNÍ STAVBY

Posudek ohybu a osového tlaku

Podle EN 1993-1-1 článku 6.3.3 a rovnice (6.61), (6.62)

Maximální moment $M_{y,Ed}$ je odvozen z nosníku B189 pozice 0,000 m.

Maximální moment $M_{z,Ed}$ je odvozen z nosníku B189 pozice 1,060 m.

$$\chi_z = \min(\chi_z; \chi) = \min(1,00; 1,00) = 1,00$$

$$C_{my} = 0,90$$

$$C_{mz} = \max(0,6 + 0,4 \times \psi_z; 0,4) = \max(0,6 + 0,4 \times 0,02; 0,4) = \max(0,61; 0,40) = 0,61$$

$$C_{mLT} = \max(0,6 + 0,4 \times \psi_{LT}; 0,4) = \max(0,6 + 0,4 \times -0,03; 0,4) = \max(0,59; 0,40) = 0,59$$

$$N_{Rk} = A \times f_y = 4,2900 \cdot 10^{-3} [m^2] \times 235,0 [MPa] = 1008,15 [kN]$$

$$M_{y,Rk} = W_{pl,y} \times f_y = 1,7500 \cdot 10^{-4} [m^3] \times 235,0 [MPa] = 41,13 [kNm]$$

$$M_{z,Rk} = W_{pl,z} \times f_y = 1,7500 \cdot 10^{-4} [m^3] \times 235,0 [MPa] = 41,13 [kNm]$$

$$k_{yy} = \min \left\{ C_{my} \times \left[1 + (\lambda_{rel,y} - 0,2) \times \frac{N_{Ed}}{\chi_y \times \frac{N_{Rk}}{\gamma_{M1}}} \right]; C_{my} \times \left(1 + 0,8 \times \frac{N_{Ed}}{\chi_y \times \frac{N_{Rk}}{\gamma_{M1}}} \right) \right\}$$

$$= \min \left\{ 0,90 \times \left[1 + (0,75 - 0,2) \times \frac{25,12 [kN]}{1,00 \times \frac{1008,15 [kN]}{1,00}} \right]; 0,90 \times \left(1 + 0,8 \times \frac{25,12 [kN]}{1,00 \times \frac{1008,15 [kN]}{1,00}} \right) \right\}$$

$$= \min \{0,91; 0,92\} = 0,91$$

$$k_{yz} = 0,6 \times k_{zz} = 0,6 \times 0,61 = 0,37$$

$$k_{zy} = 0,6 \times k_{yy} = 0,6 \times 0,91 = 0,55$$

$$k_{zz} = \min \left\{ C_{mz} \times \left[1 + (\lambda_{rel,z} - 0,2) \times \frac{N_{Ed}}{\chi_z \times \frac{N_{Rk}}{\gamma_{M1}}} \right]; C_{mz} \times \left(1 + 0,8 \times \frac{N_{Ed}}{\chi_z \times \frac{N_{Rk}}{\gamma_{M1}}} \right) \right\}$$

$$= \min \left\{ 0,61 \times \left[1 + (0,25 - 0,2) \times \frac{25,12 [kN]}{1,00 \times \frac{1008,15 [kN]}{1,00}} \right]; 0,61 \times \left(1 + 0,8 \times \frac{25,12 [kN]}{1,00 \times \frac{1008,15 [kN]}{1,00}} \right) \right\}$$

$$= \min \{0,61; 0,62\} = 0,61$$

$$\text{Posudek (6.61)} = \frac{|N_{Ed}|}{\chi_y \times \frac{N_{Rk}}{\gamma_{M1}}} + k_{yy} \times \frac{|M_{y,Ed}| + |\Delta M_{y,Ed}|}{\chi_{LT} \times \frac{M_{y,Rk}}{\gamma_{M1}}} + k_{yz} \times \frac{|M_{z,Ed}| + |\Delta M_{z,Ed}|}{\frac{M_{z,Rk}}{\gamma_{M1}}}$$

$$= \frac{|25,12 [kN]|}{1,00 \times \frac{1008,15 [kN]}{1,00}} + 0,91 \times \frac{|35,40 [kNm]| + |0,00 [kNm]|}{1,00 \times \frac{41,13 [kNm]}{1,00}} + 0,37 \times \frac{|0,00 [kNm]| + |0,00 [kNm]|}{\frac{41,13 [kNm]}{1,00}} = \mathbf{0,81 \leq 1,00} \quad (\text{EC3-1-1: 6.61})$$

$$\text{Posudek (6.62)} = \frac{|N_{Ed}|}{\chi_z \times \frac{N_{Rk}}{\gamma_{M1}}} + k_{zy} \times \frac{|M_{y,Ed}| + |\Delta M_{y,Ed}|}{\chi_{LT} \times \frac{M_{y,Rk}}{\gamma_{M1}}} + k_{zz} \times \frac{|M_{z,Ed}| + |\Delta M_{z,Ed}|}{\frac{M_{z,Rk}}{\gamma_{M1}}}$$

$$= \frac{|25,12 [kN]|}{1,00 \times \frac{1008,15 [kN]}{1,00}} + 0,55 \times \frac{|35,40 [kNm]| + |0,00 [kNm]|}{1,00 \times \frac{41,13 [kNm]}{1,00}} + 0,61 \times \frac{|0,00 [kNm]| + |0,00 [kNm]|}{\frac{41,13 [kNm]}{1,00}} = \mathbf{0,50 \leq 1,00} \quad (\text{EC3-1-1: 6.62})$$

$$\text{Jedn. posudek} = \max(\text{Posudek (6.61)}; \text{Posudek (6.62)}) = \max(0,81; 0,50) = \mathbf{0,81 \leq 1,00}$$

Prvek splňuje podmínky stabilitního posudku.

Posudek EN 1993-1-1

Národní dodatek: Česká CSN-EN NA

Dílec B209	2,500 / 5,000 m	SHS120/120/8.0	Válcovaný	S 235	MSÚ-Sada B (auto)	0,54 -
------------	-----------------	----------------	-----------	-------	-------------------	--------

Klíč kombinace	
MSÚ-Sada B (auto) / 1.15*ZS1 + 1.15*ZS2 + 1.50*ZS6 + 1.15*ZS7 + 0.90*ZS8	

Díleč souč. spolehlivosti		
Únosnost průřezů	γ_{M0}	1,00
Únosnost na stabilitu	γ_{M1}	1,00
Únosnost čistého průřezu	γ_{M2}	1,25

REKONSTRUKCE VÝPRAVNÍ BUDOVY V ŽST. TÁBOR

DOKUMENTACE PRO PROVÁDĚNÍ STAVBY

Materiál			
Mez kluzu	f_y	235,0	MPa
Pevnost v tahu	f_u	360,0	MPa

...:POSUDEK ÚNOSNOSTI:...

Kritický posudek je na pozici 2,500 m

Vnitřní síly		Vypočtené	Jednotka
Osová síla	N_{Ed}	0,00	kN
Smyková síla	$V_{y,Ed}$	0,00	kN
Smyková síla	$V_{z,Ed}$	0,00	kN
Kroucení	T_{Ed}	0,07	kNm
Ohybový moment	$M_{y,Ed}$	-18,65	kNm
Ohybový moment	$M_{z,Ed}$	-0,71	kNm

Klasifikace pro návrh průřezu

Klasifikace podle EN 1993-1-1 článku 5.5.2

Klasifikace vnitřních a vnějších částí podle EN 1993-1-1 tabulky 5.2 listu 1 a 2

Id	Typ	c [mm]	t [mm]	σ_1 [kN/m ²]	σ_2 [kN/m ²]	Ψ [-]	k_σ [-]	α [-]	c/t [-]	Třída 1 limit [-]	Třída 2 limit [-]	Třída 3 limit [-]	Třída
1	I	96	8	148579,030	139133,362	0,9		1,0	12,0	28,0	34,0	38,9	1
3	I	96	8	117795,337	-128815,294	-1,1		0,5	12,0	75,4	86,9	135,7	1
5	I	96	8	-148579,041	-139133,373								
7	I	96	8	-117795,348	128815,283	-0,9		0,5	12,0	67,3	78,0	113,2	1

Průřez je klasifikován třídou 1

Poznámka: Limity klasifikace byly nastaveny podle Semi-Comp+.

Posudek ohybového momentu pro M_y

Podle EN 1993-1-1 článku 6.2.5 a rovnice (6.12), (6.13)

$$M_{pl,y,Rd} = \frac{W_{pl,y} \times f_y}{\gamma_{M0}} = \frac{1,4600 \cdot 10^{-4} [m^3] \times 235,0 [MPa]}{1,00} = 34,31 [kNm] \quad (EC3-1-1: 6.13)$$

$$\text{Jedn. posudek} = \frac{|M_{y,Ed}|}{M_{pl,y,Rd}} = \frac{|-18,65 [kNm]|}{34,31 [kNm]} = 0,54 \leq 1,00 \quad (EC3-1-1: 6.12)$$

Posudek ohybového momentu pro M_z

Podle EN 1993-1-1 článku 6.2.5 a rovnice (6.12), (6.13)

$$M_{pl,z,Rd} = \frac{W_{pl,z} \times f_y}{\gamma_{M0}} = \frac{1,4600 \cdot 10^{-4} [m^3] \times 235,0 [MPa]}{1,00} = 34,31 [kNm] \quad (EC3-1-1: 6.13)$$

$$\text{Jedn. posudek} = \frac{|M_{z,Ed}|}{M_{pl,z,Rd}} = \frac{|-0,71 [kNm]|}{34,31 [kNm]} = 0,02 \leq 1,00 \quad (EC3-1-1: 6.12)$$

Posudek kroucení

Podle EN 1993-1-1 článku 6.2.7 a rovnice (6.23)

$$\tau_{Ed} = \left| \frac{T_{Ed}}{T_{Ed,unit}} \times \tau_{Ed,unit} \right| = \left| \frac{0,07 [kNm]}{1,00 [kNm]} \times 4982,462 [kN/m^2] \right| = 0,3 [MPa]$$

$$\tau_{Rd} = \frac{f_y}{\sqrt{3} \times \gamma_{M0}} = \frac{235,0 [MPa]}{\sqrt{3} \times 1,00} = 135,7 [MPa]$$

$$\text{Jedn. posudek} = \frac{\tau_{Ed}}{\tau_{Rd}} = \frac{0,3 [MPa]}{135,7 [MPa]} = 0,00 \leq 1,00 \quad (EC3-1-1: 6.23)$$

Poznámka: Jednotkový posudek pro kroucení je menší než limitní hodnota 0,05. Kroucení se proto považuje za nevýznamné a je v kombinovaných posudcích zanedbáno.

Posudek na kombinaci ohybu, osově a smykové síly

Podle EN 1993-1-1 článku 6.2.9.1 a rovnice (6.41)

$$M_{N,y,Rd} = \min \left[\frac{M_{pl,y,Rd} \times (1 - n)}{1 - 0,5 \times \text{ratio}_{A,w}}; M_{pl,y,Rd} \right] = \min \left[\frac{34,31 [kNm] \times (1 - 0,00)}{1 - 0,5 \times 0,45}; 34,31 [kNm] \right] \quad (EC3-1-1: 6.39)$$

$$= \min [44,40 [kNm]; 34,31 [kNm]] = 34,31 [kNm]$$

$$\alpha = \max \left[\min \left(\frac{1,66}{1 - 1,13 \times n^2}; 6 \right); 1 \right] = \max \left[\min \left(\frac{1,66}{1 - 1,13 \times 0,00^2}; 6 \right); 1 \right] = \max [\min (1,66; 6,00); 1,00]$$

$$= 1,66$$

$$M_{N,z,Rd} = \min \left[\frac{M_{pl,z,Rd} \times (1 - n)}{1 - 0,5 \times \text{ratio}_{A,f}}; M_{pl,z,Rd} \right] = \min \left[\frac{34,31 [kNm] \times (1 - 0,00)}{1 - 0,5 \times 0,45}; 34,31 [kNm] \right] \quad (EC3-1-1: 6.40)$$

$$= \min [44,40 [kNm]; 34,31 [kNm]] = 34,31 [kNm]$$

REKONSTRUKCE VÝPRAVNÍ BUDOVY V ŽST. TÁBOR

DOKUMENTACE PRO PROVÁDĚNÍ STAVBY

$$\beta = \max \left[\min \left(\frac{1,66}{1 - 1,13 \times n^2}; 6 \right); 1 \right] = \max \left[\min \left(\frac{1,66}{1 - 1,13 \times 0,00^2}; 6 \right); 1 \right] = \max [\min (1,66; 6,00); 1,00] = 1,66$$

$$\text{Jedn. posudek} = \left(\frac{|M_{y,Ed}|}{M_{N,y,Rd}} \right)^\alpha + \left(\frac{|M_{z,Ed}|}{M_{N,z,Rd}} \right)^\beta = \left(\frac{|-18,65[\text{kNm}]|}{34,31[\text{kNm}]} \right)^{1,66} + \left(\frac{|-0,71[\text{kNm}]|}{34,31[\text{kNm}]} \right)^{1,66} = \mathbf{0,37 \leq 1,00} \quad (\text{EC3-1-1: 6.41})$$

Prvek splňuje podmínky posudku průřezu.

....:POSUDEK STABILITY:....

Klasifikace pro návrh dílce na vzpěr

Rozhodující poloha pro klasifikaci stability: 2,500 m

Rozhodující součinitel využití η : 0,55

Klasifikace podle EN 1993-1-1 článku 5.5.2

Klasifikace vnitřních a vnějších částí podle EN 1993-1-1 tabulky 5.2 listu 1 a 2

Id	Typ	c [mm]	t [mm]	σ_1 [kN/m ²]	σ_2 [kN/m ²]	Ψ [-]	k_σ [-]	α [-]	c/t [-]	Třída 1 limit [-]	Třída 2 limit [-]	Třída 3 limit [-]	Třída
1	I	96	8	148579,030	139133,362	0,9		1,0	12,0	28,0	34,0	38,9	1
3	I	96	8	117795,337	-128815,294	-1,1		0,5	12,0	75,4	86,9	135,7	1
5	I	96	8	-148579,041	-139133,373								
7	I	96	8	-117795,348	128815,283	-0,9		0,5	12,0	67,3	78,0	113,2	1

Průřez je klasifikován třídou 1

Poznámka: Limity klasifikace byly nastaveny podle Semi-Comp+.

Poznámka: Rozhodující poloha pro klasifikaci stability je založena na součiniteli využití η podle Semi-Comp+.

Posudek klopení

Podle EN 1993-1-1 článku 6.3.2.1

Poznámka: Jedná se o obdélníkovou trubku 'h / b < 10 / $\lambda_{rel,z}$ '.

Tento průřez není náchylný ke klopení.

Prvek splňuje podmínky stabilitního posudku.

Posudek EN 1993-1-1

Národní dodatek: Česká CSN-EN NA

Dílec B232	2,450 / 4,700 m	HEA200	Válcovaný	S 235	MSÚ-Sada B (auto)	0,16 -
------------	-----------------	--------	-----------	-------	----------------------	--------

Klíč kombinace	
MSÚ-Sada B (auto) / 1.35*ZS1 + 1.35*ZS2 + 0.75*ZS6 + 1.35*ZS7 + 0.90*ZS8	

Dílčí souč. spolehlivosti		
Únosnost průřezů	γ_{M0}	1,00
Únosnost na stabilitu	γ_{M1}	1,00
Únosnost čistého průřezu	γ_{M2}	1,25

Materiál			
Mez kluzu	f_y	235,0	MPa
Pevnost v tahu	f_u	360,0	MPa

....:POSUDEK ÚNOSNOSTI:....

Kritický posudek je na pozici 2,450 m

Vnitřní síly		Vypočtené	Jednotka
Osová síla	N_{Ed}	0,00	kN
Smyková síla	$V_{y,Ed}$	0,00	kN
Smyková síla	$V_{z,Ed}$	-6,48	kN
Kroucení	T_{Ed}	-0,01	kNm
Ohybový moment	$M_{y,Ed}$	16,00	kNm
Ohybový moment	$M_{z,Ed}$	0,00	kNm

Klasifikace pro návrh průřezu

Klasifikace podle EN 1993-1-1 článku 5.5.2

Klasifikace vnitřních a vnějších částí podle EN 1993-1-1 tabulky 5.2 listu 1 a 2

Id	Typ	c [mm]	t [mm]	σ_1 [kN/m ²]	σ_2 [kN/m ²]	Ψ [-]	k_σ [-]	α [-]	c/t [-]	Třída 1 limit [-]	Třída 2 limit [-]	Třída 3 limit [-]	Třída
1	S0	79	10	-38998,286	-38993,866								

REKONSTRUKCE VÝPRAVNÍ BUDOVY V ŽST. TÁBOR

DOKUMENTACE PRO PROVÁDĚNÍ STAVBY

Id	Typ	c [mm]	t [mm]	σ_1 [kN/m ²]	σ_2 [kN/m ²]	ψ [-]	k_σ [-]	α [-]	c/t [-]	Třída 1 limit [-]	Třída 2 limit [-]	Třída 3 limit [-]	Třída
3	SO	79	10	-39000,671	-39005,090								
4	I	134	7	-29032,945	29032,946	-1,0		0,5	20,6	72,0	83,0	124,0	1
5	SO	79	10	38998,286	38993,867	1,0	0,4	1,0	7,9	9,0	10,0	13,8	1
7	SO	79	10	39000,671	39005,091	1,0	0,4	1,0	7,9	9,0	10,0	13,8	1

Průřez je klasifikován třídou 1

Poznámka: Limity klasifikace byly nastaveny podle Semi-Comp+.

Posudek ohybového momentu pro M_y

Podle EN 1993-1-1 článku 6.2.5 a rovnice (6.12), (6.13)

$$M_{pl,y,Rd} = \frac{W_{pl,y} \times f_y}{\gamma_{M0}} = \frac{4,2917 \cdot 10^{-4} [m^3] \times 235,0 [MPa]}{1,00} = 100,85 [kNm] \quad (EC3-1-1: 6.13)$$

$$\text{Jedn. posudek} = \frac{|M_{y,Ed}|}{M_{pl,y,Rd}} = \frac{|16,00 [kNm]|}{100,85 [kNm]} = 0,16 \leq 1,00 \quad (EC3-1-1: 6.12)$$

Posudek ohybového momentu pro M_z

Podle EN 1993-1-1 článku 6.2.5 a rovnice (6.12), (6.13)

$$M_{pl,z,Rd} = \frac{W_{pl,z} \times f_y}{\gamma_{M0}} = \frac{2,0375 \cdot 10^{-4} [m^3] \times 235,0 [MPa]}{1,00} = 47,88 [kNm] \quad (EC3-1-1: 6.13)$$

$$\text{Jedn. posudek} = \frac{|M_{z,Ed}|}{M_{pl,z,Rd}} = \frac{|0,00 [kNm]|}{47,88 [kNm]} = 0,00 \leq 1,00 \quad (EC3-1-1: 6.12)$$

Posudek smyku pro V_z

Podle EN 1993-1-1 článku 6.2.6 a rovnice (6.17)

$$V_{pl,z,Rd} = \frac{A_v \times \frac{f_y}{\sqrt{3}}}{\gamma_{M0}} = \frac{1,8050 \cdot 10^{-3} [m^2] \times \frac{235,0 [MPa]}{\sqrt{3}}}{1,00} = 244,90 [kN] \quad (EC3-1-1: 6.18)$$

$$\text{Jedn. posudek} = \frac{|V_{z,Ed}|}{V_{pl,z,Rd}} = \frac{|-6,48 [kN]|}{244,90 [kN]} = 0,03 \leq 1,00 \quad (EC3-1-1: 6.17)$$

Posudek kroucení

Podle EN 1993-1-1 článku 6.2.7 a rovnice (6.23)

$$\tau_{Ed} = \left| \frac{T_{Ed}}{T_{Ed,unit}} \times \tau_{Ed,unit} \right| = \left| \frac{-0,01 [kNm]}{1,00 [kNm]} \times 47653,214 [kN/m^2] \right| = 0,3 [MPa]$$

$$\tau_{Rd} = \frac{f_y}{\sqrt{3} \times \gamma_{M0}} = \frac{235,0 [MPa]}{\sqrt{3} \times 1,00} = 135,7 [MPa]$$

$$\text{Jedn. posudek} = \frac{\tau_{Ed}}{\tau_{Rd}} = \frac{0,3 [MPa]}{135,7 [MPa]} = 0,00 \leq 1,00 \quad (EC3-1-1: 6.23)$$

Poznámka: Jednotkový posudek pro kroucení je menší než limitní hodnota 0,05. Kroucení se proto považuje za nevýznamné a je v kombinovaných posudcích zanedbáno.

Posudek na kombinaci ohybu, osově a smykové síly

Podle EN 1993-1-1 článku 6.2.9.1 a rovnice (6.41)

$$M_{pl,y,Rd} = \frac{W_{pl,y} \times f_y}{\gamma_{M0}} = \frac{4,2917 \cdot 10^{-4} [m^3] \times 235,0 [MPa]}{1,00} = 100,85 [kNm] \quad (EC3-1-1: 6.13)$$

$$\alpha = 2,00$$

$$M_{pl,z,Rd} = \frac{W_{pl,z} \times f_y}{\gamma_{M0}} = \frac{2,0375 \cdot 10^{-4} [m^3] \times 235,0 [MPa]}{1,00} = 47,88 [kNm] \quad (EC3-1-1: 6.13)$$

$$\beta = 1,00$$

$$\text{Jedn. posudek} = \left(\frac{|M_{y,Ed}|}{M_{pl,y,Rd}} \right)^\alpha + \left(\frac{|M_{z,Ed}|}{M_{pl,z,Rd}} \right)^\beta = \left(\frac{|16,00 [kNm]|}{100,85 [kNm]} \right)^{2,00} + \left(\frac{|0,00 [kNm]|}{47,88 [kNm]} \right)^{1,00} = 0,03 \leq 1,00 \quad (EC3-1-1: 6.41)$$

Poznámka: Protože smykové síly jsou menší než polovina plastické smykové únosnosti, jejich vliv na momentovou únosnost se zanedbává.

Poznámka: Protože osová síla splňuje podmínku (6.33) i (6.34) z EN 1993-1-1 článku 6.2.9.1(4)

její vliv na momentovou únosnost kolem osy y-y se zanedbává.

Poznámka: Protože osová síla splňuje podmínku (6.35) z EN 1993-1-1 článku 6.2.9.1(4)

její vliv na momentovou únosnost kolem osy z-z se zanedbává.

Prvek splňuje podmínky posudku průřezu.

....:POSUDEK STABILITY:....

REKONSTRUKCE VÝPRAVNÍ BUDOVY V ŽST. TÁBOR

DOKUMENTACE PRO PROVÁDĚNÍ STAVBY

Klasifikace pro návrh dílce na vzpěr

Rozhodující poloha pro klasifikaci stability: 2,450 m

Rozhodující součinitel využití η : 0,16

Klasifikace podle EN 1993-1-1 článku 5.5.2

Klasifikace vnitřních a vnějších částí podle EN 1993-1-1 tabulky 5.2 listu 1 a 2

Id	Typ	c [mm]	t [mm]	σ_1 [kN/m ²]	σ_2 [kN/m ²]	ψ [-]	k_σ [-]	α [-]	c/t [-]	Třída 1 limit [-]	Třída 2 limit [-]	Třída 3 limit [-]	Třída
1	SO	79	10	-38998,286	-38993,866								
3	SO	79	10	-39000,671	-39005,090								
4	I	134	7	-29032,945	29032,946	-1,0		0,5	20,6	72,0	83,0	124,0	1
5	SO	79	10	38998,286	38993,867	1,0	0,4	1,0	7,9	9,0	10,0	13,8	1
7	SO	79	10	39000,671	39005,091	1,0	0,4	1,0	7,9	9,0	10,0	13,8	1

Průřez je klasifikován třídou 1

Poznámka: Limity klasifikace byly nastaveny podle Semi-Comp+.

Poznámka: Rozhodující poloha pro klasifikaci stability je založena na součiniteli využití η podle Semi-Comp+.

Posudek rovinného vzpěru

Podle EN 1993-1-1 článku 6.3.1.1 a rovnice (6.46)

$$N_{cr,y} = \frac{\pi^2 \times E \times I_y}{l_{cr,y}^2} = \frac{\pi^2 \times 210000,0 [\text{MPa}] \times 3,6900 \cdot 10^{-5} [\text{m}^4]}{4,700 [\text{m}]^2} = 3462,18 [\text{kN}]$$

$$N_{cr,z} = \frac{\pi^2 \times E \times I_z}{l_{cr,z}^2} = \frac{\pi^2 \times 210000,0 [\text{MPa}] \times 1,3400 \cdot 10^{-5} [\text{m}^4]}{2,249 [\text{m}]^2} = 5489,86 [\text{kN}]$$

$$\lambda_y = \frac{l_{cr,y}}{i_y} = \frac{4,700 [\text{m}]}{83 [\text{mm}]} = 56,75$$

$$\lambda_z = \frac{l_{cr,z}}{i_z} = \frac{2,249 [\text{m}]}{50 [\text{mm}]} = 45,07$$

$$\lambda_{rel,y} = \frac{\lambda_y}{\pi \times \sqrt{\frac{E}{f_y}}} = \frac{56,75}{\pi \times \sqrt{\frac{210000,0 [\text{MPa}]}{235,0 [\text{MPa}]}}} = 0,60$$

(EC3-1-1: 6.50)

$$\lambda_{rel,z} = \frac{\lambda_z}{\pi \times \sqrt{\frac{E}{f_y}}} = \frac{45,07}{\pi \times \sqrt{\frac{210000,0 [\text{MPa}]}{235,0 [\text{MPa}]}}} = 0,48$$

(EC3-1-1: 6.50)

Posudek prostorového vzpěru

Podle EN 1993-1-1 článku 6.3.1.1 a rovnice (6.46)

Poznámka: Pro tento průřez je únosnost na prostorový vzpěr vyšší než únosnost na rovinný vzpěr. Prostorový vzpěr proto není ve výstupu uveden.

Posudek klopení

Podle EN 1993-1-1 článku 6.3.2.1 & 6.3.2.3 a rovnice (6.54)

$$M_{cr} = C_1 \times \frac{\pi^2 \times E \times I_z}{l_{cr}^2} \times \left[\sqrt{\left(\frac{k}{k_w} \right)^2 \times \frac{I_w}{I_z} + \frac{l_{cr}^2 \times G \times I_t}{\pi^2 \times E \times I_z}} + (C_2 \times z_g - C_3 \times z_j)^2 - (C_2 \times z_g - C_3 \times z_j) \right] = 1,72$$

$$\times \frac{\pi^2 \times 210000,0 [\text{MPa}] \times 1,3400 \cdot 10^{-5} [\text{m}^4]}{2,250 [\text{m}]^2}$$

$$\times \left[\sqrt{\left(\frac{1,00}{1,00} \right)^2 \times \frac{1,0800 \cdot 10^{-7} [\text{m}^6]}{1,3400 \cdot 10^{-5} [\text{m}^4]} + \frac{2,250 [\text{m}]^2 \times 80769,2 [\text{MPa}] \times 2,1000 \cdot 10^{-7} [\text{m}^4]}{\pi^2 \times 210000,0 [\text{MPa}] \times 1,3400 \cdot 10^{-5} [\text{m}^4]} + (0,01 \times 0 [\text{mm}] - 1,00 \times 0 [\text{mm}])^2 - (0,01 \times 0 [\text{mm}] - 1,00 \times 0 [\text{mm}])} \right]$$

$$= 998,25 [\text{kNm}]$$

$$\lambda_{rel,LT} = \sqrt{\frac{W_{pl,y} \times f_y}{M_{cr}}} = \sqrt{\frac{4,2917 \cdot 10^{-4} [\text{m}^3] \times 235,0 [\text{MPa}]}{998,25 [\text{kNm}]} = 0,32$$

Poznámka: Štíhlost nebo ohybový moment umožňují ignorovat účinky klopení podle EN 1993-1-1 článek 6.3.2.2(4)

Poznámka: Parametry C se určí podle ECCS 119 2006 / Galea 2002

Posudek ohybu a osového tlaku

Podle EN 1993-1-1 článku 6.3.3 a rovnice (6.61), (6.62)

Maximální moment $M_{y,Ed}$ je odvozen z nosníku B232 pozice 2,450 m.

Maximální moment $M_{z,Ed}$ je odvozen z nosníku B232 pozice 2,450 m.

$$\chi_z = \min(\chi_z; \chi) = \min(1,00; 1,00) = 1,00$$

$$C_{my} = 0,90$$

REKONSTRUKCE VÝPRAVNÍ BUDOVY V ŽST. TÁBOR

DOKUMENTACE PRO PROVÁDĚNÍ STAVBY

$$C_{mz} = \max(0,6 + 0,4 \times \psi_{zi}; 0,4) = \max(0,6 + 0,4 \times 0,00; 0,4) = \max(0,60; 0,40) = 0,60$$

$$\alpha_{s,LT} = \frac{M_{s,LT}}{M_{h,LT}} = \frac{8,36[kNm]}{16,00[kNm]} = 0,52$$

$$C_{mLT} = \max(0,2 + 0,8 \times \alpha_{s,LT}; 0,4) = \max(0,2 + 0,8 \times 0,52; 0,4) = \max(0,62; 0,40) = 0,62$$

$$N_{Rk} = A \times f_y = 5,3800 \cdot 10^{-3}[m^2] \times 235,0[MPa] = 1264,30[kN]$$

$$M_{y,Rk} = W_{pl,y} \times f_y = 4,2917 \cdot 10^{-4}[m^3] \times 235,0[MPa] = 100,85[kNm]$$

$$M_{z,Rk} = W_{pl,z} \times f_y = 2,0375 \cdot 10^{-4}[m^3] \times 235,0[MPa] = 47,88[kNm]$$

$$k_{yy} = \min \left\{ C_{my} \times \left[1 + (\lambda_{rel,y} - 0,2) \times \frac{N_{Ed}}{\chi_y \times \frac{N_{Rk}}{\gamma_{M1}}} \right]; C_{my} \times \left(1 + 0,8 \times \frac{N_{Ed}}{\chi_y \times \frac{N_{Rk}}{\gamma_{M1}}} \right) \right\}$$

$$= \min \left\{ 0,90 \times \left[1 + (0,60 - 0,2) \times \frac{0,00[kN]}{1,00 \times \frac{1264,30[kN]}{1,00}} \right]; 0,90 \times \left(1 + 0,8 \times \frac{0,00[kN]}{1,00 \times \frac{1264,30[kN]}{1,00}} \right) \right\}$$

$$= \min \{0,90; 0,90\} = 0,90$$

$$k_{yz} = 0,6 \times k_{zz} = 0,6 \times 0,60 = 0,36$$

$$k_{zy} = 0,6 \times k_{yy} = 0,6 \times 0,90 = 0,54$$

$$k_{zz} = \min \left\{ C_{mz} \times \left[1 + (2 \times \lambda_{rel,z} - 0,6) \times \frac{N_{Ed}}{\chi_z \times \frac{N_{Rk}}{\gamma_{M1}}} \right]; C_{mz} \times \left(1 + 1,4 \times \frac{N_{Ed}}{\chi_z \times \frac{N_{Rk}}{\gamma_{M1}}} \right) \right\}$$

$$= \min \left\{ 0,60 \times \left[1 + (2 \times 0,48 - 0,6) \times \frac{0,00[kN]}{1,00 \times \frac{1264,30[kN]}{1,00}} \right]; 0,60 \times \left(1 + 1,4 \times \frac{0,00[kN]}{1,00 \times \frac{1264,30[kN]}{1,00}} \right) \right\}$$

$$= \min \{0,60; 0,60\} = 0,60$$

$$\text{Posudek (6.61)} = \frac{|N_{Ed}|}{\chi_y \times \frac{N_{Rk}}{\gamma_{M1}}} + k_{yy} \times \frac{|M_{y,Ed}| + |\Delta M_{y,Ed}|}{\chi_{LT,mod} \times \frac{M_{y,Rk}}{\gamma_{M1}}} + k_{yz} \times \frac{|M_{z,Ed}| + |\Delta M_{z,Ed}|}{\frac{M_{z,Rk}}{\gamma_{M1}}}$$

$$= \frac{|0,00[kN]|}{1,00 \times \frac{1264,30[kN]}{1,00}} + 0,90 \times \frac{|16,00[kNm]| + |0,00[kNm]|}{1,00 \times \frac{100,85[kNm]}{1,00}} + 0,36 \times \frac{|0,00[kNm]| + |0,00[kNm]|}{\frac{47,88[kNm]}{1,00}} = \mathbf{0,14 \leq 1,00} \quad (\text{EC3-1-1: 6.61})$$

$$\text{Posudek (6.62)} = \frac{|N_{Ed}|}{\chi_z \times \frac{N_{Rk}}{\gamma_{M1}}} + k_{zy} \times \frac{|M_{y,Ed}| + |\Delta M_{y,Ed}|}{\chi_{LT,mod} \times \frac{M_{y,Rk}}{\gamma_{M1}}} + k_{zz} \times \frac{|M_{z,Ed}| + |\Delta M_{z,Ed}|}{\frac{M_{z,Rk}}{\gamma_{M1}}}$$

$$= \frac{|0,00[kN]|}{1,00 \times \frac{1264,30[kN]}{1,00}} + 0,54 \times \frac{|16,00[kNm]| + |0,00[kNm]|}{1,00 \times \frac{100,85[kNm]}{1,00}} + 0,60 \times \frac{|0,00[kNm]| + |0,00[kNm]|}{\frac{47,88[kNm]}{1,00}} = \mathbf{0,09 \leq 1,00} \quad (\text{EC3-1-1: 6.62})$$

$$\text{Jedn. posudek} = \max(\text{Posudek (6.61); Posudek (6.62)}) = \max(0,14; 0,09) = \mathbf{0,14 \leq 1,00}$$

Posudek ztráty stability od smyku

Podle EN 1993-1-5 článku 5 & 7.1 a rovnice (5.10) & (7.1)

$$h_w/t = \frac{h_w}{t} = \frac{170[mm]}{7[mm]} = 26,15$$

$$\text{limitní } h_w/t = \frac{72 \times \varepsilon}{\eta} = \frac{72 \times 1,00}{1,20} = 60,00$$

Poznámka: Štíhlost stojiny umožňuje ignorovat účinky smykové ztráty stability podle EN 1993-1-5 čl. 5.1(2).

Prvek splňuje podmínky stabilitního posudku.

Posudek EN 1993-1-1

Národní dodatek: Česká CSN-EN NA

Dílec B234	1,000 / 2,000 m	IPE200	Válcovaný	S 235	MSÚ-Sada B (auto)	0,08 -
------------	-----------------	--------	-----------	-------	-------------------	--------

klíč kombinace
MSÚ-Sada B (auto) / 1.35*ZS1 + 1.35*ZS2 + 0.75*ZS6 + 1.35*ZS7 + 0.90*ZS8

REKONSTRUKCE VÝPRAVNÍ BUDOVY V ŽST. TÁBOR

DOKUMENTACE PRO PROVÁDĚNÍ STAVBY

Díleč souč. spolehlivosti		
Únosnost průřezů	γ_{M0}	1,00
Únosnost na stabilitu	γ_{M1}	1,00
Únosnost čistého průřezu	γ_{M2}	1,25

Materiál			
Mez kluzu	f_y	235,0	MPa
Pevnost v tahu	f_u	360,0	MPa

....:POSUDEK ÚNOSNOSTI:....

Kritický posudek je na pozici 1,000 m

Vnitřní síly		Vypočtené	Jednotka
Osová síla	N_{Ed}	0,00	kN
Smyková síla	$V_{y,Ed}$	0,00	kN
Smyková síla	$V_{z,Ed}$	0,00	kN
Kroucení	T_{Ed}	0,00	kNm
Ohybový moment	$M_{y,Ed}$	4,16	kNm
Ohybový moment	$M_{z,Ed}$	0,00	kNm

Klasifikace pro návrh průřezu

Klasifikace podle EN 1993-1-1 článku 5.5.2

Klasifikace vnitřních a vnějších částí podle EN 1993-1-1 tabulky 5.2 listu 1 a 2

Id	Typ	c [mm]	t [mm]	σ_1 [kN/m²]	σ_2 [kN/m²]	Ψ [-]	k_σ [-]	α [-]	c/t [-]	Třída 1 limit [-]	Třída 2 limit [-]	Třída 3 limit [-]	Třída
1	SO	35	9	-20514,860	-20514,860								
3	SO	35	9	-20514,860	-20514,860								
4	I	159	6	-17033,190	17033,607	-1,0		0,5	28,4	72,0	83,0	124,2	1
5	SO	35	9	20515,277	20515,277	1,0	0,4	1,0	4,1	9,0	10,0	14,0	1
7	SO	35	9	20515,277	20515,277	1,0	0,4	1,0	4,1	9,0	10,0	14,0	1

Průřez je klasifikován třídou 1

Poznámka: Limity klasifikace byly nastaveny podle Semi-Comp+.

Posudek ohybového momentu pro M_y

Podle EN 1993-1-1 článku 6.2.5 a rovnice (6.12), (6.13)

$$M_{pl,y,Rd} = \frac{W_{pl,y} \times f_y}{\gamma_{M0}} = \frac{2,2060 \cdot 10^{-4} [m^3] \times 235,0 [MPa]}{1,00} = 51,84 [kNm] \quad (EC3-1-1: 6.13)$$

$$\text{Jedn. posudek} = \frac{|M_{y,Ed}|}{M_{pl,y,Rd}} = \frac{|4,16 [kNm]|}{51,84 [kNm]} = 0,08 \leq 1,00 \quad (EC3-1-1: 6.12)$$

Posudek kroucení

Podle EN 1993-1-1 článku 6.2.7 a rovnice (6.23)

$$\tau_{Ed} = \left| \frac{T_{Ed}}{T_{Ed,unit}} \times \tau_{Ed,unit} \right| = \left| \frac{0,00 [kNm]}{1,00 [kNm]} \times 121774,408 [kN/m^2] \right| = 0,2 [MPa]$$

$$\tau_{Rd} = \frac{f_y}{\sqrt{3} \times \gamma_{M0}} = \frac{235,0 [MPa]}{\sqrt{3} \times 1,00} = 135,7 [MPa]$$

$$\text{Jedn. posudek} = \frac{\tau_{Ed}}{\tau_{Rd}} = \frac{0,2 [MPa]}{135,7 [MPa]} = 0,00 \leq 1,00 \quad (EC3-1-1: 6.23)$$

Poznámka: Jednotkový posudek pro kroucení je menší než limitní hodnota 0,05. Kroucení se proto považuje za nevýznamné a je v kombinovaných posudcích zanedbáno.

Posudek na kombinaci ohybu, osově a smykové síly

Podle EN 1993-1-1 článku 6.2.9.1 a rovnice (6.31)

$$M_{pl,y,Rd} = \frac{W_{pl,y} \times f_y}{\gamma_{M0}} = \frac{2,2060 \cdot 10^{-4} [m^3] \times 235,0 [MPa]}{1,00} = 51,84 [kNm] \quad (EC3-1-1: 6.13)$$

$$\text{Jedn. posudek} = \frac{|M_{y,Ed}|}{M_{pl,y,Rd}} = \frac{|4,16 [kNm]|}{51,84 [kNm]} = 0,08 \leq 1,00 \quad (EC3-1-1: 6.31)$$

Poznámka: Protože osová síla splňuje podmínku (6.33) i (6.34) z EN 1993-1-1 článku 6.2.9.1(4)

její vliv na momentovou únosnost kolem osy y-y se zanedbává.

Prvek splňuje podmínky posudku průřezu.

....:POSUDEK STABILITY:....

Klasifikace pro návrh dílce na vzpěr

REKONSTRUKCE VÝPRAVNÍ BUDOVY V ŽST. TÁBOR

DOKUMENTACE PRO PROVÁDĚNÍ STAVBY

Rozhodující poloha pro klasifikaci stability: 1,000 m

Rozhodující součinitel využití η : 0,08

Klasifikace podle EN 1993-1-1 článku 5.5.2

Klasifikace vnitřních a vnějších částí podle EN 1993-1-1 tabulky 5.2 listu 1 a 2

Id	Typ	c [mm]	t [mm]	σ_1 [kN/m ²]	σ_2 [kN/m ²]	Ψ [-]	k_σ [-]	α [-]	c/t [-]	Třída 1 limit [-]	Třída 2 limit [-]	Třída 3 limit [-]	Třída
1	S0	35	9	-20514,860	-20514,860								
3	S0	35	9	-20514,860	-20514,860								
4	I	159	6	-17033,190	17033,607	-1,0		0,5	28,4	72,0	83,0	124,2	1
5	S0	35	9	20515,277	20515,277	1,0	0,4	1,0	4,1	9,0	10,0	14,0	1
7	S0	35	9	20515,277	20515,277	1,0	0,4	1,0	4,1	9,0	10,0	14,0	1

Průřez je klasifikován třídou 1

Poznámka: Limity klasifikace byly nastaveny podle Semi-Comp+.

Poznámka: Rozhodující poloha pro klasifikaci stability je založena na součiniteli využití η podle Semi-Comp+.

Posudek rovinného vzpěru

Podle EN 1993-1-1 článku 6.3.1.1 a rovnice (6.46)

$$N_{cr,y} = \frac{\pi^2 \times E \times I_y}{l_{cr,y}^2} = \frac{\pi^2 \times 210000,0 [\text{MPa}] \times 1,9430 \cdot 10^{-5} [\text{m}^4]}{2,000 [\text{m}]^2} = 10067,74 [\text{kN}]$$

$$N_{cr,z} = \frac{\pi^2 \times E \times I_z}{l_{cr,z}^2} = \frac{\pi^2 \times 210000,0 [\text{MPa}] \times 1,4230 \cdot 10^{-6} [\text{m}^4]}{2,000 [\text{m}]^2} = 737,37 [\text{kN}]$$

$$\lambda_y = \frac{l_{cr,y}}{i_y} = \frac{2,000 [\text{m}]}{83 [\text{mm}]} = 24,22$$

$$\lambda_z = \frac{l_{cr,z}}{i_z} = \frac{2,000 [\text{m}]}{22 [\text{mm}]} = 89,50$$

$$\lambda_{rel,y} = \frac{\lambda_y}{\pi \times \sqrt{\frac{E}{f_y}}} = \frac{24,22}{\pi \times \sqrt{\frac{210000,0 [\text{MPa}]}{235,0 [\text{MPa}]}}} = 0,26$$

(EC3-1-1: 6.50)

$$\lambda_{rel,z} = \frac{\lambda_z}{\pi \times \sqrt{\frac{E}{f_y}}} = \frac{89,50}{\pi \times \sqrt{\frac{210000,0 [\text{MPa}]}{235,0 [\text{MPa}]}}} = 0,95$$

(EC3-1-1: 6.50)

Posudek prostorového vzpěru

Podle EN 1993-1-1 článku 6.3.1.1 a rovnice (6.46)

Poznámka: Pro tento průřez je únosnost na prostorový vzpěr vyšší než únosnost na rovinný vzpěr. Prostorový vzpěr proto není ve výstupu uveden.

Posudek klopení

Podle EN 1993-1-1 článku 6.3.2.1 & 6.3.2.3 a rovnice (6.54)

$$M_{cr} = C_1 \times \frac{\pi^2 \times E \times I_z}{l_{cr}^2} \times \left[\sqrt{\left(\frac{k}{k_w} \right)^2 \times \frac{I_w}{I_z} + \frac{l_{cr}^2 \times G \times I_t}{\pi^2 \times E \times I_z}} + (C_2 \times z_g - C_3 \times z_i)^2 - (C_2 \times z_g - C_3 \times z_i) \right] = 1,13$$

$$\times \frac{\pi^2 \times 210000,0 [\text{MPa}] \times 1,4230 \cdot 10^{-6} [\text{m}^4]}{2,000 [\text{m}]^2}$$

$$\times \left[\sqrt{\left(\frac{1,00}{1,00} \right)^2 \times \frac{1,2980 \cdot 10^{-8} [\text{m}^6]}{1,4230 \cdot 10^{-6} [\text{m}^4]} + \frac{2,000 [\text{m}]^2 \times 80769,2 [\text{MPa}] \times 6,9150 \cdot 10^{-8} [\text{m}^4]}{\pi^2 \times 210000,0 [\text{MPa}] \times 1,4230 \cdot 10^{-6} [\text{m}^4]} + (0,45 \times 0 [\text{mm}] - 0,53 \times 0 [\text{mm}])^2 - (0,45 \times 0 [\text{mm}] - 0,53 \times 0 [\text{mm}])} \right]$$

$$= 107,37 [\text{kNm}]$$

$$\lambda_{rel,LT} = \sqrt{\frac{W_{pl,y} \times f_y}{M_{cr}}} = \sqrt{\frac{2,2060 \cdot 10^{-4} [\text{m}^3] \times 235,0 [\text{MPa}]}{107,37 [\text{kNm}]} } = 0,69$$

Poznámka: Štíhlost nebo ohybový moment umožňují ignorovat účinky klopení podle EN 1993-1-1 článek 6.3.2.2(4)

Poznámka: Parametry C se určí podle ECCS 119 2006 / Galea 2002

Posudek ohybu a osového tlaku

Podle EN 1993-1-1 článku 6.3.3 a rovnice (6.61), (6.62)

Maximální moment $M_{y,Ed}$ je odvozen z nosníku B234 pozice 1,000 m.

Maximální moment $M_{z,Ed}$ je odvozen z nosníku B234 pozice 0,000 m.

$$\chi_z = \min(\chi_z; \chi) = \min(1,00; 1,00) = 1,00$$

$$C_{my} = 0,90$$

REKONSTRUKCE VÝPRAVNÍ BUDOVY V ŽST. TÁBOR

DOKUMENTACE PRO PROVÁDĚNÍ STAVBY

$$\alpha_{h,LT} = \frac{M_{h,LT}}{M_{s,LT}} = \frac{0,00[kNm]}{4,16[kNm]} = 0,00$$

$$C_{m,LT} = 0,95 + 0,05 \times \alpha_{h,LT} = 0,95 + 0,05 \times 0,00 = 0,95$$

$$N_{Rk} = A \times f_y = 2,8500 \cdot 10^{-3}[m^2] \times 235,0[MPa] = 669,75[kN]$$

$$M_{y,Rk} = W_{pl,y} \times f_y = 2,2060 \cdot 10^{-4}[m^3] \times 235,0[MPa] = 51,84[kNm]$$

$$k_{yy} = \min \left\{ C_{my} \times \left[1 + (\lambda_{rel,y} - 0,2) \times \frac{N_{Ed}}{\chi_y \times \frac{N_{Rk}}{\gamma_{M1}}} \right]; C_{my} \times \left(1 + 0,8 \times \frac{N_{Ed}}{\chi_y \times \frac{N_{Rk}}{\gamma_{M1}}} \right) \right\}$$

$$= \min \left\{ 0,90 \times \left[1 + (0,26 - 0,2) \times \frac{0,00[kN]}{1,00 \times \frac{669,75[kN]}{1,00}} \right]; 0,90 \times \left(1 + 0,8 \times \frac{0,00[kN]}{1,00 \times \frac{669,75[kN]}{1,00}} \right) \right\}$$

$$= \min \{0,90; 0,90\} = 0,90$$

$$k_{zy} = 0,6 \times k_{yy} = 0,6 \times 0,90 = 0,54$$

$$\text{Posudek (6.61)} = \frac{|N_{Ed}|}{\chi_y \times \frac{N_{Rk}}{\gamma_{M1}}} + k_{yy} \times \frac{|M_{y,Ed}| + |\Delta M_{y,Ed}|}{\chi_{LT,mod} \times \frac{M_{y,Rk}}{\gamma_{M1}}} + k_{yz} \times \frac{|M_{z,Ed}| + |\Delta M_{z,Ed}|}{\gamma_{M1} \times \frac{M_{z,Rk}}{\gamma_{M1}}}$$

$$= \frac{|0,00[kN]|}{1,00 \times \frac{669,75[kN]}{1,00}} + 0,90 \times \frac{|4,16[kNm]| + |0,00[kNm]|}{1,00 \times \frac{51,84[kNm]}{1,00}} + 0,60 \times \frac{|0,00[kNm]| + |0,00[kNm]|}{1,00 \times \frac{10,48[kNm]}{1,00}} = 0,07 \leq 1,00 \quad (EC3-1-1: 6.61)$$

$$\text{Posudek (6.62)} = \frac{|N_{Ed}|}{\chi_z \times \frac{N_{Rk}}{\gamma_{M1}}} + k_{zy} \times \frac{|M_{y,Ed}| + |\Delta M_{y,Ed}|}{\chi_{LT,mod} \times \frac{M_{y,Rk}}{\gamma_{M1}}} + k_{zz} \times \frac{|M_{z,Ed}| + |\Delta M_{z,Ed}|}{\gamma_{M1} \times \frac{M_{z,Rk}}{\gamma_{M1}}}$$

$$= \frac{|0,00[kN]|}{1,00 \times \frac{669,75[kN]}{1,00}} + 0,54 \times \frac{|4,16[kNm]| + |0,00[kNm]|}{1,00 \times \frac{51,84[kNm]}{1,00}} + 1,00 \times \frac{|0,00[kNm]| + |0,00[kNm]|}{1,00 \times \frac{10,48[kNm]}{1,00}} = 0,04 \leq 1,00 \quad (EC3-1-1: 6.62)$$

Jedn. posudek = max(Posudek (6.61); Posudek (6.62)) = max(0,07; 0,04) = 0,07 ≤ 1,00

Prvek splňuje podmínky stabilitního posudku.

Posudek EN 1993-1-1

Národní dodatek: Česká CSN-EN NA

Dílec B240	1,320 / 5,000 m	IPE220	Válcovaný	S 235	MSÚ-Sada B (auto)	0,06 -
------------	-----------------	--------	-----------	-------	-------------------	--------

Klíč kombinace

MSÚ-Sada B (auto) / 1.35*ZS1 + 1.35*ZS2 + 0.75*ZS6 + 1.35*ZS7 + 0.90*ZS8

Dílčí souč. spolehlivosti

Únosnost průřezů	γ_{M0}	1,00
Únosnost na stabilitu	γ_{M1}	1,00
Únosnost čistého průřezu	γ_{M2}	1,25

Materiál

Mez kluzu	f_y	235,0	MPa
Pevnost v tahu	f_u	360,0	MPa

....POSUDEK ÚNOSNOSTI:....

Kritický posudek je na pozici 1,320 m

Vnitřní síly		Vypočtené	Jednotka
Osová síla	N_{Ed}	0,00	kN
Smyková síla	$V_{y,Ed}$	0,00	kN
Smyková síla	$V_{z,Ed}$	-0,44	kN
Kroucení	T_{Ed}	0,00	kNm
Ohybový moment	$M_{y,Ed}$	3,95	kNm
Ohybový moment	$M_{z,Ed}$	0,00	kNm

Klasifikace pro návrh průřezu

Klasifikace podle EN 1993-1-1 článku 5.5.2

Klasifikace vnitřních a vnějších částí podle EN 1993-1-1 tabulky 5.2 listu 1 a 2

REKONSTRUKCE VÝPRAVNÍ BUDOVY V ŽST. TÁBOR

DOKUMENTACE PRO PROVÁDĚNÍ STAVBY

Id	Typ	c [mm]	t [mm]	σ_1 [kN/m ²]	σ_2 [kN/m ²]	Ψ [-]	k_x [-]	α [-]	c/t [-]	Třída 1 limit [-]	Třída 2 limit [-]	Třída 3 limit [-]	Třída
1	SO	40	9	-15025,964	-15025,001								
3	SO	40	9	-15026,683	-15027,646								
4	I	178	6	-12659,748	12659,752	-1,0		0,5	30,1	72,0	83,0	124,0	1
5	SO	40	9	15025,967	15025,004	1,0	0,4	1,0	4,4	9,0	10,0	13,8	1
7	SO	40	9	15026,686	15027,649	1,0	0,4	1,0	4,4	9,0	10,0	13,8	1

Průřez je klasifikován třídou 1

Poznámka: Limity klasifikace byly nastaveny podle Semi-Comp+.

Posudek ohybového momentu pro M_y

Podle EN 1993-1-1 článku 6.2.5 a rovnice (6.12), (6.13)

$$M_{pl,y,Rd} = \frac{W_{pl,y} \times f_y}{\gamma_{M0}} = \frac{2,8540 \cdot 10^{-4} [m^3] \times 235,0 [MPa]}{1,00} = 67,07 [kNm] \quad (EC3-1-1: 6.13)$$

$$\text{Jedn. posudek} = \frac{|M_{y,Ed}|}{M_{pl,y,Rd}} = \frac{|3,95 [kNm]|}{67,07 [kNm]} = 0,06 \leq 1,00 \quad (EC3-1-1: 6.12)$$

Posudek ohybového momentu pro M_z

Podle EN 1993-1-1 článku 6.2.5 a rovnice (6.12), (6.13)

$$M_{pl,z,Rd} = \frac{W_{pl,z} \times f_y}{\gamma_{M0}} = \frac{5,8110 \cdot 10^{-5} [m^3] \times 235,0 [MPa]}{1,00} = 13,66 [kNm] \quad (EC3-1-1: 6.13)$$

$$\text{Jedn. posudek} = \frac{|M_{z,Ed}|}{M_{pl,z,Rd}} = \frac{|0,00 [kNm]|}{13,66 [kNm]} = 0,00 \leq 1,00 \quad (EC3-1-1: 6.12)$$

Posudek smyku pro V_z

Podle EN 1993-1-1 článku 6.2.6 a rovnice (6.17)

$$V_{pl,z,Rd} = \frac{A_v \times \frac{f_y}{\sqrt{3}}}{\gamma_{M0}} = \frac{1,5911 \cdot 10^{-3} [m^2] \times \frac{235,0 [MPa]}{\sqrt{3}}}{1,00} = 215,87 [kN] \quad (EC3-1-1: 6.18)$$

$$\text{Jedn. posudek} = \frac{|V_{z,Ed}|}{V_{pl,z,Rd}} = \frac{|-0,44 [kN]|}{215,87 [kN]} = 0,00 \leq 1,00 \quad (EC3-1-1: 6.17)$$

Posudek kroucení

Podle EN 1993-1-1 článku 6.2.7 a rovnice (6.23)

$$\tau_{Ed} = \left| \frac{T_{Ed}}{T_{Ed,unit}} \times \tau_{Ed,unit} \right| = \left| \frac{0,00 [kNm]}{1,00 [kNm]} \times 101480,770 [kN/m^2] \right| = 0,0 [MPa]$$

$$\tau_{Rd} = \frac{f_y}{\sqrt{3} \times \gamma_{M0}} = \frac{235,0 [MPa]}{\sqrt{3} \times 1,00} = 135,7 [MPa]$$

$$\text{Jedn. posudek} = \frac{\tau_{Ed}}{\tau_{Rd}} = \frac{0,0 [MPa]}{135,7 [MPa]} = 0,00 \leq 1,00 \quad (EC3-1-1: 6.23)$$

Poznámka: Jednotkový posudek pro kroucení je menší než limitní hodnota 0,05. Kroucení se proto považuje za nevýznamné a je v kombinovaných posudcích zanedbáno.

Posudek na kombinaci ohybu, osově a smykové síly

Podle EN 1993-1-1 článku 6.2.9.1 a rovnice (6.41)

$$M_{pl,y,Rd} = \frac{W_{pl,y} \times f_y}{\gamma_{M0}} = \frac{2,8540 \cdot 10^{-4} [m^3] \times 235,0 [MPa]}{1,00} = 67,07 [kNm] \quad (EC3-1-1: 6.13)$$

$$\alpha = 2,00$$

$$M_{pl,z,Rd} = \frac{W_{pl,z} \times f_y}{\gamma_{M0}} = \frac{5,8110 \cdot 10^{-5} [m^3] \times 235,0 [MPa]}{1,00} = 13,66 [kNm] \quad (EC3-1-1: 6.13)$$

$$\beta = 1,00$$

$$\text{Jedn. posudek} = \left(\frac{|M_{y,Ed}|}{M_{pl,y,Rd}} \right)^\alpha + \left(\frac{|M_{z,Ed}|}{M_{pl,z,Rd}} \right)^\beta = \left(\frac{|3,95 [kNm]|}{67,07 [kNm]} \right)^{2,00} + \left(\frac{|0,00 [kNm]|}{13,66 [kNm]} \right)^{1,00} = 0,00 \leq 1,00 \quad (EC3-1-1: 6.41)$$

Poznámka: Protože smykové síly jsou menší než polovina plastické smykové únosnosti, jejich vliv na momentovou únosnost se zanedbává.

Poznámka: Protože osová síla splňuje podmínku (6.33) i (6.34) z EN 1993-1-1 článku 6.2.9.1(4)

její vliv na momentovou únosnost kolem osy y-y se zanedbává.

Poznámka: Protože osová síla splňuje podmínku (6.35) z EN 1993-1-1 článku 6.2.9.1(4)

její vliv na momentovou únosnost kolem osy z-z se zanedbává.

Prvek splňuje podmínky posudku průřezu.

REKONSTRUKCE VÝPRAVNÍ BUDOVY V ŽST. TÁBOR

DOKUMENTACE PRO PROVÁDĚNÍ STAVBY

....POSUDEK STABILITY....

Klasifikace pro návrh dílce na vzpěr

Rozhodující poloha pro klasifikaci stability: 1,320 m

Rozhodující součinitel využití η : 0,06

Klasifikace podle EN 1993-1-1 článku 5.5.2

Klasifikace vnitřních a vnějších částí podle EN 1993-1-1 tabulky 5.2 listu 1 a 2

Id	Typ	c [mm]	t [mm]	σ_1 [kN/m ²]	σ_2 [kN/m ²]	Ψ [-]	k_σ [-]	α [-]	c/t [-]	Třída 1 limit [-]	Třída 2 limit [-]	Třída 3 limit [-]	Třída
1	SO	40	9	-15025,964	-15025,001								
3	SO	40	9	-15026,683	-15027,646								
4	I	178	6	-12659,748	12659,752	-1,0		0,5	30,1	72,0	83,0	124,0	1
5	SO	40	9	15025,967	15025,004	1,0	0,4	1,0	4,4	9,0	10,0	13,8	1
7	SO	40	9	15026,686	15027,649	1,0	0,4	1,0	4,4	9,0	10,0	13,8	1

Průřez je klasifikován třídou 1

Poznámka: Limity klasifikace byly nastaveny podle Semi-Comp+.

Poznámka: Rozhodující poloha pro klasifikaci stability je založena na součiniteli využití η podle Semi-Comp+.

Posudek rovinného vzpěru

Podle EN 1993-1-1 článku 6.3.1.1 a rovnice (6.46)

$$N_{cr,y} = \frac{\pi^2 \times E \times I_y}{l_{cr,y}^2} = \frac{\pi^2 \times 210000,0 [\text{MPa}] \times 2,7710 \cdot 10^{-5} [\text{m}^4]}{5,000 [\text{m}]^2} = 2297,29 [\text{kN}]$$

$$N_{cr,z} = \frac{\pi^2 \times E \times I_z}{l_{cr,z}^2} = \frac{\pi^2 \times 210000,0 [\text{MPa}] \times 2,0480 \cdot 10^{-6} [\text{m}^4]}{3,218 [\text{m}]^2} = 409,98 [\text{kN}]$$

$$\lambda_y = \frac{l_{cr,y}}{i_y} = \frac{5,000 [\text{m}]}{91 [\text{mm}]} = 54,89$$

$$\lambda_z = \frac{l_{cr,z}}{i_z} = \frac{3,218 [\text{m}]}{25 [\text{mm}]} = 129,94$$

$$\lambda_{rel,y} = \frac{\lambda_y}{\pi \times \sqrt{\frac{E}{f_y}}} = \frac{54,89}{\pi \times \sqrt{\frac{210000,0 [\text{MPa}]}{235,0 [\text{MPa}]}}} = 0,58$$

(EC3-1-1: 6.50)

$$\lambda_{rel,z} = \frac{\lambda_z}{\pi \times \sqrt{\frac{E}{f_y}}} = \frac{129,94}{\pi \times \sqrt{\frac{210000,0 [\text{MPa}]}{235,0 [\text{MPa}]}}} = 1,38$$

(EC3-1-1: 6.50)

Posudek prostorového vzpěru

Podle EN 1993-1-1 článku 6.3.1.1 a rovnice (6.46)

Poznámka: Pro tento I průřez je únosnost na prostorový vzpěr vyšší než únosnost na rovinný vzpěr. Prostorový vzpěr proto není ve výstupu uveden.

Posudek klopení

Podle EN 1993-1-1 článku 6.3.2.1 & 6.3.2.3 a rovnice (6.54)

$$M_{cr} = C_1 \times \frac{\pi^2 \times E \times I_z}{l_{cr}^2} \times \left[\sqrt{\left(\frac{k}{k_w} \right)^2 \times \frac{I_w}{I_z} + \frac{l_{cr}^2 \times G \times I_t}{\pi^2 \times E \times I_z}} + (C_2 \times z_g - C_3 \times z_j)^2 - (C_2 \times z_g - C_3 \times z_j) \right] = 1,47$$

$$\times \frac{\pi^2 \times 210000,0 [\text{MPa}] \times 2,0480 \cdot 10^{-6} [\text{m}^4]}{3,680 [\text{m}]^2}$$

$$\times \left[\sqrt{\left(\frac{1,00}{1,00} \right)^2 \times \frac{2,2670 \cdot 10^{-8} [\text{m}^6]}{2,0480 \cdot 10^{-6} [\text{m}^4]} + \frac{3,680 [\text{m}]^2 \times 80769,2 [\text{MPa}] \times 9,0300 \cdot 10^{-8} [\text{m}^4]}{\pi^2 \times 210000,0 [\text{MPa}] \times 2,0480 \cdot 10^{-6} [\text{m}^4]} + (0,08 \times 0 [\text{mm}] - 1,00 \times 0 [\text{mm}])^2 - (0,08 \times 0 [\text{mm}] - 1,00 \times 0 [\text{mm}])} \right]$$

$$= 85,60 [\text{kNm}]$$

$$\lambda_{rel,LT} = \sqrt{\frac{W_{pl,y} \times f_y}{M_{cr}}} = \sqrt{\frac{2,8540 \cdot 10^{-4} [\text{m}^3] \times 235,0 [\text{MPa}]}{85,60 [\text{kNm}]} = 0,89$$

Poznámka: Štíhlost nebo ohybový moment umožňují ignorovat účinky klopení podle EN 1993-1-1 článek 6.3.2.2(4)

Poznámka: Parametry C se určí podle ECCS 119 2006 / Galea 2002

Posudek ohybu a osového tlaku

Podle EN 1993-1-1 článku 6.3.3 a rovnice (6.61), (6.62)

Maximální moment $M_{y,Ed}$ je odvozen z nosníku B240 pozice 1,320 m.

Maximální moment $M_{z,Ed}$ je odvozen z nosníku B240 pozice 1,320 m.

$$\chi_z = \min(\chi_z; \chi) = \min(1,00; 1,00) = 1,00$$

REKONSTRUKCE VÝPRAVNÍ BUDOVY V ŽST. TÁBOR

DOKUMENTACE PRO PROVÁDĚNÍ STAVBY

$$C_{my} = 0,90$$

$$C_{mz} = \max(0,6 + 0,4 \times \psi_{zi}; 0,4) = \max(0,6 + 0,4 \times 0,00; 0,4) = \max(0,60; 0,40) = 0,60$$

$$\alpha_{s,LT} = \frac{M_{s,LT}}{M_{h,LT}} = \frac{2,56[kNm]}{3,95[kNm]} = 0,65$$

$$C_{mLT} = \max(0,2 + 0,8 \times \alpha_{s,LT}; 0,4) = \max(0,2 + 0,8 \times 0,65; 0,4) = \max(0,72; 0,40) = 0,72$$

$$N_{Rk} = A \times f_y = 3,3400 \cdot 10^{-3}[m^2] \times 235,0[MPa] = 784,90[kN]$$

$$M_{y,Rk} = W_{pl,y} \times f_y = 2,8540 \cdot 10^{-4}[m^3] \times 235,0[MPa] = 67,07[kNm]$$

$$M_{z,Rk} = W_{pl,z} \times f_y = 5,8110 \cdot 10^{-5}[m^3] \times 235,0[MPa] = 13,66[kNm]$$

$$k_{yy} = \min \left\{ C_{my} \times \left[1 + (\lambda_{rel,y} - 0,2) \times \frac{N_{Ed}}{\chi_y \times \frac{N_{Rk}}{\gamma_{M1}}} \right]; C_{my} \times \left(1 + 0,8 \times \frac{N_{Ed}}{\chi_y \times \frac{N_{Rk}}{\gamma_{M1}}} \right) \right\}$$

$$= \min \left\{ 0,90 \times \left[1 + (0,58 - 0,2) \times \frac{0,00[kN]}{1,00 \times \frac{784,90[kN]}{1,00}} \right]; 0,90 \times \left(1 + 0,8 \times \frac{0,00[kN]}{1,00 \times \frac{784,90[kN]}{1,00}} \right) \right\}$$

$$= \min \{0,90; 0,90\} = 0,90$$

$$k_{yz} = 0,6 \times k_{zz} = 0,6 \times 0,60 = 0,36$$

$$k_{zy} = 0,6 \times k_{yy} = 0,6 \times 0,90 = 0,54$$

$$k_{zz} = \min \left\{ C_{mz} \times \left[1 + (2 \times \lambda_{rel,z} - 0,6) \times \frac{N_{Ed}}{\chi_z \times \frac{N_{Rk}}{\gamma_{M1}}} \right]; C_{mz} \times \left(1 + 1,4 \times \frac{N_{Ed}}{\chi_z \times \frac{N_{Rk}}{\gamma_{M1}}} \right) \right\}$$

$$= \min \left\{ 0,60 \times \left[1 + (2 \times 1,38 - 0,6) \times \frac{0,00[kN]}{1,00 \times \frac{784,90[kN]}{1,00}} \right]; 0,60 \times \left(1 + 1,4 \times \frac{0,00[kN]}{1,00 \times \frac{784,90[kN]}{1,00}} \right) \right\}$$

$$= \min \{0,60; 0,60\} = 0,60$$

$$\text{Posudek (6.61)} = \frac{|N_{Ed}|}{\chi_y \times \frac{N_{Rk}}{\gamma_{M1}}} + k_{yy} \times \frac{|M_{y,Ed}| + |\Delta M_{y,Ed}|}{\chi_{LT,mod} \times \frac{M_{y,Rk}}{\gamma_{M1}}} + k_{yz} \times \frac{|M_{z,Ed}| + |\Delta M_{z,Ed}|}{\frac{M_{z,Rk}}{\gamma_{M1}}}$$

$$= \frac{|0,00[kN]|}{1,00 \times \frac{784,90[kN]}{1,00}} + 0,90 \times \frac{|3,95[kNm]| + |0,00[kNm]|}{1,00 \times \frac{67,07[kNm]}{1,00}} + 0,36 \times \frac{|0,00[kNm]| + |0,00[kNm]|}{\frac{13,66[kNm]}{1,00}} = 0,05 \leq 1,00 \quad (\text{EC3-1-1: 6.61})$$

$$\text{Posudek (6.62)} = \frac{|N_{Ed}|}{\chi_z \times \frac{N_{Rk}}{\gamma_{M1}}} + k_{zy} \times \frac{|M_{y,Ed}| + |\Delta M_{y,Ed}|}{\chi_{LT,mod} \times \frac{M_{y,Rk}}{\gamma_{M1}}} + k_{zz} \times \frac{|M_{z,Ed}| + |\Delta M_{z,Ed}|}{\frac{M_{z,Rk}}{\gamma_{M1}}}$$

$$= \frac{|0,00[kN]|}{1,00 \times \frac{784,90[kN]}{1,00}} + 0,54 \times \frac{|3,95[kNm]| + |0,00[kNm]|}{1,00 \times \frac{67,07[kNm]}{1,00}} + 0,60 \times \frac{|0,00[kNm]| + |0,00[kNm]|}{\frac{13,66[kNm]}{1,00}} = 0,03 \leq 1,00 \quad (\text{EC3-1-1: 6.62})$$

$$\text{Jedn. posudek} = \max(\text{Posudek (6.61)}; \text{Posudek (6.62)}) = \max(0,05; 0,03) = 0,05 \leq 1,00$$

Posudek ztráty stability od smyku

Podle EN 1993-1-5 článku 5 & 7.1 a rovnice (5.10) & (7.1)

$$h_w/t = \frac{h_w}{t} = \frac{202[mm]}{6[mm]} = 34,17$$

$$\text{limitní } h_w/t = \frac{72 \times \varepsilon}{\eta} = \frac{72 \times 1,00}{1,20} = 60,00$$

Poznámka: Štíhlost stojiny umožňuje ignorovat účinky smykové ztráty stability podle EN 1993-1-5 čl. 5.1(2).

Prvek splňuje podmínky stabilitního posudku.

Posudek EN 1993-1-1

Národní dodatek: Česká CSN-EN NA

Dílec B241	0,000 / 0,500 m	IPE100	Válcovaný	S 235	MSÚ-Sada B (auto)	0,05 -
------------	-----------------	--------	-----------	-------	-------------------	--------

Klíč kombinace
MSÚ-Sada B (auto) / 1.35*ZS1 + 1.35*ZS2 + 0.75*ZS6 + 1.35*ZS7 + 0.90*ZS8

REKONSTRUKCE VÝPRAVNÍ BUDOVY V ŽST. TÁBOR

DOKUMENTACE PRO PROVÁDĚNÍ STAVBY

Díleč souč. spolehlivosti		
Únosnost průřezů	γ_{M0}	1,00
Únosnost na stabilitu	γ_{M1}	1,00
Únosnost čistého průřezu	γ_{M2}	1,25

Materiál			
Mez kluzu	f_y	235,0	MPa
Pevnost v tahu	f_u	360,0	MPa

....:POSUDEK ÚNOSNOSTI:....

Kritický posudek je na pozici 0,000 m

Vnitřní síly		Vypočtené	Jednotka
Osová síla	N_{Ed}	0,00	kN
Smyková síla	$V_{y,Ed}$	0,00	kN
Smyková síla	$V_{z,Ed}$	3,20	kN
Kroucení	T_{Ed}	0,00	kNm
Ohybový moment	$M_{y,Ed}$	0,00	kNm
Ohybový moment	$M_{z,Ed}$	0,00	kNm

Klasifikace pro návrh průřezu

Klasifikace podle EN 1993-1-1 článku 5.5.2

Klasifikace vnitřních a vnějších částí podle EN 1993-1-1 tabulky 5.2 listu 1 a 2

Id	Typ	c [mm]	t [mm]	σ_1 [kN/m ²]	σ_2 [kN/m ²]	ψ [-]	k_σ [-]	α [-]	c/t [-]	Třída 1 limit [-]	Třída 2 limit [-]	Třída 3 limit [-]	Třída
1	SO	18	6	0,049	0,049	1,0	0,4	1,0	3,2	9,0	10,0	14,0	1
3	SO	18	6	0,049	0,049	1,0	0,4	1,0	3,2	9,0	10,0	14,0	1
4	I	75	4	0,049	0,049	1,0		1,0	18,2	28,0	34,0	38,0	1
5	SO	18	6	0,049	0,049	1,0	0,4	1,0	3,2	9,0	10,0	14,0	1
7	SO	18	6	0,049	0,049	1,0	0,4	1,0	3,2	9,0	10,0	14,0	1

Průřez je klasifikován třídou 1

Poznámka: Limity klasifikace byly nastaveny podle Semi-Comp+.

Posudek smyku pro V_z

Podle EN 1993-1-1 článku 6.2.6 a rovnice (6.17)

$$V_{pl,z,Rd} = \frac{A_v \times \frac{f_y}{\sqrt{3}}}{\gamma_{M0}} = \frac{5,0617 \cdot 10^{-4} [m^2] \times \frac{235,0 [MPa]}{\sqrt{3}}}{1,00} = 68,68 [kN] \quad (EC3-1-1: 6.18)$$

$$\text{Jedn. posudek} = \frac{|V_{z,Ed}|}{V_{c,z,Rd}} = \frac{|3,20 [kN]|}{68,68 [kN]} = 0,05 \leq 1,00 \quad (EC3-1-1: 6.17)$$

Posudek kroucení

Podle EN 1993-1-1 článku 6.2.7 a rovnice (6.23)

$$\tau_{Ed} = \left| \frac{T_{Ed}}{T_{Ed,unit}} \times \tau_{Ed,unit} \right| = \left| \frac{0,00 [kNm]}{1,00 [kNm]} \times 474201,119 [kN/m^2] \right| = 0,0 [MPa]$$

$$\tau_{Rd} = \frac{f_y}{\sqrt{3} \times \gamma_{M0}} = \frac{235,0 [MPa]}{\sqrt{3} \times 1,00} = 135,7 [MPa]$$

$$\text{Jedn. posudek} = \frac{\tau_{Ed}}{\tau_{Rd}} = \frac{0,0 [MPa]}{135,7 [MPa]} = 0,00 \leq 1,00 \quad (EC3-1-1: 6.23)$$

Poznámka: Jednotkový posudek pro kroucení je menší než limitní hodnota 0,05. Kroucení se proto považuje za nevýznamné a je v kombinovaných posudcích zanedbáno.

Prvek splňuje podmínky posudku průřezu.

....:POSUDEK STABILITY:....

Klasifikace pro návrh dílce na vzpěr

Rozhodující poloha pro klasifikaci stability: 0,250 m

Rozhodující součinitel využití η : 0,04

Klasifikace podle EN 1993-1-1 článku 5.5.2

Klasifikace vnitřních a vnějších částí podle EN 1993-1-1 tabulky 5.2 listu 1 a 2

REKONSTRUKCE VÝPRAVNÍ BUDOVY V ŽST. TÁBOR

DOKUMENTACE PRO PROVÁDĚNÍ STAVBY

Id	Typ	c [mm]	t [mm]	σ_1 [kN/m ²]	σ_2 [kN/m ²]	Ψ [-]	k_σ [-]	α [-]	c/t [-]	Třída 1 limit [-]	Třída 2 limit [-]	Třída 3 limit [-]	Třída
1	SO	18	6	-11026,922	-11026,922								
3	SO	18	6	-11026,922	-11026,922								
4	I	75	4	-8723,303	8723,401	-1,0		0,5	18,2	72,0	83,0	124,2	1
5	SO	18	6	11027,021	11027,021	1,0	0,4	1,0	3,2	9,0	10,0	14,0	1
7	SO	18	6	11027,021	11027,021	1,0	0,4	1,0	3,2	9,0	10,0	14,0	1

Průřez je klasifikován třídou 1

Poznámka: Limity klasifikace byly nastaveny podle Semi-Comp+.

Poznámka: Rozhodující poloha pro klasifikaci stability je založena na součiniteli využití η podle Semi-Comp+.

Posudek rovinného vzpěru

Podle EN 1993-1-1 článku 6.3.1.1 a rovnice (6.46)

$$N_{cr,y} = \frac{\pi^2 \times E \times I_y}{l_{cr,y}^2} = \frac{\pi^2 \times 210000,0 [\text{MPa}] \times 1,7100 \cdot 10^{-6} [\text{m}^4]}{0,500 [\text{m}]^2} = 14176,70 [\text{kN}]$$

$$N_{cr,z} = \frac{\pi^2 \times E \times I_z}{l_{cr,z}^2} = \frac{\pi^2 \times 210000,0 [\text{MPa}] \times 1,5910 \cdot 10^{-7} [\text{m}^4]}{0,500 [\text{m}]^2} = 1319,08 [\text{kN}]$$

$$\lambda_y = \frac{l_{cr,y}}{i_y} = \frac{0,500 [\text{m}]}{41 [\text{mm}]} = 12,27$$

$$\lambda_z = \frac{l_{cr,z}}{i_z} = \frac{0,500 [\text{m}]}{12 [\text{mm}]} = 40,23$$

$$\lambda_{rel,y} = \frac{\lambda_y}{\pi \times \sqrt{\frac{E}{f_y}}} = \frac{12,27}{\pi \times \sqrt{\frac{210000,0 [\text{MPa}]}{235,0 [\text{MPa}]}}} = 0,13$$

(EC3-1-1: 6.50)

$$\lambda_{rel,z} = \frac{\lambda_z}{\pi \times \sqrt{\frac{E}{f_y}}} = \frac{40,23}{\pi \times \sqrt{\frac{210000,0 [\text{MPa}]}{235,0 [\text{MPa}]}}} = 0,43$$

(EC3-1-1: 6.50)

Posudek prostorového vzpěru

Podle EN 1993-1-1 článku 6.3.1.1 a rovnice (6.46)

Poznámka: Pro tento průřez je únosnost na prostorový vzpěr vyšší než únosnost na rovinný vzpěr. Prostorový vzpěr proto není ve výstupu uveden.

Posudek ohybu a osového tlaku

Podle EN 1993-1-1 článku 6.3.3 a rovnice (6.61), (6.62)

Maximální moment $M_{y,Ed}$ je odvozen z nosníku B241 pozice 0,250 m.

Maximální moment $M_{z,Ed}$ je odvozen z nosníku B241 pozice 0,000 m.

$$\chi_z = \min(\chi_z; \chi) = \min(1,00; 1,00) = 1,00$$

$$C_{my} = 0,90$$

$$\alpha_{h,LT} = \frac{M_{h,LT}}{M_{s,LT}} = \frac{0,00 [\text{kNm}]}{0,40 [\text{kNm}]} = 0,00$$

$$C_{mLT} = 0,95 + 0,05 \times \alpha_{h,LT} = 0,95 + 0,05 \times 0,00 = 0,95$$

$$N_{Rk} = A \times f_y = 1,0300 \cdot 10^{-3} [\text{m}^2] \times 235,0 [\text{MPa}] = 242,05 [\text{kN}]$$

$$M_{y,Rk} = W_{pl,y} \times f_y = 3,9400 \cdot 10^{-5} [\text{m}^3] \times 235,0 [\text{MPa}] = 9,26 [\text{kNm}]$$

$$k_{yy} = \min \left[C_{my}; C_{my} \times \left(1 + 0,8 \times \frac{N_{Ed}}{\chi_y \times \frac{N_{Rk}}{\gamma_{M1}}} \right) \right] = \min \left[0,90; 0,90 \times \left(1 + 0,8 \times \frac{0,00 [\text{kN}]}{1,00 \times \frac{242,05 [\text{kN}]}{1,00}} \right) \right]$$

$$= \min [0,90; 0,90] = 0,90$$

$$k_{zy} = 0,6 \times k_{yy} = 0,6 \times 0,90 = 0,54$$

$$\text{Posudek (6.61)} = \frac{|N_{Ed}|}{\chi_y \times \frac{N_{Rk}}{\gamma_{M1}}} + k_{yy} \times \frac{|M_{y,Ed}| + |\Delta M_{y,Ed}|}{\chi_{LT,mod} \times \frac{M_{y,Rk}}{\gamma_{M1}}} + k_{yz} \times \frac{|M_{z,Ed}| + |\Delta M_{z,Ed}|}{\frac{M_{z,Rk}}{\gamma_{M1}}}$$

$$= \frac{|0,00 [\text{kN}]|}{1,00 \times \frac{242,05 [\text{kN}]}{1,00}} + 0,90 \times \frac{|0,40 [\text{kNm}]| + |0,00 [\text{kNm}]|}{1,00 \times \frac{9,26 [\text{kNm}]}{1,00}} + 0,60 \times \frac{|0,00 [\text{kNm}]| + |0,00 [\text{kNm}]|}{\frac{2,15 [\text{kNm}]}{1,00}} = 0,04 \leq 1,00$$

(EC3-1-1: 6.61)

U Plynárny 1002/97, 101 00, Praha 10

(EC3-1-1: 6.62)

Prvek splňuje podmínky stabilitního posudku.

[illegible]

REKONSTRUKCE VÝPRAVNÍ BUDOVY V ŽST. TÁBOR

DOKUMENTACE PRO PROVÁDĚNÍ STAVBY

F.5.1.12 Požární posudek – Dílčí posudek nejvíce namáhaných průřezů při požadavku 30minut [*100=%]

Požární odolnost ocelových prvků EC-EN 1993

Hodnoty: $UC_{celkový}$

Lineární výpočet

Kombinace: MSU-POZAR

Souřadný systém: Hlavní

Extrém 1D: Průřez

Výběr: Vše

EN 1993-1-2 posudek požární odolnosti

Národní dodatek: Česká CSN-EN NA

Dílec B4	5,950 / 11,400 m	IPE600	Válcovaný	S 235	MSU-POZAR	1,00 -
----------	------------------	--------	-----------	-------	-----------	--------

Klíč kombinace		
MSU-POZAR / ZS1 + ZS2 + 0.20*ZS6 + ZS7		

Dílčí souč. spolehlivosti		
Únosnost průřezů	γ_{M0}	1,00
Únosnost na stabilitu	γ_{M1}	1,00
Únosnost čistého průřezu	γ_{M2}	1,25
Odolnost proti požáru	$\gamma_{M,fi}$	1,00

Materiál			
Mez kluzu	f_y	235,0	MPa
Pevnost v tahu	f_u	360,0	MPa

Požární odolnost

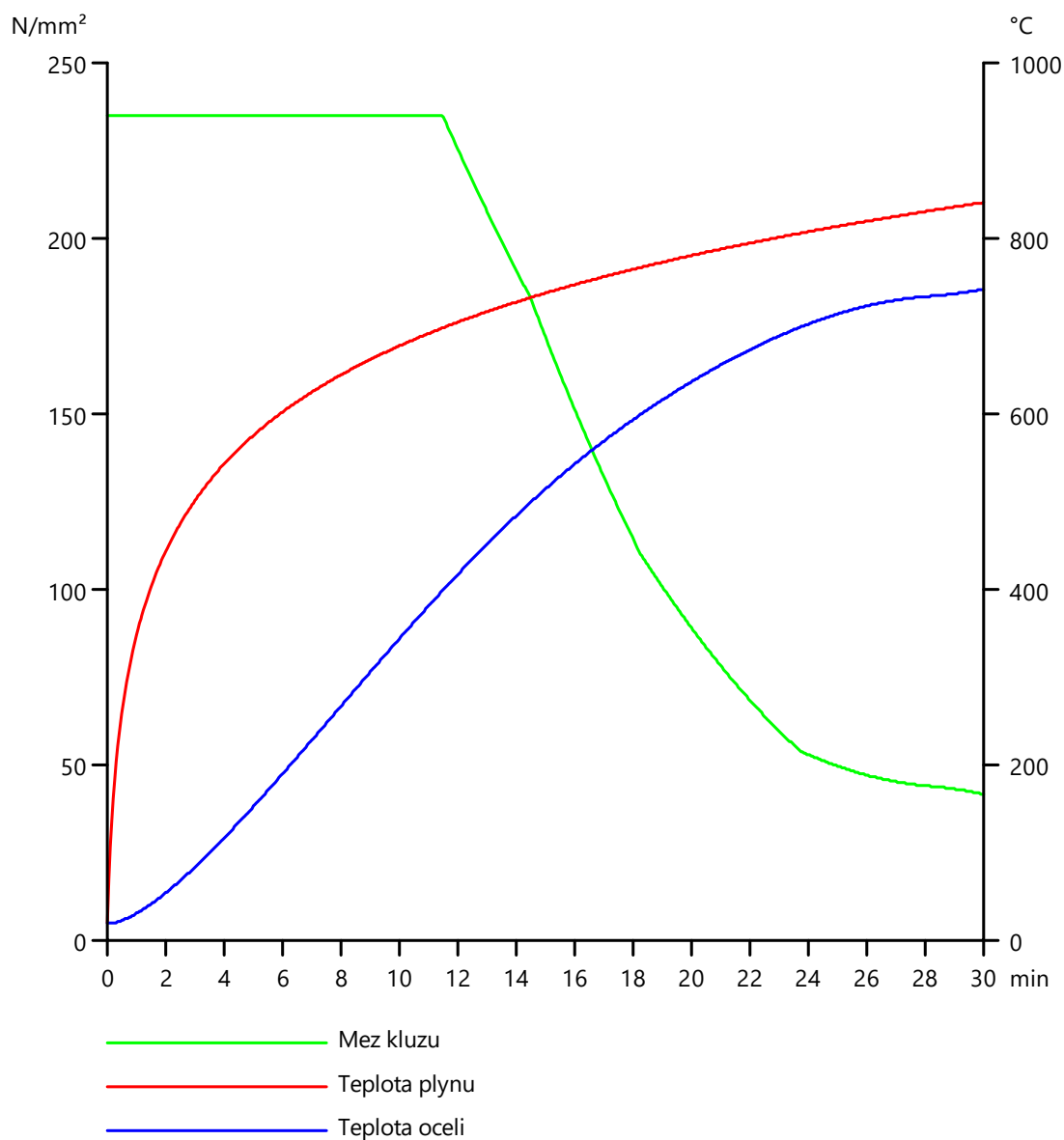
Posouzení v oblasti teploty podle EN 1993-1-2 článku 4.2.4

Požární odolnost			
Křivka teplota - čas		Křivka ISO 834	
Součinitel přenosu tepla prouděním	α_c	25,00	W/m²K
Emisivita vztažená k požárnímu úseku	ϵ_f	1,00	
Emisivita vztažená k povrchu materiálu	ϵ_m	0,70	
Polohový faktor toku tepla sáláním	ϕ	1,00	
Požadovaná požární odolnost	R	30,00	min
Teplota plynu	θ_a	841,80	°C
Teplota materiálu	$\theta_{s,t}$	743,18	°C
Kritická teplota materiálu	$\theta_{s,cr}$	743,67	°C
Požární odolnost	t_{cr}	30,07	min
Expozice nosníku		3 strany	
Krytá pásnice		Horní pásnice	
Adaptační součinitel pro průřez	κ_1	0,70	
Adaptační součinitel pro nosník	κ_2	1,00	
Součinitel průřezu pro nechráněné ocelové dílce	A_m/V	1,1504e+02	1/m
Opravný součinitel pro efekt stínu	k_{sh}	0,71	
Redukční součinitel pro mez kluzu	$k_{y,\theta}$	0,18	
Redukční součinitel pro modul E	$k_{E,\theta}$	0,11	
Jedn. posudek		1,00	-

Výsledky posudků zobrazené níže jsou uvedeny při kritické teplotě materiálu $\theta_{s,cr} = 743,67$ °C. Tyto výsledky byly použity k určení kritické teploty, tj. teploty, při které se jednotkový posudek blíží 1,00.

REKONSTRUKCE VÝPRAVNÍ BUDOVY V ŽST. TÁBOR

DOKUMENTACE PRO PROVÁDĚNÍ STAVBY



...:POSUDEK ÚNOSNOSTI:...

Kritický posudek je na pozici 5,950 m

Vnitřní síly		Vypočtené	Jednotka
Osová síla	$N_{fi,Ed}$	-0,76	kN
Smyková síla	$V_{y,fi,Ed}$	0,00	kN
Smyková síla	$V_{z,fi,Ed}$	-2,10	kN
Kroucení	$T_{fi,Ed}$	0,00	kNm
Ohybový moment	$M_{y,fi,Ed}$	145,13	kNm
Ohybový moment	$M_{z,fi,Ed}$	0,00	kNm

Klasifikace pro návrh průřezu

Podle podle EN 1993-1-2 článku 4.2.2

REKONSTRUKCE VÝPRAVNÍ BUDOVY V ŽST. TÁBOR

DOKUMENTACE PRO PROVÁDĚNÍ STAVBY

Klasifikace vnitřních a vnějších částí podle EN 1993-1-1 tabulky 5.2 listu 1 a 2

Id	Typ	c [mm]	t [mm]	σ_1 [kN/m ²]	σ_2 [kN/m ²]	ψ [-]	k_σ [-]	α [-]	c/t [-]	Třída 1 limit [-]	Třída 2 limit [-]	Třída 3 limit [-]	Třída
1	SO	80	19	-45727,708	-45727,674								
3	SO	80	19	-45727,735	-45727,769								
4	I	514	12	-40448,877	40545,932	-1,0		0,5	42,8	61,1	70,5	105,3	1
5	SO	80	19	45824,764	45824,729	1,0	0,4	1,0	4,2	7,6	8,5	11,7	1
7	SO	80	19	45824,790	45824,825	1,0	0,4	1,0	4,2	7,6	8,5	11,7	1

Průřez je klasifikován třídou 1

Poznámka: Limity klasifikace byly nastaveny podle Semi-Comp+.

Posudek na tlak

Podle EN 1993-1-2 článku 4.2.3.2 a rovnice (4.5)

Průřezová plocha	A	1,5600e-02	m ²
Návrhová únosnost na vzpěr	$N_{f1,Rd}$	651,06	kN
Jedn. posudek		0,00	-

Posudek ohybového momentu pro M_y

Podle EN 1993-1-2 článku 4.2.3.3 a rovnice (4.10)

Plastický modul průřezu	$W_{pl,y}$	3,5120e-03	m ³
Plastický ohybový moment	$M_{pl,y,Rd}$	825,32	kNm
Pevnost za ohybu	$M_{y,f1,Rd}$	146,57	kNm
Návrhová ohybová únosnost	$M_{y,f1,Rd}$	209,39	kNm
Jedn. posudek		0,69	-

Posudek smyku pro V_z

Podle EN 1993-1-2 článku 4.2.3.3 a rovnice (4.16)

Součinitel smykové korekce	η	1,20	
Smyk. plocha	A_v	8,3800e-03	m ²
Plastická smyková únosnost pro V_z	$V_{pl,z,Rd}$	1136,98	kN
Plastická smyková únosnost pro V_z	$V_{z,f1,Rd}$	201,92	kN
Jedn. posudek		0,01	-

Posudek kroucení

Podle EN 1993-1-2 článku 4.2.3

Podle EN 1993-1-1 článku 6.2.7 a rovnice (6.23)

Index vlákna	Vlákno	15	
Celkový krouticí moment	$\tau_{f1,Ed}$	0,0	MPa
Návrhová únosnost v kroucení	$\tau_{f1,Rd}$	24,1	MPa
Jedn. posudek		0,00	-

Poznámka: Jednotkový posudek pro kroucení je menší než limitní hodnota 0,05. Kroucení se proto považuje za nevýznamné a je v kombinovaných posudcích zanedbáno.

Posudek na kombinaci ohybu, osově a smykové síly

Podle EN 1993-1-2 článku 4.2.3

Podle EN 1993-1-1 článku 6.2.9.1 a rovnice (6.41)

Plastický ohybový moment	$M_{y,f1,Rd}$	209,39	kNm
Exponent ohybového poměru y	α	2,00	
Plastický ohybový moment	$M_{z,f1,Rd}$	28,95	kNm
Exponent ohybového poměru z	β	1,00	

Jednotkový posudek (4.9) = 0,48 + 0,00 = 0,48 -

Poznámka: Protože smykové síly jsou menší než polovina plastické smykové únosnosti, jejich vliv na momentovou únosnost se zanedbává.

Poznámka: Protože osová síla splňuje podmínku (6.33) i (6.34) z EN 1993-1-1 článku 6.2.9.1(4)

její vliv na momentovou únosnost kolem osy y-y se zanedbává.

Poznámka: Protože osová síla splňuje podmínku (6.35) z EN 1993-1-1 článku 6.2.9.1(4)

její vliv na momentovou únosnost kolem osy z-z se zanedbává.

Prvek splňuje podmínky posudku průřezu.

REKONSTRUKCE VÝPRAVNÍ BUDOVY V ŽST. TÁBOR

DOKUMENTACE PRO PROVÁDĚNÍ STAVBY

....:POSUDEK STABILITY:....

Klasifikace pro návrh dílce na vzpěr

Rozhodující poloha pro klasifikaci stability: 5,950 m

Rozhodující součinitel využití η : 0,12

Podle EN 1993-1-2 článku 4.2.2

Klasifikace vnitřních a vnějších částí podle EN 1993-1-1 tabulky 5.2 listu 1 a 2

Id	Typ	c [mm]	t [mm]	σ_1 [kN/m ²]	σ_2 [kN/m ²]	Ψ [-]	k_σ [-]	α [-]	c/t [-]	Třída 1 limit [-]	Třída 2 limit [-]	Třída 3 limit [-]	Třída
1	SO	80	19	-45727,708	-45727,674								
3	SO	80	19	-45727,735	-45727,769								
4	I	514	12	-40448,877	40545,932	-1,0		0,5	4,2,8	61,1	70,5	105,3	1
5	SO	80	19	45824,764	45824,729	1,0	0,4	1,0	4,2	7,6	8,5	11,7	1
7	SO	80	19	45824,790	45824,825	1,0	0,4	1,0	4,2	7,6	8,5	11,7	1

Průřez je klasifikován třídou 1

Poznámka: Limity klasifikace byly nastaveny podle Semi-Comp+.

Poznámka: Rozhodující poloha pro klasifikaci stability je založena na součiniteli využití η podle Semi-Comp+.

Posudek rovinného vzpěru

Podle EN 1993-1-2 článku 4.2.3.2 a rovnice (4.5)

Parametry vzpěru		yy	zz	
Typ posuvných styčniců		posuvné	neposuvné	
Systémová délka	L	11,400	1,650	m
Součinitel vzpěru	k	1,36	0,78	
Vzpěrná délka	l_{cr}	15,542	1,292	m
Kritické Eulerovo zatížení	N_{cr}	7900,92	42085,13	kN
Štíhlost	λ	63,97	27,72	
Poměrná štíhlost	λ_{rel}	0,68	0,30	
Poměrná štíhlost	$\lambda_{rel,\theta}$	0,86	0,37	
Imperfekce	α	0,65	0,65	
Redukční součinitel	χ_{fi}	0,53	0,79	
Únosnost na vzpěr	$N_{b,fi,Rd}$	341,97	512,54	kN

Posudek rovinného vzpěru			
Průřezová plocha	A	1,5600e-02	m ²
Únosnost na vzpěr	$N_{b,fi,Rd}$	341,97	kN
Jedn. posudek		0,00	-

Posudek prostorového vzpěru

Podle EN 1993-1-2 článku 4.2.3.2 a rovnice (4.5)

Poznámka: Pro tento I průřez je únosnost na prostorový vzpěr vyšší než únosnost na rovinový vzpěr. Prostorový vzpěr proto není ve výstupu uveden.

Posudek klopení

Podle EN 1993-1-2 článku 6.3.2.1

Poznámka: Posudek klopení je zanedbatelný, protože dílci je bráněno v příčné deformaci.

Posudek ohybu a osového tlaku

Podle EN 1993-1-2 článku 4.2.3.5 a rovnice (4.21a), (4.21b)

Parametry pro posudek ohybu a osového tlaku			
Průřezová plocha	A	1,5600e-02	m ²
Plastický modul průřezu	$W_{pl,y}$	3,5120e-03	m ³
Plastický modul průřezu	$W_{pl,z}$	4,8560e-04	m ³
Návrhová tlaková síla	$N_{fi,Ed}$	0,76	kN
Návrhový ohybový moment	$M_{fy,fi,Ed}$	145,13	kNm
Návrhový ohybový moment	$M_{fz,fi,Ed}$	0,00	kNm
Redukční součinitel	$\chi_{min,fi}$	0,53	
Redukční součinitel	$\chi_{z,fi}$	0,79	
Redukční součinitel	$\chi_{LT,fi}$	1,00	
Součinitel ekvivalentního momentu	β_{fy}	1,31	
Součinitel	μ_y	-1,16	
Interakční součinitel	k_y	1,00	

REKONSTRUKCE VÝPRAVNÍ BUDOVY V ŽST. TÁBOR

DOKUMENTACE PRO PROVÁDĚNÍ STAVBY

Parametry pro posudek ohybu a osového tlaku			
Součinitel ekvivalentního momentu	$\beta_{M,z}$	2,45	
Součinitel	μ_z	0,80	
Interakční součinitel	k_z	1,00	
Součinitel ekvivalentního momentu	$\beta_{M,L,T}$	1,40	
Součinitel	$\mu_{L,T}$	-0,07	
Interakční součinitel	$k_{L,T}$	1,00	

Jednotkový posudek (4.21a) = 0,00 + 0,99 + 0,00 = 0,99 -

Jednotkový posudek (4.21b) = 0,00 + 0,99 + 0,00 = 0,99 -

Posudek ztráty stability od smyku

Podle EN 1993-1-2 článku 4.2.3

Podle EN 1993-1-5 článku 5 & 7.1 a rovnice (5.10) & (7.1)

Parametry ztráty stability od smyku			
Délka pole vzpěru	a	11,400	m
Stojina		nevyztužený	
Výška stojiny	h_w	562	mm
Tloušťka stojiny	t	12	mm
Materiálový součinitel	ϵ	0,85	
Součinitel smykové korekce	η	1,20	

Ověření ztráty stability od smyku		
Štíhlost stojiny	h_w/t	46,83
Limit štíhlosti stojiny		51,00

Poznámka: Štíhlost stojiny umožňuje ignorovat účinky smykové ztráty stability podle EN 1993-1-5 čl. 5.1(2).

Prvek splňuje podmínky stabilitního posudku.

EN 1993-1-2 posudek požární odolnosti

Národní dodatek: Česká CSN-EN NA

Dílec B166	0,000 / 3,850 m	MSRR193.7x16.0	Válcovaný	S 235	MSU-POZAR	0,99 -
------------	-----------------	----------------	-----------	-------	-----------	--------

Klíč kombinace	
MSU-POZAR / ZS1 + ZS2 + 0.20*ZS6 + ZS7	

Díleč souč. spolehlivosti		
Únosnost průřezů	γ_{M0}	1,00
Únosnost na stabilitu	γ_{M1}	1,00
Únosnost čistého průřezu	γ_{M2}	1,25
Odolnost proti požáru	$\gamma_{M,fi}$	1,00

Materiál			
Mez kluzu	f_y	235,0	MPa
Pevnost v tahu	f_u	360,0	MPa

Požární odolnost

Posouzení v oblasti teploty podle EN 1993-1-2 článku 4.2.4

Požární odolnost			
Křivka teplota - čas		Křivka ISO 834	
Součinitel přenosu tepla prouděním	α_c	25,00	W/m²K
Emisivita vztažená k požárnímu úseku	ϵ_i	1,00	
Emisivita vztažená k povrchu materiálu	ϵ_m	0,70	
Polohový faktor toku tepla sáláním	ϕ	1,00	
Požadovaná požární odolnost	R	30,00	min
Teplota plynu	$\theta_{g,t}$	841,80	°C
Teplota materiálu	$\theta_{s,t}$	732,90	°C
Kritická teplota materiálu	$\theta_{s,cr}$	739,06	°C
Požární odolnost	t_{cr}	31,83	min

REKONSTRUKCE VÝPRAVNÍ BUDOVY V ŽST. TÁBOR

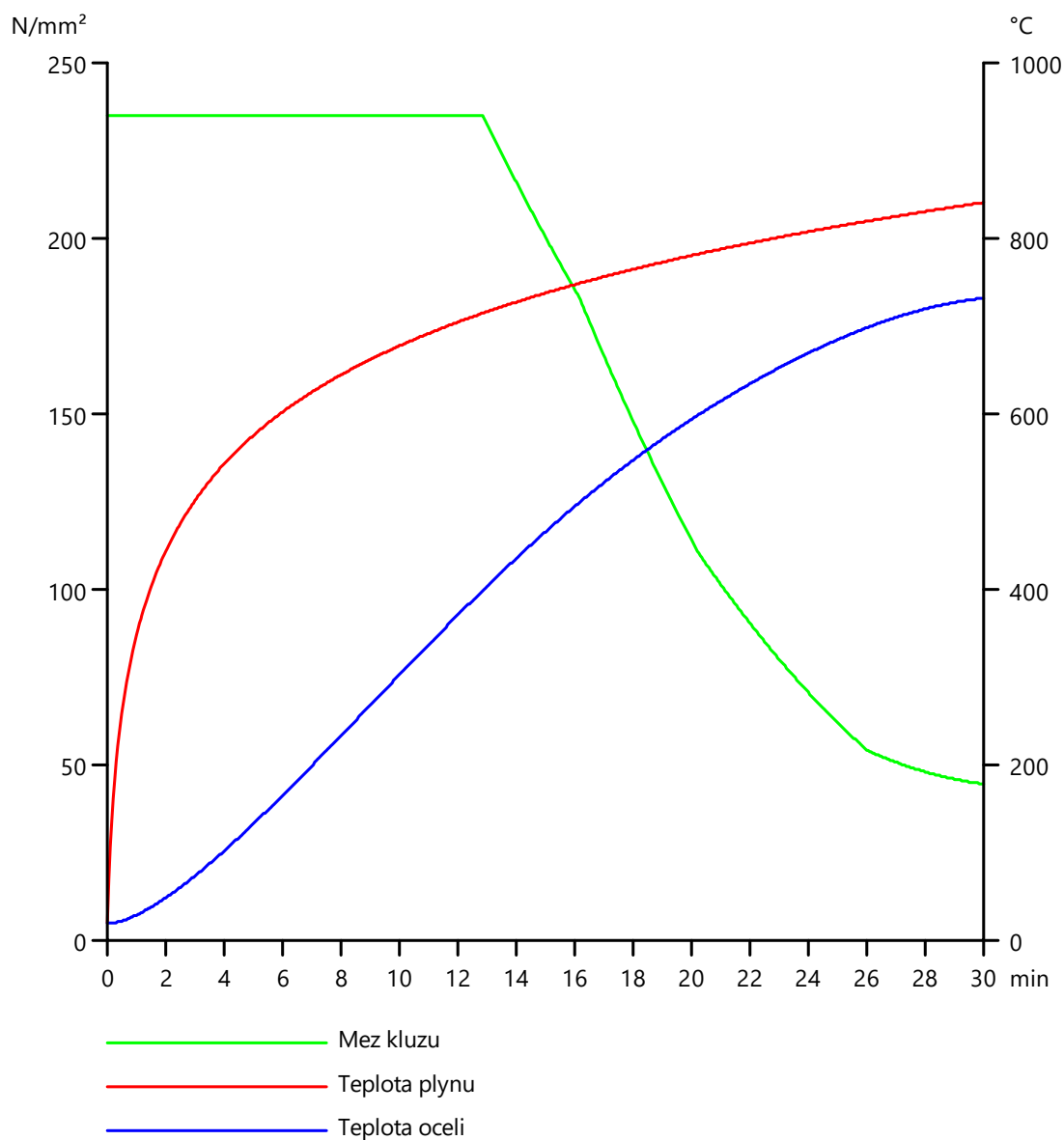
DOKUMENTACE PRO PROVÁDĚNÍ STAVBY

Požární odolnost			
Expozice nosníku		Všechny strany	
Adaptační součinitel pro průřez	κ_1	1,00	
Adaptační součinitel pro nosník	κ_2	1,00	
Součinitel průřezu pro nechráněné ocelové dílce	A_{re}/V	6,8197e+01	1/m
Opravný součinitel pro efekt stínu	k_{sh}	1,00	
Redukční součinitel pro mez kluzu	$k_{y,R}$	0,18	
Redukční součinitel pro modul E	$k_{E,R}$	0,11	
Jedn. posudek		0,99	–

Výsledky posudků zobrazené níže jsou uvedeny při kritické teplotě materiálu $\theta_{a,cr} = 739,06 \text{ °C}$. Tyto výsledky byly použity k určení kritické teploty, tj. teploty, při které se jednotkový posudek blíží 1,00.

REKONSTRUKCE VÝPRAVNÍ BUDOVY V ŽST. TÁBOR

DOKUMENTACE PRO PROVÁDĚNÍ STAVBY



...:POSUDEK ÚNOSNOSTI:...

Kritický posudek je na pozici 0,000 m

Vnitřní síly		Vypočtené	Jednotka
Osová síla	$N_{fi,Ed}$	-79,86	kN
Smyková síla	$V_{y,fi,Ed}$	0,00	kN
Smyková síla	$V_{z,fi,Ed}$	-0,56	kN
Kroucení	$T_{fi,Ed}$	0,00	kNm
Ohybový moment	$M_{y,fi,Ed}$	2,15	kNm
Ohybový moment	$M_{z,fi,Ed}$	0,00	kNm

Klasifikace pro návrh průřezu

Podle podle EN 1993-1-2 článku 4.2.2

REKONSTRUKCE VÝPRAVNÍ BUDOVY V ŽST. TÁBOR

DOKUMENTACE PRO PROVÁDĚNÍ STAVBY

Klasifikace trubek podle EN 1993-1-1 tabulky 5.2 listu 3

d [mm]	t [mm]	d/t [-]	Třída 1 limit [-]	Třída 2 limit [-]	Třída 3 limit [-]	Třída
194	16	12,1	36,1	50,6	65,0	1

Průřez je klasifikován třídou 1

Posudek na tlak

Podle EN 1993-1-2 článku 4.2.3.2 a rovnice (4.5)

Průřezová plocha	A	8,9300e-03	m ²
Návrhová únosnost na vzpěr	N _{fi,t,Rd}	384,30	kN
Jedn. posudek		0,21	-

Posudek ohybového momentu pro M_y

Podle EN 1993-1-2 článku 4.2.3.3 a rovnice (4.10)

Plastický modul průřezu	W _{pl,y}	5,0700e-04	m ³
Plastický ohybový moment	M _{pl,y,Rd}	119,14	kNm
Pevnost za ohybu	M _{y,fi,Rd}	21,82	kNm
Návrhová ohybová únosnost	M _{y,fi,t,Rd}	21,82	kNm
Jedn. posudek		0,10	-

Posudek smyku pro V_z

Podle EN 1993-1-2 článku 4.2.3.3 a rovnice (4.16)

Součinitel smykové korekce	η	1,20	
Smyk. plocha	A _v	5,6850e-03	m ²
Plastická smyková únosnost pro V _z	V _{pl,z,Rd}	771,33	kN
Plastická smyková únosnost pro V _z	V _{z,fi,t,Rd}	141,25	kN
Jedn. posudek		0,00	-

Posudek kroucení

Podle EN 1993-1-2 článku 4.2.3

Podle EN 1993-1-1 článku 6.2.7 a rovnice (6.23)

Index vlákna	Vlákno	1	
Čelkový kroučicí moment	τ _{fi,Ed}	0,0	MPa
Návrhová únosnost v kroucení	τ _{fi,t,Rd}	24,8	MPa
Jedn. posudek		0,00	-

Poznámka: Jednotkový posudek pro kroucení je menší než limitní hodnota 0,05. Kroucení se proto považuje za nevýznamné a je v kombinovaných posudcích zanedbáno.

Posudek na kombinaci ohybu, osově a smykové síly

Podle EN 1993-1-2 článku 4.2.3

Podle EN 1993-1-1 článku 6.2.9.1 a rovnice (6.31)

Výslednice ohybového momentu	M _{výslednice}	2,15	kNm
Výslednice smykové síly	V _{výslednice}	0,56	kN
Návrhová plastická momentová únosnost redukovaná kvůli N _{Ed}	M _{N,fi,t,Rd}	20,31	kNm
Jedn. posudek		0,11	-

Poznámka: Výsledné vnitřní síly se použijí pro trubkové průřezy

Poznámka: Protože smykové síly jsou menší než polovina plastické smykové únosnosti, jejich vliv na momentovou únosnost se zanedbává.

Prvek splňuje podmínky posudku průřezu.

....:POSUDEK STABILITY:....

Klasifikace pro návrh dílce na vzpěr

Rozhodující poloha pro klasifikaci stability: 0,000 m

Rozhodující součinitel využití η: 0,05

Podle EN 1993-1-2 článku 4.2.2

Klasifikace trubek podle EN 1993-1-1 tabulky 5.2 listu 3

d [mm]	t [mm]	d/t [-]	Třída 1 limit [-]	Třída 2 limit [-]	Třída 3 limit [-]	Třída
194	16	12,1	36,1	50,6	65,0	1

REKONSTRUKCE VÝPRAVNÍ BUDOVY V ŽST. TÁBOR

DOKUMENTACE PRO PROVÁDĚNÍ STAVBY

Průřez je klasifikován třídou 1

Poznámka: Rozhodující poloha pro klasifikaci stability je založena na součiniteli využití η podle Semi-Comp+.

Posudek rovinného vzpěru

Podle EN 1993-1-2 článku 4.2.3.2 a rovnice (4.5)

Parametry vzpěru		yy	zz	
Typ posuvných styčniců		posuvné	neposuvné	
Systémová délka	L	3,850	3,850	m
Součinitel vzpěru	k	2,00	0,70	
Vzpěrná délka	l_{cr}	7,709	2,695	m
Kritické Eulerovo zatížení	N_{cr}	1238,03	10130,48	kN
Štíhlost	λ	122,27	42,74	
Poměrná štíhlost	λ_{rel}	1,30	0,46	
Poměrná štíhlost	$\lambda_{rel,B}$	1,65	0,58	
Imperfekce	α	0,65	0,65	
Redukční součinitel	χ_{fi}	0,24	0,67	
Únosnost na vzpěr	$N_{b,fi,Rd}$	93,11	259,27	kN

Posudek rovinného vzpěru			
Průřezová plocha	A	8,9300e-03	m ²
Únosnost na vzpěr	$N_{b,fi,Rd}$	93,11	kN
Jedn. posudek		0,86	-

Posudek prostorového vzpěru

Podle EN 1993-1-2 článku 4.2.3.2 a rovnice (4.5)

Poznámka: Průřez se týká kruhové trubky, která není náchylná k prostorovému vzpěru.

Posudek klopení

Podle EN 1993-1-2 článku 6.3.2.1

Poznámka: Průřez se týká kruhové trubky, která není náchylná ke klopení.

Posudek ohybu a osového tlaku

Podle EN 1993-1-2 článku 4.2.3.5 a rovnice (4.21a), (4.21b)

Parametry pro posudek ohybu a osového tlaku			
Průřezová plocha	A	8,9300e-03	m ²
Plastický modul průřezu	$W_{pl,y}$	5,0700e-04	m ³
Plastický modul průřezu	$W_{pl,z}$	5,0700e-04	m ³
Návrhová tlaková síla	$N_{fi,Ed}$	79,86	kN
Návrhový ohybový moment	$M_{y,fi,Ed}$	2,15	kNm
Návrhový ohybový moment	$M_{z,fi,Ed}$	0,00	kNm
Redukční součinitel	$\chi_{min,fi}$	0,24	
Redukční součinitel	$\chi_{z,fi}$	0,67	
Redukční součinitel	$\chi_{L,T,fi}$	1,00	
Součinitel ekvivalentního momentu	$\beta_{M,y}$	1,80	
Součinitel	μ_y	-0,46	
Interakční součinitel	k_y	1,39	
Součinitel ekvivalentního momentu	$\beta_{M,z}$	1,40	
Součinitel	μ_z	-0,06	
Interakční součinitel	k_z	1,02	
Součinitel ekvivalentního momentu	$\beta_{M,LT}$	1,80	
Součinitel	$\mu_{L,T}$	0,01	
Interakční součinitel	$k_{L,T}$	1,00	

Jednotkový posudek (4.21a) = 0,86 + 0,14 + 0,00 = 0,99 -

Jednotkový posudek (4.21b) = 0,31 + 0,10 + 0,00 = 0,41 -

Prvek splňuje podmínky stabilitního posudku.

EN 1993-1-2 posudek požární odolnosti

Národní dodatek: Česká CSN-EN NA

Dílec B179	0,000 / 5,000 m	BRFL350X5	Válcovaný	S 235	MSU-POZAR	0,70 -
------------	-----------------	-----------	-----------	-------	-----------	--------

REKONSTRUKCE VÝPRAVNÍ BUDOVY V ŽST. TÁBOR

DOKUMENTACE PRO PROVÁDĚNÍ STAVBY

Klíč kombinace		
MSU-POZAR / ZS1 + ZS2 + 0.20*ZS6 + ZS7		

Dílčí souč. spolehlivosti		
Únosnost průřezů	γ_{MS}	1,00
Únosnost na stabilitu	γ_{M1}	1,00
Únosnost čistého průřezu	γ_{M2}	1,25
Odolnost proti požáru	$\gamma_{M,fi}$	1,00

Materiál			
Mez kluzu	f_y	235,0	MPa
Pevnost v tahu	f_u	360,0	MPa

Požární odolnost

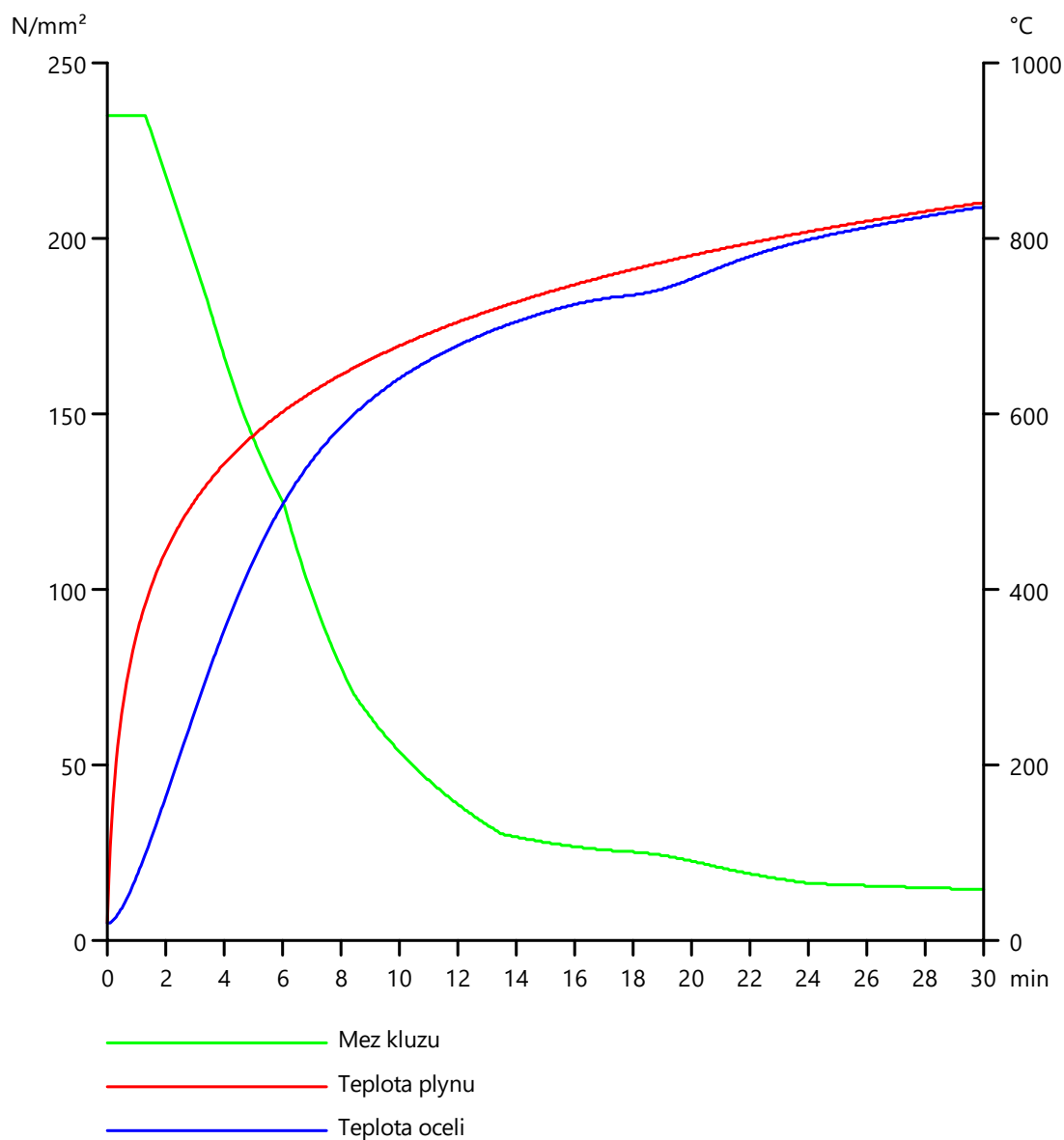
Posouzení v oblasti teploty podle EN 1993-1-2 článku 4.2.4

Požární odolnost			
Křivka teplota - čas		Křivka ISO 834	
Součinitel přenosu tepla prouděním	α_e	25,00	W/m²K
Emisivita vztažená k požárnímu úseku	ϵ_f	1,00	
Emisivita vztažená k povrchu materiálu	ϵ_m	0,70	
Polohový faktor toku tepla sáláním	ϕ	1,00	
Požadovaná požární odolnost	R	30,00	min
Teplota plynu	θ_g	841,80	°C
Teplota materiálu	$\theta_{s,t}$	836,88	°C
Kritická teplota materiálu	$\theta_{s,cr}$	1193,09	°C
Požární odolnost	t_{cr}	300,00	min
Expozice nosníku		Všechny strany	
Adaptační součinitel pro průřez	κ_1	1,00	
Adaptační součinitel pro nosník	κ_2	1,00	
Součinitel průřezu pro nechráněné ocelové dílce	A_m/V	4,0571e+02	1/m
Opravný součinitel pro efekt stínu	k_{sh}	1,00	
Redukční součinitel pro mez 0,2%	$k_{0,2p,B}$	0,00	
Redukční součinitel pro modul E	$k_{E,B}$	0,00	
Jedn. posudek		0,70	-

Výsledky posudků zobrazené níže jsou uvedeny při kritické teplotě materiálu $\theta_{s,cr} = 1193,09$ °C. Tyto výsledky byly použity k určení kritické teploty, tj. teploty, při které se jednotkový posudek blíží 1,00.

REKONSTRUKCE VÝPRAVNÍ BUDOVY V ŽST. TÁBOR

DOKUMENTACE PRO PROVÁDĚNÍ STAVBY



...:POSUDEK ÚNOSNOSTI:...:

Kritický posudek je na pozici 0,000 m

Definice osy:

- hlavní osa y v tomto posudku se vztahuje k hlavní ose z programu SCIA Engineer.
- hlavní osa z v tomto posudku se vztahuje k hlavní ose y programu SCIA Engineer.

Vnitřní síly		Vypočtené	Jednotka
Osová síla	$N_{f,Ed}$	0,00	kN
Smyková síla	$V_{y,f,Ed}$	0,00	kN
Smyková síla	$V_{z,f,Ed}$	0,00	kN
Kroucení	$T_{f,Ed}$	0,00	kNm
Ohybový moment	$M_{y,f,Ed}$	0,00	kNm

REKONSTRUKCE VÝPRAVNÍ BUDOVY V ŽST. TÁBOR

DOKUMENTACE PRO PROVÁDĚNÍ STAVBY

Vnitřní síly		Vypočtené	Jednotka
Ohybový moment	$M_{z,Ed}$	0,00	kNm

Klasifikace pro návrh průřezu

Podle EN 1993-1-2 článku 4.2.2

Klasifikace vnitřních a vnějších částí podle EN 1993-1-1 tabulky 5.2 listu 1 a 2

Id	Typ	c [mm]	t [mm]	σ_1 [kN/m²]	σ_2 [kN/m²]	ψ [-]	k_σ [-]	α [-]	c/t [-]	Třída 1 limit [-]	Třída 2 limit [-]	Třída 3 limit [-]	Třída
1	I	350	5	0,229	0,229	1,0		1,0	70,0	23,8	28,9	32,3	4

Průřez je klasifikován třídou 4

Poznámka: Limity klasifikace byly nastaveny podle Semi-Comp+.

Efektivní průřez N-

Výpočet efektivní šířky

Podle EN 1993-1-5 čl. 4.4

Id	Typ	b_e [mm]	σ_1 [kN/m²]	σ_2 [kN/m²]	ψ [-]	k_σ [-]	λ_p [-]	ρ [-]	b_e [mm]	b_{e1} [mm]	b_{e2} [mm]
1	I	350	235000,000	235000,000	1,0	4,0	1,2	0,7	233	117	117

Efektivní vlastnosti											
Efektivní plocha	A_{eff}	1,1665e-03	m²								
Efektivní moment setrvačnosti	$I_{eff,y}$	1,7865e-05	m⁴		$I_{eff,z}$	2,4302e-09	m⁴				
Efektivní modul průřezu	$W_{eff,y}$	1,0208e-04	m³		$W_{eff,z}$	9,7209e-07	m³				
Posun těžiště	$e_{N,y}$	0	mm		$e_{N,z}$	0	mm				

Posudek na tlak

Podle EN 1993-1-2 článku 4.2.3.2 a rovnice (4.5)

Efektivní průřezová plocha	A_{eff}	1,1665e-03	m²
Návrhová únosnost na vzpěr	N_{Rd}	0,38	kN
Jedn. posudek		0,00	-

Prvek splňuje podmínky posudku průřezu.

....:POSUDEK STABILITY:....

Klasifikace pro návrh dílce na vzpěr

Rozhodující poloha pro klasifikaci stability: 0,000 m

Rozhodující součinitel využití η : 0,00

Podle EN 1993-1-2 článku 4.2.2

Klasifikace vnitřních a vnějších částí podle EN 1993-1-1 tabulky 5.2 listu 1 a 2

Id	Typ	c [mm]	t [mm]	σ_1 [kN/m²]	σ_2 [kN/m²]	ψ [-]	k_σ [-]	α [-]	c/t [-]	Třída 1 limit [-]	Třída 2 limit [-]	Třída 3 limit [-]	Třída
1	I	350	5	0,229	0,229	1,0		1,0	70,0	23,8	28,9	32,3	4

Průřez je klasifikován třídou 4

Poznámka: Limity klasifikace byly nastaveny podle Semi-Comp+.

Poznámka: Rozhodující poloha pro klasifikaci stability je založena na součiniteli využití η podle Semi-Comp+.

Posudek rovinného vzpěru

Podle EN 1993-1-2 článku 4.2.3.2 & příloha E a rovnice (4.5)

Parametry vzpěru		yy	zz	
Typ posuvných styčníků		neposuvné	posuvné	
Systémová délka	L	5,000	5,000	m
Součinitel vzpěru	k	1,00	1,00	
Vzpěrná délka	l_{cr}	5,000	5,000	m
Kritické Eulerovo zatížení	N_{cr}	1481,13	0,30	kN
Štíhlost	λ	49,49	3464,10	
Poměrná štíhlost	λ_{rel}	0,43	30,12	
Poměrná štíhlost	$\lambda_{rel,B}$	0,41	28,39	
Imperfekce	α	0,65	0,65	
Redukční součinitel	χ_{fi}	0,77	0,00	

REKONSTRUKCE VÝPRAVNÍ BUDOVY V ŽST. TÁBOR

DOKUMENTACE PRO PROVÁDĚNÍ STAVBY

Parametry vzpěru		yy	zz	
Únosnost na vzpěr	$N_{b,fi,T,Rd}$	0,29	0,00	kN

Varování: Štíhlost 3464,10 je větší než mezní hodnota 1000,00!

Posudek rovinného vzpěru				
Efektivní průřezová plocha	A_{eff}	1,1665e-03	m ²	
Únosnost na vzpěr	$N_{b,fi,T,Rd}$	0,00	kN	
Jedn. posudek		0,87	-	

Posudek prostorového vzpěru

Podle EN 1993-1-2 článku 4.2.3.2 & příloha E a rovnice (4.5)

Vzpěrná délka na prostorový vzpěr	l_{cr}	5,000	m
Pružné kritické zatížení	$N_{cr,T}$	115,36	kN
Poměrná štíhlost	$\lambda_{rel,T}$	1,54	
Poměrná štíhlost	$\lambda_{rel,B}$	1,45	
Imperfekce	α	0,65	
Redukční součinitel	χ_{fi}	0,29	
Efektivní průřezová plocha	A_{eff}	1,1665e-03	m ²
Únosnost na vzpěr	$N_{b,fi,T,Rd}$	0,11	kN
Jedn. posudek		0,00	-

Prvek splňuje podmínky stabilitního posudku.

EN 1993-1-2 posudek požární odolnosti

Národní dodatek: Česká CSN-EN NA

Dílec B183	0,100 / 0,550 m	HEB220	Válcovaný	S 235	MSU-POZAR	0,94 -
------------	-----------------	--------	-----------	-------	-----------	--------

Klíč kombinace	
MSU-POZAR / ZS1 + ZS2 + 0.20*ZS6 + ZS7	

Dílní souč. spolehlivosti		
Únosnost průřezů	γ_{M0}	1,00
Únosnost na stabilitu	γ_{M1}	1,00
Únosnost čistého průřezu	γ_{M2}	1,25
Odolnost proti požáru	$\gamma_{M,fi}$	1,00

Materiál			
Mez kluzu	f_y	235,0	MPa
Pevnost v tahu	f_u	360,0	MPa

Požární odolnost

Posouzení v oblasti teploty podle EN 1993-1-2 článku 4.2.4

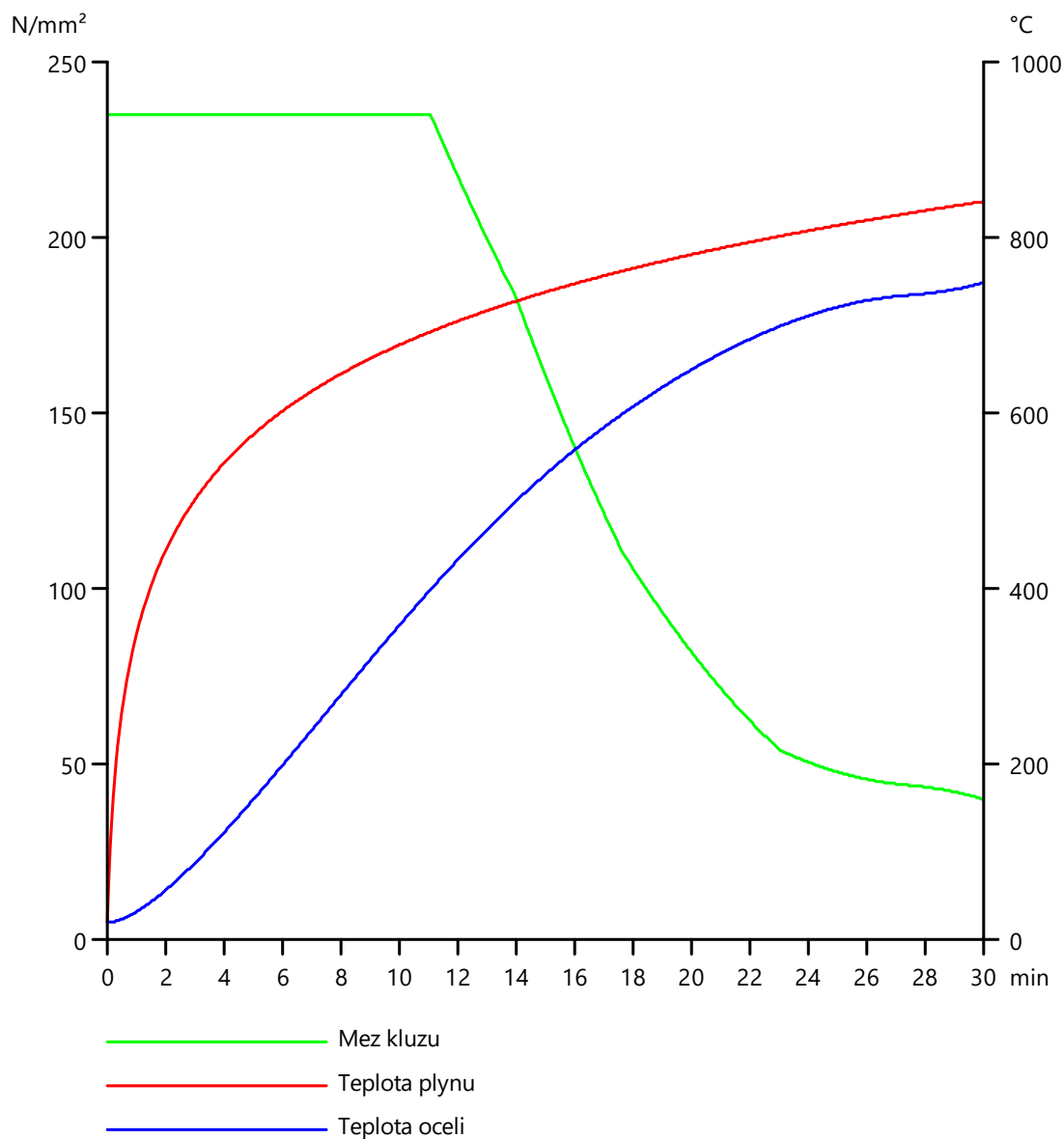
Požární odolnost			
Křivka teplota - čas		Křivka ISO 834	
Součinitel přenosu tepla prouděním	α_s	25,00	W/m ² K
Emisivita vztažená k požárnímu úseku	ϵ_f	1,00	
Emisivita vztažená k povrchu materiálu	ϵ_a	0,70	
Polohový faktor toku tepla sáláním	ϕ	1,00	
Požadovaná požární odolnost	R	30,00	min
Teplota plynu	θ_g	841,80	°C
Teplota materiálu	$\theta_{a,t}$	749,22	°C
Kritická teplota materiálu	$\theta_{a,cr}$	794,38	°C
Požární odolnost	t_{cr}	33,85	min
Expozice nosníku		Všechny strany	
Adaptační součinitel pro průřez	κ_1	1,00	
Adaptační součinitel pro nosník	κ_2	1,00	
Součinitel průřezu pro nechráněné ocelové dílce	A_m/V	1,3950e+02	1/m
Opravný součinitel pro efekt stínu	k_{sh}	0,62	

REKONSTRUKCE VÝPRAVNÍ BUDOVY V ŽST. TÁBOR

DOKUMENTACE PRO PROVÁDĚNÍ STAVBY

Požární odolnost			
Redukční součinitel pro mez kluzu	$k_{y,s}$	0,12	
Redukční součinitel pro modul E	$k_{E,s}$	0,09	
Jedn. posudek		0,94	-

Výsledky posudků zobrazené níže jsou uvedeny při kritické teplotě materiálu $\theta_{a,cr} = 794,38 \text{ }^{\circ}\text{C}$. Tyto výsledky byly použity k určení kritické teploty, tj. teploty, při které se jednotkový posudek blíží 1,00.



....:POSUDEK ÚNOSNOSTI:....

Kritický posudek je na pozici 0,100 m

Vnitřní síly		Vypočtené	Jednotka
Osová síla	$N_{fi,Ed}$	-0,20	kN
Smyková síla	$V_{y,fi,Ed}$	0,00	kN

REKONSTRUKCE VÝPRAVNÍ BUDOVY V ŽST. TÁBOR

DOKUMENTACE PRO PROVÁDĚNÍ STAVBY

Vnitřní síly		Vypočtené	Jednotka
Smyková síla	$V_{z,fi,Ed}$	17,92	kN
Kroucení	$T_{fi,Ed}$	0,00	kNm
Ohybový moment	$M_{y,fi,Ed}$	-21,05	kNm
Ohybový moment	$M_{z,fi,Ed}$	0,00	kNm

Klasifikace pro návrh průřezu

Podle EN 1993-1-2 článku 4.2.2

Klasifikace vnitřních a vnějších částí podle EN 1993-1-1 tabulky 5.2 listu 1 a 2

Id	Typ	c [mm]	t [mm]	σ_1 [kN/m²]	σ_2 [kN/m²]	ψ [-]	k_σ [-]	α [-]	c/t [-]	Třída 1 limit [-]	Třída 2 limit [-]	Třída 3 limit [-]	Třída
1	SO	87	16	26552,008	26552,706	1,0	0,4	1,0	5,5	7,6	8,5	11,7	1
3	SO	87	16	26551,644	26550,946	1,0	0,4	1,0	5,5	7,6	8,5	11,7	1
4	I	152	10	19789,284	-19745,577	-1,0		0,5	16,0	61,1	70,5	105,3	1
5	SO	87	16	-26508,301	-26508,999								
7	SO	87	16	-26507,937	-26507,238								

Průřez je klasifikován třídou 1

Poznámka: Limity klasifikace byly nastaveny podle Semi-Comp+.

Vlastnosti průřezu			
A	9,1040e-03 m²		
A_y/A	0,74	A_z/A	0,24
I_y	8,0910e-05 m⁴	I_z	2,8430e-05 m⁴
I_{yz}	2,7105e-20 m⁴	I_x	7,6570e-07 m⁴
I_u	2,9542e-07 m⁶		
$W_{el,y}$	7,3550e-04 m³	$W_{el,z}$	2,5850e-04 m³
$W_{pl,y}$	8,2700e-04 m³	$W_{pl,z}$	3,9390e-04 m³
c_y	110 mm	c_z	110 mm
d_y	0 mm	d_z	0 mm

Posudek na tlak

Podle EN 1993-1-2 článku 4.2.3.2 a rovnice (4.5)

Průřezová plocha	A	9,1040e-03	m²
Návrhová únosnost na vzpěr	$N_{fi,t,Rd}$	249,78	kN
Jedn. posudek		0,00	-

Posudek ohybového momentu pro M_y

Podle EN 1993-1-2 článku 4.2.3.3 a rovnice (4.10)

Plastický modul průřezu	$W_{pl,y}$	8,2700e-04	m³
Plastický ohybový moment	$M_{pl,y,Rd}$	194,34	kNm
Pevnost za ohybu	$M_{y,fi,t,Rd}$	22,69	kNm
Návrhová ohybová únosnost	$M_{y,fi,t,Rd}$	22,69	kNm
Jedn. posudek		0,93	-

Posudek ohybového momentu pro M_z

Podle EN 1993-1-2 článku 4.2.3.3 a rovnice (4.10)

Plastický modul průřezu	$W_{pl,z}$	3,9390e-04	m³
Plastický ohybový moment	$M_{pl,z,Rd}$	92,57	kNm
Pevnost za ohybu	$M_{z,fi,t,Rd}$	10,81	kNm
Návrhová ohybová únosnost	$M_{z,fi,t,Rd}$	10,81	kNm
Jedn. posudek		0,00	-

Posudek smyku pro V_y

Podle EN 1993-1-2 článku 4.2.3.3 a rovnice (4.16)

Součinitel smykové korekce	η	1,20	
Smyk. plocha	A_v	7,3013e-03	m²
Plastická smyková únosnost pro V_y	$V_{pl,y,Rd}$	990,61	kN
Plastická smyková únosnost pro V_y	$V_{y,fi,t,Rd}$	115,65	kN
Jedn. posudek		0,00	-

Posudek smyku pro V_z

REKONSTRUKCE VÝPRAVNÍ BUDOVY V ŽST. TÁBOR

DOKUMENTACE PRO PROVÁDĚNÍ STAVBY

Podle EN 1993-1-2 článku 4.2.3.3 a rovnice (4.16)

Součinitel smykové korekce	η	1,20	
Smyk. plocha	A_v	2,7920e-03	m ²
Plastická smyková únosnost pro V_z	$V_{pl,z,Rd}$	378,81	kN
Plastická smyková únosnost pro V_z	$V_{z,fi,t,Rd}$	44,23	kN
Jedn. posudek		0,41	-

Posudek kroucení

Podle EN 1993-1-2 článku 4.2.3

Podle EN 1993-1-1 článku 6.2.7 a rovnice (6.23)

Index vlákna	Vlákno	2	
Celkový krouticí moment	$T_{fi,Ed}$	0,0	MPa
Návrhová únosnost v kroucení	$T_{fi,t,Rd}$	15,8	MPa
Jedn. posudek		0,00	-

Poznámka: Jednotkový posudek pro kroucení je menší než limitní hodnota 0,05. Kroucení se proto považuje za nevýznamné a je v kombinovaných posudcích zanedbáno.

Posudek na kombinaci ohybu, osově a smykové síly

Podle EN 1993-1-2 článku 4.2.3

Podle EN 1993-1-1 článku 6.2.9.1 a rovnice (6.41)

Plastický ohybový moment	$M_{y,fi,t,Rd}$	22,69	kNm
Exponent ohybového poměru y	α	2,00	
Plastický ohybový moment	$M_{z,fi,t,Rd}$	10,81	kNm
Exponent ohybového poměru z	β	1,00	

Jednotkový posudek (4.9) = 0,86 + 0,00 = 0,86 -

Poznámka: Protože smykové síly jsou menší než polovina plastické smykové únosnosti, jejich vliv na momentovou únosnost se zanedbává.

Poznámka: Protože osová síla splňuje podmínku (6.33) i (6.34) z EN 1993-1-1 článku 6.2.9.1(4)

její vliv na momentovou únosnost kolem osy y - y se zanedbává.

Poznámka: Protože osová síla splňuje podmínku (6.35) z EN 1993-1-1 článku 6.2.9.1(4)

její vliv na momentovou únosnost kolem osy z - z se zanedbává.

Prvek splňuje podmínky posudku průřezu.

....:POSUDEK STABILITY:....

Klasifikace pro návrh dílce na vzpěr

Poznámka: Pro tento průřez je klasifikace pro návrh průřezu použita také pro návrh ztráty stability dílce.

=> průřez klasifikován jako třída 1 pro návrh dílce na vzpěr

Posudek rovinného vzpěru

Podle EN 1993-1-2 článku 4.2.3.2 a rovnice (4.5)

Parametry vzpěru		yy	zz	
Typ posuvných styčnicků		posuvné	neposuvné	
Systémová délka	L	0,550	0,550	m
Součinitel vzpěru	k	2,42	0,97	
Vzpěrná délka	l_{cr}	1,332	0,536	m
Kritické Eulerovo zatížení	N_{cr}	94574,06	205064,14	kN
Štíhlost	λ	14,13	9,59	
Poměrná štíhlost	λ_{rel}	0,15	0,10	
Poměrná štíhlost	$\lambda_{rel,0}$	0,17	0,11	
Imperfekce	α	0,65	0,65	
Redukční součinitel	χ_{fi}	0,90	0,93	
Únosnost na vzpěr	$N_{b,fi,t,Rd}$	224,44	232,22	kN

Posudek rovinného vzpěru			
Průřezová plocha	A	9,1040e-03	m ²
Únosnost na vzpěr	$N_{b,fi,t,Rd}$	224,44	kN
Jedn. posudek		0,00	-

Posudek prostorového vzpěru

Podle EN 1993-1-2 článku 4.2.3.2 a rovnice (4.5)

REKONSTRUKCE VÝPRAVNÍ BUDOVY V ŽST. TÁBOR

DOKUMENTACE PRO PROVÁDĚNÍ STAVBY

Poznámka: Pro tento I průřez je únosnost na prostorový vzpěr vyšší než únosnost na rovinový vzpěr. Prostorový vzpěr proto není ve výstupu uveden.

Posudek klopení

Podle EN 1993-1-2 článku 4.2.3.3 a rovnice (4.11)

Parametry klopení			
Plastický modul průřezu	$W_{pl,y}$	8,2700e-04	m ³
Pružný kritický moment	M_{cr}	25278,09	kNm
Poměrná štíhlost	$\lambda_{rel,LT}$	0,09	
Poměrná štíhlost	$\lambda_{rel,LT,B}$	0,10	
Imperfekce	α_{LT}	0,65	
Redukční součinitel	$\chi_{LT,fi}$	0,94	
Návrhová únosnost na vzpěr	$M_{b,fi,Rd}$	21,31	kNm
Jedn. posudek		0,99	-

Parametry M_c			
Délka klopení	l_{LT}	0,550	m
Vliv pozice zatížení		bez vlivu	
Opravný součinitel	k	1,00	
Opravný součinitel	k_w	1,00	
Součinitel momentu na klopení	C_1	1,25	
Součinitel momentu na klopení	C_2	0,01	
Součinitel momentu na klopení	C_3	1,00	
Vzdálenost středu smyku	d_z	0	mm
Vzdálenost polohy zatížení	z_g	0	mm
Konstanta monosymetrie	β_y	0	mm
Konstanta monosymetrie	z_j	0	mm

Poznámka: Parametry C se určí podle ECCS 119 2006 / Galea 2002

Posudek ohybu a osového tlaku

Podle EN 1993-1-2 článku 4.2.3.5 a rovnice (4.21a), (4.21b)

Parametry pro posudek ohybu a osového tlaku			
Průřezová plocha	A	9,1040e-03	m ²
Plastický modul průřezu	$W_{pl,y}$	8,2700e-04	m ³
Plastický modul průřezu	$W_{pl,z}$	3,9390e-04	m ³
Návrhová tlaková síla	$N_{fi,Ed}$	0,20	kN
Návrhový ohybový moment	$M_{y,fi,Ed}$	-21,05	kNm
Návrhový ohybový moment	$M_{z,fi,Ed}$	0,00	kNm
Redukční součinitel	$\chi_{min,fi}$	0,90	
Redukční součinitel	$\chi_{z,fi}$	0,93	
Redukční součinitel	$\chi_{LT,fi}$	0,94	
Součinitel ekvivalentního momentu	$\beta_{M,y}$	1,38	
Součinitel	μ_y	0,52	
Interakční součinitel	k_y	1,00	
Součinitel ekvivalentního momentu	$\beta_{M,z}$	1,80	
Součinitel	μ_z	0,80	
Interakční součinitel	k_z	1,00	
Součinitel ekvivalentního momentu	$\beta_{M,LT}$	1,38	
Součinitel	μ_{LT}	-0,13	
Interakční součinitel	k_{LT}	1,00	

Jednotkový posudek (4.21a) = 0,00 + 0,93 + 0,00 = 0,93 -

Jednotkový posudek (4.21b) = 0,00 + 0,99 + 0,00 = 0,99 -

Posudek ztráty stability od smyku

Podle EN 1993-1-2 článku 4.2.3

Podle EN 1993-1-5 článku 5 & 7.1 a rovnice (5.10) & (7.1)

Parametry ztráty stability od smyku			
Délka pole vzpěru	a	0,550	m
Stojina		nevztyžený	

REKONSTRUKCE VÝPRAVNÍ BUDOVY V ŽST. TÁBOR

DOKUMENTACE PRO PROVÁDĚNÍ STAVBY

Parametry ztráty stability od smyku			
Výška stojiny	h_w	188	mm
Tloušťka stojiny	t	10	mm
Materiálový součinitel	ϵ	0,85	
Součinitel smykové korekce	η	1,20	

Ověření ztráty stability od smyku		
Štíhlost stojiny	h_w/t	19,79
Limit štíhlosti stojiny		51,00

Poznámka: Štíhlost stojiny umožňuje ignorovat účinky smykové ztráty stability podle EN 1993-1-5 čl. 5.1(2).

Prvek splňuje podmínky stabilitního posudku.

EN 1993-1-2 posudek požární odolnosti

Národní dodatek: Česká CSN-EN NA

Dílec B232	2,450 / 4,700 m	HEA200	Válcovaný	S 235	MSU-POZAR	0,98 -
------------	-----------------	--------	-----------	-------	-----------	--------

Klíč kombinace	
MSU-POZAR / ZS1 + ZS2 + 0.20*ZS6 + ZS7	

Díleč souč. spolehlivosti		
Únosnost průřezů	γ_{M0}	1,00
Únosnost na stabilitu	γ_{M1}	1,00
Únosnost čistého průřezu	γ_{M2}	1,25
Odolnost proti požáru	$\gamma_{M,fi}$	1,00

Materiál			
Mez kluzu	f_y	235,0	MPa
Pevnost v tahu	f_u	360,0	MPa

Požární odolnost

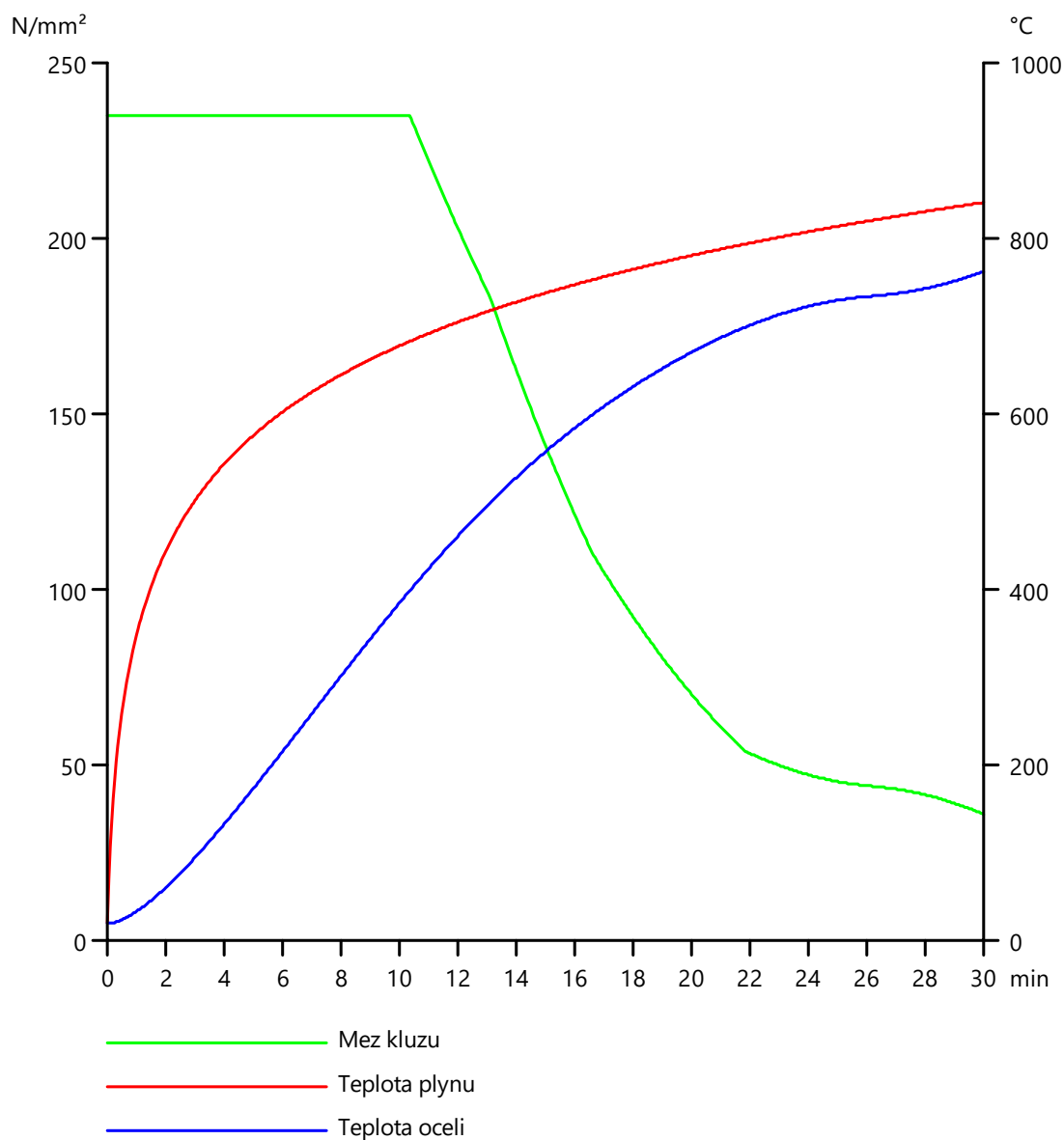
Posouzení v oblasti teploty podle EN 1993-1-2 článku 4.2.4

Požární odolnost			
Křivka teplota - čas		Křivka ISO 834	
Součinitel přenosu tepla prouděním	α_c	25,00	W/m²K
Emisivita vztažená k požárnímu úseku	ϵ_f	1,00	
Emisivita vztažená k povrchu materiálu	ϵ_m	0,70	
Polohový faktor toku tepla sáláním	ϕ	1,00	
Požadovaná požární odolnost	R	30,00	min
Teplota plynu	θ_g	841,80	°C
Teplota materiálu	$\theta_{s,f}$	763,27	°C
Kritická teplota materiálu	$\theta_{a,cr}$	777,09	°C
Požární odolnost	t_{cr}	31,10	min
Expozice nosníku		3 strany	
Krytá pásnice		Horní pásnice	
Adaptační součinitel pro průřez	κ_1	0,70	
Adaptační součinitel pro nosník	κ_2	1,00	
Součinitel průřezu pro nechráněné ocelové dílce	A_m/V	1,7472e+02	1/m
Opravný součinitel pro efekt stínu	k_{sh}	0,56	
Redukční součinitel pro mez kluzu	$k_{y,B}$	0,14	
Redukční součinitel pro modul E	$k_{E,B}$	0,10	
Jedn. posudek		0,98	-

Výsledky posudků zobrazené níže jsou uvedeny při kritické teplotě materiálu $\theta_{a,cr} = 777,09$ °C. Tyto výsledky byly použity k určení kritické teploty, tj. teploty, při které se jednotkový posudek blíží 1,00.

REKONSTRUKCE VÝPRAVNÍ BUDOVY V ŽST. TÁBOR

DOKUMENTACE PRO PROVÁDĚNÍ STAVBY



...:POSUDEK ÚNOSNOSTI:...

Kritický posudek je na pozici 2,450 m

Vnitřní síly		Vypočtené	Jednotka
Osová síla	$N_{R,Ed}$	0,00	kN
Smyková síla	$V_{y,fi,Ed}$	0,00	kN
Smyková síla	$V_{z,fi,Ed}$	-4,37	kN
Kroucení	$T_{fi,Ed}$	0,00	kNm
Ohybový moment	$M_{y,fi,Ed}$	10,89	kNm
Ohybový moment	$M_{z,fi,Ed}$	0,00	kNm

Klasifikace pro návrh průřezu

Podle podle EN 1993-1-2 článku 4.2.2

REKONSTRUKCE VÝPRAVNÍ BUDOVY V ŽST. TÁBOR

DOKUMENTACE PRO PROVÁDĚNÍ STAVBY

Klasifikace vnitřních a vnějších částí podle EN 1993-1-1 tabulky 5.2 listu 1 a 2

Id	Typ	c [mm]	t [mm]	σ_1 [kN/m²]	σ_2 [kN/m²]	ψ [-]	k_ψ [-]	α [-]	c/t [-]	Třída 1 limit [-]	Třída 2 limit [-]	Třída 3 limit [-]	Třída
1	SO	79	10	-26529,258	-26527,852								
3	SO	79	10	-26530,016	-26531,422								
4	I	134	7	-19749,841	19749,839	-1,0		0,5	20,6	61,2	70,6	105,4	1
5	SO	79	10	26529,256	26527,850	1,0	0,4	1,0	7,9	7,6	8,5	11,7	2
7	SO	79	10	26530,014	26531,420	1,0	0,4	1,0	7,9	7,6	8,5	11,7	2

Průřez je klasifikován třídou 2

Poznámka: Limity klasifikace byly nastaveny podle Semi-Comp+.

Posudek ohybového momentu pro M_y

Podle EN 1993-1-2 článku 4.2.3.3 a rovnice (4.10)

Plastický modul průřezu	$W_{pl,y}$	4,2917e-04	m³
Plastický ohybový moment	$M_{pl,y,Rd}$	100,85	kNm
Pevnost za ohybu	$M_{y,fi,Rd}$	13,87	kNm
Návrhová ohybová únosnost	$M_{y,fi,t,Rd}$	19,81	kNm
Jedn. posudek		0,55	-

Posudek ohybového momentu pro M_z

Podle EN 1993-1-2 článku 4.2.3.3 a rovnice (4.10)

Plastický modul průřezu	$W_{pl,z}$	2,0375e-04	m³
Plastický ohybový moment	$M_{pl,z,Rd}$	47,88	kNm
Pevnost za ohybu	$M_{z,fi,Rd}$	6,58	kNm
Návrhová ohybová únosnost	$M_{z,fi,t,Rd}$	9,40	kNm
Jedn. posudek		0,00	-

Posudek smyku pro V_y

Podle EN 1993-1-2 článku 4.2.3.3 a rovnice (4.16)

Součinitel smykové korekce	η	1,20	
Smyk. plocha	A_v	4,1592e-03	m²
Plastická smyková únosnost pro V_y	$V_{pl,y,Rd}$	564,32	kN
Plastická smyková únosnost pro V_y	$V_{y,fi,t,Rd}$	77,59	kN
Jedn. posudek		0,00	-

Posudek smyku pro V_z

Podle EN 1993-1-2 článku 4.2.3.3 a rovnice (4.16)

Součinitel smykové korekce	η	1,20	
Smyk. plocha	A_v	1,8050e-03	m²
Plastická smyková únosnost pro V_z	$V_{pl,z,Rd}$	244,90	kN
Plastická smyková únosnost pro V_z	$V_{z,fi,t,Rd}$	33,67	kN
Jedn. posudek		0,13	-

Posudek kroucení

Podle EN 1993-1-2 článku 4.2.3

Podle EN 1993-1-1 článku 6.2.7 a rovnice (6.23)

Index vlákna	Vlákno	2	
Celkový krouticí moment	$\tau_{fi,Ed}$	0,2	MPa
Návrhová únosnost v kroucení	$\tau_{fi,t,Rd}$	18,7	MPa
Jedn. posudek		0,01	-

Poznámka: Jednotkový posudek pro kroucení je menší než limitní hodnota 0,05. Kroucení se proto považuje za nevýznamné a je v kombinovaných posudcích zanedbáno.

Posudek na kombinaci ohybu, osové a smykové síly

Podle EN 1993-1-2 článku 4.2.3

Podle EN 1993-1-1 článku 6.2.9.1 a rovnice (6.41)

Plastický ohybový moment	$M_{y,fi,t,Rd}$	19,81	kNm
Exponent ohybového poměru γ	α	2,00	

REKONSTRUKCE VÝPRAVNÍ BUDOVY V ŽST. TÁBOR

DOKUMENTACE PRO PROVÁDĚNÍ STAVBY

Plastický ohybový moment	$M_{z,fi,Rd}$	9,40	kNm
Exponent ohybového poměru z	β	1,00	

Jednotkový posudek (4.9) = $0,30 + 0,00 = 0,30$ -

Poznámka: Protože smykové síly jsou menší než polovina plastické smykové únosnosti, jejich vliv na momentovou únosnost se zanedbává.

Poznámka: Protože osová síla splňuje podmínku (6.33) i (6.34) z EN 1993-1-1 článku 6.2.9.1(4)

její vliv na momentovou únosnost kolem osy y-y se zanedbává.

Poznámka: Protože osová síla splňuje podmínku (6.35) z EN 1993-1-1 článku 6.2.9.1(4)

její vliv na momentovou únosnost kolem osy z-z se zanedbává.

Prvek splňuje podmínky posudku průřezu.

....:POSUDEK STABILITY:....

Klasifikace pro návrh dílce na vzpěr

Rozhodující poloha pro klasifikaci stability: 2,450 m

Rozhodující součinitel využití η : 0,08

Podle EN 1993-1-2 článku 4.2.2

Klasifikace vnitřních a vnějších částí podle EN 1993-1-1 tabulky 5.2 listu 1 a 2

Id	Typ	c [mm]	t [mm]	σ_1 [kN/m²]	σ_2 [kN/m²]	Ψ [-]	k_σ [-]	α [-]	c/t [-]	Třída 1 limit [-]	Třída 2 limit [-]	Třída 3 limit [-]	Třída
1	SO	79	10	-26529,258	-26527,852								
3	SO	79	10	-26530,016	-26531,422								
4	I	134	7	-19749,841	19749,839	-1,0		0,5	20,6	61,2	70,6	105,4	1
5	SO	79	10	26529,256	26527,850	1,0	0,4	1,0	7,9	7,6	8,5	11,7	2
7	SO	79	10	26530,014	26531,420	1,0	0,4	1,0	7,9	7,6	8,5	11,7	2

Průřez je klasifikován třídou 2

Poznámka: Limity klasifikace byly nastaveny podle Semi-Comp+.

Poznámka: Rozhodující poloha pro klasifikaci stability je založena na součiniteli využití η podle Semi-Comp+.

Posudek klopení

Podle EN 1993-1-2 článku 4.2.3.3 a rovnice (4.11)

Parametry klopení			
Plastický modul průřezu	$W_{pl,y}$	4,2917e-04	m³
Pružný kritický moment	M_{cr}	995,83	kNm
Poměrná štíhlost	$\lambda_{rel,LT}$	0,32	
Poměrná štíhlost	$\lambda_{rel,LT,B}$	0,37	
Imperfekce	α_{LT}	0,65	
Redukční součinitel	$\chi_{LT,fi}$	0,79	
Návrhová únosnost na vzpěr	$M_{b,fi,Rd}$	10,89	kNm
Jedn. posudek		1,00	-

Parametry M_{cr}			
Délka klopení	l_{LT}	2,250	m
Vliv pozice zatížení		bez vlivu	
Opravný součinitel	k	1,00	
Opravný součinitel	k_w	1,00	
Součinitel momentu na klopení	C_1	1,72	
Součinitel momentu na klopení	C_2	0,01	
Součinitel momentu na klopení	C_3	1,00	
Vzdálenost středu smyku	d_z	0	mm
Vzdálenost polohy zatížení	z_B	0	mm
Konstanta monosymetrie	β_y	0	mm
Konstanta monosymetrie	z_j	0	mm

Poznámka: Parametry C se určí podle ECCS 119 2006 / Galea 2002

Posudek ohybu a osového tahu

Podle EN 1993-1-2 článku 4.2.3

Podle EN 1993-1-3 článku 6.3

Návrhová tahová síla	$N_{fi,Ed}$	0,00	kN
Návrhový ohybový moment	$M_{y,fi,Ed}$	10,89	kNm

REKONSTRUKCE VÝPRAVNÍ BUDOVY V ŽST. TÁBOR

DOKUMENTACE PRO PROVÁDĚNÍ STAVBY

Návrhový ohybový moment	$M_{z,fi,Ed}$	0,00	kNm
Tahová únosnost	$N_{t,Rd}$	173,83	kN
Pevnost za ohybu	$M_{b,y,fi,t,Rd}$	10,89	kNm
Pevnost za ohybu	$M_{z,fi,Rd,com}$	6,58	kNm

Jedn. posudek = $1,00 + 0,00 - 0,00 = 1,00$ -

Posudek ztráty stability od smyku

Podle EN 1993-1-2 článku 4.2.3

Podle EN 1993-1-5 článku 5 & 7.1 a rovnice (5.10) & (7.1)

Parametry ztráty stability od smyku			
Délka pole vzpěru	a	4,700	m
Stojina		nevztyžený	
Výška stojiny	h_w	170	mm
Tloušťka stojiny	t	7	mm
Materiálový součinitel	ϵ	0,85	
Součinitel smykové korekce	η	1,20	

Ověření ztráty stability od smyku		
Štíhlost stojiny	h_w/t	26,15
Limit štíhlosti stojiny		51,00

Poznámka: Štíhlost stojiny umožňuje ignorovat účinky smykové ztráty stability podle EN 1993-1-5 čl. 5.1(2).

Prvek splňuje podmínky stabilitního posudku.

EN 1993-1-2 posudek požární odolnosti

Národní dodatek: Česká CSN-EN NA

Dílec B234	1,000 / 2,000 m	IPE200	Válcovaný	S 235	MSU-POZAR	0,98 -
------------	-----------------	--------	-----------	-------	-----------	--------

Klíč kombinace	
MSU-POZAR / ZS1 + ZS2 + 0.20*ZS6 + ZS7	

Díleč souč. spolehlivosti		
Únosnost průřezů	γ_{M0}	1,00
Únosnost na stabilitu	γ_{M1}	1,00
Únosnost čistého průřezu	γ_{M2}	1,25
Odolnost proti požáru	$\gamma_{M,fi}$	1,00

Materiál			
Mez kluzu	f_y	235,0	MPa
Pevnost v tahu	f_u	360,0	MPa

Požární odolnost

Posouzení v oblasti teploty podle EN 1993-1-2 článku 4.2.4

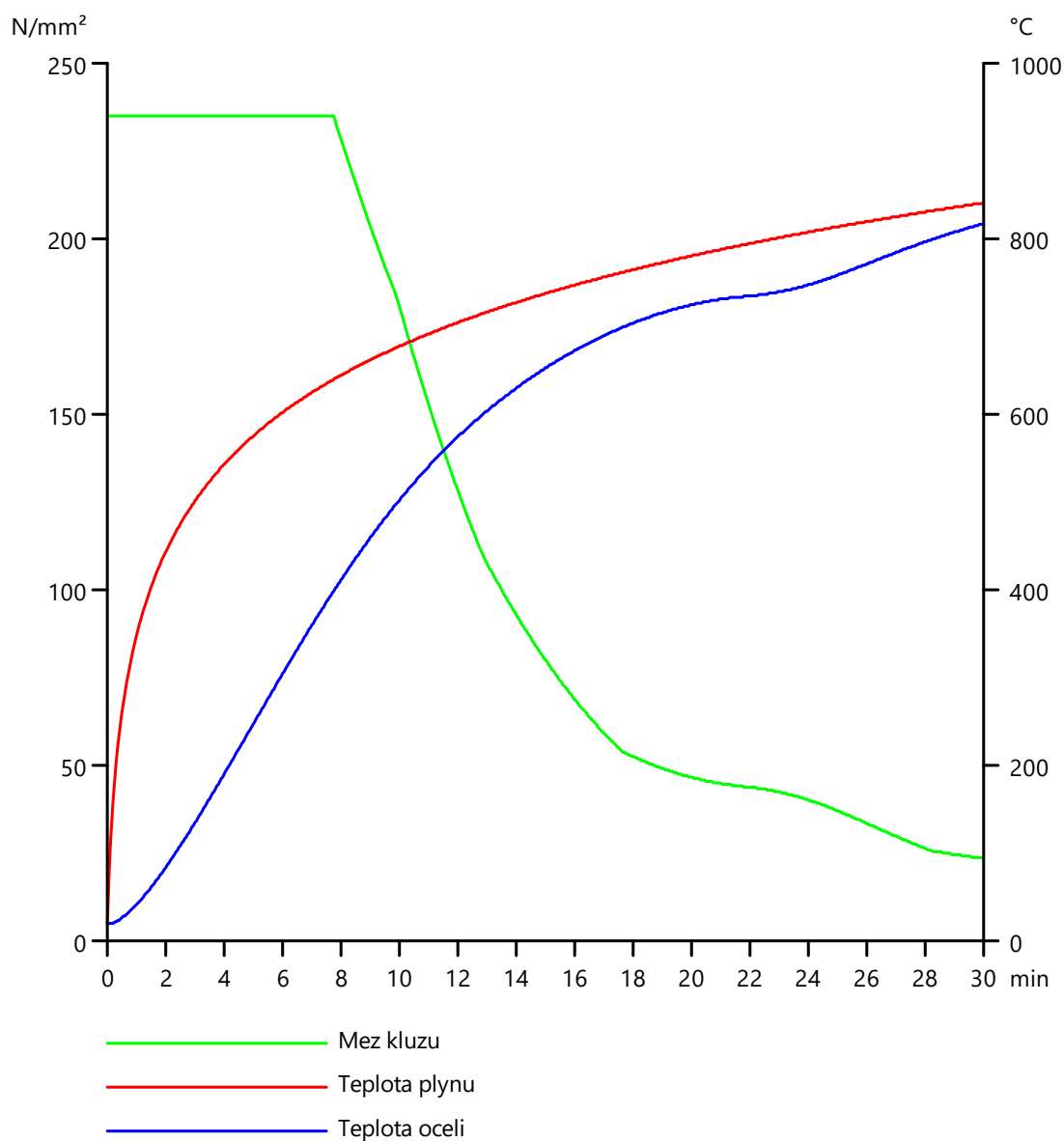
Požární odolnost			
Křivka teplota - čas		Křivka ISO 834	
Součinitel přenosu tepla prouděním	α_c	25,00	W/m²K
Emisivita vztažená k požárnímu úseku	ϵ_f	1,00	
Emisivita vztažená k povrchu materiálu	ϵ_m	0,70	
Polohový faktor toku tepla sáláním	ϕ	1,00	
Požadovaná požární odolnost	R	30,00	min
Teplota plynu	θ_g	841,80	°C
Teplota materiálu	$\theta_{a,t}$	818,14	°C
Kritická teplota materiálu	$\theta_{a,cr}$	835,86	°C
Požární odolnost	t_{cr}	32,22	min
Expozice nosníku		3 strany	
Krytá pásnice		Horní pásnice	
Adaptační součinitel pro průřez	κ_1	0,70	
Adaptační součinitel pro nosník	κ_2	1,00	
Součinitel průřezu pro nechráněné ocelové dílce	A_m/V	2,3442e+02	1/m

REKONSTRUKCE VÝPRAVNÍ BUDOVY V ŽST. TÁBOR

DOKUMENTACE PRO PROVÁDĚNÍ STAVBY

Požární odolnost			
Opravný součinitel pro efekt stínu	k_{sh}	0,67	
Redukční součinitel pro mez kluzu	$k_{y,\theta}$	0,09	
Redukční součinitel pro modul E	$k_{E,\theta}$	0,08	
Jedn. posudek		0,98	–

Výsledky posudků zobrazené níže jsou uvedeny při kritické teplotě materiálu $\theta_{a,cr} = 835,86 \text{ }^{\circ}\text{C}$. Tyto výsledky byly použity k určení kritické teploty, tj. teploty, při které se jednotkový posudek blíží 1,00.



...:POSUDEK ÚNOSNOSTI:...:

Kritický posudek je na pozici 1,000 m

REKONSTRUKCE VÝPRAVNÍ BUDOVY V ŽST. TÁBOR

DOKUMENTACE PRO PROVÁDĚNÍ STAVBY

Vnitřní síly		Vypočtené	Jednotka
Osová síla	$N_{fi,Ed}$	0,00	kN
Smyková síla	$V_{y,fi,Ed}$	0,00	kN
Smyková síla	$V_{z,fi,Ed}$	0,00	kN
Kroucení	$T_{fi,Ed}$	0,00	kNm
Ohybový moment	$M_{y,fi,Ed}$	2,79	kNm
Ohybový moment	$M_{z,fi,Ed}$	0,00	kNm

Klasifikace pro návrh průřezu

Podle EN 1993-1-2 článku 4.2.2

Klasifikace vnitřních a vnějších částí podle EN 1993-1-1 tabulky 5.2 listu 1 a 2

Id	Typ	c [mm]	t [mm]	σ_1 [kN/m²]	σ_2 [kN/m²]	ψ [-]	k_σ [-]	α [-]	c/t [-]	Třída 1 limit [-]	Třída 2 limit [-]	Třída 3 limit [-]	Třída
1	SO	35	9	-13747,628	-13747,628								
3	SO	35	9	-13747,628	-13747,628								
4	I	159	6	-11414,466	11414,626	-1,0		0,5	28,4	61,2	70,6	105,6	1
5	SO	35	9	13747,787	13747,787	1,0	0,4	1,0	4,1	7,6	8,5	11,9	1
7	SO	35	9	13747,787	13747,787	1,0	0,4	1,0	4,1	7,6	8,5	11,9	1

Průřez je klasifikován třídou 1

Poznámka: Limity klasifikace byly nastaveny podle Semi-Comp+.

Posudek na tlak

Podle EN 1993-1-2 článku 4.2.3.2 a rovnice (4.5)

Průřezová plocha	A	2,8500e-03	m²
Návrhová únosnost na vzpěr	$N_{fi,Rd}$	61,66	kN
Jedn. posudek		0,00	-

Posudek ohybového momentu pro M_y

Podle EN 1993-1-2 článku 4.2.3.3 a rovnice (4.10)

Plastický modul průřezu	$W_{pl,y}$	2,2060e-04	m³
Plastický ohybový moment	$M_{pl,y,Rd}$	51,84	kNm
Pevnost za ohybu	$M_{y,Rd}$	4,77	kNm
Návrhová ohybová únosnost	$M_{y,fi,Rd}$	6,82	kNm
Jedn. posudek		0,41	-

Posudek kroucení

Podle EN 1993-1-2 článku 4.2.3

Podle EN 1993-1-1 článku 6.2.7 a rovnice (6.23)

Index vláknů	Vláknů	2	
Celkový kroučící moment	$T_{fi,Ed}$	0,1	MPa
Návrhová únosnost v kroucení	$T_{fi,Rd}$	12,5	MPa
Jedn. posudek		0,01	-

Poznámka: Jednotkový posudek pro kroucení je menší než limitní hodnota 0,05. Kroucení se proto považuje za nevýznamné a je v kombinovaných posudcích zanedbáváno.

Posudek na kombinaci ohybu, osově a smykové síly

Podle EN 1993-1-2 článku 4.2.3

Podle EN 1993-1-1 článku 6.2.9.1 a rovnice (6.31)

Plastický ohybový moment	$M_{y,fi,Rd}$	6,82	kNm
Jedn. posudek		0,41	-

Poznámka: Protože osová síla splňuje podmínku (6.33) i (6.34) z EN 1993-1-1 článku 6.2.9.1(4) její vliv na momentovou únosnost kolem osy y-y se zanedbává.

Prvek splňuje podmínky posudku průřezu.

....POSUDEK STABILITY....

Klasifikace pro návrh dílce na vzpěr

Rozhodující poloha pro klasifikaci stability: 1,000 m

Rozhodující součinitel využití η : 0,04

Podle EN 1993-1-2 článku 4.2.2

Klasifikace vnitřních a vnějších částí podle EN 1993-1-1 tabulky 5.2 listu 1 a 2

REKONSTRUKCE VÝPRAVNÍ BUDOVY V ŽST. TÁBOR

DOKUMENTACE PRO PROVÁDĚNÍ STAVBY

Id	Typ	c [mm]	t [mm]	σ_1 [kN/m ²]	σ_2 [kN/m ²]	Ψ [-]	k_σ [-]	α [-]	c/t [-]	Třída 1 limit [-]	Třída 2 limit [-]	Třída 3 limit [-]	Třída
1	SO	35	9	-13747,628	-13747,628								
3	SO	35	9	-13747,628	-13747,628								
4	I	159	6	-11414,466	11414,626	-1,0		0,5	28,4	61,2	70,6	105,6	1
5	SO	35	9	13747,787	13747,787	1,0	0,4	1,0	4,1	7,6	8,5	11,9	1
7	SO	35	9	13747,787	13747,787	1,0	0,4	1,0	4,1	7,6	8,5	11,9	1

Průřez je klasifikován třídou 1

Poznámka: Limity klasifikace byly nastaveny podle Semi-Comp+.

Poznámka: Rozhodující poloha pro klasifikaci stability je založena na součiniteli využití η podle Semi-Comp+.

Posudek rovinového vzpěru

Podle EN 1993-1-2 článku 4.2.3.2 a rovnice (4.5)

Parametry vzpěru		yy	zz	
Typ posuvných styčníků		posuvné	neposuvné	
Systémová délka	L	2,000	2,000	m
Součinitel vzpěru	k	1,00	1,00	
Vzpěrná délka	l_{cr}	2,000	2,000	m
Kritické Eulerovo zatížení	N_{cr}	10067,74	737,37	kN
Štíhlost	λ	24,22	89,50	
Poměrná štíhlost	λ_{rel}	0,26	0,95	
Poměrná štíhlost	$\lambda_{rel,B}$	0,27	1,01	
Imperfekce	α	0,65	0,65	
Redukční součinitel	χ_{fi}	0,84	0,45	
Únosnost na vzpěr	$N_{b,fi,Rd}$	51,83	27,81	kN

Posudek rovinového vzpěru			
Průřezová plocha	A	2,8500e-03	m ²
Únosnost na vzpěr	$N_{b,fi,Rd}$	27,81	kN
Jedn. posudek		0,00	-

Posudek prostorového vzpěru

Podle EN 1993-1-2 článku 4.2.3.2 a rovnice (4.5)

Poznámka: Pro tento I průřez je únosnost na prostorový vzpěr vyšší než únosnost na rovinový vzpěr. Prostorový vzpěr proto není ve výstupu uveden.

Posudek klopení

Podle EN 1993-1-2 článku 4.2.3.3 a rovnice (4.11)

Parametry klopení			
Plastický modul průřezu	$W_{pl,y}$	2,2060e-04	m ³
Pružný kritický moment	M_{cr}	107,37	kNm
Poměrná štíhlost	$\lambda_{rel,LT}$	0,69	
Poměrná štíhlost	$\lambda_{rel,LT,B}$	0,74	
Imperfekce	α_{LT}	0,65	
Redukční součinitel	$\chi_{LT,fi}$	0,59	
Návrhová únosnost na vzpěr	$M_{b,fi,Rd}$	2,80	kNm
Jedn. posudek		1,00	-

Parametry M_{cr}			
Délka klopení	l_{LT}	2,000	m
Vliv pozice zatížení		bez vlivu	
Opravný součinitel	k	1,00	
Opravný součinitel	k_w	1,00	
Součinitel momentu na klopení	C_1	1,13	
Součinitel momentu na klopení	C_2	0,45	
Součinitel momentu na klopení	C_3	0,53	
Vzdálenost středu smyku	d_z	0	mm
Vzdálenost polohy zatížení	z_g	0	mm
Konstanta monosymetrie	β_y	0	mm
Konstanta monosymetrie	z_j	0	mm

Poznámka: Parametry C se určí podle ECCS 119 2006 / Galea 2002

REKONSTRUKCE VÝPRAVNÍ BUDOVY V ŽST. TÁBOR

DOKUMENTACE PRO PROVÁDĚNÍ STAVBY

Posudek ohybu a osového tlaku

Podle EN 1993-1-2 článku 4.2.3.5 a rovnice (4.21a), (4.21b)

Parametry pro posudek ohybu a osového tlaku			
Průřezová plocha	A	2,8500e-03	m ²
Plastický modul průřezu	W _{pl,y}	2,2060e-04	m ³
Návrhová tlaková síla	N _{fi,Ed}	0,00	kN
Návrhový ohybový moment	M _{y,fi,Ed}	2,79	kNm
Návrhový ohybový moment	M _{z,fi,Ed}	0,00	kNm
Redukční součinitel	χ _{min,fi}	0,45	
Redukční součinitel	χ _{z,fi}	0,45	
Redukční součinitel	χ _{LT,fi}	0,59	
Součinitel ekvivalentního momentu	β _{M,y}	1,30	
Součinitel	μ _y	0,21	
Interakční součinitel	k _y	1,00	
Součinitel ekvivalentního momentu	β _{M,LT}	1,30	
Součinitel	μ _{LT}	0,05	
Interakční součinitel	k _{LT}	1,00	

Jednotkový posudek (4.21a) = 0,00 + 0,58 + 0,00 = 0,58 -

Jednotkový posudek (4.21b) = 0,00 + 1,00 + 0,00 = 1,00 -

Prvek splňuje podmínky stabilitního posudku.

EN 1993-1-2 posudek požární odolnosti

Národní dodatek: Česká CSN-EN NA

Dílec B240	1,320 / 5,000 m	IPE220	Válcovaný	S 235	MSU-POZAR	0,95 -
------------	-----------------	--------	-----------	-------	-----------	--------

Klíč kombinace	
MSU-POZAR / ZS1 + ZS2 + 0.20*ZS6 + ZS7	

Díleč souč. spolehlivosti		
Únosnost průřezů	γ _{M0}	1,00
Únosnost na stabilitu	γ _{M1}	1,00
Únosnost čistého průřezu	γ _{M2}	1,25
Odolnost proti požáru	γ _{M,fi}	1,00

Materiál			
Mez kluzu	f _y	235,0	MPa
Pevnost v tahu	f _u	360,0	MPa

Požární odolnost

Posouzení v oblasti teploty podle EN 1993-1-2 článku 4.2.4

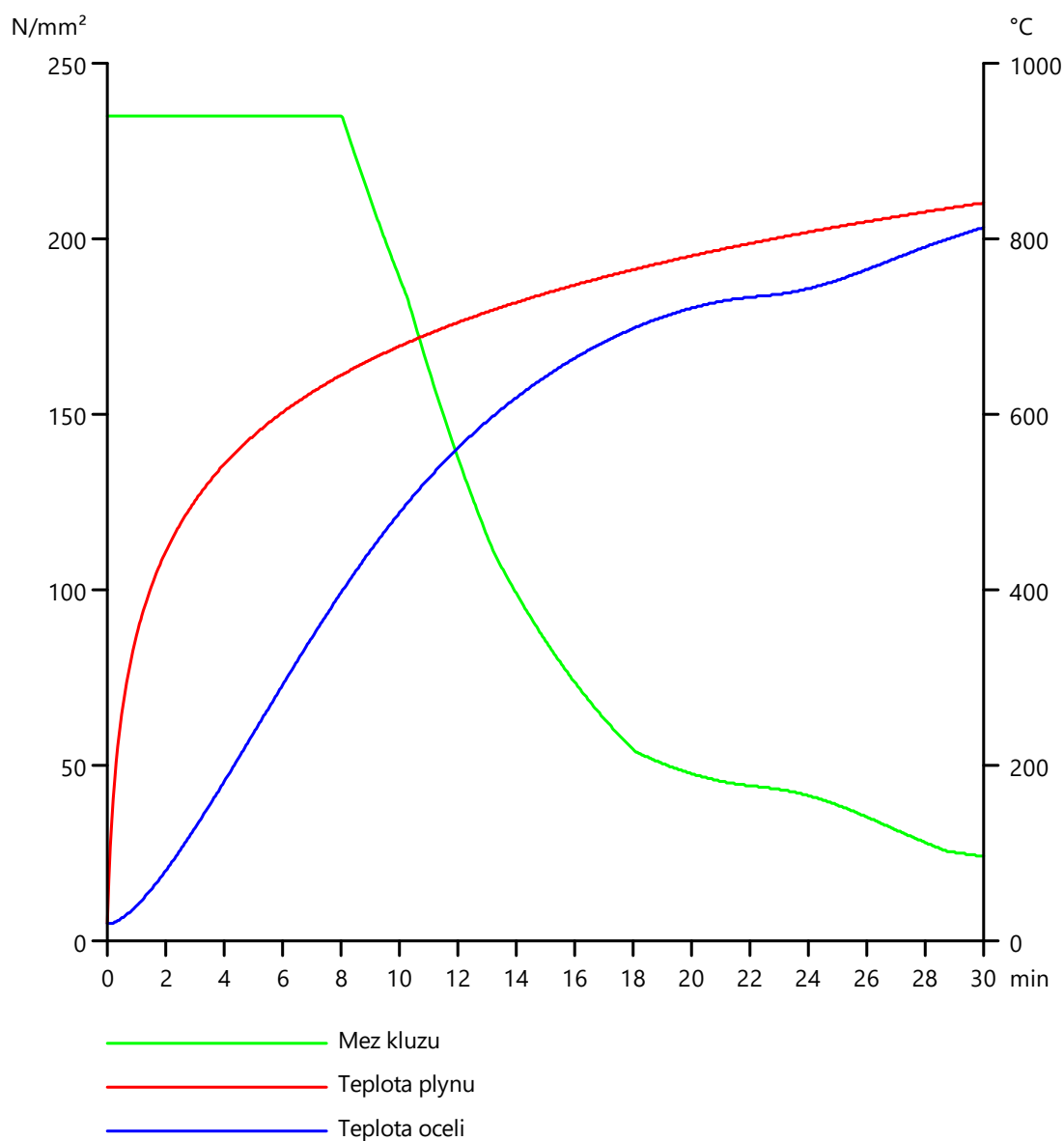
Požární odolnost			
Křivka teplota - čas		Křivka ISO 834	
Součinitel přenosu tepla prouděním	α _c	25,00	W/m ² K
Emisivita vztažená k požárnímu úseku	ε _f	1,00	
Emisivita vztažená k povrchu materiálu	ε _m	0,70	
Polohový faktor toku tepla sáláním	φ	1,00	
Požadovaná požární odolnost	R	30,00	min
Teplota plynu	θ _g	841,80	°C
Teplota materiálu	θ _{a,i}	813,81	°C
Kritická teplota materiálu	θ _{a,cr}	855,45	°C
Požární odolnost	t _{cr}	35,77	min
Expozice nosníku		3 strany	
Krytá pásnice		Horní pásnice	
Adaptační součinitel pro průřez	κ ₁	0,70	
Adaptační součinitel pro nosník	κ ₂	1,00	
Součinitel průřezu pro nechráněné ocelové dílce	A _m /V	2,2081e+02	1/m

REKONSTRUKCE VÝPRAVNÍ BUDOVY V ŽST. TÁBOR

DOKUMENTACE PRO PROVÁDĚNÍ STAVBY

Požární odolnost			
Opravný součinitel pro efekt stínu	k_{sh}	0,67	
Redukční součinitel pro mez kluzu	$k_{y,\theta}$	0,08	
Redukční součinitel pro modul E	$k_{E,\theta}$	0,08	
Jedn. posudek		0,95	-

Výsledky posudků zobrazené níže jsou uvedeny při kritické teplotě materiálu $\theta_{a,cr} = 855,45 \text{ }^{\circ}\text{C}$. Tyto výsledky byly použity k určení kritické teploty, tj. teploty, při které se jednotkový posudek blíží 1,00.



....:POSUDEK ÚNOSNOSTI:....

Kritický posudek je na pozici 1,320 m

REKONSTRUKCE VÝPRAVNÍ BUDOVY V ŽST. TÁBOR

DOKUMENTACE PRO PROVÁDĚNÍ STAVBY

Vnitřní síly		Vypočtené	Jednotka
Osová síla	$N_{fi,Ed}$	0,00	kN
Smyková síla	$V_{y,fi,Ed}$	0,00	kN
Smyková síla	$V_{z,fi,Ed}$	-0,26	kN
Kroucení	$T_{fi,Ed}$	0,00	kNm
Ohybový moment	$M_{y,fi,Ed}$	2,71	kNm
Ohybový moment	$M_{z,fi,Ed}$	0,00	kNm

Klasifikace pro návrh průřezu

Podle EN 1993-1-2 článku 4.2.2

Klasifikace vnitřních a vnějších částí podle EN 1993-1-1 tabulky 5.2 listu 1 a 2

Id	Typ	c [mm]	t [mm]	σ_1 [kN/m²]	σ_2 [kN/m²]	ψ [-]	k_σ [-]	α [-]	c/t [-]	Třída 1 limit [-]	Třída 2 limit [-]	Třída 3 limit [-]	Třída
1	SO	40	9	-10319,981	-10319,682								
3	SO	40	9	-10320,203	-10320,502								
4	I	178	6	-8694,727	8694,720	-1,0		0,5	30,1	61,2	70,6	105,4	1
5	SO	40	9	10319,973	10319,675	1,0	0,4	1,0	4,4	7,6	8,5	11,7	1
7	SO	40	9	10320,196	10320,495	1,0	0,4	1,0	4,4	7,6	8,5	11,7	1

Průřez je klasifikován třídou 1

Poznámka: Limity klasifikace byly nastaveny podle Semi-Comp+.

Posudek ohybového momentu pro M_y

Podle EN 1993-1-2 článku 4.2.3.3 a rovnice (4.10)

Plastický modul průřezu	$W_{pl,y}$	2,8540e-04	m³
Plastický ohybový moment	$M_{pl,y,Rd}$	67,07	kNm
Pevnost za ohybu	$M_{y,fi,Rd}$	5,52	kNm
Návrhová ohybová únosnost	$M_{y,fi,t,Rd}$	7,88	kNm
Jedn. posudek		0,34	-

Posudek ohybového momentu pro M_z

Podle EN 1993-1-2 článku 4.2.3.3 a rovnice (4.10)

Plastický modul průřezu	$W_{pl,z}$	5,8110e-05	m³
Plastický ohybový moment	$M_{pl,z,Rd}$	13,66	kNm
Pevnost za ohybu	$M_{z,fi,Rd}$	1,12	kNm
Návrhová ohybová únosnost	$M_{z,fi,t,Rd}$	1,61	kNm
Jedn. posudek		0,00	-

Posudek smyku pro V_z

Podle EN 1993-1-2 článku 4.2.3.3 a rovnice (4.16)

Součinitel smykové korekce	η	1,20	
Smyk. plocha	A_v	1,5911e-03	m²
Plastická smyková únosnost pro V_z	$V_{pl,z,Rd}$	215,87	kN
Plastická smyková únosnost pro V_z	$V_{z,fi,t,Rd}$	17,76	kN
Jedn. posudek		0,01	-

Posudek kroucení

Podle EN 1993-1-2 článku 4.2.3

Podle EN 1993-1-1 článku 6.2.7 a rovnice (6.23)

Index vláknů	$\nu_{l,kno}$	2	
Čelkový krouticí moment	$T_{fi,Ed}$	0,0	MPa
Návrhová únosnost v kroucení	$T_{fi,t,Rd}$	11,2	MPa
Jedn. posudek		0,00	-

Poznámka: Jednotkový posudek pro kroucení je menší než limitní hodnota 0,05. Kroucení se proto považuje za nevýznamné a je v kombinovaných posudcích zanedbáno.

Posudek na kombinaci ohybu, osově a smykové síly

Podle EN 1993-1-2 článku 4.2.3

Podle EN 1993-1-1 článku 6.2.9.1 a rovnice (6.41)

Plastický ohybový moment	$M_{y,fi,t,Rd}$	7,88	kNm
Exponent ohybového poměru γ	α	2,00	

REKONSTRUKCE VÝPRAVNÍ BUDOVY V ŽST. TÁBOR

DOKUMENTACE PRO PROVÁDĚNÍ STAVBY

Plastický ohybový moment	$M_{z,fi,Rd}$	1,61	kNm
Exponent ohybového poměru z	β	1,00	

Jednotkový posudek (4.9) = 0,12 + 0,00 = 0,12 -

Poznámka: Protože smykové síly jsou menší než polovina plastické smykové únosnosti, jejich vliv na momentovou únosnost se zanedbává.

Poznámka: Protože osová síla splňuje podmínku (6.33) i (6.34) z EN 1993-1-1 článku 6.2.9.1(4)

její vliv na momentovou únosnost kolem osy y-y se zanedbává.

Poznámka: Protože osová síla splňuje podmínku (6.35) z EN 1993-1-1 článku 6.2.9.1(4)

její vliv na momentovou únosnost kolem osy z-z se zanedbává.

Prvek splňuje podmínky posudku průřezu.

....:POSUDEK STABILITY:....

Klasifikace pro návrh dílce na vzpěr

Rozhodující poloha pro klasifikaci stability: 1,320 m

Rozhodující součinitel využití η : 0,03

Podle EN 1993-1-2 článku 4.2.2

Klasifikace vnitřních a vnějších částí podle EN 1993-1-1 tabulky 5.2 listu 1 a 2

Id	Typ	c [mm]	t [mm]	σ_1 [kN/m ²]	σ_2 [kN/m ²]	Ψ [-]	k_σ [-]	α [-]	c/t [-]	Třída 1 limit [-]	Třída 2 limit [-]	Třída 3 limit [-]	Třída
1	SO	40	9	-10319,981	-10319,682								
3	SO	40	9	-10320,203	-10320,502								
4	I	178	6	-8694,727	8694,720	-1,0		0,5	30,1	61,2	70,6	105,4	1
5	SO	40	9	10319,973	10319,675	1,0	0,4	1,0	4,4	7,6	8,5	11,7	1
7	SO	40	9	10320,196	10320,495	1,0	0,4	1,0	4,4	7,6	8,5	11,7	1

Průřez je klasifikován třídou 1

Poznámka: Limity klasifikace byly nastaveny podle Semi-Comp+.

Poznámka: Rozhodující poloha pro klasifikaci stability je založena na součiniteli využití η podle Semi-Comp+.

Posudek klopení

Podle EN 1993-1-2 článku 4.2.3.3 a rovnice (4.11)

Parametry klopení			
Plastický modul průřezu	$W_{pl,y}$	2,8540e-04	m ³
Pružný kritický moment	M_{cr}	84,42	kNm
Poměrná štíhlost	$\lambda_{rel,LT}$	0,89	
Poměrná štíhlost	$\lambda_{rel,LT,B}$	0,92	
Imperfekce	α_{LT}	0,65	
Redukční součinitel	$\chi_{LT,fi}$	0,49	
Návrhová únosnost na vzpěr	$M_{b,fi,Rd}$	2,73	kNm
Jedn. posudek		1,00	-

Parametry M_{cr}			
Délka klopení	l_{LT}	3,680	m
Vliv pozice zatížení		bez vlivu	
Opravný součinitel	k	1,00	
Opravný součinitel	k_w	1,00	
Součinitel momentu na klopení	C_1	1,45	
Součinitel momentu na klopení	C_2	0,09	
Součinitel momentu na klopení	C_3	1,00	
Vzdálenost středu smyku	d_z	0	mm
Vzdálenost polohy zatížení	z_B	0	mm
Konstanta monosymetrie	β_y	0	mm
Konstanta monosymetrie	z_j	0	mm

Poznámka: Parametry C se určí podle ECCS 119 2006 / Galea 2002

Posudek ohybu a osového tahu

Podle EN 1993-1-2 článku 4.2.3

Podle EN 1993-1-3 článku 6.3

Návrhová tahová síla	$N_{fi,Ed}$	0,00	kN
Návrhový ohybový moment	$M_{y,fi,Ed}$	2,71	kNm

REKONSTRUKCE VÝPRAVNÍ BUDOVY V ŽST. TÁBOR

DOKUMENTACE PRO PROVÁDĚNÍ STAVBY

Návrhový ohybový moment	$M_{z,fi,Ed}$	0,00	kNm
Tahová únosnost	$N_{t1,8,Rd}$	64,58	kN
Pevnost za ohybu	$M_{b,y,fi,t,Rd}$	2,73	kNm
Pevnost za ohybu	$M_{z,fi,8,Rd,com}$	1,12	kNm

Jedn. posudek = $1,00 + 0,00 - 0,00 = 1,00$ -

Posudek ztráty stability od smyku

Podle EN 1993-1-2 článku 4.2.3

Podle EN 1993-1-5 článku 5 & 7.1 a rovnice (5.10) & (7.1)

Parametry ztráty stability od smyku			
Délka pole vzpěru	a	5,000	m
Stojina		nevyztužený	
Výška stojiny	h_w	202	mm
Tloušťka stojiny	t	6	mm
Materiálový součinitel	ϵ	0,85	
Součinitel smykové korekce	η	1,20	

Ověření ztráty stability od smyku		
Štíhlost stojiny	h_w/t	34,17
Limit štíhlosti stojiny		51,00

Poznámka: Štíhlost stojiny umožňuje ignorovat účinky smykové ztráty stability podle EN 1993-1-5 čl. 5.1(2).

Prvek splňuje podmínky stabilitního posudku.

EN 1993-1-2 posudek požární odolnosti

Národní dodatek: Česká CSN-EN NA

Dílec B241	0,000 / 0,500 m	IPE100	Válcovaný	S 235	MSU-POZAR	0,85 -
------------	-----------------	--------	-----------	-------	-----------	--------

Klíč kombinace	
MSU-POZAR / ZS1 + ZS2 + 0.20*ZS6 + ZS7	

Díleč souč. spolehlivosti		
Únosnost průřezů	γ_{M0}	1,00
Únosnost na stabilitu	γ_{M1}	1,00
Únosnost čistého průřezu	γ_{M2}	1,25
Odolnost proti požáru	$\gamma_{M,fi}$	1,00

Materiál			
Mez kluzu	f_y	235,0	MPa
Pevnost v tahu	f_u	360,0	MPa

Požární odolnost

Posouzení v oblasti teploty podle EN 1993-1-2 článku 4.2.4

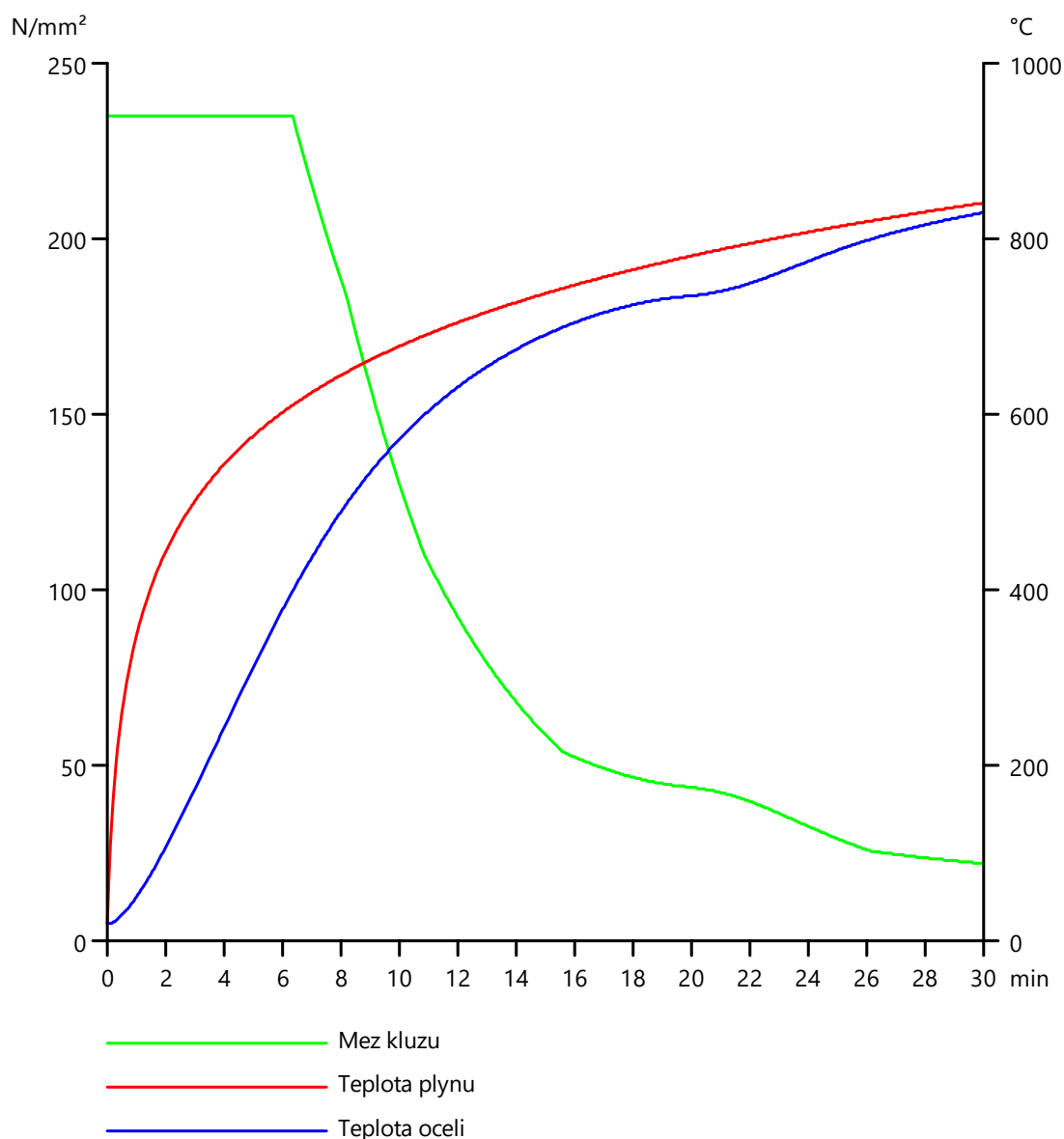
Požární odolnost			
Křivka teplota - čas		Křivka ISO 834	
Součinitel přenosu tepla prouděním	α_c	25,00	W/m²K
Emisivita vztažená k požárnímu úseku	ϵ_f	1,00	
Emisivita vztažená k povrchu materiálu	ϵ_m	0,70	
Polohový faktor toku tepla sáláním	ϕ	1,00	
Požadovaná požární odolnost	R	30,00	min
Teplota plynu	θ_g	841,80	°C
Teplota materiálu	$\theta_{a,t}$	830,85	°C
Kritická teplota materiálu	$\theta_{a,cr}$	976,45	°C
Požární odolnost	t_{cr}	75,00	min
Expozice nosníku		3 strany	
Krytá pásnice		Horní pásnice	
Adaptační součinitel pro průřez	κ_1	0,70	
Adaptační součinitel pro nosník	κ_2	1,00	
Součinitel průřezu pro nechráněné ocelové dílce	A_m/V	3,3469e+02	1/m

REKONSTRUKCE VÝPRAVNÍ BUDOVY V ŽST. TÁBOR

DOKUMENTACE PRO PROVÁDĚNÍ STAVBY

Požární odolnost			
Opravný součinitel pro efekt stínu	k_{sh}	0,67	
Redukční součinitel pro mez kluzu	$k_{y,\theta}$	0,04	
Redukční součinitel pro modul E	$k_{E,\theta}$	0,05	
Jedn. posudek		0,85	-

Výsledky posudků zobrazené níže jsou uvedeny při kritické teplotě materiálu $\theta_{a,cr} = 976,45 \text{ }^{\circ}\text{C}$. Tyto výsledky byly použity k určení kritické teploty, tj. teploty, při které se jednotkový posudek blíží 1,00.



....POSUDEK ÚNOSNOSTI:....

Kritický posudek je na pozici 0,000 m

REKONSTRUKCE VÝPRAVNÍ BUDOVY V ŽST. TÁBOR

DOKUMENTACE PRO PROVÁDĚNÍ STAVBY

Vnitřní síly		Vypočtené	Jednotka
Osová síla	$N_{fi,Ed}$	0,00	kN
Smyková síla	$V_{y,fi,Ed}$	0,00	kN
Smyková síla	$V_{z,fi,Ed}$	2,15	kN
Kroucení	$T_{fi,Ed}$	0,00	kNm
Ohybový moment	$M_{y,fi,Ed}$	0,00	kNm
Ohybový moment	$M_{z,fi,Ed}$	0,00	kNm

Klasifikace pro návrh průřezu

Podle EN 1993-1-2 článku 4.2.2

Klasifikace vnitřních a vnějších částí podle EN 1993-1-1 tabulky 5.2 listu 1 a 2

Id	Typ	c [mm]	t [mm]	σ_1 [kN/m²]	σ_2 [kN/m²]	ψ [-]	k_σ [-]	α [-]	c/t [-]	Třída 1 limit [-]	Třída 2 limit [-]	Třída 3 limit [-]	Třída
1	SO	18	6	0,015	0,015	1,0	0,4	1,0	3,2	7,6	8,5	11,9	1
3	SO	18	6	0,015	0,015	1,0	0,4	1,0	3,2	7,6	8,5	11,9	1
4	I	75	4	0,015	0,015	1,0		1,0	18,2	23,8	28,9	32,3	1
5	SO	18	6	0,015	0,015	1,0	0,4	1,0	3,2	7,6	8,5	11,9	1
7	SO	18	6	0,015	0,015	1,0	0,4	1,0	3,2	7,6	8,5	11,9	1

Průřez je klasifikován třídou 1

Poznámka: Limity klasifikace byly nastaveny podle Semi-Comp+.

Posudek na tlak

Podle EN 1993-1-2 článku 4.2.3.2 a rovnice (4.5)

Průřezová plocha	A	1,0300e-03	m²
Návrhová únosnost na vzpěr	$N_{fi,Rd}$	10,82	kN
Jedn. posudek		0,00	-

Posudek smyku pro V_z

Podle EN 1993-1-2 článku 4.2.3.3 a rovnice (4.16)

Součinitel smykové korekce	η	1,20	
Smyk. plocha	A_v	5,0617e-04	m²
Plastická smyková únosnost pro V_z	$V_{pl,z,Rd}$	68,68	kN
Plastická smyková únosnost pro V_z	$V_{z,fi,Rd}$	3,07	kN
Jedn. posudek		0,70	-

Posudek kroucení

Podle EN 1993-1-2 článku 4.2.3

Podle EN 1993-1-1 článku 6.2.7 a rovnice (6.23)

Index vlákna	Vlákno	1	
Celkový krouticí moment	$T_{fi,Ed}$	0,0	MPa
Návrhová únosnost v kroucení	$T_{fi,Rd}$	6,1	MPa
Jedn. posudek		0,00	-

Poznámka: Jednotkový posudek pro kroucení je menší než limitní hodnota 0,05. Kroucení se proto považuje za nevýznamné a je v kombinovaných posudcích zanedbáno.

Posudek na kombinaci ohybu, osově a smykové síly

Podle EN 1993-1-2 článku 4.2.3

Podle EN 1993-1-1 článku 6.2.1(5) a rovnice (6.1)

Pružné ověření			
Vlákno		8	
Normálové napětí od normálové síly N	$\sigma_{N,fi,Ed}$	0,0	MPa
Normálové napětí od ohybového momentu M_y	$\sigma_{My,fi,Ed}$	0,0	MPa
Normálové napětí od ohybového momentu M_z	$\sigma_{Mz,fi,Ed}$	0,0	MPa
Celkové podélné napětí	$\sigma_{tot,fi,Ed}$	0,0	MPa
Smykové napětí od příčné smykové síly V_y	$\tau_{Vy,fi,Ed}$	0,0	MPa
Smykové napětí od příčné	$\tau_{Vz,fi,Ed}$	6,0	MPa

REKONSTRUKCE VÝPRAVNÍ BUDOVY V ŽST. TÁBOR

DOKUMENTACE PRO PROVÁDĚNÍ STAVBY

Pružné ověření			
smykové síly V_z			
Smykové napětí od rovnoměrného (St. Venantova) kroucení	$\tau_{t,fi,Ed}$	0,0	MPa
Celkové smykové napětí	$\tau_{tot,fi,Ed}$	6,0	MPa
Součet von Mises napětí	$\sigma_{von\ Mises,fi,Ed}$	10,5	MPa
Jedn. posudek		1,00	–

Poznámka: Protože neexistuje žádný odpovídající ohybový moment, vliv smykové síly nelze pro plastickou interakci zohlednit. Proto se posuzuje podmínka pružné meze kluzu podle EN 1993-1-1 článku 6.2.1(5).

Prvek splňuje podmínky posudku průřezu.

....:POSUDEK STABILITY:....

Klasifikace pro návrh dílce na vzpěr

Rozhodující poloha pro klasifikaci stability: 0,250 m

Rozhodující součinitel využití η : 0,02

Podle EN 1993-1-2 článku 4.2.2

Klasifikace vnitřních a vnějších částí podle EN 1993-1-1 tabulky 5.2 listu 1 a 2

Id	Typ	c [mm]	t [mm]	σ_1 [kN/m ²]	σ_2 [kN/m ²]	ψ [–]	k_σ [–]	α [–]	c/t [–]	Třída 1 limit [–]	Třída 2 limit [–]	Třída 3 limit [–]	Třída
1	SO	18	6	–7411,971	–7411,971								
3	SO	18	6	–7411,971	–7411,971								
4	I	75	4	–5863,550	5863,580	–1,0		0,5	18,2	61,2	70,6	105,6	1
5	SO	18	6	7412,001	7412,001	1,0	0,4	1,0	3,2	7,6	8,5	11,9	1
7	SO	18	6	7412,001	7412,001	1,0	0,4	1,0	3,2	7,6	8,5	11,9	1

Průřez je klasifikován třídou 1

Poznámka: Limity klasifikace byly nastaveny podle Semi-Comp+.

Poznámka: Rozhodující poloha pro klasifikaci stability je založena na součiniteli využití η podle Semi-Comp+.

Posudek rovinného vzpěru

Podle EN 1993-1-2 článku 4.2.3.2 a rovnice (4.5)

Parametry vzpěru		yy	zz	
Typ posuvných styčníků		posuvné	neposuvné	
Systémová délka	L	0,500	0,500	m
Součinitel vzpěru	k	1,00	1,00	
Vzpěrná délka	l_{cr}	0,500	0,500	m
Kritické Eulerovo zatížení	N_{cr}	14176,70	1319,08	kN
Štíhlost	λ	12,27	40,23	
Poměrná štíhlost	λ_{rel}	0,13	0,43	
Poměrná štíhlost	$\lambda_{rel,B}$	0,12	0,40	
Imperfekce	α	0,65	0,65	
Redukční součinitel	χ_{fi}	0,92	0,77	
Únosnost na vzpěr	$N_{b,fi,Rd}$	10,01	8,32	kN

Posudek rovinného vzpěru			
Průřezová plocha	A	1,0300e–03	m ²
Únosnost na vzpěr	$N_{b,fi,Rd}$	8,32	kN
Jedn. posudek		0,00	–

Posudek prostorového vzpěru

Podle EN 1993-1-2 článku 4.2.3.2 a rovnice (4.5)

Poznámka: Pro tento I průřez je únosnost na prostorový vzpěr vyšší než únosnost na rovinný vzpěr. Prostorový vzpěr proto není ve výstupu uveden.

Posudek ztráty stability od smyku

Podle EN 1993-1-2 článku 4.2.3

Podle EN 1993-1-5 článku 5 & 7.1 a rovnice (5.10) & (7.1)

Parametry ztráty stability od smyku			
Délka pole vzpěru	a	0,500	m
Stojina		nevyztužený	
Výška stojiny	h_w	89	mm
Tloušťka stojiny	t	4	mm

REKONSTRUKCE VÝPRAVNÍ BUDOVY V ŽST. TÁBOR

DOKUMENTACE PRO PROVÁDĚNÍ STAVBY

Parametry ztráty stability od smyku			
Materiálový součinitel	ϵ	0,85	
Součinitel smykové korekce	η	1,20	

Ověření ztráty stability od smyku		
Štíhlost stojiny	h_w/t	21,61
Limit štíhlosti stojiny		51,00

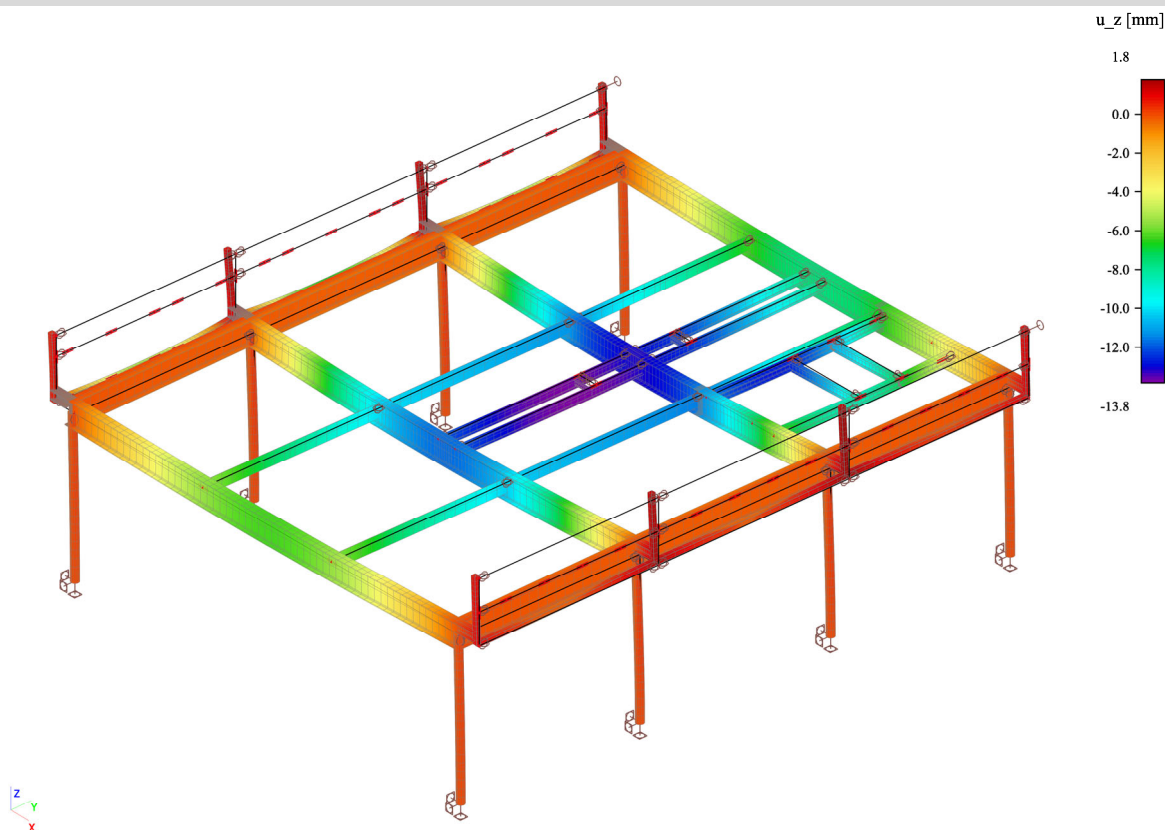
Poznámka: Štíhlost stojiny umožňuje ignorovat účinky smykové ztráty stability podle EN 1993-1-5 čl. 5.1(2).

Prvek splňuje podmínky stabilitního posudku.

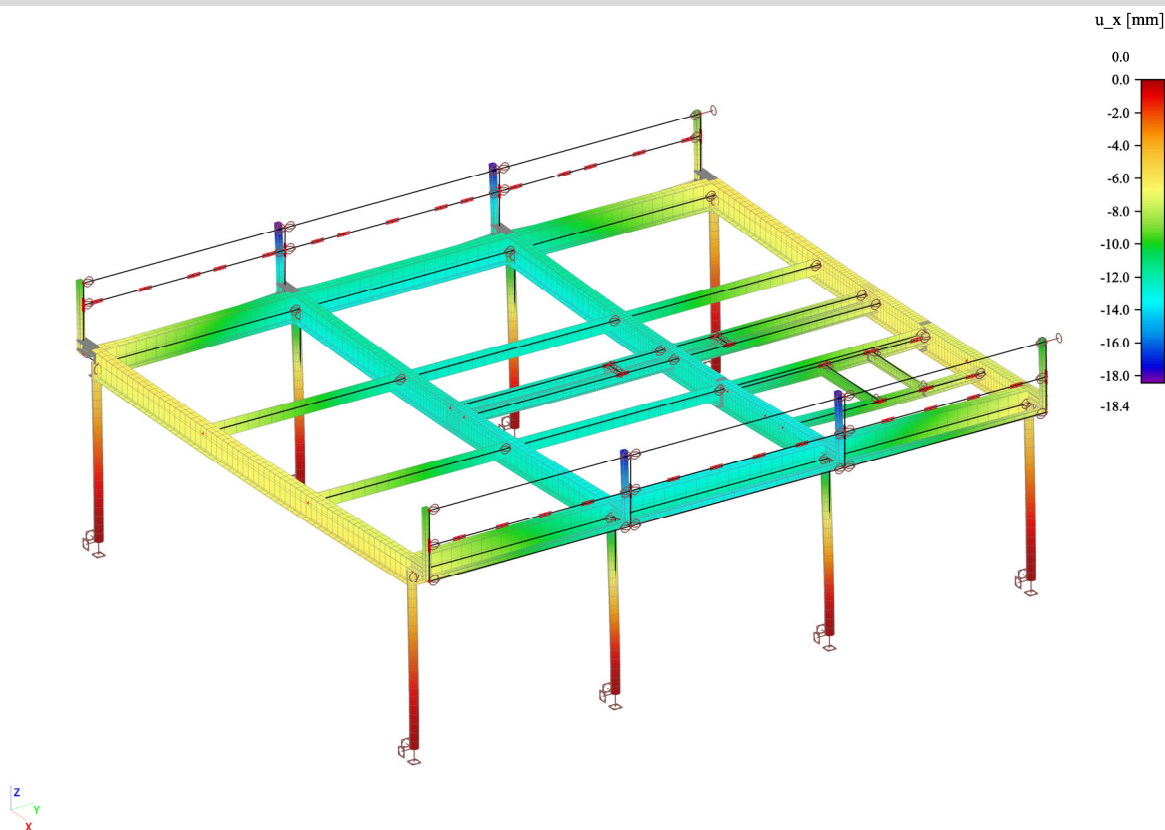
REKONSTRUKCE VÝPRAVNÍ BUDOVY V ŽST. TÁBOR

DOKUMENTACE PRO PROVÁDĚNÍ STAVBY

F.5.1.13 Posouzení MSP – Svislá deformace [mm]



F.5.1.14 Posouzení MSP – Vodorovná deformace [mm]



REKONSTRUKCE VÝPRAVNÍ BUDOVY V ŽST. TÁBOR

DOKUMENTACE PRO PROVÁDĚNÍ STAVBY

F.5.1.15 Střešní plášť - Posudek TR plechu

Projekt: OS REK Nádraží Tábor

Část: Objekt "C" - zastřešení

Prvek: Trapézový plech 160/250/1,00

Předpoklad: Posudek je proveden i pro zhodnocení požární odolnosti. Při použití systémové skladby Isover ProtectRoof® je nutno omezit maximální využití $\sigma/f_y=36,7\%$ pro mimořádnou kombinaci. Tím bude zajištěna minimální požární odolnost REI30, resp. REI 45 při vhodné volbě skladby dle požadavků výrobce.

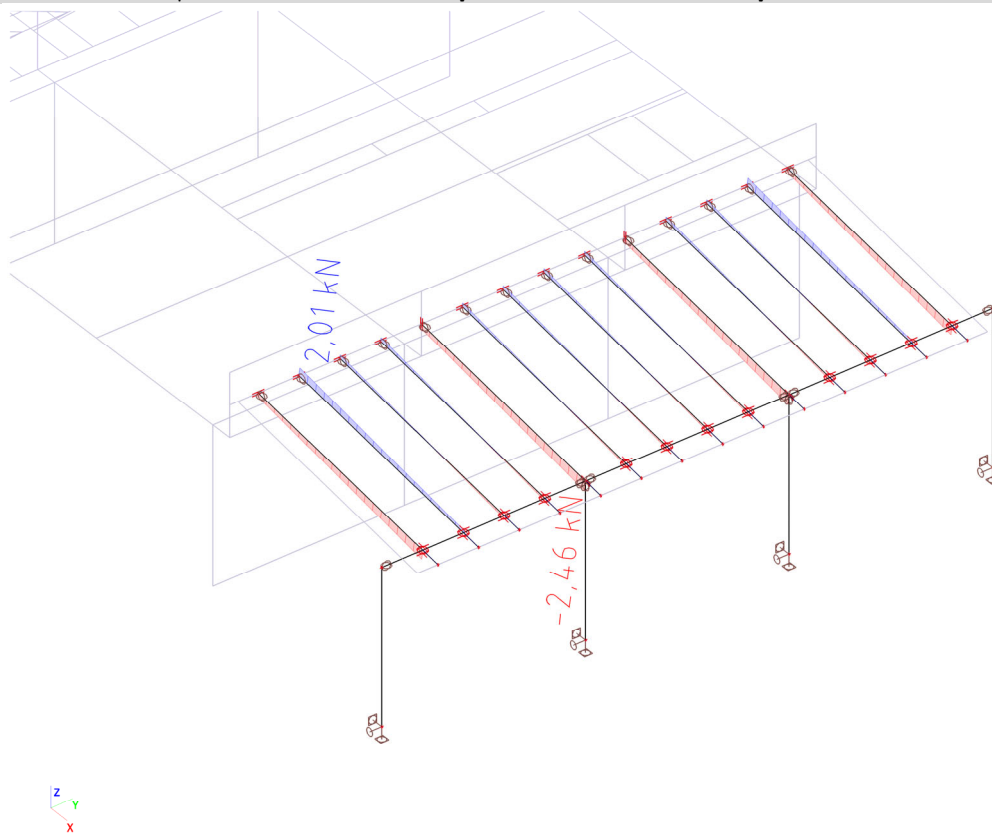
$W_y =$	5,710E-05 m ³	Posudek trapézového plechu o jednom poli	
$I_y =$	5,12E-06 m ⁴	1) Posudek MSÚ - ohyb	
$f_y =$	320,0 Mpa	$M_{Rd} =$	18,27 kNm \leq $M_{Ed} =$ 8,69 kNm
$f_y, \text{požár} =$	117,4 MPa	2) Posudek MSÚ POŽÁR - OHYB	
Rozpětí L =	5,00 m	$M_{Rd,F} =$	6,71 kNm \leq $M_{Ed} =$ 5,31 kNm
Stálé zatížení =	1,30 kN/m ²	3) Posudek průhyb - 1 pole	
$\gamma_f, G =$	1,35 [-]	w =	16,65 mm \leq L/200 = 25,00 mm
Zatížení užité/sněhem =	0,80 kN/m ²		
Zatížení tlakem větru =	0,10 kN/m ²		
$\gamma_f, Q =$	1,50 [-]		
$\psi_{0, \text{sníh/užitné}} =$	0,70 [-]		
$\psi_{0, \text{vítr}} =$	0,60 [-]		
$\psi_{1, \text{sníh/užitné}} =$	0,50 [-]		
$\psi_{2, \text{vítr}} =$	0,00 [-]		
$f(g+q)d,1 =$	2,69 kN/m ²		
$f(g+q)d,2 =$	2,78 kN/m ²		
$f(g+q),F =$	1,70 kN/m ²		
Vnitřní síly			
$M_{Ed} =$	8,69 kNm		
$M_{Ed, \text{požár}} =$	5,31 kNm		

Doplňující požadavky: Trápézové plechy nutno kotvit v každé vlně k podporám minimálně dvěma kotvicími prostředky Ø5,5mm a podélně samovrtnými šrouby ve vzdálenosti max 0,5m. Sklon střechy musí být v rozmezí 0°-15°.

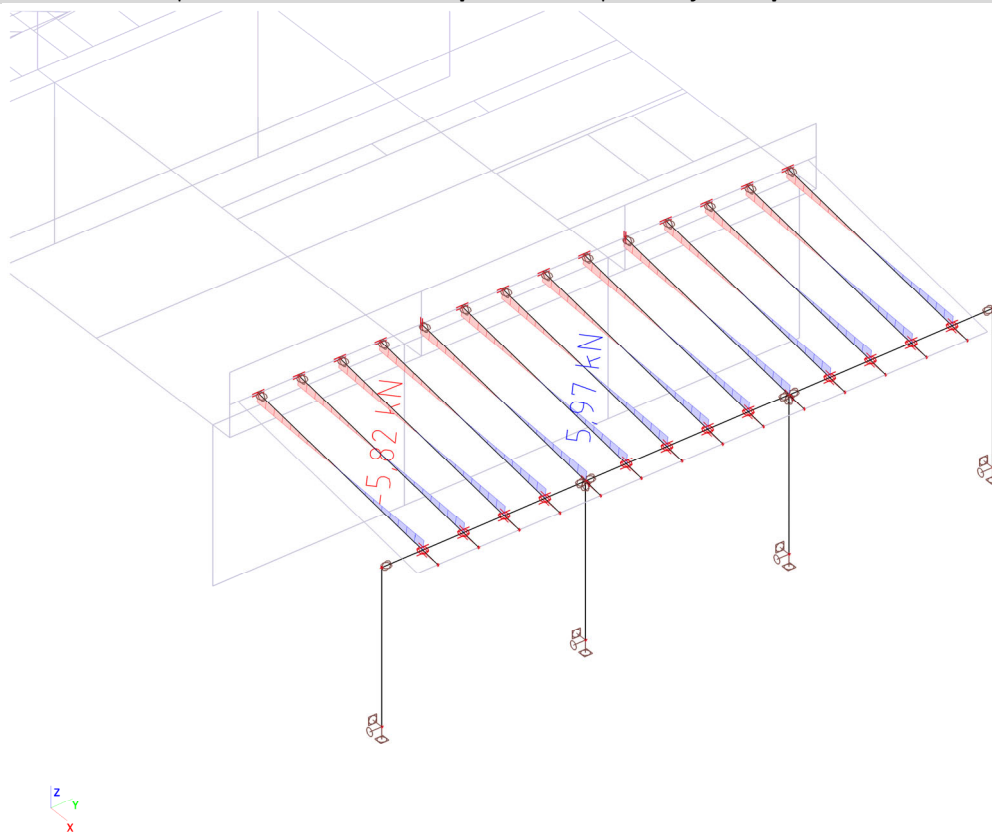
REKONSTRUKCE VÝPRAVNÍ BUDOVY V ŽST. TÁBOR

DOKUMENTACE PRO PROVÁDĚNÍ STAVBY

F.5.1.16 Krokve přístřešku - Vnitřní síly - Průběh normálová síly N [kN]



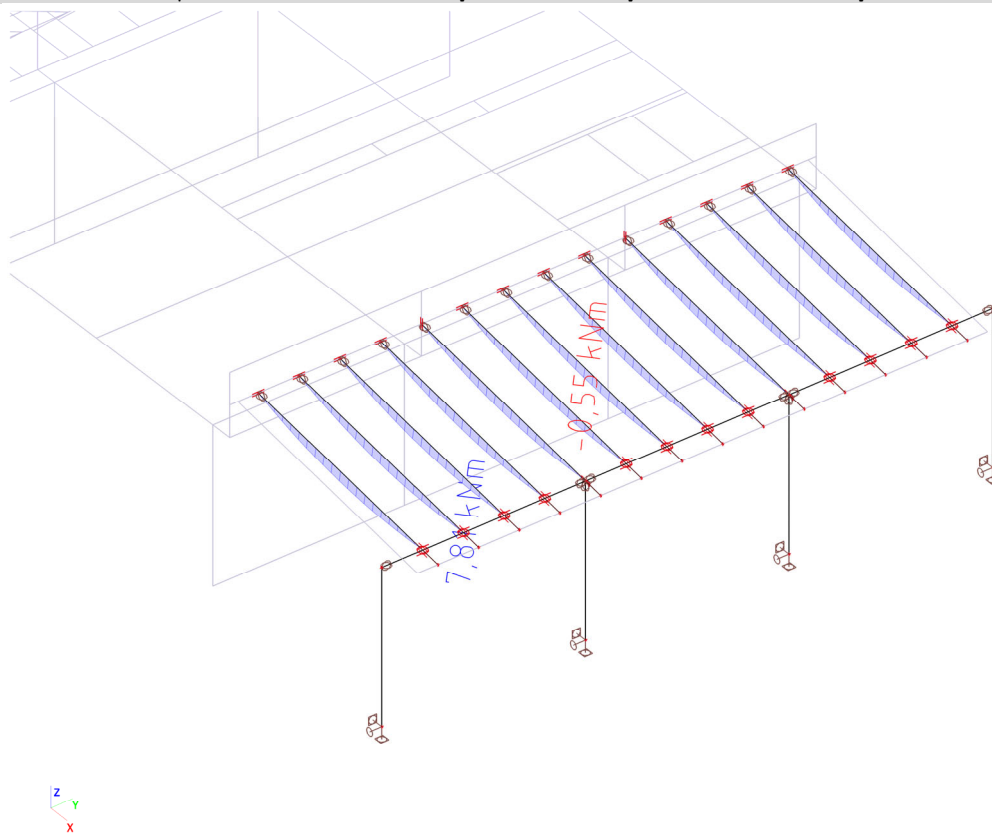
F.5.1.17 Krokve přístřešku - Vnitřní síly - Průběh posouvající síly V [kN]



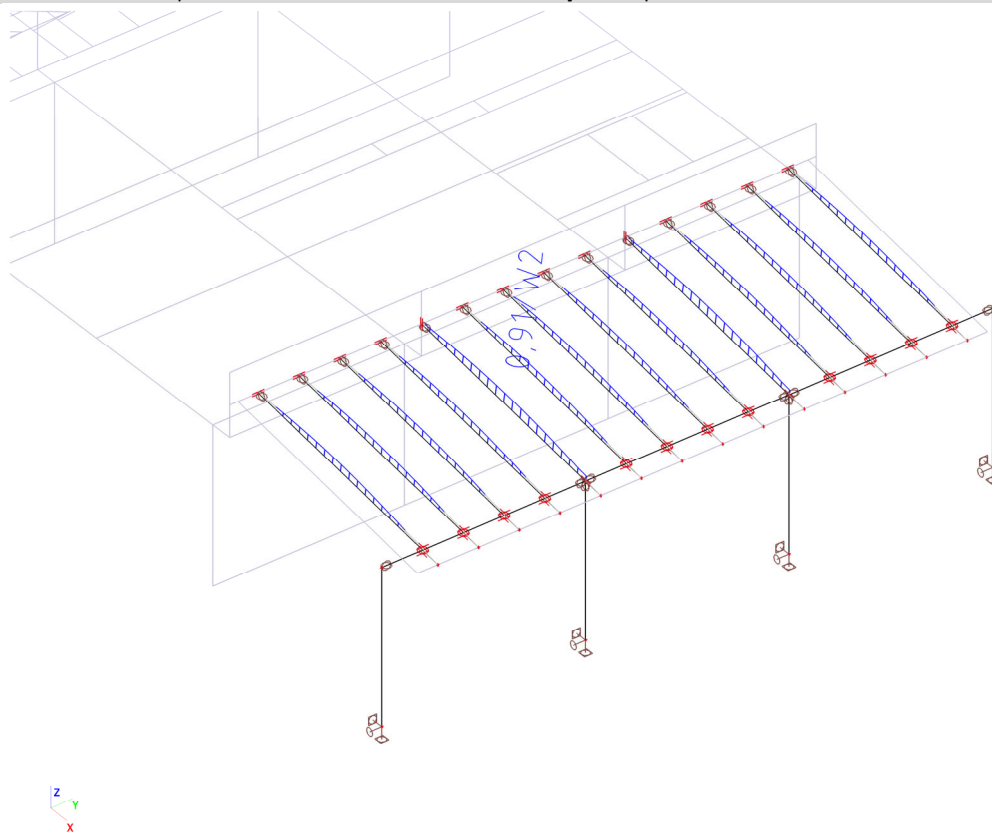
REKONSTRUKCE VÝPRAVNÍ BUDOVY V ŽST. TÁBOR

DOKUMENTACE PRO PROVÁDĚNÍ STAVBY

F.5.1.18 Krokve přístřešku - Vnitřní síly - Průběh ohybového momentu M_y [kNm]



F.5.1.19 Krokve přístřešku - Posouzení MSÚ - Využití průřezu od vnitřních sil [$\cdot 100 = \%$]



REKONSTRUKCE VÝPRAVNÍ BUDOVY V ŽST. TÁBOR

DOKUMENTACE PRO PROVÁDĚNÍ STAVBY

Posudek dřeva podle MSÚ

Lineární výpočet, Extrém : Průřez

Výběr : B297, B298, B299, B300, B301, B302, B303, B304, B305, B306, B307, B308, B309, B310

Kombinace : MSÚ-Sada B (auto)

EN 1995-1-1 posudek

Nosník B297	5,913 m	ZASTRESENÍ-KROKEV - OBDEL (140; 180)	C24 (EN 338)	MSÚ-Sada B (auto)	0,91 -
-------------	---------	--------------------------------------	--------------	-------------------	--------

KLÍČ kombinace
MSÚ-Sada B (auto) / 1.15*ZS1 + 1.15*ZS2 + 1.50*ZS6 + 1.15*ZS7 + 0.90*ZS8

Základní data	
Dílčí součinitel spolehlivosti γ_M for rostlé dřevo	1,30

Údaje o materiálu		
Ohyb ($f_{m,k}$)	24,0	MPa
Tah ($f_{t,0,k}$)	14,5	MPa
Tah ($f_{t,90,k}$)	0,4	MPa
Tlak ($f_{c,0,k}$)	21,0	MPa
Tlak ($f_{c,90,k}$)	2,5	MPa
Smyk ($f_{v,k}$)	4,0	MPa
Typ dřeva	Celistvý	

Kritický posudek je v místě 2,936 m.

Vnitřní síly		
N_{Ed}	-1,71	kN
$V_{y,Ed}$	0,00	kN
$V_{z,Ed}$	0,69	kN
T_{Ed}	0,00	kNm
$M_{y,Ed}$	7,56	kNm
$M_{z,Ed}$	0,00	kNm

Součinitel modifikace	
Třída vlhkosti	2
Doba trvání zatížení	Krátkodobé
Součinitel modifikace k_{mod}	0,90

... POSUDEK ŘEZU ...

Tlak rovnoběžně s vlákny

Podle EN 1995-1-1 článku 6.1.4 a rovnice (6.2)

$\sigma_{c,0,d}$	0,1	MPa
$f_{c,0,d}$	14,5	MPa
Jedn. posudek	0,00	-

Ohyb

Podle EN 1995-1-1 článku 6.1.6 a rovnice (6.11), (6.12)

$\sigma_{m,y,d}$	10,0	MPa
$k_{h,y}$	1,00	
$f_{m,y,d}$	16,6	MPa
$\sigma_{m,z,d}$	0,0	MPa
$k_{h,z}$	1,01	
$f_{m,z,d}$	16,8	MPa
k_m	0,70	

Jednotkový posudek (6.11) = 0,60 + 0,00 = 0,60 -

Jednotkový posudek (6.12) = 0,42 + 0,00 = 0,42 -

Smyk

Podle EN 1995-1-1 článku 6.1.7 a rovnice (6.13)

k_{cr}	0,67	
$\tau_{y,d}$	0,0	MPa

REKONSTRUKCE VÝPRAVNÍ BUDOVY V ŽST. TÁBOR

DOKUMENTACE PRO PROVÁDĚNÍ STAVBY

$\tau_{z,d}$	0,1	MPa
$f_{v,d}$	2,8	MPa
Jednotkový posudek τ_v	0,00	-
Jednotkový posudek τ_z	0,02	-
Jednotkový posudek interakce	0,00	-

Poznámka: Interakční rovnice byla přidána jako NCCI.

Kroucení

Podle EN 1995-1-1 článku 6.1.8 a rovnice (6.14)

$\tau_{tor,d}$	0,0	MPa
k_{ivar}	1,06	
$f_{v,d}$	2,8	MPa
Jedn. posudek	0,00	-
Jednotkový posudek interakce smyku	0,00	-

Poznámka: Interakční rovnice byla přidána jako NCCI.

Kombinovaný ohyb a osový tlak

Podle EN 1995-1-1 článku 6.2.4 a rovnice (6.19), (6.20)

$f_{c,b,d}$	14,5	MPa
$f_{m,y,d}$	16,6	MPa
$f_{m,z,d}$	16,8	MPa
k_m	0,70	

Jednotkový posudek (6.19) = $0,00 + 0,60 + 0,00 = 0,60$ -

Jednotkový posudek (6.20) = $0,00 + 0,42 + 0,00 = 0,42$ -

Prvek splňuje podmínky posudku průřezu.

... POSUDEK STABILITY ...

Sloupy zatížené tlakem nebo kombinací tlaku a ohybu

Podle EN 1995-1-1 článku 6.3.2 a rovnice (6.23), (6.24)

Parametry vzpěru	yy	zz	
Typ posuvných styčníků	posuvné	neposuvné	
Systémová délka L	5,413	5,413	m
Součinitel vzpěru k	4,52	0,92	
Vzpěrná délka L_{cr}	24,447	4,969	m
Štíhlost λ	470,49	122,95	-
Poměrná štíhlost λ	7,98	2,08	-
Mezní štíhlost	0,30	0,30	-
Imperfekce β_c	0,20	0,20	-
redukční součinitel k_c	0,02	0,21	-

Jednotkový posudek (6.23) = $0,31 + 0,60 + 0,00 = 0,91$ -

Jednotkový posudek (6.24) = $0,02 + 0,42 + 0,00 = 0,44$ -

Varování: Štíhlost 470,49 je větší než mezní hodnota 200,00!

Nosníky zatížené ohybem nebo kombinací tlaku a ohybu

Podle EN 1995-1-1 článku 6.3.3 a rovnice (6.33), (6.35)

Parametry klopení		
Pružný kritický moment $M_{y,krit}$	71,28	kNm
Kritické ohybové napětí $\sigma_{m,krit}$	94,3	MPa
Poměrná štíhlost $\lambda_{rel,m}$	0,50	-
redukční součinitel k_{krit}	1,00	-

Jednotkový posudek (6.33) = $0,60$ -

Jednotkový posudek (6.35) = $0,36 + 0,02 = 0,38$ -

$M_{y,krit}$ Parametry		
$G_{0,05}$	462,5	MPa

REKONSTRUKCE VÝPRAVNÍ BUDOVY V ŽST. TÁBOR

DOKUMENTACE PRO PROVÁDĚNÍ STAVBY

M _{y,krit} Parametry		
Délka klopení L	5,413	m
L _{ef/L}	0,90	
Účinná délka L _{ef}	4,872	m
Vliv pozice zatížení	bez vlivu	

Prvek splňuje podmínky stabilitního posudku.

F.5.1.20 Posudek základové patky objektu „C“ – běžná patka

Posouzení plošného základu

Vstupní data

Nastavení

Standardní - EN 1997 - DA1

Materiály a normy

Betonové konstrukce : EN 1992-1-1 (EC2)

Součinitele EN 1992-1-1 : standardní

Sedání

Metoda výpočtu : ČSN 73 1001 (Výpočet pomocí edometrického modulu)

Omezení deformační zóny : procentem Sigma,Or

Koef. omezení deformační zóny : 10,0 [%]

Patky

Výpočet pro neodvodněné podmínky : EC 7-1 (EN 1997-1:2003)

Posouzení tažené patky : standardní postup

Dovolená excentricita : 0,333



Metodika posouzení : výpočet podle EN1997

Návrhový přístup : 1 - redukce zatížení a materiálu

Součinitele redukce zatížení (F)					
Trvalá návrhová situace					
		Kombinace 1		Kombinace 2	
		Nepříznivé	Příznivé	Nepříznivé	Příznivé
Stálé zatížení :	$\gamma_G =$	1,35 [-]	1,00 [-]	1,00 [-]	1,00 [-]

Součinitele redukce materiálu (M)					
Trvalá návrhová situace					
		Kombinace 1		Kombinace 2	
Součinitel redukce úhlu vnitřního tření :	$\gamma_\phi =$	1,00 [-]		1,25 [-]	
Součinitel redukce efektivní soudržnosti :	$\gamma_c =$	1,00 [-]		1,25 [-]	
Součinitel redukce neodv. smykové pevnosti :	$\gamma_{cu} =$	1,00 [-]		1,40 [-]	
Součinitel redukce pevnosti horniny :	$\gamma_v =$	1,00 [-]		1,40 [-]	

Základní parametry zemín

Číslo	Název	Vzorek	ϕ_{ef} [°]	c_{ef} [kPa]	γ [kN/m ³]	γ_{su} [kN/m ³]	δ [°]
1	Navazka		5,00	1,00	18,00	8,00	
2	Třída F3, konzistence tuhá		24,00	10,00	18,00	8,00	

Pro výpočet tlaku v klidu jsou všechny zeminy zadány jako nesoudržné.

REKONSTRUKCE VÝPRAVNÍ BUDOVY V ŽST. TÁBOR

DOKUMENTACE PRO PROVÁDĚNÍ STAVBY

Parametry zemin

Navazka

Objemová tíha :	γ	=	18,00 kN/m ³
Úhel vnitřního tření :	φ_{ef}	=	5,00 °
Soudržnost zeminy :	c_u	=	0,01 kPa
Poissonovo číslo :	ν	=	0,45
Modul přetvárnosti :	E_{def}	=	0,20 MPa
Poissonovo číslo :	ν	=	0,45
Obj.tíha sat.zeminy :	γ_{sat}	=	18,00 kN/m ³

Třída F3, konzistence tuhá

Objemová tíha :	γ	=	18,00 kN/m ³
Úhel vnitřního tření :	φ_{ef}	=	24,00 °
Soudržnost zeminy :	c_u	=	60,00 kPa
Poissonovo číslo :	ν	=	0,35
Modul přetvárnosti :	E_{def}	=	6,00 MPa
Poissonovo číslo :	ν	=	0,35
Obj.tíha sat.zeminy :	γ_{sat}	=	18,00 kN/m ³

Založení

Typ základu: centrická patka

Hloubka od původního terénu	h_z	=	1,20 m
Hloubka základové spáry	d	=	1,20 m
Tloušťka základu	t	=	0,84 m
Sklon upraveného terénu	s_1	=	0,00 °
Sklon základové spáry	s_2	=	0,00 °

Objemová tíha zeminy nad základem = 18,00 kN/m³

Geometrie konstrukce

Typ základu: centrická patka

Délka patky	x	=	1,30 m
Šířka patky	y	=	0,85 m
Šířka sloupu ve směru x	c_x	=	0,20 m
Šířka sloupu ve směru y	c_y	=	0,20 m
Objem patky		=	0,93 m ³

Materiál konstrukce

Objemová tíha $\gamma = 23,00$ kN/m³

Výpočet betonových konstrukcí proveden podle normy EN 1992-1-1 (EC2).

Beton : C 20/25

Válcová pevnost v tlaku	f_{ck}	=	20,00 MPa
Pevnost v tahu	f_{ctm}	=	2,20 MPa
Modul pružnosti	E_{cm}	=	30000,00 MPa

Ocel podélná : B500

Mez kluzu	f_{yk}	=	500,00 MPa
-----------	----------	---	------------

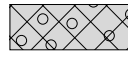
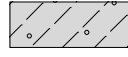
Ocel příčná: B500

Mez kluzu	f_{yk}	=	500,00 MPa
-----------	----------	---	------------

REKONSTRUKCE VÝPRAVNÍ BUDOVY V ŽST. TÁBOR

DOKUMENTACE PRO PROVÁDĚNÍ STAVBY

Geologický profil a přiřazení zemin

Číslo	Vrstva [m]	Přiřazená zemina	Vzorek
1	1,10	Navazka	
2	-	Třída F3, konzistence tuhá	

Zatížení

Číslo	Zatížení		Název	Typ	N [kN]	M _x [kNm]	M _y [kNm]	H _x [kN]	H _y [kN]
	nové	změna							
1	ANO		Sn3/N12	Návrhové	64,59	0,00	0,04	0,01	0,00
2	ANO		Sn3/N12	Návrhové	129,74	0,00	18,11	-8,06	0,00
3	ANO		Sn3/N12	Návrhové	117,77	0,00	0,03	0,01	0,00
4	ANO		Sn3/N12	Návrhové	78,21	0,00	30,17	-13,44	0,00
5	ANO		Sn4/N13	Návrhové	54,15	0,00	0,04	0,01	0,00
6	ANO		Sn4/N13	Návrhové	99,25	0,00	16,49	-5,96	0,00
7	ANO		Sn4/N13	Návrhové	88,27	0,00	0,03	0,01	0,00
8	ANO		Sn4/N13	Návrhové	67,12	0,00	27,47	-9,93	0,00
9	ANO		Sn3/N12 provozní	Užitné	51,67	0,00	0,03	0,01	0,00
10	ANO		Sn3/N12 provozní	Užitné	103,79	0,00	14,49	-6,45	0,00
11	ANO		Sn3/N12 provozní	Užitné	94,22	0,00	0,02	0,01	0,00
12	ANO		Sn3/N12 provozní	Užitné	62,57	0,00	24,14	-10,75	0,00
13	ANO		Sn4/N13 provozní	Užitné	43,32	0,00	0,03	0,01	0,00
14	ANO		Sn4/N13 provozní	Užitné	79,40	0,00	13,19	-4,77	0,00
15	ANO		Sn4/N13 provozní	Užitné	70,62	0,00	0,02	0,01	0,00
16	ANO		Sn4/N13 provozní	Užitné	53,70	0,00	21,98	-7,94	0,00

Celkové nastavení výpočtu

Typ výpočtu : výpočet pro neodvodněné podmínky

Nastavení výpočtu fáze

Návrhová situace : trvalá

REKONSTRUKCE VÝPRAVNÍ BUDOVY V ŽST. TÁBOR

DOKUMENTACE PRO PROVÁDĚNÍ STAVBY

Posouzení čís. 1

Posouzení zatěžovacích stavů

Název	VI. tíha příznivě	e_x [m]	e_y [m]	σ [kPa]	R_d [kPa]	Využití [%]	Vyhovuje
Sn3/N12	Ano	0,00	0,00	84,06	370,45	22,69	Ano
Sn3/N12	Ne	0,00	0,00	93,01	370,44	25,11	Ano
Sn3/N12	Ano	-0,16	0,00	188,69	368,19	51,25	Ano
Sn3/N12	Ne	-0,15	0,00	196,80	367,54	53,54	Ano
Sn3/N12	Ano	0,00	0,00	132,17	370,43	35,68	Ano
Sn3/N12	Ne	0,00	0,00	141,12	370,43	38,10	Ano
Sn3/N12	Ano	-0,39	0,00	240,34	316,51	75,94	Ano
Sn3/N12	Ne	-0,36	0,00	233,06	327,52	71,16	Ano
Sn4/N13	Ano	0,00	0,00	74,61	370,45	20,14	Ano
Sn4/N13	Ne	0,00	0,00	83,56	370,45	22,56	Ano
Sn4/N13	Ano	-0,17	0,00	155,80	373,20	41,75	Ano
Sn4/N13	Ne	-0,16	0,00	163,75	372,19	44,00	Ano
Sn4/N13	Ano	0,00	0,00	105,48	370,44	28,47	Ano
Sn4/N13	Ne	0,00	0,00	114,43	370,43	30,89	Ano
Sn4/N13	Ano	-0,38	0,00	204,37	335,69	60,88	Ano
Sn4/N13	Ne	-0,34	0,00	199,87	344,68	57,99	Ano
Sn3/N12 - provozní	Ano	0,00	0,00	72,36	270,77	26,72	Ano
Sn3/N12 - provozní	Ne	0,00	0,00	72,36	270,77	26,72	Ano
Sn3/N12 - provozní	Ano	-0,15	0,00	155,57	267,48	58,16	Ano
Sn3/N12 - provozní	Ne	-0,15	0,00	155,57	267,48	58,16	Ano
Sn3/N12 - provozní	Ano	0,00	0,00	110,85	270,77	40,94	Ano
Sn3/N12 - provozní	Ne	0,00	0,00	110,85	270,77	40,94	Ano
Sn3/N12 - provozní	Ano	-0,37	0,00	187,59	233,27	80,42	Ano
Sn3/N12 - provozní	Ne	-0,37	0,00	187,59	233,27	80,42	Ano
Sn4/N13 - provozní	Ano	0,00	0,00	64,80	270,77	23,93	Ano
Sn4/N13 - provozní	Ne	0,00	0,00	64,80	270,77	23,93	Ano
Sn4/N13 - provozní	Ano	-0,16	0,00	129,17	271,22	47,62	Ano
Sn4/N13 - provozní	Ne	-0,16	0,00	129,17	271,22	47,62	Ano
Sn4/N13 - provozní	Ano	0,00	0,00	89,50	270,77	33,05	Ano
Sn4/N13 - provozní	Ne	0,00	0,00	89,50	270,77	33,05	Ano
Sn4/N13 - provozní	Ano	-0,35	0,00	160,47	247,72	64,78	Ano
Sn4/N13 - provozní	Ne	-0,35	0,00	160,47	247,72	64,78	Ano

Výpočet proveden s automatickým výběrem nejnepříznivějších zatěžovacích stavů.

Spočtená vlastní tíha patky $G = 21,35$ kN

Spočtená tíha nadloží $Z = 6,90$ kN

Posouzení svislé únosnosti

Tvar kontaktního napětí : obdélník

Nejnepříznivější zatěžovací stav číslo 12. (Sn3/N12 - provozní)

Parametry smykové plochy pod základem:

Hloubka smykové plochy $z_{sp} = 0,60$ m

Dosah smykové plochy $l_{sp} = 1,28$ m

REKONSTRUKCE VÝPRAVNÍ BUDOVY V ŽST. TÁBOR

DOKUMENTACE PRO PROVÁDĚNÍ STAVBY

Výpočtová únosnost zákl. půdy $R_d = 233,27 \text{ kPa}$

Extrémní kontaktní napětí $\sigma = 187,59 \text{ kPa}$

Svislá únosnost VYHOVUJE

Posouzení excentricity zatížení

Max. excentricita ve směru délky patky $e_x = 0,300 < 0,333$

Max. excentricita ve směru šířky patky $e_y = 0,000 < 0,333$

Max. prostorová excentricita $e_t = 0,300 < 0,333$

Excentricita zatížení základu VYHOVUJE

Posouzení vodorovné únosnosti

Nejnepříznivější zatěžovací stav číslo 4. (Sn3/N12)

Zemní odpor: klidový

Výpočtová velikost zemního odporu $S_{pd} = 7,71 \text{ kN}$

Horizontální únosnost základu $R_{dh} = 34,29 \text{ kN}$

Extrémní horizontální síla $H = 13,44 \text{ kN}$

Vodorovná únosnost VYHOVUJE

Únosnost základu VYHOVUJE

Posouzení čís. 1

Sednutí a natočení základu - vstupní data

Výpočet proveden s automatickým výběrem nejnepříznivějších zatěžovacích stavů.

Výpočet proveden s uvažováním koeficientu κ_1 (vliv hloubky založení).

Napětí v základové spáře uvažováno od upraveného terénu.

Spočtená vlastní tíha patky $G = 21,35 \text{ kN}$

Spočtená tíha nadloží $Z = 6,90 \text{ kN}$

Sednutí středu hrany x - 1 = 4,9 mm

Sednutí středu hrany x - 2 = 4,9 mm

Sednutí středu hrany y - 1 = 6,2 mm

Sednutí středu hrany y - 2 = 2,5 mm

Sednutí středu základu = 7,3 mm

Sednutí charakterist. bodu = 5,3 mm

(1-hrana max.tlačená; 2-hrana min.tlačená)

Sednutí a natočení základu - výsledky

Tuhost základu:

Spočtený vážený průměrný modul přetvárnosti $E_{def} = 6,00 \text{ MPa}$

Základ je ve směru délky tuhý ($k=1348,89$)

Základ je ve směru šířky tuhý ($k=4825,60$)

Posouzení excentricity zatížení

Max. excentricita ve směru délky patky $e_x = 0,281 < 0,333$

Max. excentricita ve směru šířky patky $e_y = 0,000 < 0,333$

Max. prostorová excentricita $e_t = 0,281 < 0,333$

Excentricita zatížení základu VYHOVUJE

REKONSTRUKCE VÝPRAVNÍ BUDOVY V ŽST. TÁBOR

DOKUMENTACE PRO PROVÁDĚNÍ STAVBY

Celkové sednutí a natočení základu:

Sednutí základu = 5,3 mm

Hloubka deformační zóny = 2,16 m

Natočení ve směru x = 4,321 (tan*1000); (2,5E-01 °)

Natočení ve směru y = 0,000 (tan*1000); (6,0E-17 °)

F.5.1.21 Posudek základové patky objektu „C“ – krajní patka

Posouzení plošného základu

Vstupní data

Nastavení

Standardní - EN 1997 - DA1

Materiály a normy

Betonové konstrukce : EN 1992-1-1 (EC2)

Součinitele EN 1992-1-1 : standardní

Sedání

Metoda výpočtu : ČSN 73 1001 (Výpočet pomocí edometrického modulu)

Omezení deformační zóny : procentem Sigma,Or

Koef. omezení deformační zóny : 10,0 [%]

Patky

Výpočet pro neodvodněné podmínky : EC 7-1 (EN 1997-1:2003)

Posouzení tažené patky : standardní postup

Dovolená excentricita : 0,333

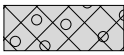
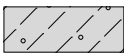
Metodika posouzení : výpočet podle EN1997

Návrhový přístup : 1 - redukce zatížení a materiálu

Součinitele redukce zatížení (F)					
Trvalá návrhová situace					
		Kombinace 1		Kombinace 2	
		Nepříznivé	Příznivé	Nepříznivé	Příznivé
Stálé zatížení :	$\gamma_G =$	1,35 [-]	1,00 [-]	1,00 [-]	1,00 [-]

Součinitele redukce materiálu (M)					
Trvalá návrhová situace					
		Kombinace 1		Kombinace 2	
Součinitel redukce úhlu vnitřního tření :	$\gamma_\phi =$	1,00 [-]	1,25 [-]	1,25 [-]	1,25 [-]
Součinitel redukce efektivní soudržnosti :	$\gamma_c =$	1,00 [-]	1,25 [-]	1,25 [-]	1,25 [-]
Součinitel redukce neodv. smykové pevnosti :	$\gamma_{cu} =$	1,00 [-]	1,40 [-]	1,40 [-]	1,40 [-]
Součinitel redukce pevnosti horniny :	$\gamma_v =$	1,00 [-]	1,40 [-]	1,40 [-]	1,40 [-]

Základní parametry zemín

Číslo	Název	Vzorek	φ_{ef} [°]	c_{ef} [kPa]	γ [kN/m ³]	γ_{su} [kN/m ³]	δ [°]
1	Navazka		5,00	1,00	18,00	8,00	
2	Třída F3, konzistence tuhá		24,00	10,00	18,00	8,00	

Pro výpočet tlaku v klidu jsou všechny zeminy zadány jako nesoudržné.

REKONSTRUKCE VÝPRAVNÍ BUDOVY V ŽST. TÁBOR

DOKUMENTACE PRO PROVÁDĚNÍ STAVBY

Parametry zemin

Navazka

Objemová tíha :	γ	=	18,00 kN/m ³
Úhel vnitřního tření :	φ_{ef}	=	5,00 °
Soudržnost zeminy :	c_u	=	0,01 kPa
Poissonovo číslo :	ν	=	0,45
Modul přetvárnosti :	E_{def}	=	0,20 MPa
Poissonovo číslo :	ν	=	0,45
Obj.tíha sat.zeminy :	γ_{sat}	=	18,00 kN/m ³

Třída F3, konzistence tuhá

Objemová tíha :	γ	=	18,00 kN/m ³
Úhel vnitřního tření :	φ_{ef}	=	24,00 °
Soudržnost zeminy :	c_u	=	60,00 kPa
Poissonovo číslo :	ν	=	0,35
Modul přetvárnosti :	E_{def}	=	6,00 MPa
Poissonovo číslo :	ν	=	0,35
Obj.tíha sat.zeminy :	γ_{sat}	=	18,00 kN/m ³

Založení

Typ základu: excentrická patka

Hloubka od původního terénu	h_z	=	1,20 m
Hloubka základové spáry	d	=	1,20 m
Tloušťka základu	t	=	0,84 m
Sklon upraveného terénu	s_1	=	0,00 °
Sklon základové spáry	s_2	=	0,00 °

Objemová tíha zeminy nad základem = 18,00 kN/m³

Geometrie konstrukce

Typ základu: excentrická patka

Délka patky	x	=	1,30 m
Šířka patky	y	=	0,80 m
Šířka sloupu ve směru x	c_x	=	0,20 m
Šířka sloupu ve směru y	c_y	=	0,20 m
Objem patky		=	0,87 m ³

Vzdál. osy sloupu od kraje patky ve směru x = 0,65 m

Vzdál. osy sloupu od kraje patky ve směru y = 0,60 m

Materiál konstrukce

Objemová tíha γ = 23,00 kN/m³

Výpočet betonových konstrukcí proveden podle normy EN 1992-1-1 (EC2).

Beton : C 20/25

Válcová pevnost v tlaku	f_{ck}	=	20,00 MPa
Pevnost v tahu	f_{ctm}	=	2,20 MPa
Modul pružnosti	E_{cm}	=	30000,00 MPa

Ocel podélná : B500

Mez kluzu	f_{yk}	=	500,00 MPa
-----------	----------	---	------------

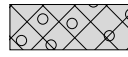
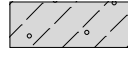
Ocel příčná: B500

Mez kluzu	f_{yk}	=	500,00 MPa
-----------	----------	---	------------

REKONSTRUKCE VÝPRAVNÍ BUDOVY V ŽST. TÁBOR

DOKUMENTACE PRO PROVÁDĚNÍ STAVBY

Geologický profil a přiřazení zemin

Číslo	Vrstva [m]	Přiřazená zemina	Vzorek
1	1,10	Navazka	
2	-	Třída F3, konzistence tuhá	

Zatížení

Číslo	Zatížení		Název	Typ	N [kN]	M _x [kNm]	M _y [kNm]	H _x [kN]	H _y [kN]
	nové	změna							
1	ANO		Sn7/N16	Návrhové	35,14	0,00	-0,04	0,01	0,00
2	ANO		Sn7/N16	Návrhové	67,36	0,00	9,12	-4,00	0,00
3	ANO		Sn7/N16	Návrhové	47,44	0,00	-0,05	0,01	0,00
4	ANO		Sn7/N16	Návrhové	50,04	0,00	15,21	-6,66	0,00
5	ANO		Sn8/N17	Návrhové	30,22	0,00	-0,04	0,01	0,00
6	ANO		Sn8/N17	Návrhové	52,60	0,00	8,33	-2,98	0,00
7	ANO		Sn8/N17	Návrhové	40,80	0,00	-0,05	0,01	0,00
8	ANO		Sn8/N17	Návrhové	40,90	0,00	13,90	-4,97	0,00
9	ANO		Sn7/N16 - provozní	Užitné	28,11	0,00	-0,03	0,01	0,00
10	ANO		Sn7/N16 - provozní	Užitné	53,89	0,00	7,30	-3,20	0,00
11	ANO		Sn7/N16 - provozní	Užitné	37,95	0,00	-0,04	0,01	0,00
12	ANO		Sn7/N16 - provozní	Užitné	40,03	0,00	12,17	-5,33	0,00
13	ANO		Sn8/N17 - provozní	Užitné	24,18	0,00	-0,03	0,01	0,00
14	ANO		Sn8/N17 - provozní	Užitné	42,08	0,00	6,66	-2,38	0,00
15	ANO		Sn8/N17 - provozní	Užitné	32,64	0,00	-0,04	0,01	0,00
16	ANO		Sn8/N17 - provozní	Užitné	32,72	0,00	11,12	-3,98	0,00

Celkové nastavení výpočtu

Typ výpočtu : výpočet pro neodvodněné podmínky

Nastavení výpočtu fáze

Návrhová situace : trvalá

REKONSTRUKCE VÝPRAVNÍ BUDOVY V ŽST. TÁBOR

DOKUMENTACE PRO PROVÁDĚNÍ STAVBY

Posouzení čís. 1

Posouzení zatěžovacích stavů

Název	VI. tíha příznivě	e_x [m]	e_y [m]	σ [kPa]	R_d [kPa]	Využití [%]	Vyhovuje
Sn7/N16	Ano	0,00	0,11	83,06	357,27	23,25	Ano
Sn7/N16	Ne	0,00	0,10	90,83	358,68	25,32	Ano
Sn7/N16	Ano	-0,13	0,14	176,98	349,70	50,61	Ano
Sn7/N16	Ne	-0,12	0,13	180,99	351,28	51,52	Ano
Sn7/N16	Ano	0,00	0,13	104,86	355,91	29,46	Ano
Sn7/N16	Ne	0,00	0,11	112,12	357,26	31,38	Ano
Sn7/N16	Ano	-0,27	0,13	187,88	348,13	53,97	Ano
Sn7/N16	Ne	-0,24	0,12	185,75	350,46	53,00	Ano
Sn8/N17	Ano	0,00	0,11	74,50	357,98	20,81	Ano
Sn8/N17	Ne	0,00	0,09	82,48	359,40	22,95	Ano
Sn8/N17	Ano	-0,14	0,13	144,39	354,32	40,75	Ano
Sn8/N17	Ne	-0,12	0,12	149,15	355,67	41,94	Ano
Sn8/N17	Ano	0,00	0,12	93,04	356,58	26,09	Ano
Sn8/N17	Ne	0,00	0,11	100,57	357,98	28,09	Ano
Sn8/N17	Ano	-0,27	0,12	158,36	357,00	44,36	Ano
Sn8/N17	Ne	-0,24	0,11	157,77	358,08	44,06	Ano
Sn7/N16 - provozní	Ano	0,00	0,10	70,85	262,11	27,03	Ano
Sn7/N16 - provozní	Ne	0,00	0,10	70,85	262,11	27,03	Ano
Sn7/N16 - provozní	Ano	-0,12	0,13	143,76	255,87	56,19	Ano
Sn7/N16 - provozní	Ne	-0,12	0,13	143,76	255,87	56,19	Ano
Sn7/N16 - provozní	Ano	0,00	0,12	87,99	261,10	33,70	Ano
Sn7/N16 - provozní	Ne	0,00	0,12	87,99	261,10	33,70	Ano
Sn7/N16 - provozní	Ano	-0,25	0,12	148,74	253,92	58,58	Ano
Sn7/N16 - provozní	Ne	-0,25	0,12	148,74	253,92	58,58	Ano
Sn8/N17 - provozní	Ano	0,00	0,10	64,13	262,62	24,42	Ano
Sn8/N17 - provozní	Ne	0,00	0,10	64,13	262,62	24,42	Ano
Sn8/N17 - provozní	Ano	-0,13	0,12	118,12	259,32	45,55	Ano
Sn8/N17 - provozní	Ne	-0,13	0,12	118,12	259,32	45,55	Ano
Sn8/N17 - provozní	Ano	0,00	0,11	78,69	261,61	30,08	Ano
Sn8/N17 - provozní	Ne	0,00	0,11	78,69	261,61	30,08	Ano
Sn8/N17 - provozní	Ano	-0,24	0,11	126,02	260,29	48,41	Ano
Sn8/N17 - provozní	Ne	-0,24	0,11	126,02	260,29	48,41	Ano

Výpočet proveden s automatickým výběrem nejnepříznivějších zatěžovacích stavů.

Spočtená vlastní tíha patky $G = 20,09$ kN

Spočtená tíha nadloží $Z = 6,48$ kN

Posouzení svislé únosnosti

Tvar kontaktního napětí : obdélník

Nejnepříznivější zatěžovací stav číslo 12. (Sn7/N16 - provozní)

Parametry smykové plochy pod základem:

Hloubka smykové plochy $z_{sp} = 0,57$ m

Dosah smykové plochy $l_{sp} = 1,20$ m

REKONSTRUKCE VÝPRAVNÍ BUDOVY V ŽST. TÁBOR

DOKUMENTACE PRO PROVÁDĚNÍ STAVBY

Výpočtová únosnost zákl. půdy $R_d = 253,92 \text{ kPa}$

Extrémní kontaktní napětí $\sigma = 148,74 \text{ kPa}$

Svislá únosnost VYHOVUJE

Posouzení excentricity zatížení

Max. excentricita ve směru délky patky $e_x = 0,209 < 0,333$

Max. excentricita ve směru šířky patky $e_y = 0,179 < 0,333$

Max. prostorová excentricita $e_t = 0,265 < 0,333$

Excentricita zatížení základu VYHOVUJE

Posouzení vodorovné únosnosti

Nejnepříznivější zatěžovací stav číslo 4. (Sn7/N16)

Zemní odpor: klidový

Výpočtová velikost zemního odporu $S_{pd} = 7,26 \text{ kN}$

Horizontální únosnost základu $R_{dh} = 31,72 \text{ kN}$

Extrémní horizontální síla $H = 6,66 \text{ kN}$

Vodorovná únosnost VYHOVUJE

Únosnost základu VYHOVUJE

Posouzení čís. 1

Sednutí a natočení základu - vstupní data

Výpočet proveden s automatickým výběrem nejnepříznivějších zatěžovacích stavů.

Výpočet proveden s uvažováním koeficientu κ_1 (vliv hloubky založení).

Napětí v základové spáře uvažováno od upraveného terénu.

Spočtená vlastní tíha patky $G = 20,09 \text{ kN}$

Spočtená tíha nadloží $Z = 6,48 \text{ kN}$

Výpočet proveden za vyloučení tahu.

Rozměry patky po vyloučení tažených okrajů:

Délka patky $(x) = 1,30 \text{ m}$

Šířka patky $(y) = 0,80 \text{ m}$

Sednutí středu hrany x - 1 = 4,2 mm

Sednutí středu hrany x - 2 = 1,9 mm

Sednutí středu hrany y - 1 = 3,1 mm

Sednutí středu hrany y - 2 = 1,2 mm

Sednutí středu základu = 4,2 mm

Sednutí charakterist. bodu = 3,3 mm

(1-hrana max.tlačená; 2-hrana min.tlačená)

Sednutí a natočení základu - výsledky

Tuhost základu:

Spočtený vážený průměrný modul přetvárnosti $E_{def} = 6,00 \text{ MPa}$

Základ je ve směru délky tuhý ($k=1348,89$)

Základ je ve směru šířky tuhý ($k=5788,12$)

REKONSTRUKCE VÝPRAVNÍ BUDOVY V ŽST. TÁBOR

DOKUMENTACE PRO PROVÁDĚNÍ STAVBY

Posouzení excentricity zatížení

Max. excentricita ve směru délky patky $e_x = 0,192 < 0,333$

Max. excentricita ve směru šířky patky $e_y = 0,167 < 0,333$

Max. prostorová excentricita $e_t = 0,244 < 0,333$

Excentricita zatížení základu VYHOVUJE

Celkové sednutí a natočení základu:

Sednutí základu = 3,3 mm

Hloubka deformační zóny = 1,75 m

Natočení ve směru x = 2,367 (tan*1000); (1,4E-01 °)

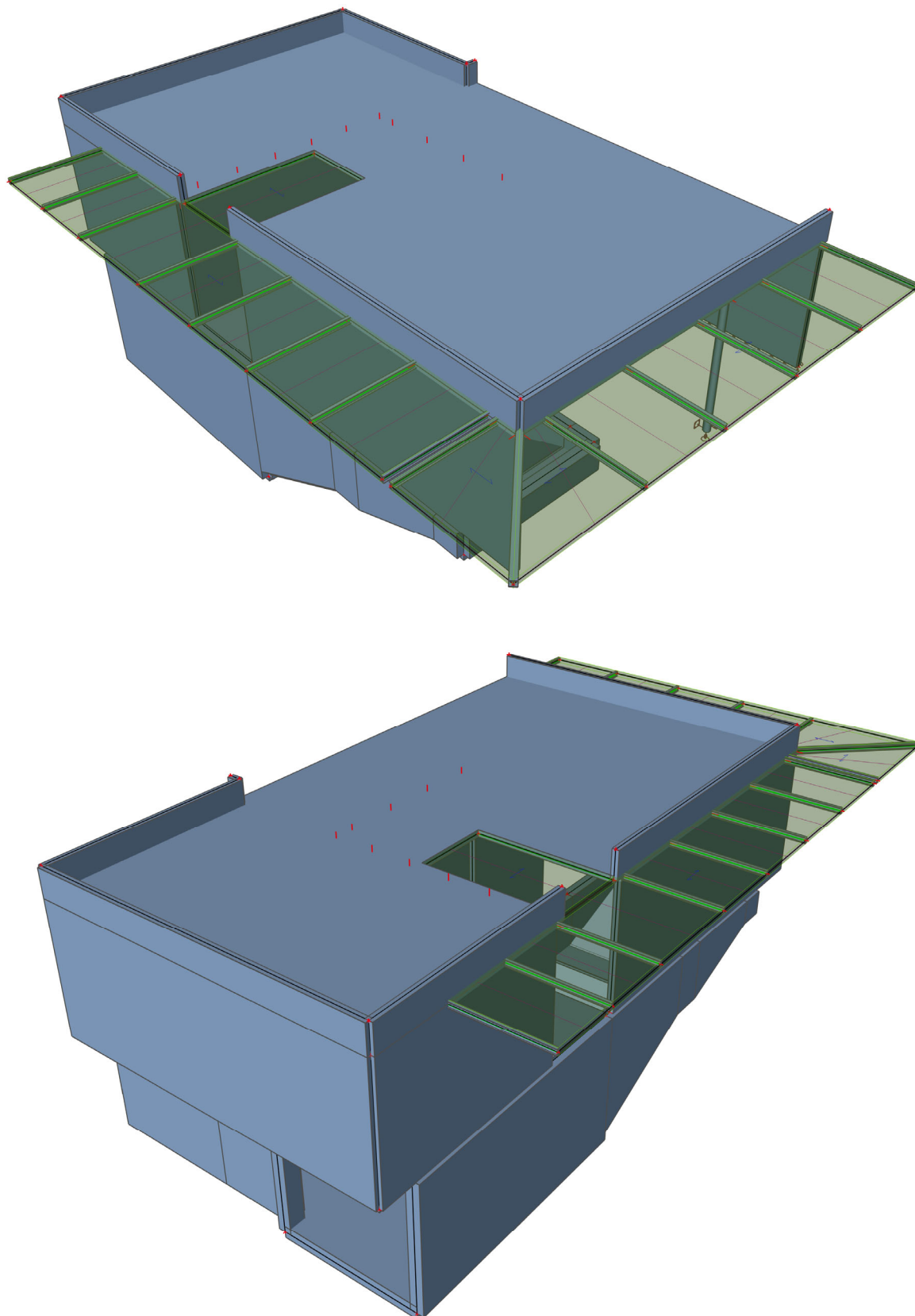
Natočení ve směru y = 2,821 (tan*1000); (1,6E-01 °)

REKONSTRUKCE VÝPRAVNÍ BUDOVY V ŽST. TÁBOR

DOKUMENTACE PRO PROVÁDĚNÍ STAVBY

F.6 Objekt „D“

F.6.1.1 Model Konstrukce – celkový včetně objektu „D“



U Plynárny 1002/97, 101 00, Praha 10

F.6.1.2 Zatížení stálé – Zatížení od skladby podlahy [kN/m²]



F.6.1.3 Zatížení stálé – Zatížení od hmotnosti příček [kN/m2]



U Plynárny 1002/97, 101 00, Praha 10

F.6.1.4 Zatížení stálé – Zatížení tíhou zeminy [kN/m²]



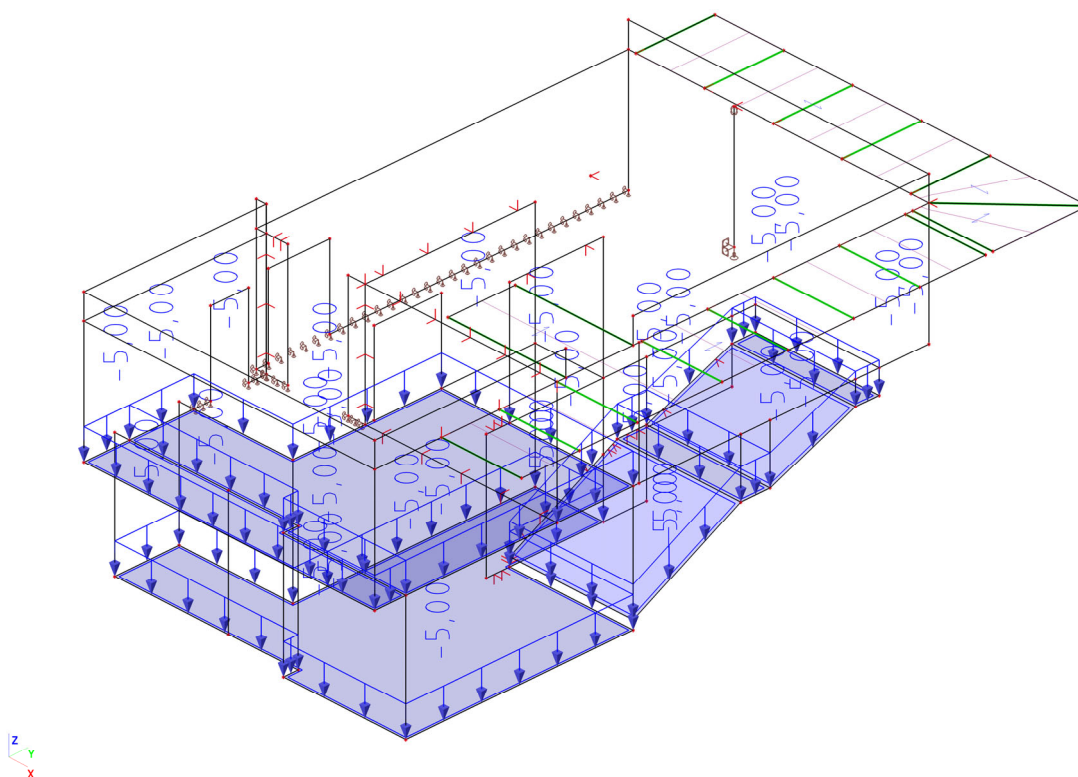
F.6.1.5 Zatížení stálé – Zatížení od technologie [kN/m²]



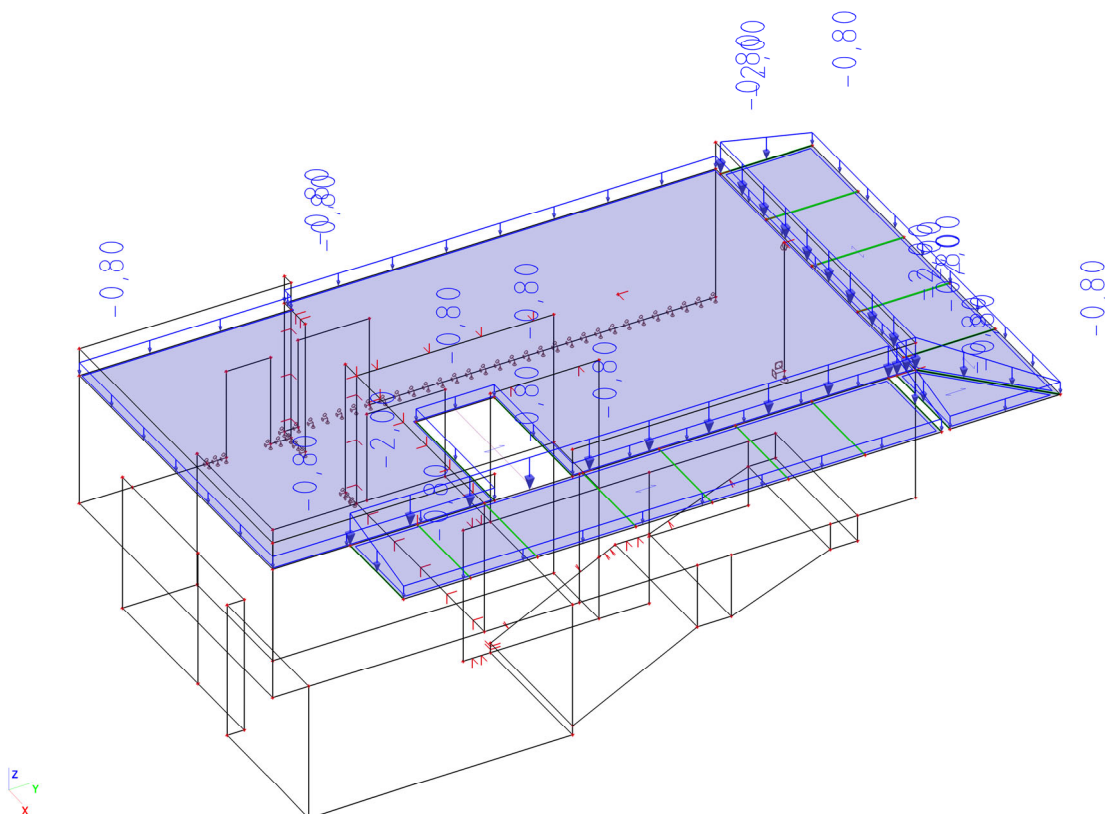
REKONSTRUKCE VÝPRAVNÍ BUDOVY V ŽST. TÁBOR

DOKUMENTACE PRO PROVÁDĚNÍ STAVBY

F.6.1.6 Zatížení proměnné – Užitné zatížení [kN/m²]



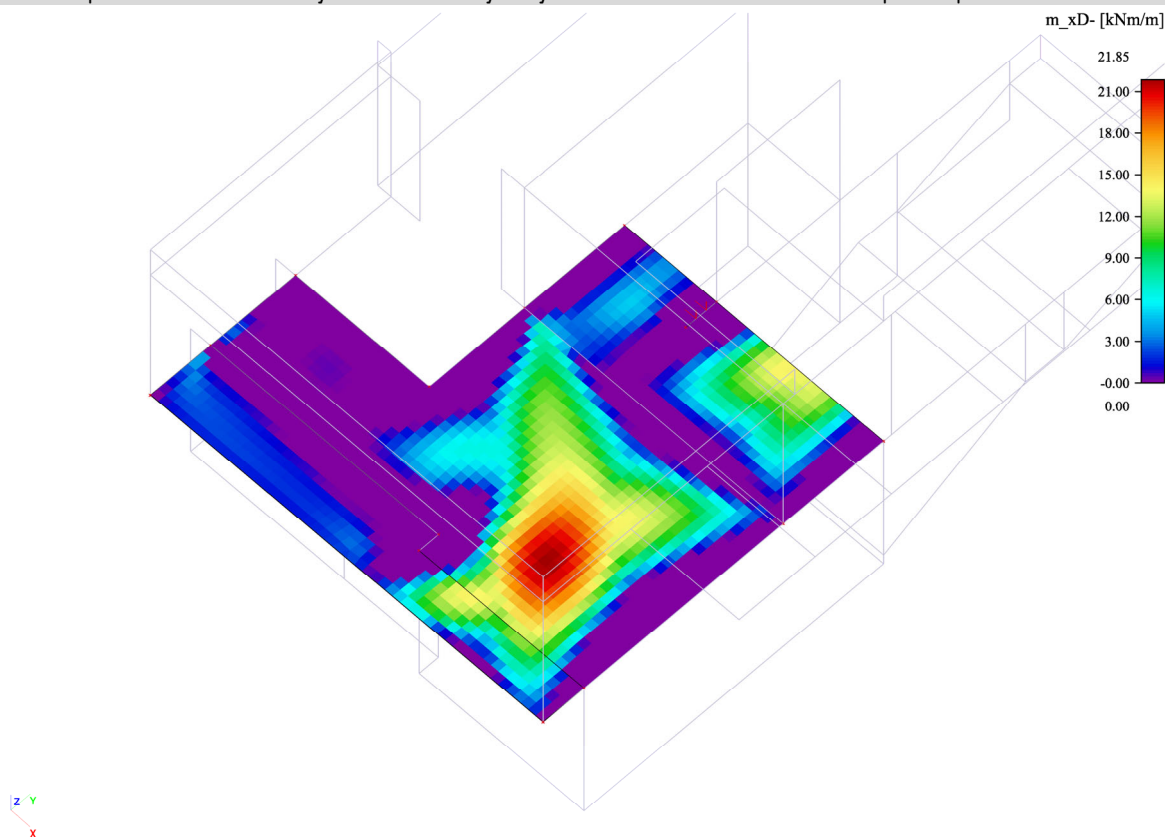
F.6.1.7 Zatížení proměnné – Zatížení sněhem [kN/m²]



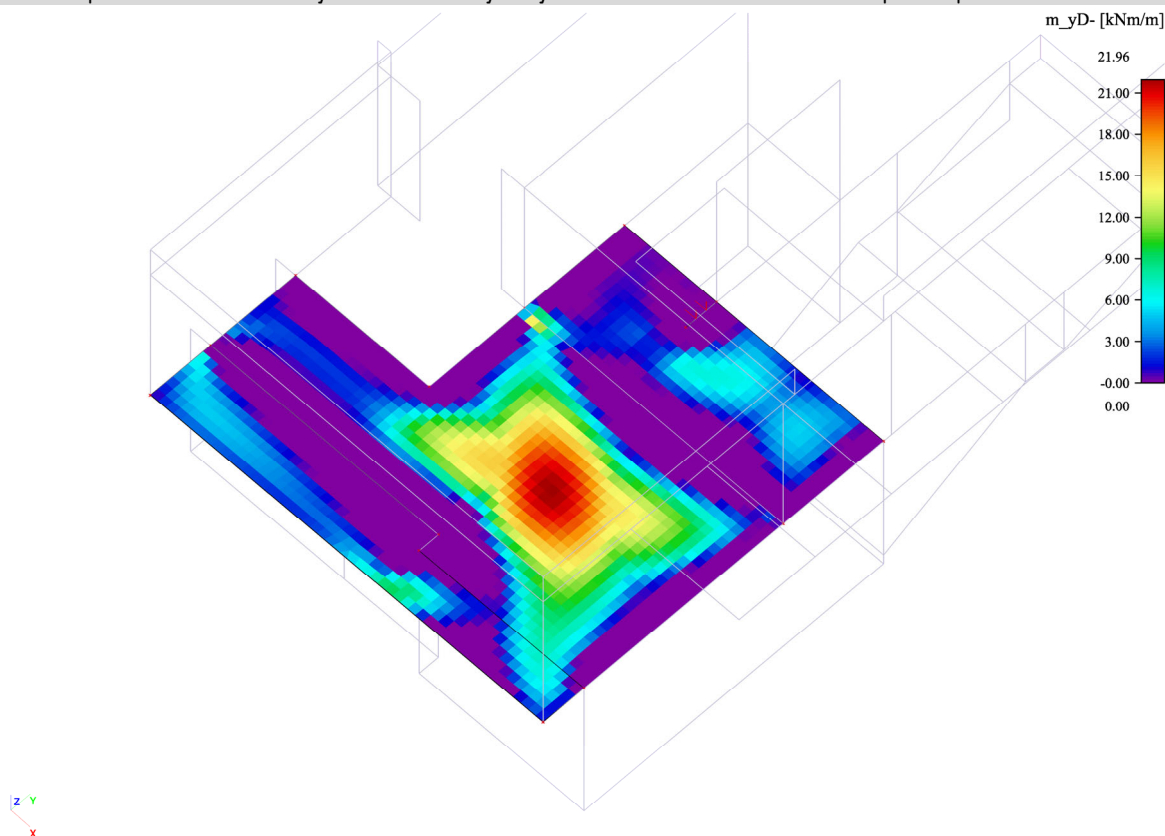
REKONSTRUKCE VÝPRAVNÍ BUDOVY V ŽST. TÁBOR

DOKUMENTACE PRO PROVÁDĚNÍ STAVBY

F.6.1.8 Strop 1.PP - Vnitřní síly - Průběh ohybových momentů ve směru X - spodní povrch [kNm/m]



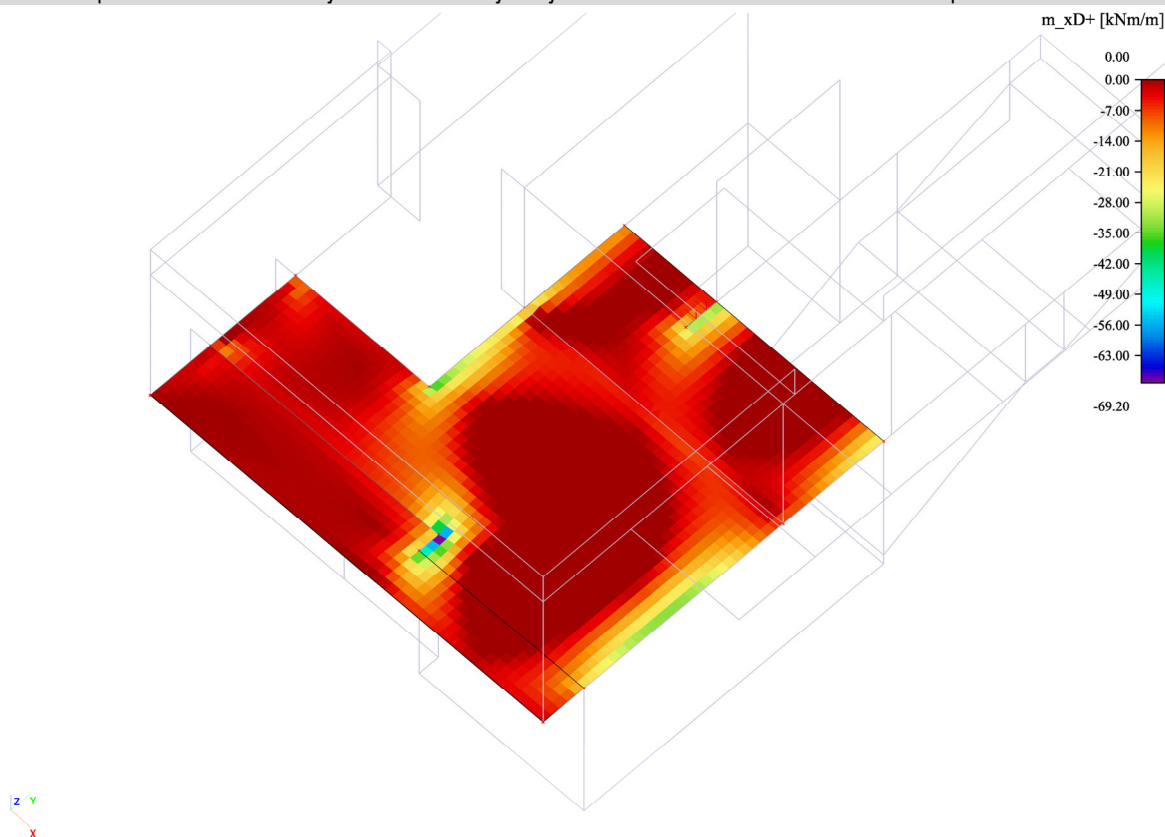
F.6.1.9 Strop 1.PP - Vnitřní síly - Průběh ohybových momentů ve směru Y - spodní povrch [kNm/m]



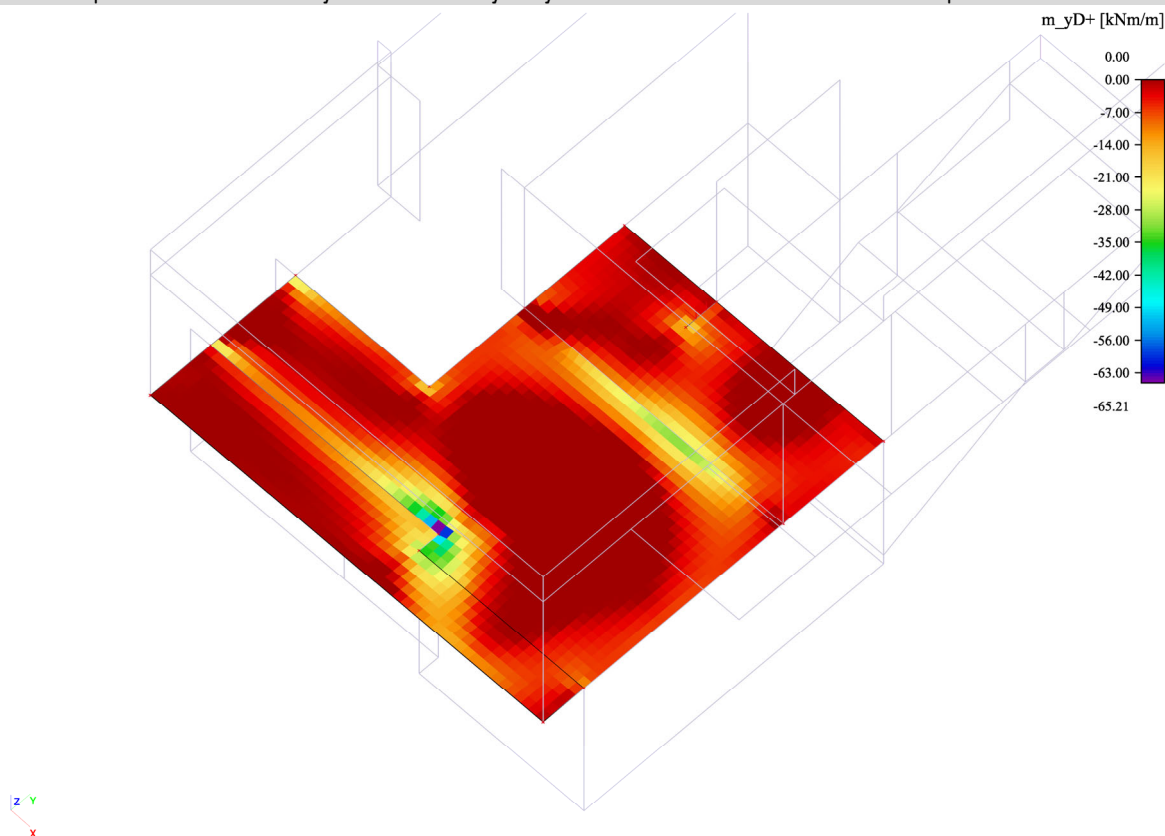
REKONSTRUKCE VÝPRAVNÍ BUDOVY V ŽST. TÁBOR

DOKUMENTACE PRO PROVÁDĚNÍ STAVBY

F.6.1.10 Strop 1.PP - Vnitřní síly - Průběh ohybových momentů ve směru X - horní povrch [kNm/m]



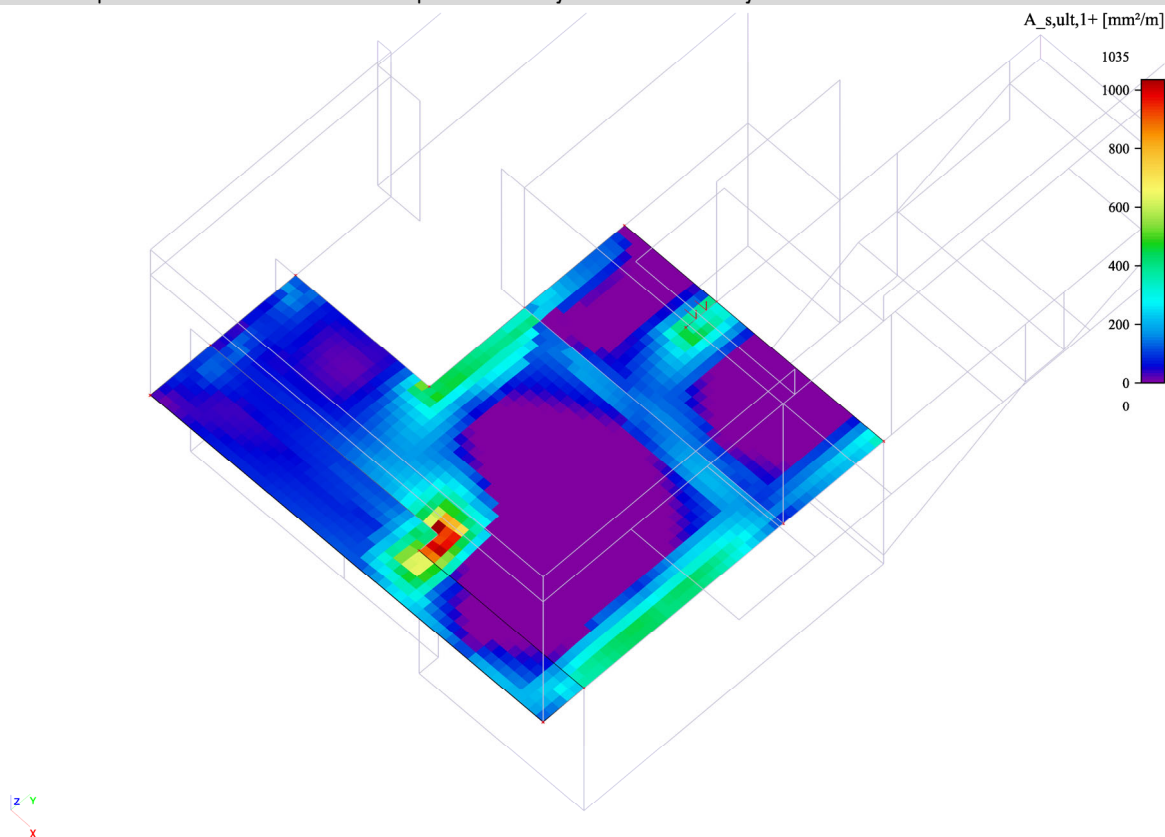
F.6.1.11 Strop 1.PP - Vnitřní síly - Průběh ohybových momentů ve směru Y - horní povrch [kNm/m]



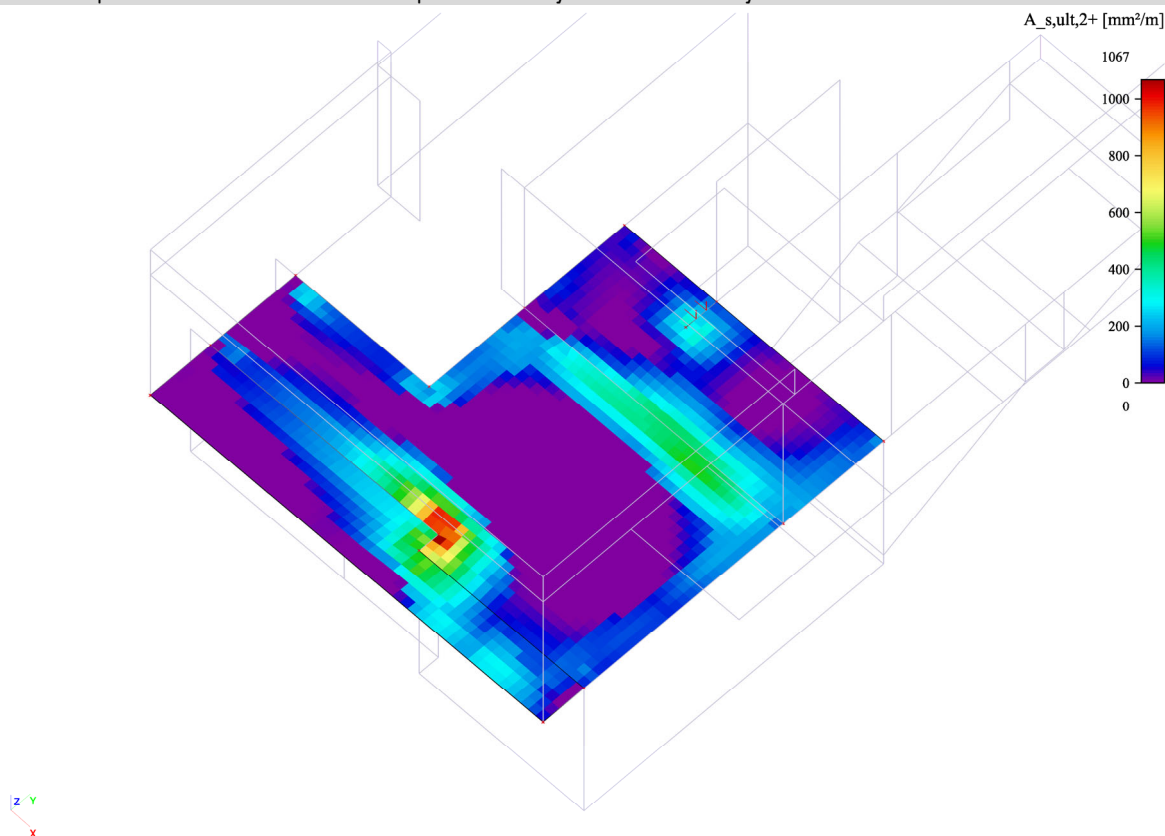
REKONSTRUKCE VÝPRAVNÍ BUDOVY V ŽST. TÁBOR

DOKUMENTACE PRO PROVÁDĚNÍ STAVBY

F.6.1.12 Strop 1.PP - Návrh MSÚ - Předpokládaná výztuž - Horní výztuž - směr X [Ø á 150mm]



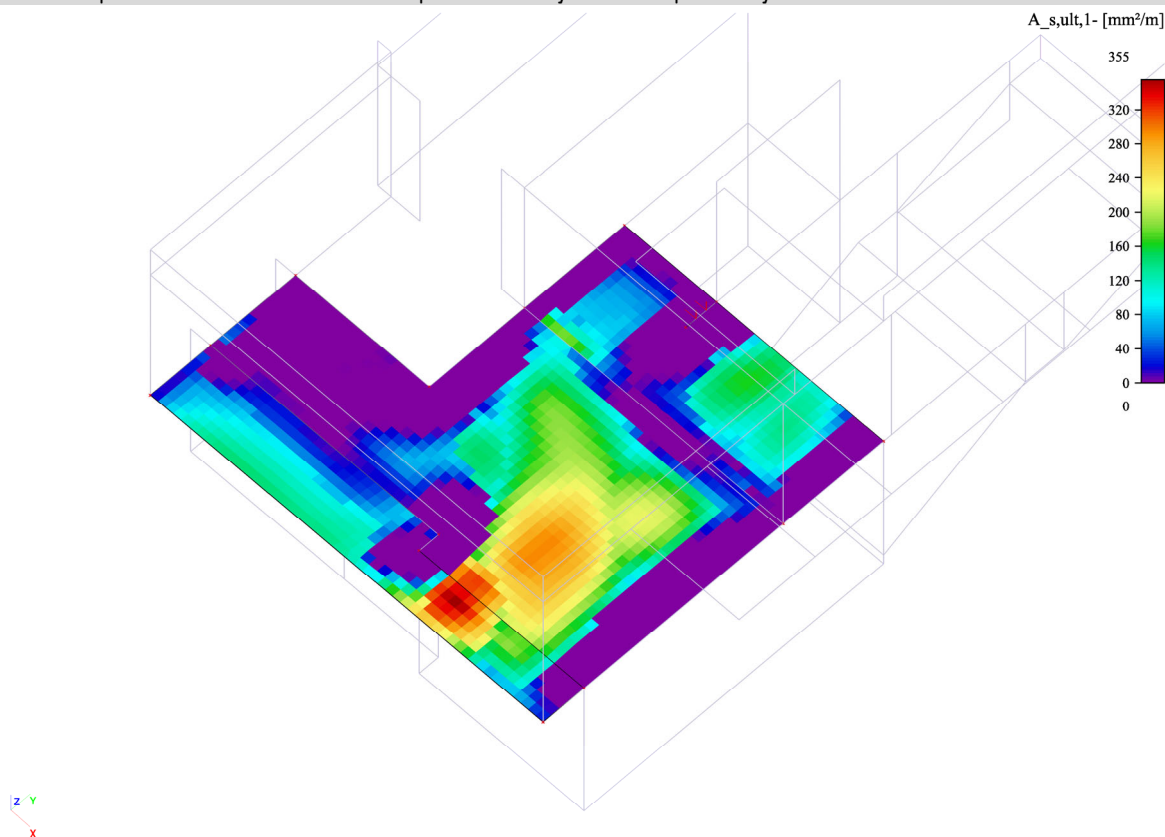
F.6.1.13 Strop 1.PP - Návrh MSÚ - Předpokládaná výztuž - Horní výztuž - směr Y [Ø á 150mm]



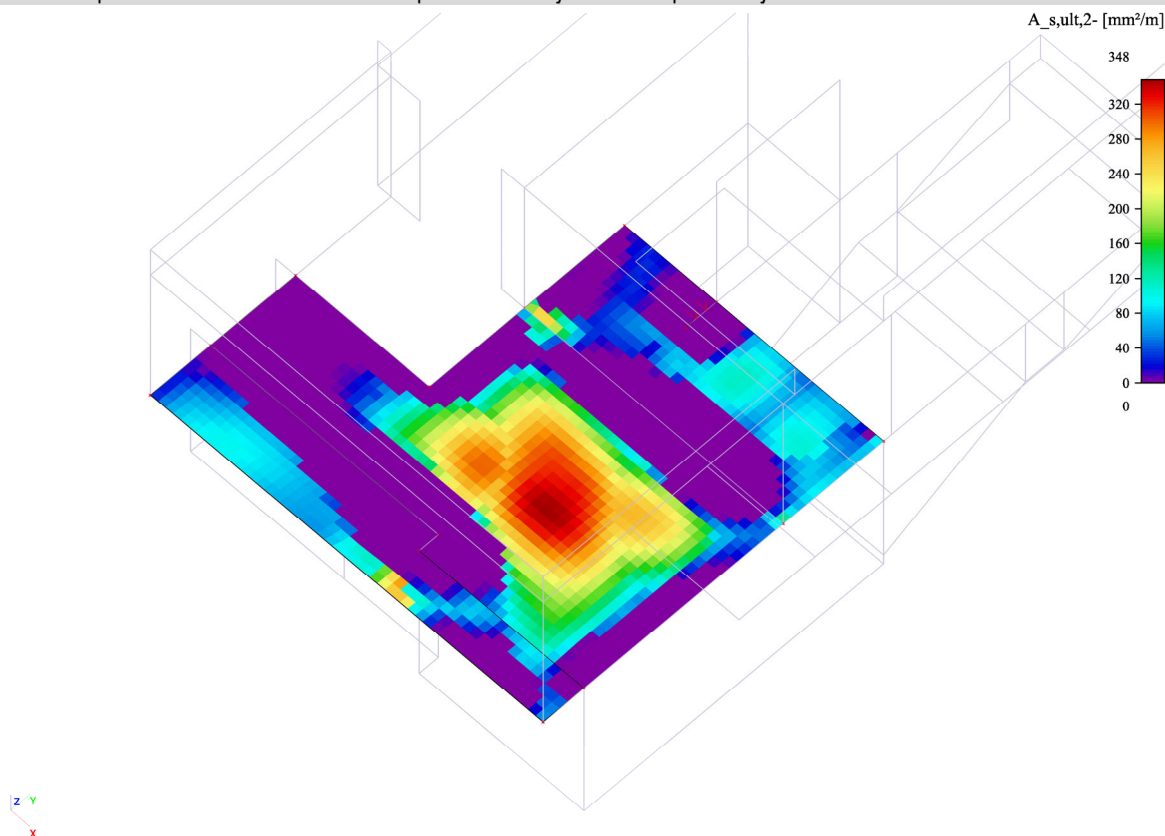
REKONSTRUKCE VÝPRAVNÍ BUDOVY V ŽST. TÁBOR

DOKUMENTACE PRO PROVÁDĚNÍ STAVBY

F.6.1.14 Strop 1.PP - Návrh MSÚ - Předpokládaná výztuž - Spodní výztuž - směr X [Ø á 150mm]



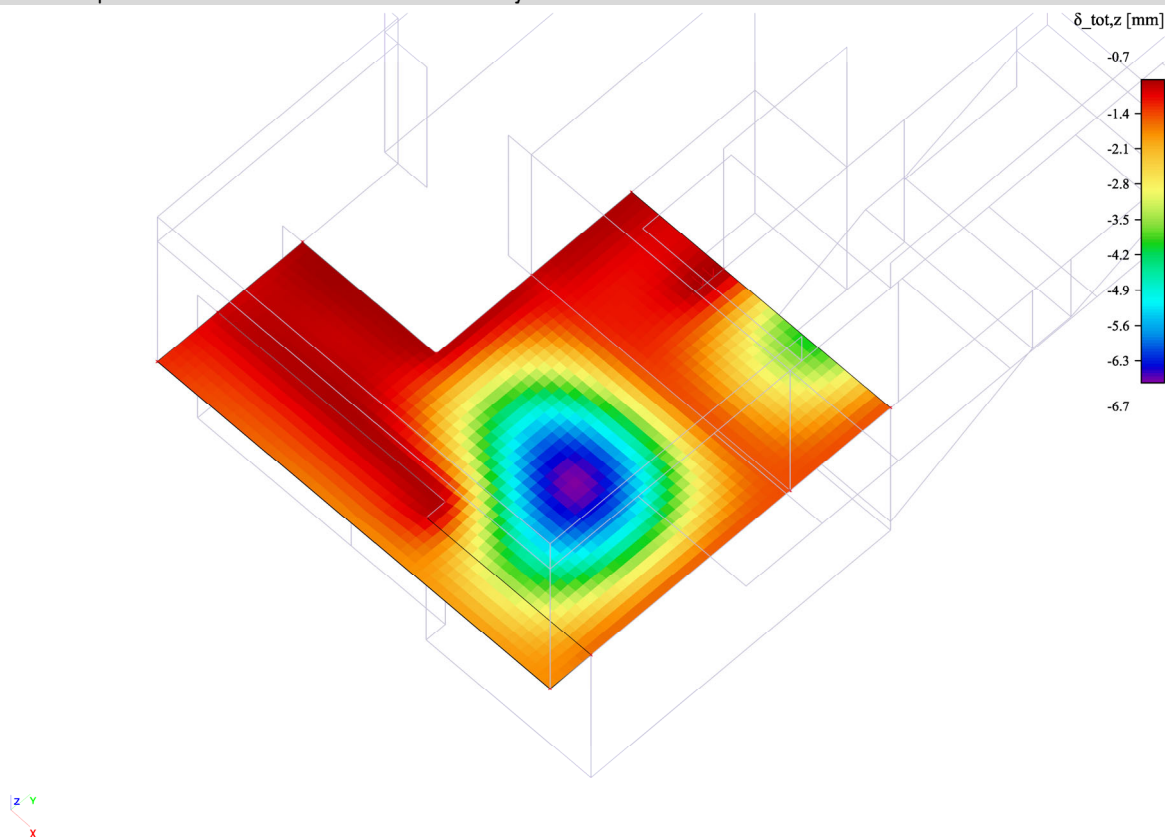
F.6.1.15 Strop 1.PP - Návrh MSÚ - Předpokládaná výztuž - Spodní výztuž - směr Y [Ø á 150mm]



REKONSTRUKCE VÝPRAVNÍ BUDOVY V ŽST. TÁBOR

DOKUMENTACE PRO PROVÁDĚNÍ STAVBY

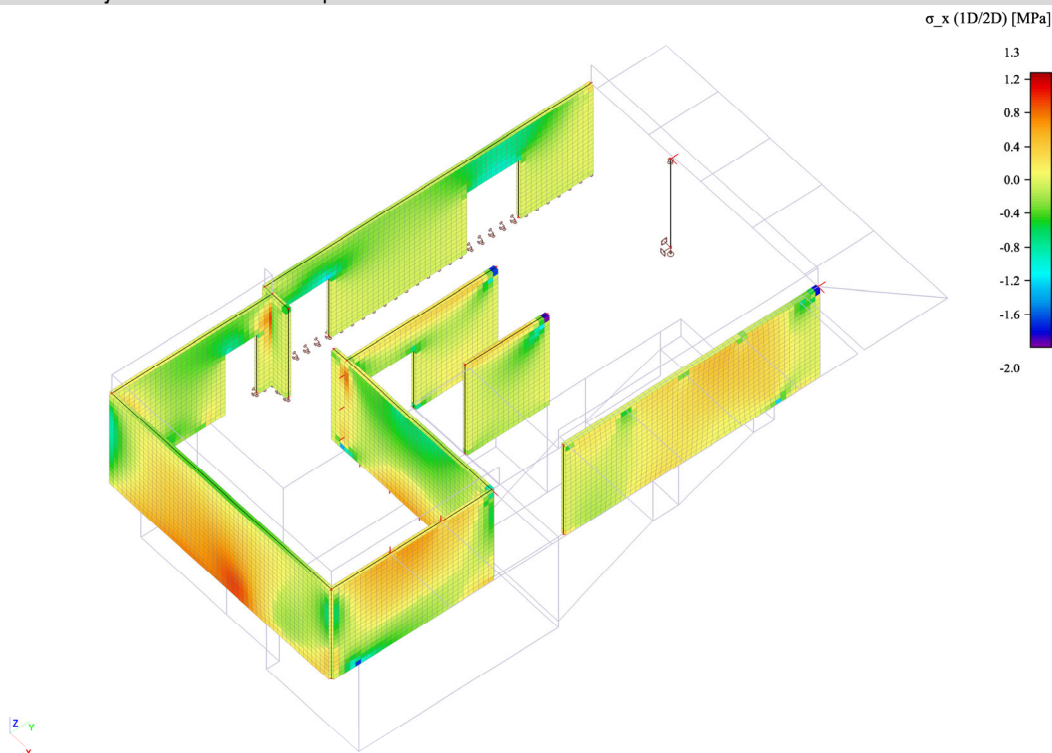
F.6.1.16 Strop 1.PP – Nelineární deformace desky vč. dotvarování a smrštění [mm]



REKONSTRUKCE VÝPRAVNÍ BUDOVY V ŽST. TÁBOR

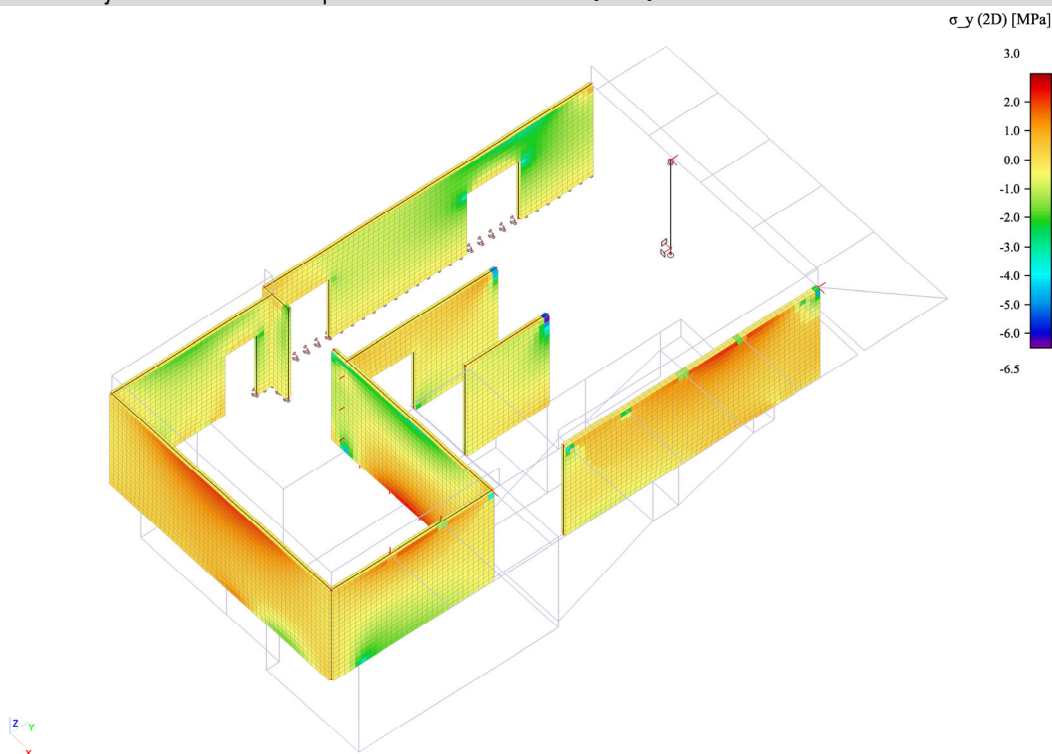
DOKUMENTACE PRO PROVÁDĚNÍ STAVBY

F.6.1.17 Stěny 1.NP - MSÚ - Napětí ve vodorovném směru [MPa]



$$\sigma_x = 3,8 \text{ MPa} \leq f_{c,d} = \frac{f_{c,k}}{\gamma_c} = \frac{25}{1,5} = 16,6 \text{ MPa}$$

F.6.1.18 Stěny 1.NP - MSÚ - Napětí ve svislém směru [MPa]



$$\sigma_x = 8,7 \text{ MPa} \leq f_{c,d} = \frac{f_{c,k}}{\gamma_c} = \frac{25}{1,5} = 16,6 \text{ MPa}$$

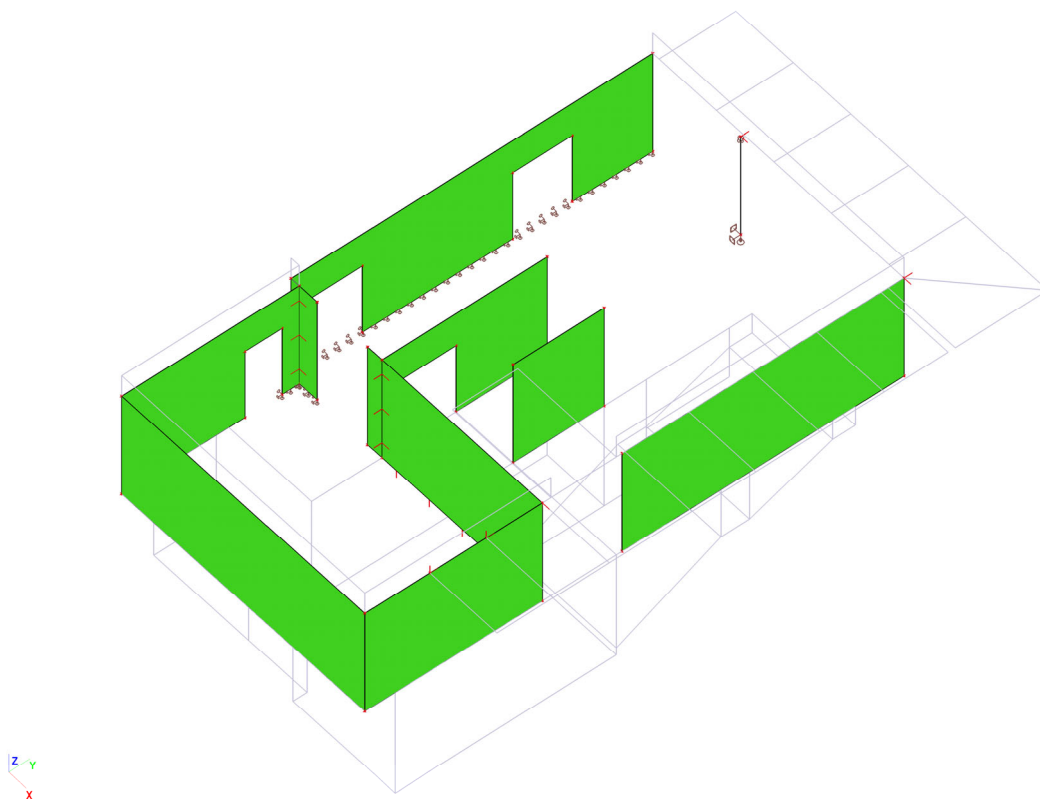
REKONSTRUKCE VÝPRAVNÍ BUDOVY V ŽST. TÁBOR

DOKUMENTACE PRO PROVÁDĚNÍ STAVBY

F.6.1.19 Stěny 1.NP - Návrh MSÚ - Předpokládaná výztuž - Vodorovná výztuž [Ø á 150mm]

N_ø,prov,1-

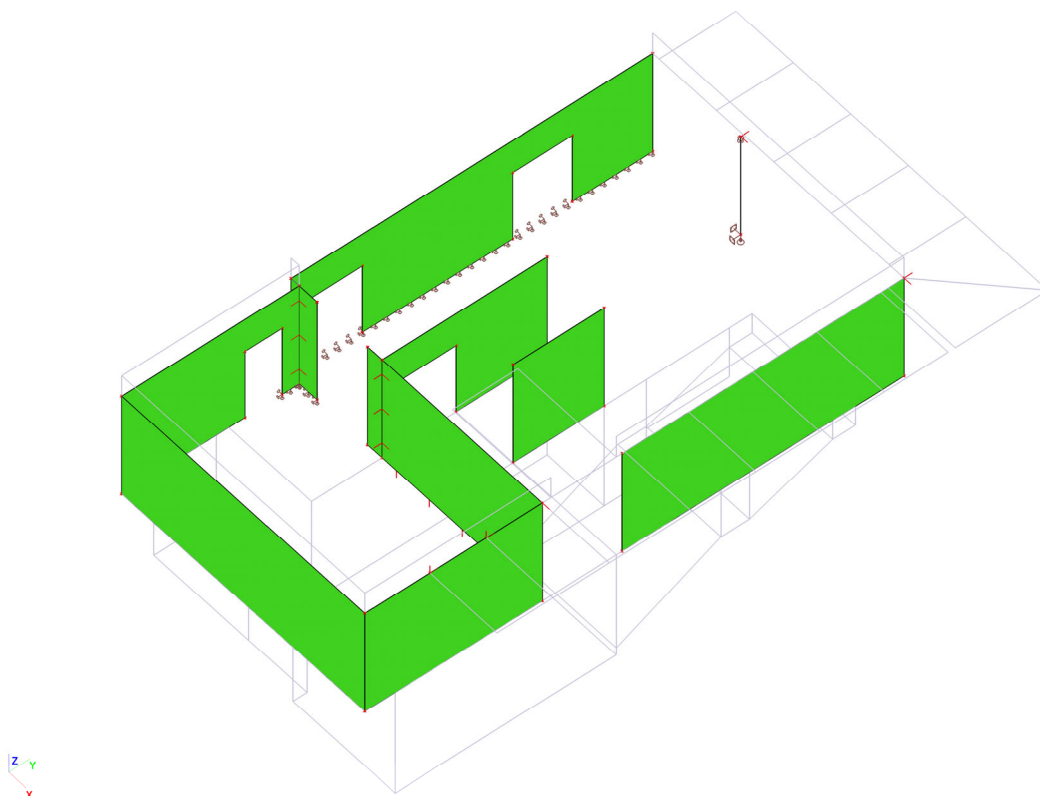
ø8,0/150



F.6.1.20 Stěny 1.NP - Návrh MSÚ - Předpokládaná výztuž - Svislá výztuž [Ø á 150mm]

N_ø,prov,2+

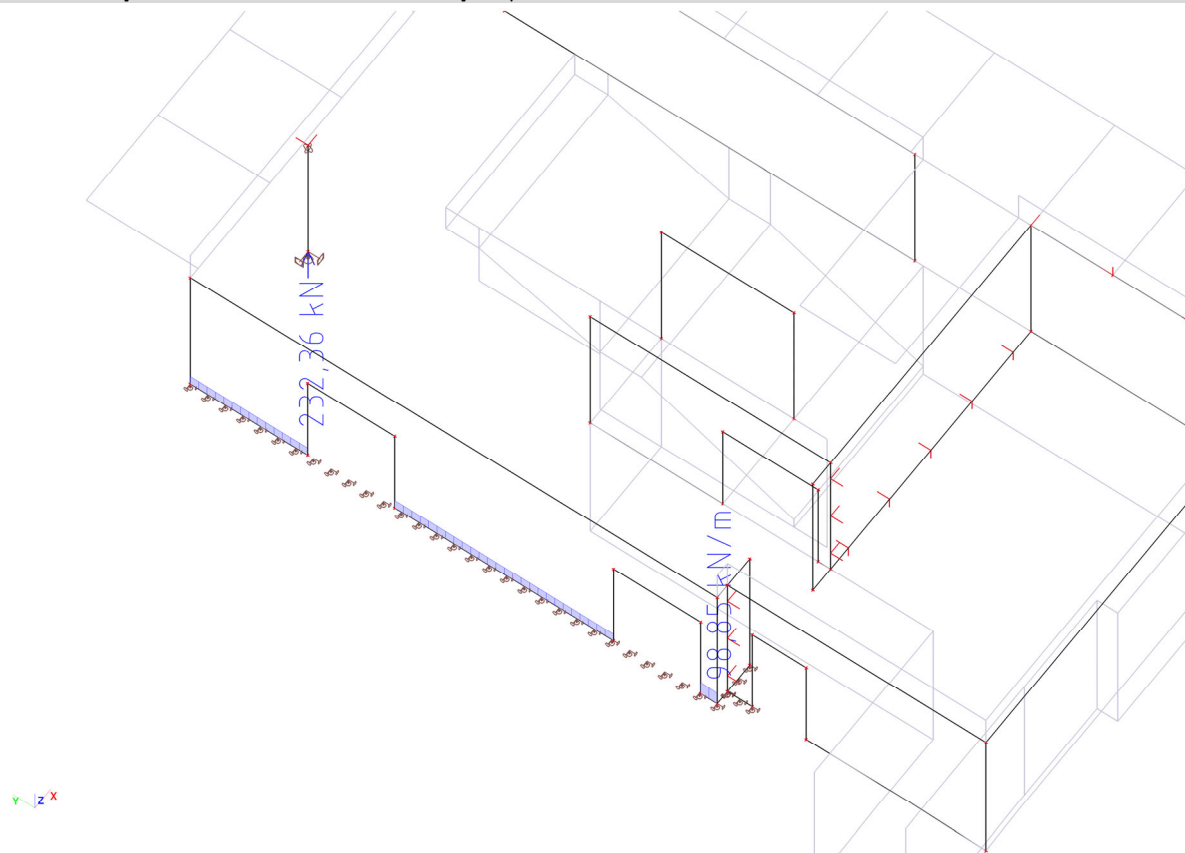
ø8,0/150



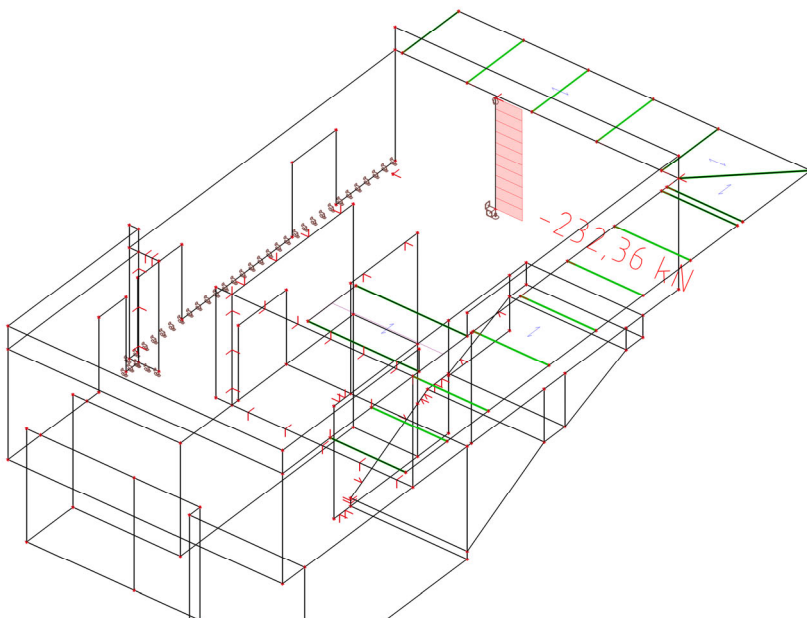
REKONSTRUKCE VÝPRAVNÍ BUDOVY V ŽST. TÁBOR

DOKUMENTACE PRO PROVÁDĚNÍ STAVBY

F.6.1.21 Stěny 1.NP – Reakce do základových pasů [kN/m]



F.6.1.22 Stěny 1.NP – Normálová síla do sloupu [kN]



REKONSTRUKCE VÝPRAVNÍ BUDOVY V ŽST. TÁBOR

DOKUMENTACE PRO PROVÁDĚNÍ STAVBY

F.6.1.23 Stěny 1.NP – Posudek MSÚ – Využití průřezu [%]

Posudek ocelových prvků na MSÚ EC-EN 1993

Hodnoty: $U_{C_{celkový}}$

Lineární výpočet

Kombinace: MSÚ-Sada B (auto)

Souřadný systém: Hlavní

Extrém 1D: Globální

Výběr: B1

Posudek EN 1993-1-1

Národní dodatek: Česká CSN-EN NA

Dílec B1	0,000 / 4,000 m	R0193.7X14.2	Válcovaný	S 235	MSÚ-Sada B (auto)	0,28 -
----------	-----------------	--------------	-----------	-------	-------------------	--------

Klíč kombinace

MSÚ-Sada B (auto) / 1.35*ZS1 + 1.35*ZS2 + 1.35*ZS3 + 1.05*ZS4.C + 0.75*ZS6 + 1.35*ZS8

Dílič souč. spolehlivosti

Únosnost průřezů	γ_{MS}	1,00
Únosnost na stabilitu	γ_{M1}	1,00
Únosnost čistého průřezu	γ_{M2}	1,25

Materiál

Mez kluzu	f_y	235,0	MPa
Pevnost v tahu	f_u	360,0	MPa

....:POSUDEK ÚNOSNOSTI:....

Kritický posudek je na pozici 0,000 m

Vnitřní síly		Vypočtené	Jednotka
Osová síla	N_{Ed}	-232,36	kN
Smyková síla	$V_{y,Ed}$	-0,01	kN
Smyková síla	$V_{z,Ed}$	0,01	kN
Kroucení	T_{Ed}	0,00	kNm
Ohybový moment	$M_{y,Ed}$	-0,03	kNm
Ohybový moment	$M_{z,Ed}$	0,03	kNm

Klasifikace pro návrh průřezu

Klasifikace podle EN 1993-1-1 článku 5.5.2

Klasifikace trubek podle EN 1993-1-1 tabulky 5.2 listu 3

d [mm]	t [mm]	d/t [-]	Třída 1 limit [-]	Třída 2 limit [-]	Třída 3 limit [-]	Třída
194	14	13,6	50,0	70,0	90,0	1

Průřez je klasifikován třídou 1

Posudek na tlak

Podle EN 1993-1-1 článku 6.2.4 a rovnice (6.9)

Průřezová plocha	A	8,0100e-03	m ²
Tlaková únosnost	$N_{c,Rd}$	1882,35	kN
Jedn. posudek		0,12	-

Posudek ohybového momentu pro M_y

Podle EN 1993-1-1 článku 6.2.5 a rovnice (6.12), (6.13)

Plastický modul průřezu	$W_{pl,y}$	4,5753e-04	m ³
Plastický ohybový moment	$M_{pl,y,Rd}$	107,52	kNm
Jedn. posudek		0,00	-

Posudek ohybového momentu pro M_z

Podle EN 1993-1-1 článku 6.2.5 a rovnice (6.12), (6.13)

Plastický modul průřezu	$W_{pl,z}$	4,5753e-04	m ³
Plastický ohybový moment	$M_{pl,z,Rd}$	107,52	kNm
Jedn. posudek		0,00	-

Posudek smyku pro V_y

Podle EN 1993-1-1 článku 6.2.6 a rovnice (6.17)

REKONSTRUKCE VÝPRAVNÍ BUDOVY V ŽST. TÁBOR

DOKUMENTACE PRO PROVÁDĚNÍ STAVBY

Součinitel smykové korekce	η	1,20	
Smyk. plocha	A_v	5,0993e-03	m ²
Plastická smyková únosnost pro V_y	$V_{pl,y,Rd}$	691,86	kN
Jedn. posudek		0,00	-

Posudek smyku pro V_y

Podle EN 1993-1-1 článku 6.2.6 a rovnice (6.17)

Součinitel smykové korekce	η	1,20	
Smyk. plocha	A_v	5,0993e-03	m ²
Plastická smyková únosnost pro V_y	$V_{pl,y,Rd}$	691,86	kN
Jedn. posudek		0,00	-

Posudek na kombinaci ohybu, osově a smykové síly

Podle EN 1993-1-1 článku 6.2.9.1 a rovnice (6.31)

Výslednice ohybového momentu	$M_{výslednice}$	0,04	kNm
Výslednice smykové síly	$V_{výslednice}$	0,01	kN
Návrhová plastická momentová únosnost redukována kvůli N_{Ed}	$M_{N,Rd}$	104,45	kNm
Jedn. posudek		0,00	-

Poznámka: Výsledné vnitřní síly se použijí pro trubkové průřezy

Poznámka: Protože smykové síly jsou menší než polovina plastické smykové únosnosti, jejich vliv na momentovou únosnost se zanedbává.

Prvek splňuje podmínky posudku průřezu.

....:POSUDEK STABILITY:....

Klasifikace pro návrh dílce na vzpěr

Rozhodující poloha pro klasifikaci stability: 0,000 m

Rozhodující součinitel využití η : 0,12

Klasifikace podle EN 1993-1-1 článku 5.5.2

Klasifikace trubek podle EN 1993-1-1 tabulky 5.2 listu 3

d [mm]	t [mm]	d/t [-]	Třída 1 limit [-]	Třída 2 limit [-]	Třída 3 limit [-]	Třída
194	14	13,6	50,0	70,0	90,0	1

Průřez je klasifikován třídou 1

Poznámka: Rozhodující poloha pro klasifikaci stability je založena na součiniteli využití η podle Semi-Comp+.

Posudek rovinného vzpěru

Podle EN 1993-1-1 článku 6.3.1.1 a rovnice (6.46)

Parametry vzpěru		yy	zz	
Typ posuvných styčnicků		posuvné	neposuvné	
Systémová délka	L	4,000	4,000	m
Součinitel vzpěru	k	2,00	0,70	
Vzpěrná délka	l_{cr}	8,010	2,800	m
Kritické Eulerovo zatížení	N_{cr}	1048,38	8578,62	kN
Štíhlost	λ	125,84	43,99	
Poměrná štíhlost	λ_{rel}	1,34	0,47	
Mezní štíhlost	$\lambda_{rel,0}$	0,20	0,20	
Vzpěr. křivka	a	a		
Imperfekce	α	0,21	0,21	
Redukční součinitel	χ	0,45	0,93	
Únosnost na vzpěr	$N_{b,Rd}$	844,27	1757,73	kN

Posudek rovinného vzpěru			
Průřezová plocha	A	8,0100e-03	m ²
Únosnost na vzpěr	$N_{b,Rd}$	844,27	kN
Jedn. posudek		0,28	-

Posudek prostorového vzpěru

Podle EN 1993-1-1 článku 6.3.1.1 a rovnice (6.46)

Poznámka: Průřez se týká kruhové trubky, která není náchylná k prostorovému vzpěru.

Posudek klopení

REKONSTRUKCE VÝPRAVNÍ BUDOVY V ŽST. TÁBOR

DOKUMENTACE PRO PROVÁDĚNÍ STAVBY

Podle EN 1993-1-1 článku 6.3.2.1

Poznámka: Průřez se týká kruhové trubky, která není náchylná ke klopení.

Posudek ohybu a osového tlaku

Podle EN 1993-1-1 článku 6.3.3 a rovnice (6.61), (6.62)

Parametry pro posudek ohybu a osového tlaku			
Interakční metoda		alternativní metoda 2	
Průřezová plocha	A	8,0100e-03	m ²
Plastický modul průřezu	$W_{pl,y}$	4,5753e-04	m ³
Plastický modul průřezu	$W_{pl,z}$	4,5753e-04	m ³
Návrhová tlaková síla	N_{Ed}	232,36	kN
Návrhový ohybový moment (maximum)	$M_{y,Ed}$	-0,03	kNm
Návrhový ohybový moment (maximum)	$M_{z,Ed}$	0,03	kNm
Charakteristická tlaková únosnost	N_{Rk}	1882,35	kN
Charakteristická momentová únosnost	$M_{y,Rk}$	107,52	kNm
Charakteristická momentová únosnost	$M_{z,Rk}$	107,52	kNm
Redukční součinitel	χ_y	0,45	
Redukční součinitel	χ_z	0,93	
Redukční součinitel	χ_{LT}	1,00	
Interakční součinitel	k_{yy}	1,10	
Interakční součinitel	k_{yz}	0,38	
Interakční součinitel	k_{zy}	0,66	
Interakční součinitel	k_{zz}	0,63	

Maximální moment $M_{y,Ed}$ je odvozen z nosníku B1 pozice 0,000 m.

Maximální moment $M_{z,Ed}$ je odvozen z nosníku B1 pozice 0,000 m.

Parametry interakční metody 2		
Metoda pro součinitel interakce		Tabulka B.1
Posuvnost styčniců y		posuvné
Součinitel ekvivalentního momentu	C_{my}	0,90
Výsledný typ zatížení z		liniový moment M
Poměr koncových momentů	ψ_z	0,00
Součinitel ekvivalentního momentu	C_{mz}	0,60
Výsledný typ zatížení LT		liniový moment M
Poměr koncových momentů	ψ_{LT}	0,00
Součinitel ekvivalentního momentu	C_{mLT}	0,60

Posudek (6.61) = 0,28 + 0,00 + 0,00 = 0,28 -

Posudek (6.62) = 0,13 + 0,00 + 0,00 = 0,13 -

Prvek splňuje podmínky stabilitního posudku.

F.6.1.24 Stěny 1.NP – Posudek požár – Ověření požadavku únosnosti při T=30min

Požární odolnost ocelových prvků EC-EN 1993

Hodnoty: $UC_{celkový}$

Lineární výpočet

Kombinace: MSÚ – POŽÁR

Souřadný systém: Hlavní

Extrém 1D: Globální

Výběr: B1

EN 1993-1-2 posudek požární odolnosti

Národní dodatek: Česká CSN-EN NA

Dílec B1	0,000 / 4,000 m	R0193.7X14.2	Válcovaný	S 235	MSÚ – POŽÁR	0,99 -
Klíč kombinace						
MSÚ – POŽÁR / ZS1 + ZS2 + ZS3 + 0.60*ZS4.C + 0.20*ZS6 + ZS8						

REKONSTRUKCE VÝPRAVNÍ BUDOVY V ŽST. TÁBOR

DOKUMENTACE PRO PROVÁDĚNÍ STAVBY

Dílní souč. spolehlivosti		
Únosnost průřezů	γ_{M0}	1,00
Únosnost na stabilitu	γ_{M1}	1,00
Únosnost čistého průřezu	γ_{M2}	1,25
Odolnost proti požáru	$\gamma_{M,fi}$	1,00

Materiál			
Mez kluzu	f_y	235,0	MPa
Pevnost v tahu	f_u	360,0	MPa

Požární odolnost

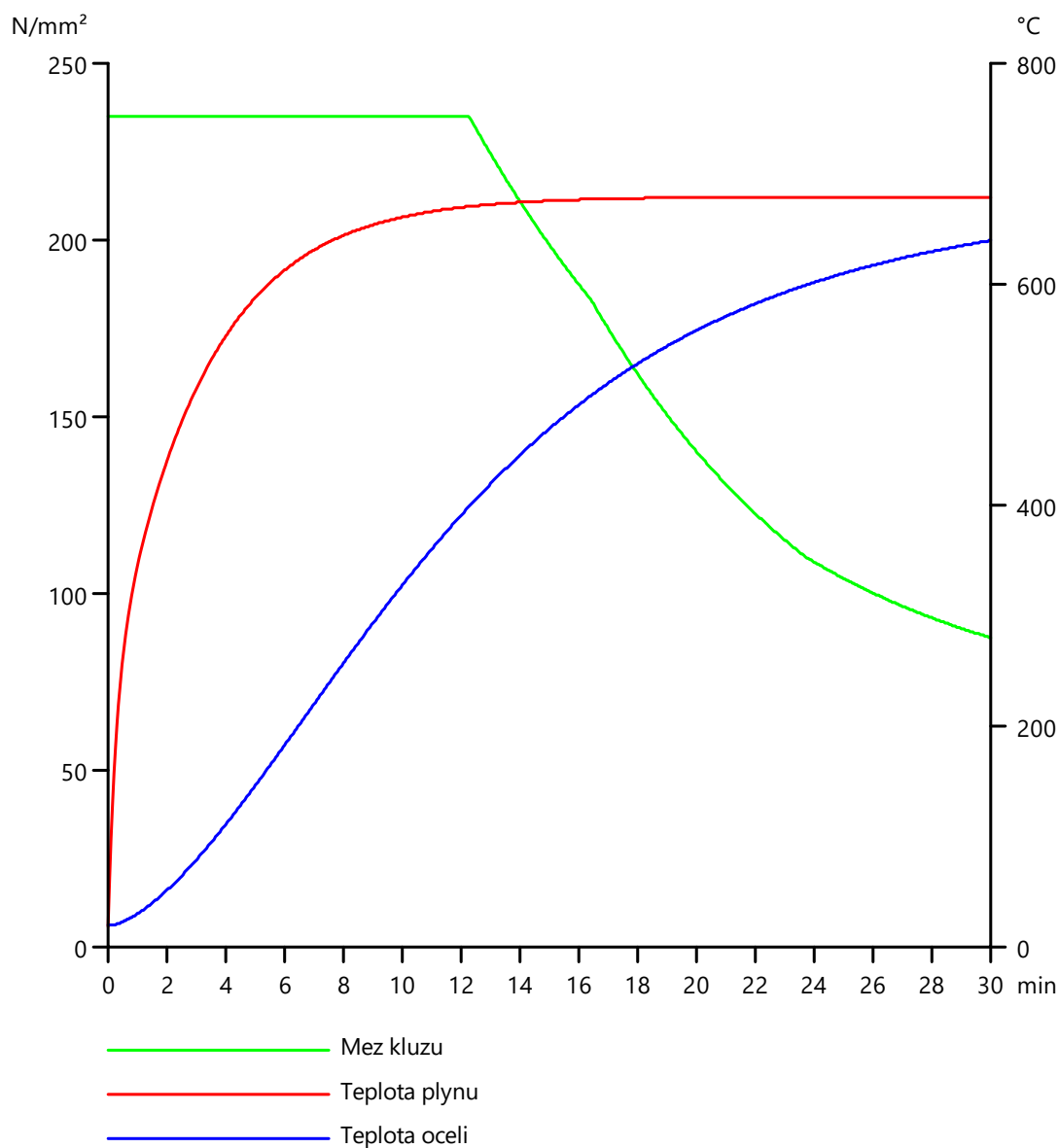
Posouzení v oblasti teploty podle EN 1993-1-2 článku 4.2.4

Požární odolnost			
Křivka teplota - čas		Křivka vnějšího požáru	
Součinitel přenosu tepla prouděním	α_c	25,00	W/m ² K
Emisivita vztažená k požárnímu úseku	ϵ_f	1,00	
Emisivita vztažená k povrchu materiálu	ϵ_a	0,70	
Polohový faktor toku tepla sáláním	ϕ	1,00	
Požadovaná požární odolnost	R	30,00	min
Teplota plynu	θ_a	679,97	°C
Teplota materiálu	$\theta_{s,t}$	640,29	°C
Kritická teplota materiálu	$\theta_{a,cr}$	644,57	°C
Požární odolnost	t_{cr}	31,02	min
Expozice nosníku		Všechny strany	
Adaptační součinitel pro průřez	κ_1	1,00	
Adaptační součinitel pro nosník	κ_2	1,00	
Součinitel průřezu pro nechráněné ocelové dílce	A_m/V	7,5787e+01	1/m
Opravný součinitel pro efekt stínu	k_{sh}	1,00	
Redukční součinitel pro mez kluzu	$k_{y,\theta}$	0,36	
Redukční součinitel pro modul E	$k_{E,\theta}$	0,23	
Jedn. posudek		0,99	-

Výsledky posudků zobrazené níže jsou uvedeny při kritické teplotě materiálu $\theta_{a,cr} = 644,57$ °C. Tyto výsledky byly použity k určení kritické teploty, tj. teploty, při které se jednotkový posudek blíží 1,00.

REKONSTRUKCE VÝPRAVNÍ BUDOVY V ŽST. TÁBOR

DOKUMENTACE PRO PROVÁDĚNÍ STAVBY



....:POSUDEK ÚNOSNOSTI:....

Kritický posudek je na pozici 0,000 m

Vnitřní síly		Vypočtené	Jednotka
Osová síla	$N_{fi,Ed}$	-159,71	kN
Smyková síla	$V_{y,fi,Ed}$	0,00	kN
Smyková síla	$V_{z,fi,Ed}$	0,01	kN
Kroucení	$T_{fi,Ed}$	0,00	kNm
Ohybový moment	$M_{y,fi,Ed}$	-0,03	kNm
Ohybový moment	$M_{z,fi,Ed}$	0,01	kNm

Klasifikace pro návrh průřezu

Podle podle EN 1993-1-2 článku 4.2.2

Klasifikace trubek podle EN 1993-1-1 tabulky 5.2 listu 3

d [mm]	t [mm]	d/t [-]	Třída 1 limit [-]	Třída 2 limit [-]	Třída 3 limit [-]	Třída
194	14	13,6	36,1	50,6	65,0	1

REKONSTRUKCE VÝPRAVNÍ BUDOVY V ŽST. TÁBOR

DOKUMENTACE PRO PROVÁDĚNÍ STAVBY

Průřez je klasifikován třídou 1

Posudek na tlak

Podle EN 1993-1-2 článku 4.2.3.2 a rovnice (4.5)

Průřezová plocha	A	8,0100e-03	m ²
Návrhová únosnost na vzpěr	$N_{f,t,Rd}$	683,35	kN
Jedn. posudek		0,23	–

Posudek ohybového momentu pro M_y

Podle EN 1993-1-2 článku 4.2.3.3 a rovnice (4.10)

Plastický modul průřezu	$W_{pl,y}$	4,5753e-04	m ³
Plastický ohybový moment	$M_{pl,y,Rd}$	107,52	kNm
Pevnost za ohybu	$M_{y,f,t,Rd}$	39,03	kNm
Návrhová ohybová únosnost	$M_{y,f,t,Rd}$	39,03	kNm
Jedn. posudek		0,00	–

Posudek ohybového momentu pro M_z

Podle EN 1993-1-2 článku 4.2.3.3 a rovnice (4.10)

Plastický modul průřezu	$W_{pl,z}$	4,5753e-04	m ³
Plastický ohybový moment	$M_{pl,z,Rd}$	107,52	kNm
Pevnost za ohybu	$M_{z,f,t,Rd}$	39,03	kNm
Návrhová ohybová únosnost	$M_{z,f,t,Rd}$	39,03	kNm
Jedn. posudek		0,00	–

Posudek smyku pro V_y

Podle EN 1993-1-2 článku 4.2.3.3 a rovnice (4.16)

Součinitel smykové korekce	η	1,20	
Smyk. plocha	A_v	5,0993e-03	m ²
Plastická smyková únosnost pro V_y	$V_{pl,y,Rd}$	691,86	kN
Plastická smyková únosnost pro V_y	$V_{y,f,t,Rd}$	251,17	kN
Jedn. posudek		0,00	–

Posudek smyku pro V_z

Podle EN 1993-1-2 článku 4.2.3.3 a rovnice (4.16)

Součinitel smykové korekce	η	1,20	
Smyk. plocha	A_v	5,0993e-03	m ²
Plastická smyková únosnost pro V_z	$V_{pl,z,Rd}$	691,86	kN
Plastická smyková únosnost pro V_z	$V_{z,f,t,Rd}$	251,17	kN
Jedn. posudek		0,00	–

Posudek na kombinaci ohybu, osově a smykové síly

Podle EN 1993-1-2 článku 4.2.3

Podle EN 1993-1-1 článku 6.2.9.1 a rovnice (6.31)

Výslednice ohybového momentu	$M_{výslednice}$	0,03	kNm
Výslednice smykové síly	$V_{výslednice}$	0,01	kN
Návrhová plastická momentová únosnost redukovaná kvůli N_{Ed}	$M_{N,f,t,Rd}$	35,74	kNm
Jedn. posudek		0,00	–

Poznámka: Výsledné vnitřní síly se použijí pro trubkové průřezy

Poznámka: Protože smykové síly jsou menší než polovina plastické smykové únosnosti, jejich vliv na momentovou únosnost se zanedbává.

Prvek splňuje podmínky posudku průřezu.

....:POSUDEK STABILITY:....

Klasifikace pro návrh dílce na vzpěr

Rozhodující poloha pro klasifikaci stability: 0,000 m

Rozhodující součinitel využití η : 0,09

Podle EN 1993-1-2 článku 4.2.2

Klasifikace trubek podle EN 1993-1-1 tabulky 5.2 listu 3

REKONSTRUKCE VÝPRAVNÍ BUDOVY V ŽST. TÁBOR

DOKUMENTACE PRO PROVÁDĚNÍ STAVBY

d [mm]	t [mm]	d/t [-]	Třída 1 limit [-]	Třída 2 limit [-]	Třída 3 limit [-]	Třída
194	14	13,6	36,1	50,6	65,0	1

Průřez je klasifikován třídou 1

Poznámka: Rozhodující poloha pro klasifikaci stability je založena na součiniteli využití η podle Semi-Comp+.

Posudek rovinného vzpěru

Podle EN 1993-1-2 článku 4.2.3.2 a rovnice (4.5)

Parametry vzpěru		yy	zz	
Typ posuvných styčníků		posuvné	neposuvné	
Systémová délka	L	4,000	4,000	m
Součinitel vzpěru	k	2,00	0,70	
Vzpěrná délka	l_{cr}	8,010	2,800	m
Kritické Eulerovo zatížení	N_{cr}	1048,38	8578,62	kN
Štíhlost	λ	125,84	43,99	
Poměrná štíhlost	λ_{rel}	1,34	0,47	
Poměrná štíhlost	$\lambda_{rel,B}$	1,68	0,59	
Imperfekce	α	0,65	0,65	
Redukční součinitel	χ_{fi}	0,23	0,67	
Únosnost na vzpěr	$N_{b,fi,Rd}$	160,16	456,19	kN

Posudek rovinného vzpěru			
Průřezová plocha	A	8,0100e-03	m ²
Únosnost na vzpěr	$N_{b,fi,Rd}$	160,16	kN
Jedn. posudek		1,00	-

Posudek prostorového vzpěru

Podle EN 1993-1-2 článku 4.2.3.2 a rovnice (4.5)

Poznámka: Průřez se týká kruhové trubky, která není náchylná k prostorovému vzpěru.

Posudek klopení

Podle EN 1993-1-2 článku 6.3.2.1

Poznámka: Průřez se týká kruhové trubky, která není náchylná ke klopení.

Posudek ohybu a osového tlaku

Podle EN 1993-1-2 článku 4.2.3.5 a rovnice (4.21a), (4.21b)

Parametry pro posudek ohybu a osového tlaku			
Průřezová plocha	A	8,0100e-03	m ²
Plastický modul průřezu	$W_{pl,y}$	4,5753e-04	m ³
Plastický modul průřezu	$W_{pl,z}$	4,5753e-04	m ³
Návrhová tlaková síla	$N_{fi,Ed}$	159,71	kN
Návrhový ohybový moment	$M_{y,fi,Ed}$	-0,03	kNm
Návrhový ohybový moment	$M_{z,fi,Ed}$	0,01	kNm
Redukční součinitel	$\chi_{min,fi}$	0,23	
Redukční součinitel	$\chi_{z,fi}$	0,67	
Redukční součinitel	$\chi_{LT,fi}$	1,00	
Součinitel ekvivalentního momentu	β_{fy}	1,80	
Součinitel	μ_y	-0,46	
Interakční součinitel	k_y	1,46	
Součinitel ekvivalentního momentu	β_{fz}	1,80	
Součinitel	μ_z	0,49	
Interakční součinitel	k_z	0,83	
Součinitel ekvivalentního momentu	β_{NLT}	1,80	
Součinitel	μ_{LT}	0,01	
Interakční součinitel	k_{LT}	1,00	

Jednotkový posudek (4.21a) = 1,00 + 0,00 + 0,00 = 1,00 -

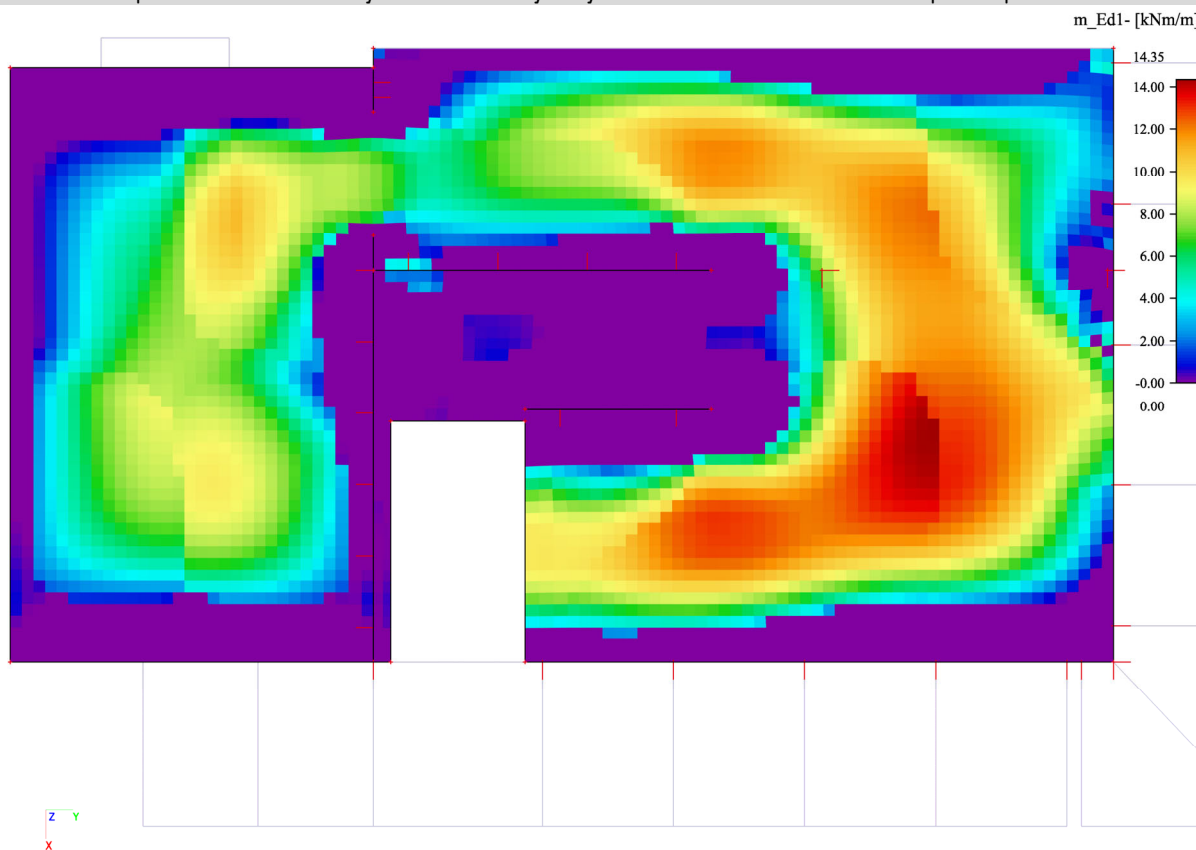
Jednotkový posudek (4.21b) = 0,35 + 0,00 + 0,00 = 0,35 -

Prvek splňuje podmínky stabilitního posudku.

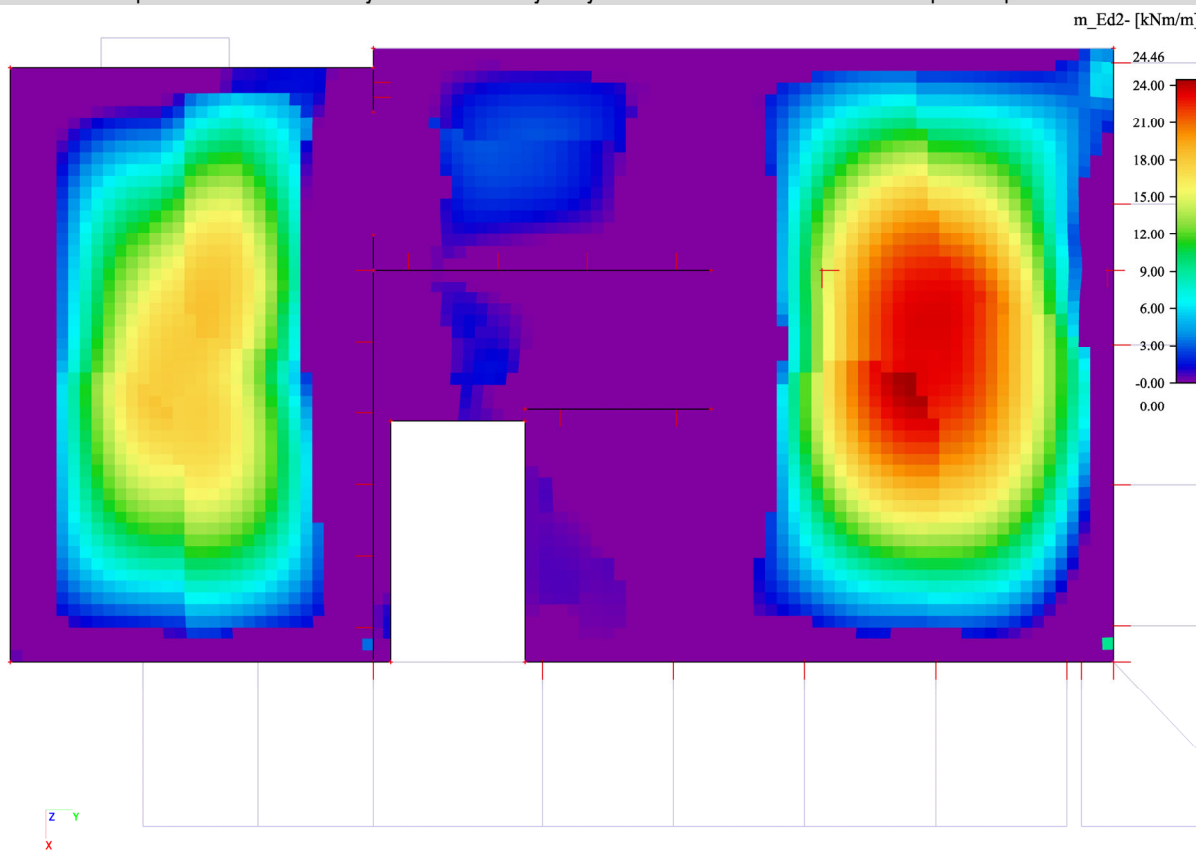
REKONSTRUKCE VÝPRAVNÍ BUDOVY V ŽST. TÁBOR

DOKUMENTACE PRO PROVÁDĚNÍ STAVBY

F.6.1.25 Strop 1.NP - Vnitřní síly - Průběh ohybových momentů ve směru X - spodní povrch [kNm/m]



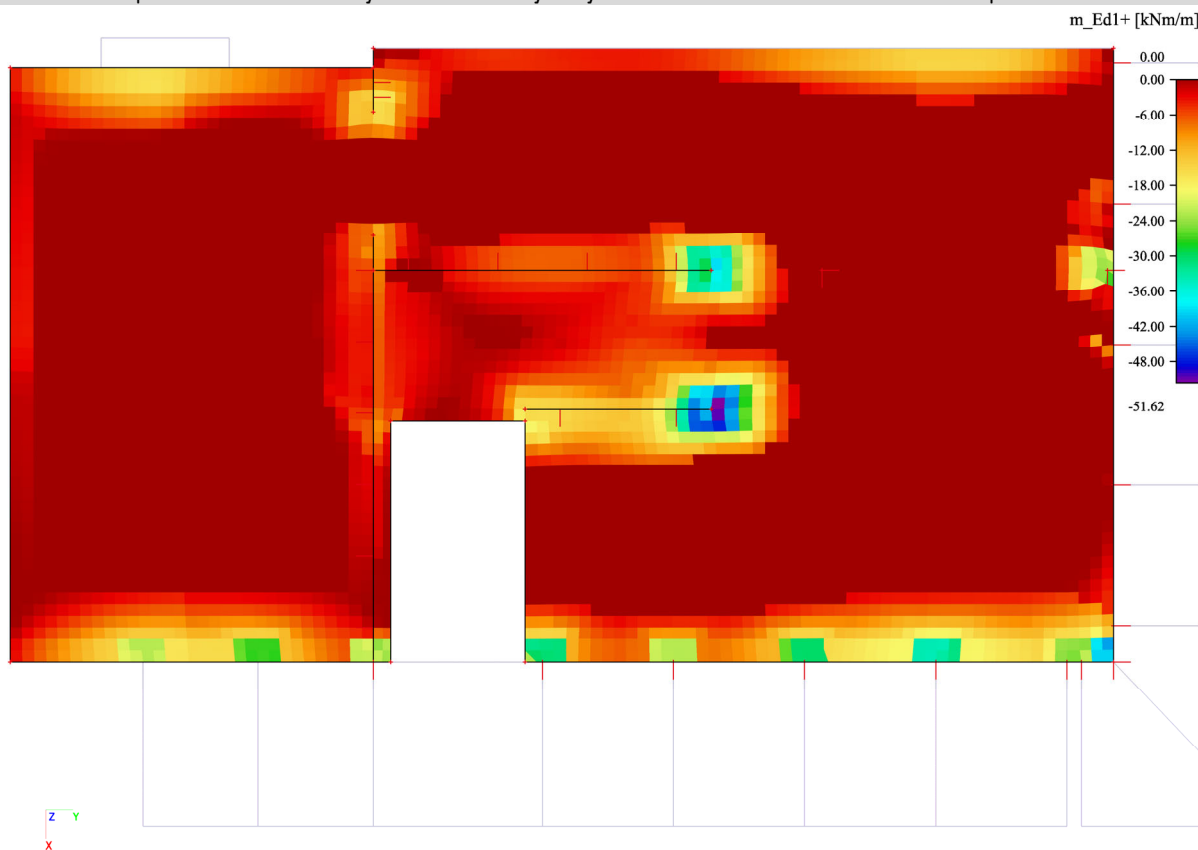
F.6.1.26 Strop 1.NP - Vnitřní síly - Průběh ohybových momentů ve směru Y - spodní povrch [kNm/m]



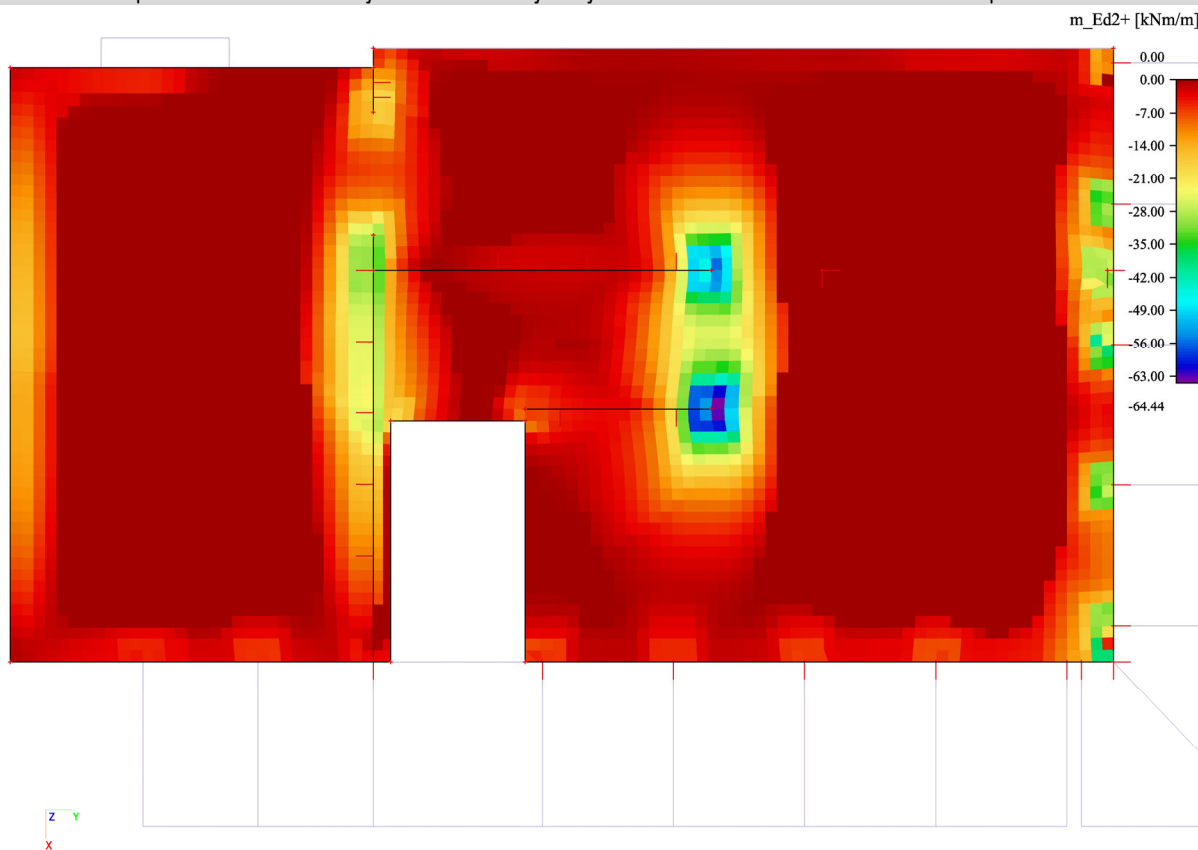
REKONSTRUKCE VÝPRAVNÍ BUDOVY V ŽST. TÁBOR

DOKUMENTACE PRO PROVÁDĚNÍ STAVBY

F.6.1.27 Strop 1.NP - Vnitřní síly - Průběh ohybových momentů ve směru X - horní povrch [kNm/m]



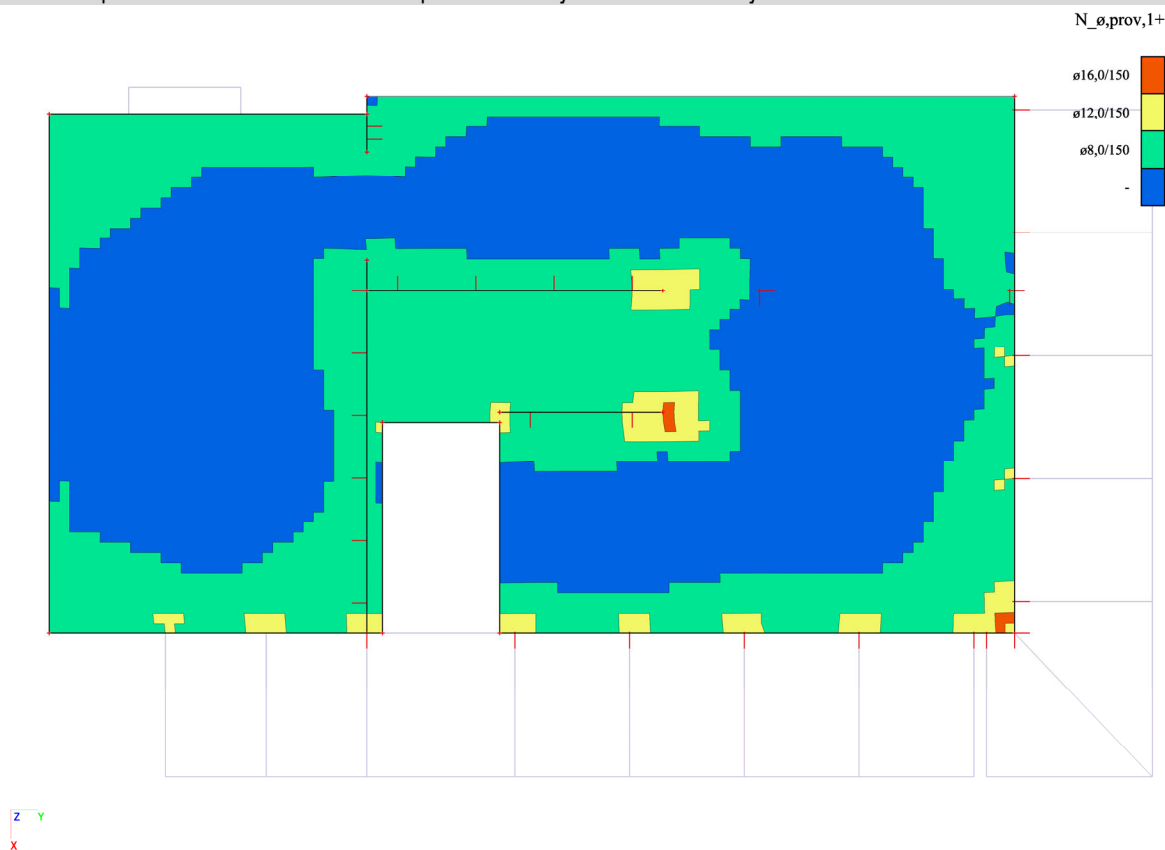
F.6.1.28 Strop 1.NP - Vnitřní síly - Průběh ohybových momentů ve směru Y - horní povrch [kNm/m]



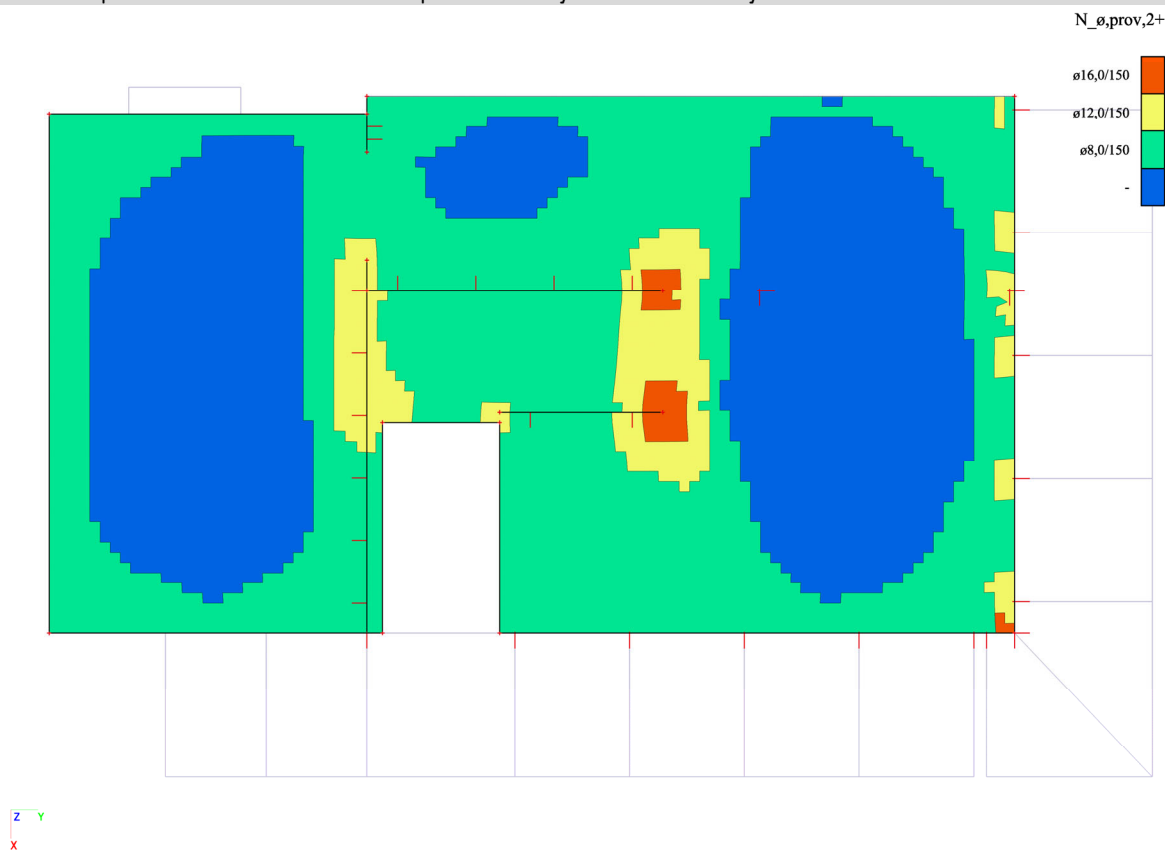
REKONSTRUKCE VÝPRAVNÍ BUDOVY V ŽST. TÁBOR

DOKUMENTACE PRO PROVÁDĚNÍ STAVBY

F.6.1.29 Strop 1.NP - Návrh MSÚ - Předpokládaná výztuž - Horní výztuž - směr X [Ø á 150mm]



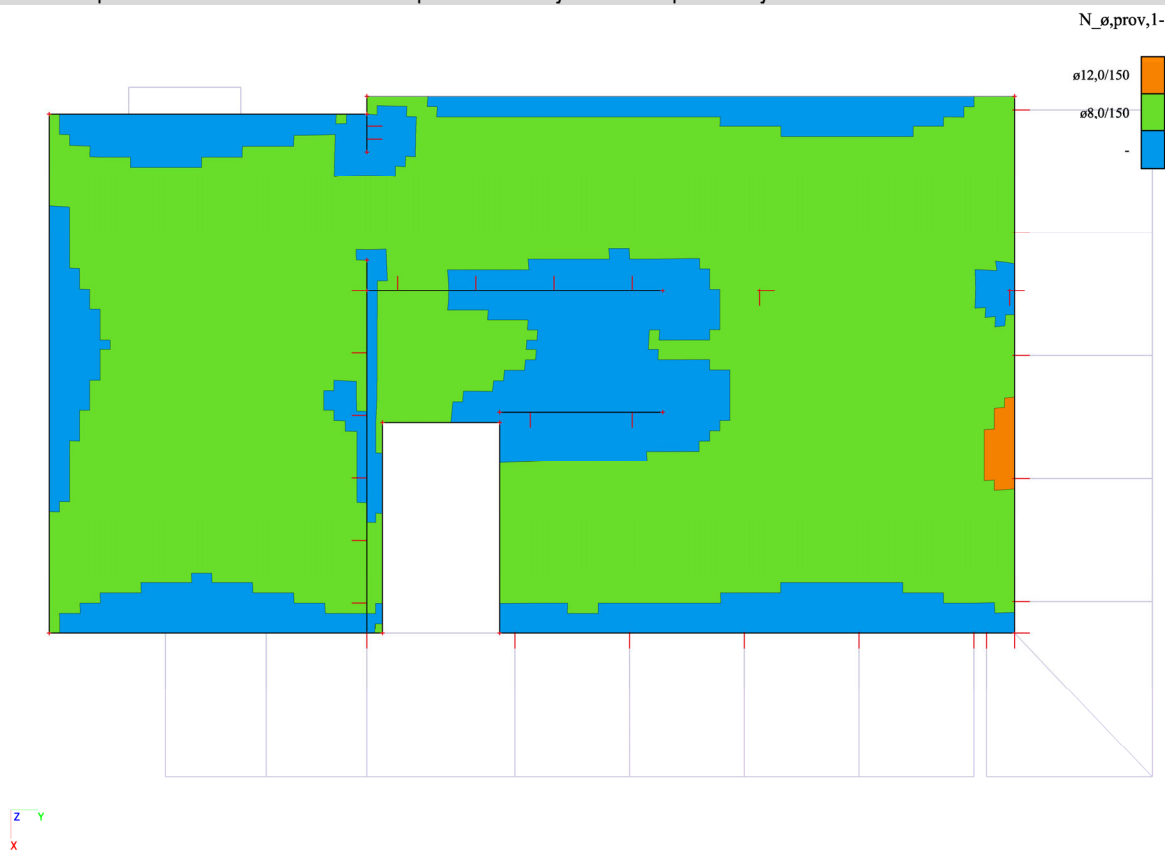
F.6.1.30 Strop 1.NP - Návrh MSÚ - Předpokládaná výztuž - Horní výztuž - směr Y [Ø á 150mm]



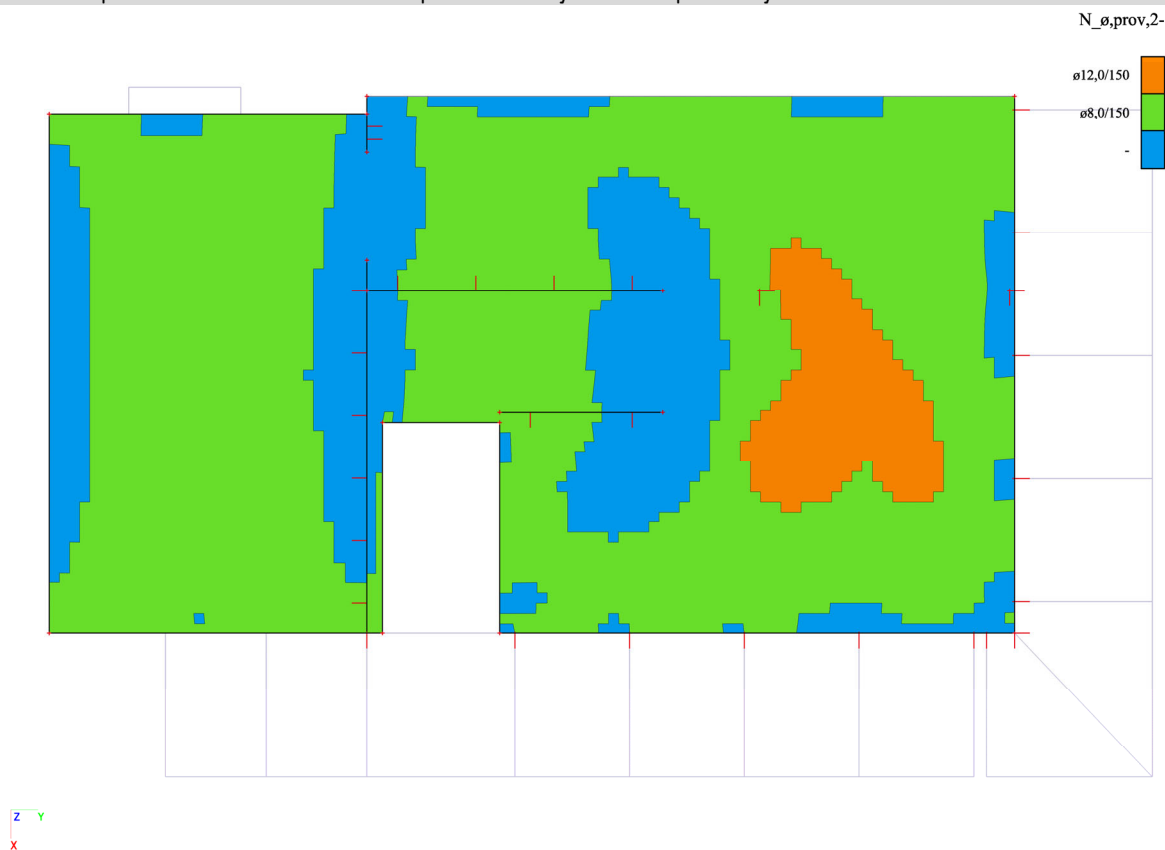
REKONSTRUKCE VÝPRAVNÍ BUDOVY V ŽST. TÁBOR

DOKUMENTACE PRO PROVÁDĚNÍ STAVBY

F.6.1.31 Strop 1.NP - Návrh MSÚ - Předpokládaná výztuž - Spodní výztuž - směr X [Ø á 150mm]



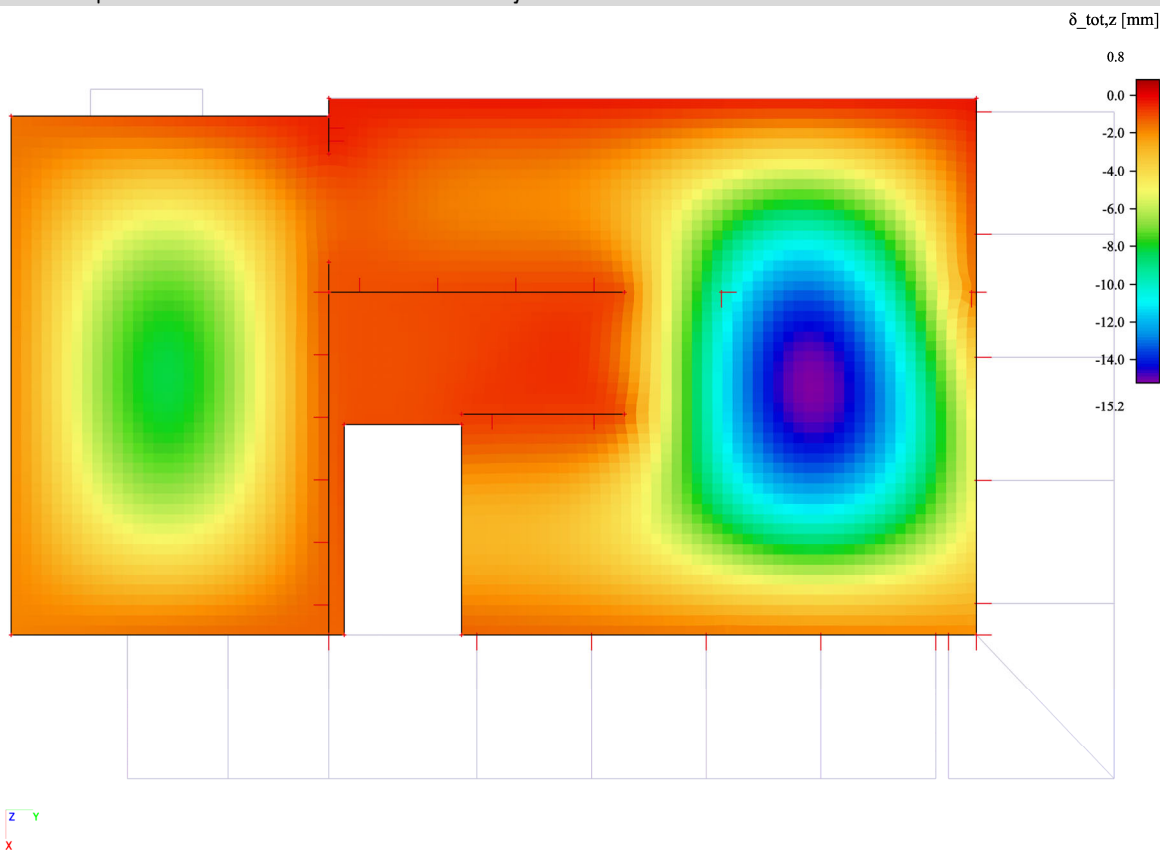
F.6.1.32 Strop 1.NP - Návrh MSÚ - Předpokládaná výztuž - Spodní výztuž - směr Y [Ø á 150mm]



REKONSTRUKCE VÝPRAVNÍ BUDOVY V ŽST. TÁBOR

DOKUMENTACE PRO PROVÁDĚNÍ STAVBY

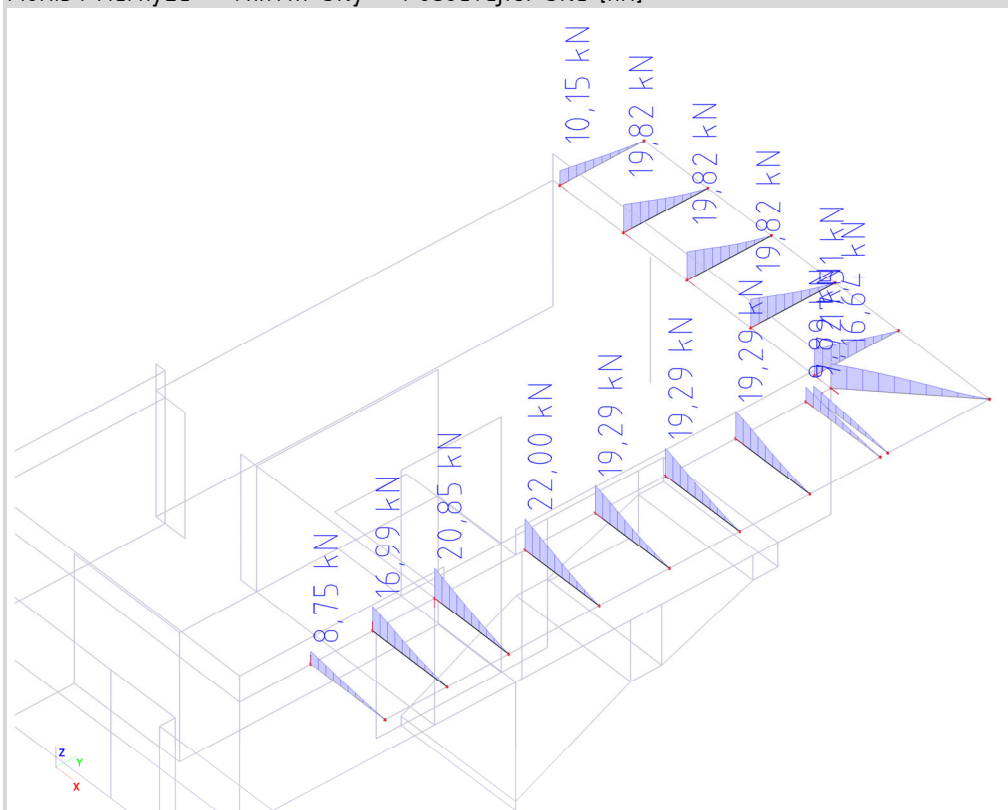
F.6.1.33 Strop 1.NP – Nelineární deformace desky vč. dotvarování a sedání [mm]



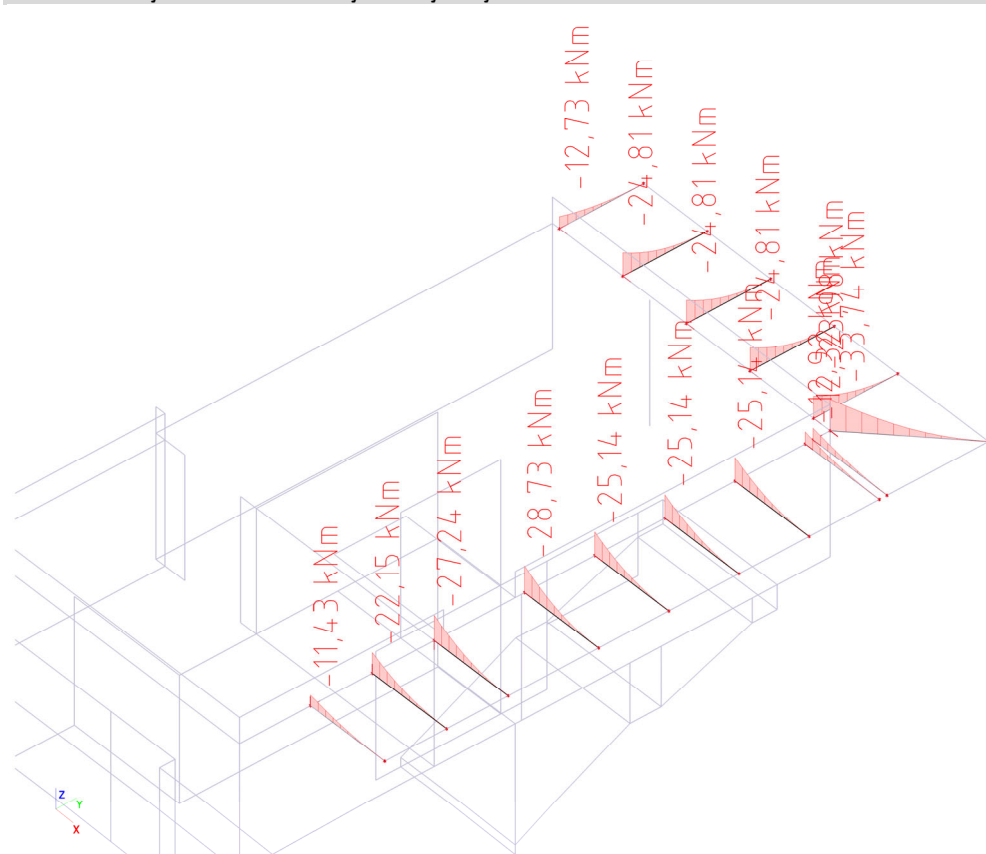
REKONSTRUKCE VÝPRAVNÍ BUDOVY V ŽST. TÁBOR

DOKUMENTACE PRO PROVÁDĚNÍ STAVBY

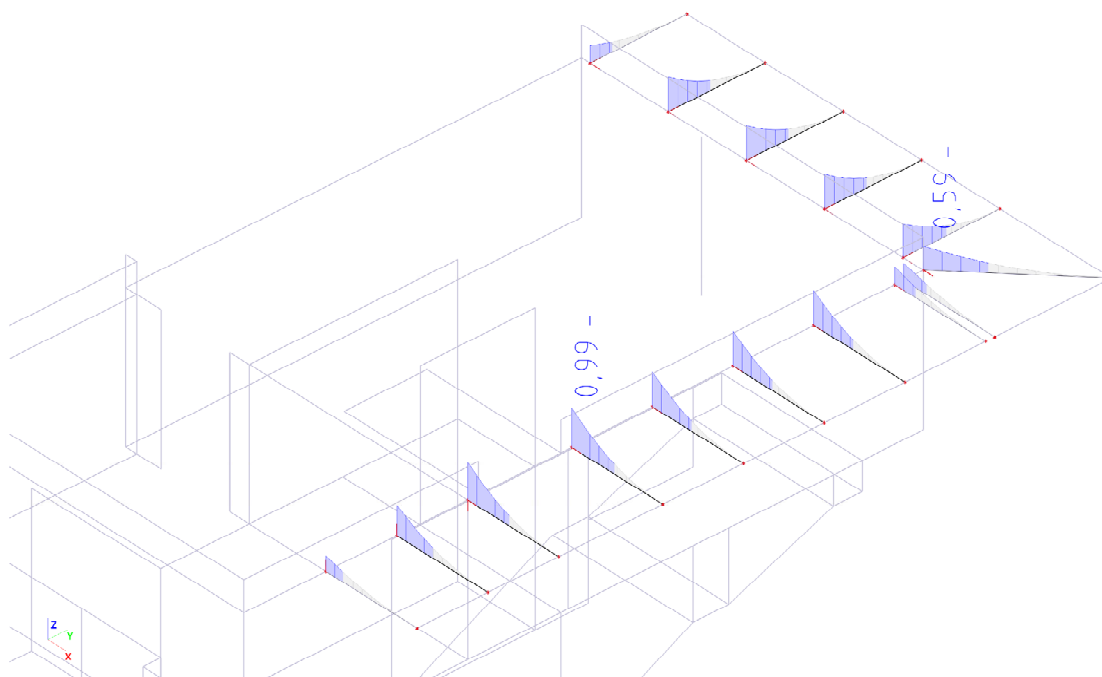
F.6.1.34 Markýza – Vnitřní síly – Posouvající síla [kN]



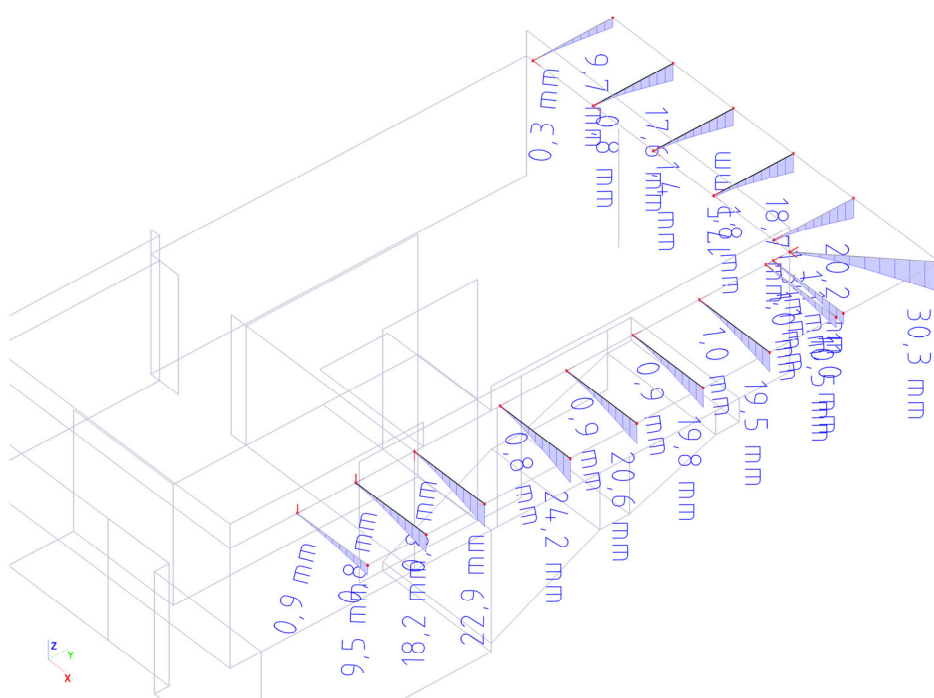
F.6.1.35 Markýza – Vnitřní síly – Ohybový moment [kNm]



F.6.1.36 Markýza – Posudek MSÚ – Využití prvků [*100=%]



F.6.1.37 Markýza - Deformace prvků [mm]



204

REKONSTRUKCE VÝPRAVNÍ BUDOVY V ŽST. TÁBOR

DOKUMENTACE PRO PROVÁDĚNÍ STAVBY

G. Závěr

V rámci této části dokumentace byl proveden návrh a posouzení stávajících i nových nosných prvků rekonstruovaného souboru objektů nádraží v Táboře. Posouzení prokázalo splnění klíčových požadavků z hlediska mezního stavu únosnosti i mezní stavu použitelnosti vzhledem k požadavkům Eurokódu – navržená konstrukce vyhovuje. Během provádění je nutno konstrukce dočasně podepírat tak, aby byla zajištěna stabilita konstrukce a nedošlo k přetížení nebo nadměrným deformacím konstrukcí. Tato dokumentace neslouží pro realizaci stavby, ale jako podklad pro zpracování dokumentace pro výběr zhotovitele či jako podklad pro zpracování prováděcí dokumentace stavby.

V případě nesouladu skutečného stavu konstrukcí a stavu předpokládaného touto dokumentací musí být navržené řešení konzultováno se statikem. Všechny kóty a rozměry vztahující se k původním konstrukcím je nutno ověřit na stavbě. Potřebné délky všech nových prvků je nutné ověřit na stavbě. Veškeré zásahy do nosných konstrukcí, které nejsou součástí projektové dokumentace, je nutno konzultovat se statikem. V případě zjištění snížené kvality nosného zdiva a dalších nosných konstrukcí nutno situaci konzultovat s projektantem.

V Praze dne 19.02.2025

Vypracoval Ing. Jan Fischer, MBA